

UNIVERSIDAD DE HUANUCO
FACULTAD DE INGENIERIA
PROGRAMA ACADÉMICO DE INGENIERIA CIVIL



TESIS

“Influencia de la ceniza de cáscara de tara (*Caesalpinia Tinctorea*) como alternativa para el mejoramiento de la capacidad portante de la subrasante de suelo arcilloso, jr. Los Cedros Amarilis – Huánuco - 2024”

PARA OPTAR EL TÍTULO PROFESIONAL DE INGENIERA CIVIL

AUTORA: Vega Bazan, Merlyn Mercedes

ASESOR: Taboada Trujillo, William Paolo

HUÁNUCO – PERÚ

2025

U

D

H

**TIPO DEL TRABAJO DE INVESTIGACIÓN:**

- Tesis (X)
- Trabajo de Suficiencia Profesional()
- Trabajo de Investigación ()
- Trabajo Académico ()

LÍNEAS DE INVESTIGACIÓN: Geotecnia**AÑO DE LA LÍNEA DE INVESTIGACIÓN** (2020)**CAMPO DE CONOCIMIENTO OCDE:****Área:** Ingeniería, Tecnología**Sub área:** Ingeniería civil**Disciplina:** Ingeniería civil**DATOS DEL PROGRAMA:**

Nombre del Grado/Título a recibir: Título
Profesional de Ingeniera Civil

Código del Programa: P07

Tipo de Financiamiento:

- Propio (X)
- UDH ()
- Fondos Concursables ()

DATOS DEL AUTOR:

Documento Nacional de Identidad (DNI): 72841313

DATOS DEL ASESOR:

Documento Nacional de Identidad (DNI): 40847625

Grado/Título: DOCTOR EN MEDIO AMBIENTE Y
DESARROLLO SOSTENIBLE

Código ORCID: 0000-0002-4594-1491

DATOS DE LOS JURADOS:

Nº	APELLIDOS Y NOMBRES	GRADO	DNI	Código ORCID
1	Narro Jara, Luis Fernando	Maestro En Ingenieria Con Mención En Gestion Ambiental Y Desarrollo Sostenible	18206328	0000-0003- 4008-7633
2	Jara Trujillo, Alberto Carlos	Maestro En Ingeniería, Con Mención En Gestión Ambiental Y Desarrollo Sostenible	41891649	0000-0001- 8392-1769
3	Miraval Rojas, Biseth	Maestro En Gestión Y Negocios, Con Mención En Gestión De Proyectos	47474699	0000-0001- 5605-3003

PROGRAMA ACADÉMICO DE INGENIERÍA CIVIL

**ACTA DE SUSTENTACIÓN DE TESIS PARA OPTAR EL TÍTULO PROFESIONAL DE
INGENIERO(A) CIVIL**

En la ciudad de Huánuco, siendo las 19:00 horas del día **martes 16 de diciembre de 2025**, en cumplimiento de lo señalado en el Reglamento de Grados y Títulos de la Universidad de Huánuco, se reunieron los Jurados Calificadores integrado por los docentes:

- | | |
|------------------------------------|------------|
| ❖ MG. LUIS FERNANDO NARRO JARA | PRESIDENTE |
| ❖ MG. ALBERTO CARLOS JARA TRUJILLO | SECRETARIO |
| ❖ MG. BISETH MIRAVAL ROJAS | VOCAL |

Nombrados mediante la RESOLUCIÓN No 2796-2025-D-FI-UDH para evaluar la Tesis intitulada: "INFLUENCIA DE LA CENIZA DE CÁSCARA DE TARA (CAESALPINIA TINCTOREA) COMO ALTERNATIVA PARA EL MEJORAMIENTO DE LA CAPACIDAD PORTANTE DE LA SUBRASANTE DE SUELO ARCILLOSO, JR. LOS CEDROS AMARILIS – HUÁNUCO - 2024", presentado por el (la) Bachiller. Bach: Merlyn Mercedes VEGA BAZAN, para optar el Título Profesional de Ingeniero(a) Civil.

Dicho acto de sustentación se desarrolló en dos etapas: exposición y absolución de preguntas: procediéndose luego a la evaluación por parte de los miembros del Jurado.

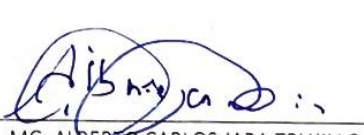
Habiendo absuelto las objeciones que le fueron formuladas por los miembros del Jurado y de conformidad con las respectivas disposiciones reglamentarias, procedieron a deliberar y calificar, declarándolo(a) aprobada por Unanimidad con el calificativo cuantitativo de 15 y cualitativo de Bueno (Art. 47).

Siendo las 20:15 horas del día 16 del mes de diciembre del año 2025, los miembros del Jurado Calificador firman la presente Acta en señal de conformidad.



MG. LUIS FERNANDO NARRO JARA
DNI: 18206328
ORCID: 0000-0003-4008-7633

PRESIDENTE



MG. ALBERTO CARLOS JARA TRUJILLO
DNI: 41891649
ORCID: 0000-0001-8392-1769

SECRETARIO (A)



MG. BISETH MIRAVAL ROJAS

DNI: 47474699

ORCID: 0000-0001-5605-3003

VOCAL

200. Merlyn Mercedes VEGA BAZAN.docx

INFORME DE ORIGINALIDAD

25%

INDICE DE SIMILITUD

25%

FUENTES DE INTERNET

6%

PUBLICACIONES

11%

TRABAJOS DEL
ESTUDIANTE

FUENTES PRIMARIAS

- | | | |
|----------|--|------------|
| 1 | hdl.handle.net
Fuente de Internet | 12% |
| 2 | distancia.udh.edu.pe
Fuente de Internet | 2% |
| 3 | repositorio.udh.edu.pe
Fuente de Internet | 2% |
| 4 | repositorio.unheval.edu.pe
Fuente de Internet | 1% |
| 5 | Submitted to Universidad Internacional Isabel I de Castilla
Trabajo del estudiante | 1% |



RICHARD J. SOLIS TOLEDO

D.N.I.: 47074047

cod. ORCID: 0000-0002-7629-6421



MANUEL E. ALIAGA VIDURIZAGA

D.N.I.: 71345687

cod. ORCID: 0009-0004-1375-5004

DEDICATORIA

A mis padres, por su esfuerzo constante, sacrificio y amor incondicional, pilares fundamentales que me impulsaron a culminar mis estudios y alcanzar el grado de Ingeniero Civil.

A mis hermanos, por su compañía, apoyo y aliento en cada etapa de mi formación, recordándome siempre la importancia de la unión familiar.

Este logro no es solo mío, sino también de ustedes, a quienes dedico con gratitud y orgullo el fruto de este esfuerzo.

AGRADECIMIENTO

Agradezco profundamente a mi asesor, por su orientación, dedicación y valiosas recomendaciones que guiaron el desarrollo de esta investigación.

A los docentes del programa académico de Ingeniería Civil de la Universidad de Huánuco, por compartir sus conocimientos y contribuir a mi formación profesional.

Extiendo también mi gratitud a mis amigos, quienes con su apoyo y ánimo hicieron más llevadero este camino académico.

Finalmente, agradezco a la Universidad de Huánuco, institución que me brindó las herramientas y el espacio necesarios para crecer académica y profesionalmente, siendo parte fundamental en la culminación de esta etapa.

ÍNDICE

DEDICATORIA	II
AGRADECIMIENTO	III
ÍNDICE	IV
ÍNDICE DE TABLAS	VII
ÍNDICE DE FIGURAS.....	VIII
RESUMEN.....	XIII
ABSTRACT	XIV
INTRODUCCIÓN.....	XV
CAPÍTULO I.....	17
PROBLEMA DE INVESTIGACIÓN	17
1.1. DESCRIPCIÓN DEL PROBLEMA	17
1.2. FORMULACIÓN DEL PROBLEMA.....	18
1.2.1. PROBLEMA GENERAL.....	18
1.2.2. PROBLEMAS ESPECÍFICOS	18
1.3. OBJETIVO.....	18
1.3.1. OBJETIVO GENERAL.....	18
1.3.2. OBJETIVOS ESPECÍFICOS	19
1.4. JUSTIFICACIÓN DE LA INVESTIGACIÓN.....	19
1.4.1. JUSTIFICACIÓN PRÁCTICA.....	20
1.4.2. JUSTIFICACIÓN TEÓRICA.....	20
1.4.3. JUSTIFICACIÓN METODOLÓGICA.....	20
1.5. LIMITACIONES DE LA INVESTIGACIÓN	20
1.6. VIABILIDAD DE LA INVESTIGACIÓN.....	21
1.6.1. VIABILIDAD TEÓRICA.....	21
1.6.2. VIABILIDAD ECONÓMICA.....	21
1.6.3. VIABILIDAD TEMPORAL	21

1.6.4. VIABILIDAD SOCIAL Y AMBIENTAL	22
CAPÍTULO II.....	23
MARCO TEÓRICO	23
2.1. ANTECEDENTES DE LA INVESTIGACIÓN.....	23
2.1.1. ANTECEDENTES INTERNACIONALES	23
2.1.2. ANTECEDENTES NACIONALES.....	24
2.1.3. ANTECEDENTES LOCALES	25
2.2. BASES TEÓRICAS	27
2.2.1. SUELO	27
2.2.2. ESTABILIZACIÓN DE SUELOS	28
2.2.3. ENSAYOS DE SUELO DE FUNDACIÓN	31
2.2.4. LA TARA	33
2.2.5. CÁSCARA DE TARA.....	33
2.2.6. CENIZA DE CÁSCARA DE TARA.....	34
2.3. DEFINICIONES CONCEPTUALES	34
2.4. HIPÓTESIS	34
2.4.1. HIPÓTESIS GENERAL	34
2.4.2. HIPÓTESIS ESPECÍFICAS.....	34
2.5. VARIABLES	36
2.5.1. VARIABLE DEPENDIENTE.....	36
2.5.2. VARIABLE INDEPENDIENTE	36
2.6. OPERACIONALIZACIÓN DE VARIABLES.....	37
CAPÍTULO III.....	38
METODOLOGÍA DE LA INVESTIGACIÓN	38
3.1. TIPO DE INVESTIGACIÓN	38
3.1.1. ENFOQUE.....	38
3.1.2. ALCANCE O NIVEL	38

3.1.3. DISEÑO	39
3.2. POBLACIÓN Y MUESTRA.....	40
3.2.1. POBLACIÓN	40
3.2.2. MUESTRA.....	40
3.3. TÉCNICAS E INSTRUMENTOS DE RECOLECCIÓN DE DATOS	41
3.3.1. PARA LA RECOLECCIÓN DE DATOS	41
3.3.2. PARA LA PRESENTACIÓN DE DATOS	85
3.3.3. PARA EL ANÁLISIS E INTERPRETACIÓN DE LOS DATOS.	85
CAPÍTULO IV	87
RESULTADOS	87
4.1. PROCESAMIENTO DE DATOS	87
4.2. CONTRASTACIÓN DE HIPÓTESIS.....	99
CAPÍTULO V	108
DISCUSIÓN DE RESULTADOS.....	108
5.1. CONTRASTACIÓN DE LOS RESULTADOS DEL TRABAJO DE INVESTIGACIÓN	108
CONCLUSIONES	111
RECOMENDACIONES.....	113
REFERENCIAS BIBLIOGRÁFICAS.....	114
ANEXOS	117

ÍNDICE DE TABLAS

Tabla 1 Compresión del suelo patrón y con 5% de ceniza de cáscara de tara (kg/cm ²)	87
Tabla 2 Compresión del suelo con 10% de ceniza de cáscara de tara y del suelo patrón (kg/cm ²)	89
Tabla 3 Compresión del suelo con 15% de ceniza de cáscara de tara y del suelo patrón (kg/cm ²)	91
Tabla 4 Compresión promedio del suelo con 5%, 10%, 15% de ceniza de cáscara de tara y del suelo patrón (kg/cm ²)	93
Tabla 5 Normalidad de la compresión del suelo patrón y con 5%, 10% y 15% de ceniza de cáscara de tara (kg/cm ²)	99
Tabla 6 T de Student para la resistencia a la compresión del suelo patrón y con 5%, 10% y 15% de ceniza de cáscara de tara (kg/cm ²).	100
Tabla 7 Normalidad de la compresión del suelo patrón y con 5% de ceniza de cáscara de tara (kg/cm ²)	101
Tabla 8 T de Student para la resistencia a la compresión del suelo patrón y con 5%, 10% y 15% de ceniza de cáscara de tara (kg/cm ²).	101
Tabla 9 Normalidad de la compresión del suelo patrón y con 10% de ceniza de cáscara de tara (kg/cm ²).	102
Tabla 10 T de Student para la resistencia a la compresión del suelo patrón y con 10% de ceniza de cáscara de tara (kg/cm ²).	103
Tabla 11 Normalidad de la compresión del suelo patrón y con 15% de ceniza de cáscara de tara (kg/cm ²).	104
Tabla 12 T de Student para la resistencia a la compresión del suelo patrón y con 15% de ceniza de cáscara de tara (kg/cm ²).	105

ÍNDICE DE FIGURAS

Figura 1 Esquema de la estructura de la lámina silícica	27
Figura 2 Esquema de la estructura de la lámina alumínica	28
Figura 3 Abertura de los tamices de malla cuadrada	32
Figura 4 Recolección de la muestra de tierra.....	42
Figura 5 Pesaje de suelo para realizar la granulometría	42
Figura 6 Vibrado manual de los tamices	43
Figura 7 Pesaje de las muestras de suelo retenidas en cada tamiz	43
Figura 8 Pesaje de la muestra de suelo pasante del tamiz N° 40	44
Figura 9 Preparación de la muestra de suelo para el ensayo de Casagrande	44
Figura 10 Llenado de muestra a la cuchara de Casagrande	45
Figura 11 Trazo de hendidura con el acanalador de bronce	45
Figura 12 Golpes del suelo con la Casagrande	46
Figura 13 Pesaje de la muestra después del ensayo de Casagrande.....	46
Figura 14 Ensayo del límite plástico del suelo	47
Figura 15 Pesaje de las muestras elipsoides del suelo	47
Figura 16 Secado en el horno las muestras de suelo	48
Figura 17 Pesajes de ceniza de cáscara de tara 5%.	48
Figura 18 Pesajes de ceniza de cáscara de tara 10%	49
Figura 19 Pesaje de ceniza de cáscara de tara 15%.	49
Figura 20 La muestra extraída del suelo	50
Figura 21 Cortamos la muestra a una altura especificada de 4”	50
Figura 22 Entallamiento de la muestra de suelo.	51
Figura 23 Medición longitudinal de la muestra tallada.....	51
Figura 24 Medición transversal de la muestra tallada	52
Figura 25 Humedecimiento de la tierra con su adición de 5%	52
Figura 26 Humedecimiento de la tierra con su adición de 10%.....	53
Figura 27 Humedecimiento de la tierra con su adición de 15%.....	53
Figura 28 Proceso del llenado del molde cilíndrico con el suelo y sus adiciones 5%	54
Figura 29 Proceso del llenado del molde cilíndrico con el suelo y sus adiciones 10%	54

Figura 30 Proceso del llenado del molde cilíndrico con el suelo y sus adiciones 15%	55
Figura 31 Proceso de desmoldeo de las muestras de suelo con sus respectivas adiciones 5%	55
Figura 32 Proceso de desmoldeo de las muestras de suelo con sus respectivas adiciones 10%	56
Figura 33 Proceso de desmoldeo de las muestras de suelo con sus respectivas adiciones 15%	56
Figura 34 Muestra poblacional de los testigos cilíndricos de suelos con adiciones de ceniza de cáscaras de tara	57
Figura 35 Colocación y registro de la carga máxima y deformación que da la muestra de suelo (Patrón)	57
Figura 36 Colocación y registro de la carga máxima y deformación que da la muestra de suelo con adición 5%	58
Figura 37 Colocación y registro de la carga máxima y deformación que da la muestra de suelo con adición 10%.	58
Figura 38 Colocación y registro de la carga máxima y deformación que da la muestra de suelo con adición 15%.	59
Figura 39 Pesaje de la muestra cilíndrica (patrón)	59
Figura 40 Pesaje de la muestra cilíndrica con adición 5%	60
Figura 41 Pesaje de la muestra cilíndrica con adición 10%	60
Figura 42 Pesaje de la muestra cilíndrica con adición 15%.	61
Figura 43 Llevado al horno	61
Figura 44 Sacado del horno	62
Figura 45 Pesaje de la muestra cilíndrica sin adición (patrón)	62
Figura 46 Pesaje de la muestra cilíndrica con adición 5%	63
Figura 47 Pesaje de la muestra cilíndrica con adición 10%.	63
Figura 48 Pesaje de la muestra cilíndrica con adición 15%.	64
Figura 49 Pesaje de la adición, (ceniza de carbón).....	64
Figura 50 Pesaje de la adición de ceniza de cáscara de tara	65
Figura 51 Pesaje de la adición de ceniza de cáscara de tara	65
Figura 52 Pesaje de suelo (patrón).....	66
Figura 53 Pesaje de agua	66

Figura 54 Mezclado homogéneo, del ensayo “CBR” en laboratorio (patrón)	67
Figura 55 Pesaje de agua, adición (5%)	67
Figura 56 Mezclado homogéneo, del ensayo “CBR” en laboratorio, con adición de 5%	68
Figura 57 Pesaje de suelo, con adición del 10%.....	68
Figura 58 Pesaje de agua, adición (10%).	69
Figura 59 Mezclado homogéneo, del ensayo “CBR” en laboratorio, con adición de 10%	69
Figura 60 Pesaje de suelo, con adición del 15%.....	70
Figura 61 Pesaje de agua, adición (15%)	70
Figura 62 Mezclado homogéneo, del ensayo “CBR” en laboratorio, con adición de 15%	71
Figura 63 Pesaje del Proctor (Patrón).....	71
Figura 64 Pesaje del Proctor 5%.	72
Figura 65 Pesaje del Proctor 10%.	72
Figura 66 Pesaje del Proctor 15%.	73
Figura 67 Compactación del ensayo “CBR” en laboratorio (patrón)	73
Figura 68 Corte del espécimen compactado de la muestra (patrón).	74
Figura 69 Colocación de vástagos y anillos necesarios para completar una sobrecarga y lectura de deformímetro, en las muestras de ensayo “CBR” (patrón).....	74
Figura 70 Se sumerge en el tanque las muestras de ensayo “CBR” patrón y con adición de (patrón)	75
Figura 71 Compactación del ensayo “CBR” en laboratorio con (adición 5%)	75
Figura 72 Corte del espécimen compactado de la muestra con (adición de 5%).	76
Figura 73 Pesaje de los moldes más suelo húmedo	76
Figura 74 Colocación de vástagos y anillos necesarios para completar una sobrecarga y lectura de deformímetro, en las muestras de ensayo “CBR” patrón y con adición 5%.....	77
Figura 75 Se sumerge en el tanque las muestras de ensayo “CBR” patrón y con adición de 5%.	77

Figura 76 Compactación del ensayo “CBR” en laboratorio con (adición 10%).	78
Figura 77 Corte del espécimen compactado de la muestra con (adición de 10%).	78
Figura 78 Pesaje de los moldes más suelo húmedo	79
Figura 79 Colocación de vástagos y anillos necesarios para completar una sobrecarga y lectura de deformímetro, en las muestras de ensayo “CBR” patrón y con adición 10%.....	79
Figura 80 Se sumerge en el tanque las muestras de ensayo “CBR” patrón y con adición de 10%.	80
Figura 81 Compactación del ensayo “CBR” en laboratorio con (adición 15%).	80
Figura 82 Corte del espécimen compactado de la muestra con (adición de 15%)......	81
Figura 83 Pesaje de los moldes más suelo húmedo	81
Figura 84 Colocación de vástagos y anillos necesarios para completar una sobrecarga y lectura de deformímetro, en las muestras de ensayo “CBR” patrón y con adición 15%.....	82
Figura 85 Se sumerge en el tanque las muestras de ensayo “CBR” patrón y con adición de 15%.	82
Figura 86 Lectura de deformímetro de las muestras de “CBR” (patrón) y con adición 5%, 10% y 15%	83
Figura 87 Lectura de penetración de la muestra de ensayo “CBR” patrón ..	83
Figura 88 Lectura de penetración de la muestra de ensayo “CBR” con adición 5%.	84
Figura 89 Lectura de penetración de la muestra de ensayo “CBR” con adición 10%.	84
Figura 90 Lectura de penetración de la muestra de ensayo “CBR” con adición 15%.	85
Figura 91 Comparación de la compresión del suelo patrón y con 5% de ceniza de cáscara de tara (kg/cm^2).	88
Figura 92 Comparación de la compresión del suelo patrón y con 10% de ceniza de cáscara de tara (kg/cm^2).....	90

Figura 93 Comparación de la compresión del suelo patrón y con 15% de ceniza de cáscara de tara (kg/cm ²).....	92
Figura 94 Comparación de la compresión del suelo patrón y con el promedio de 5%, 10%, 15% de ceniza de cáscara de tara (kg/cm ²)	94
Figura 95 Resistencia a la compresión para todos los grupos experimentales	95
Figura 96 Densidad seca máxima.....	96
Figura 97 Porcentaje de humedad máxima	97
Figura 98 Índice de CBR.....	98

RESUMEN

La presente investigación tuvo como objetivo general determinar el efecto en la capacidad portante de la subrasante de suelo arcilloso al añadir ceniza de cáscara de tara, así como analizar su influencia en la densidad seca máxima, el porcentaje de humedad óptima y el índice CBR. Para ello, se plantearon seis objetivos específicos, evaluando proporciones de 5%, 10% y 15% de ceniza de cáscara de tara. La metodología aplicada fue de tipo aplicada, nivel explicativo y diseño cuasi experimental, donde se elaboraron y ensayaron 8 muestras patrón y 24 muestras tratadas en total, realizando pruebas de resistencia a la compresión (ASTM D2166) y ensayos Proctor modificados (ASTM D1557).

Los resultados obtenidos demuestran que la incorporación de ceniza de cáscara de tara mejora de manera significativa la capacidad portante del suelo arcilloso. En la resistencia a la compresión, las muestras patrón presentaron un valor promedio de 1,34 kg/cm², mientras que con la adición del 5%, 10% y 15% se obtuvieron valores de 1,76 kg/cm², 1,67 kg/cm² y 1,58 kg/cm² respectivamente. El análisis estadístico confirmó la significancia de estas diferencias con valores de $t=8,754$ ($p=0,001$), $t=7,444$ ($p=0,001$) y $t=5,470$ ($p=0,001$), evidenciando que la adición de ceniza mejora el comportamiento mecánico del suelo. Asimismo, se observó un incremento progresivo en la densidad seca máxima, en el porcentaje de humedad óptima y en el índice CBR conforme aumentó la proporción de ceniza.

Finalmente, se concluye que la ceniza de cáscara de tara tiene un efecto positivo en la mejora de suelos arcillosos, incrementando su capacidad portante y sus propiedades geotécnicas. La adición del 5% resultó ser la más efectiva, alcanzando el mayor aumento en la resistencia a la compresión.

Palabras clave: Capacidad portante, ceniza de cáscara de tara, Proctor modificado, densidad máxima seca, porcentaje de humedad, índice de CBR.

ABSTRACT

The present research aimed to determine the effect on the bearing capacity of a clayey subgrade soil by adding tara husk ash, as well as to analyze its influence on the maximum dry density, optimum moisture content, and CBR index. To achieve this, six specific objectives were established, evaluating proportions of 5%, 10%, and 15% tara husk ash. The applied methodology was of an applied type, explanatory level, and experimental design, in which 8 control samples and 24 treated samples were prepared and tested in total, performing unconfined compression strength tests (ASTM D2166) and Modified Proctor tests (ASTM D1557).

The results obtained demonstrate that the incorporation of tara husk ash significantly improves the bearing capacity of clayey soil. In the compression strength test, the control samples presented an average value of 1.34 kg/cm^2 , while with the addition of 5%, 10%, and 15%, the values obtained were 1.76 kg/cm^2 , 1.67 kg/cm^2 , and 1.58 kg/cm^2 respectively. The statistical analysis confirmed the significance of these differences with values of $t=8.754$ ($p=0.001$), $t=7.444$ ($p=0.001$), and $t=5.470$ ($p=0.001$), showing that the addition of ash enhances the mechanical behavior of the soil. Likewise, a progressive increase was observed in the maximum dry density, optimum moisture content, and CBR index as the proportion of ash increased.

Finally, it is concluded that tara husk ash has a positive effect on the improvement of clayey soils, increasing their bearing capacity and geotechnical properties. The addition of 5% proved to be the most effective, achieving the highest increase in compression strength. Furthermore, the upward trend in maximum dry density, optimum moisture content, and CBR confirms the potential of tara husk ash as an alternative and sustainable material for soil improvement in subgrade construction.

Keywords: Bearing capacity, tara husk ash, Modified Proctor, maximum dry density, optimum moisture content, CBR index.

INTRODUCCIÓN

La ingeniería civil enfrenta grandes retos en cuanto a la estabilización de suelos de baja capacidad portante, particularmente los arcillosos, debido a su comportamiento expansivo, alta compresibilidad y baja resistencia. Para superar estas limitaciones, se han desarrollado diversas técnicas de mejoramiento, entre ellas el uso de aditivos naturales y residuos agroindustriales como materiales alternativos. Estudios realizados en Asia, África y América Latina evidencian que la incorporación de cenizas provenientes de residuos agrícolas (cáscara de arroz, bagazo de caña, cascarilla de café, entre otros) mejora significativamente las propiedades geotécnicas de los suelos, reduciendo la dependencia de aditivos convencionales como la cal o el cemento, y promoviendo la sostenibilidad ambiental.

En el Perú, la estabilización de suelos es un tema de creciente interés, dado que gran parte del territorio presenta suelos arcillosos con limitaciones para su uso en infraestructura vial y de edificaciones. Investigaciones recientes han explorado el empleo de residuos locales como alternativas para el mejoramiento de subrasantes, respondiendo tanto a necesidades técnicas como a políticas ambientales de reducción de desechos. En regiones como la sierra y selva peruana, la actividad agrícola genera una gran cantidad de subproductos, los cuales, en muchos casos, no son aprovechados y terminan desecharándose. Este escenario abre oportunidades para la valorización de dichos residuos en aplicaciones de ingeniería.

En el ámbito local, la región Huánuco, y en particular las provincias con actividad agrícola intensa, destacan por la producción de tara (*Caesalpinia spinosa*), cuya cáscara constituye un residuo en el proceso de aprovechamiento del fruto. Esta biomasa, generalmente descartada, puede transformarse en ceniza y emplearse como material estabilizante de suelos arcillosos, ofreciendo una solución económica y sostenible a los problemas de baja capacidad portante de las subrasantes. De esta manera, la presente investigación se centra en analizar el efecto de la adición de ceniza de cáscara de tara en suelos arcillosos de Huánuco, evaluando sus propiedades

geotécnicas mediante ensayos de laboratorio y determinando su potencial como material alternativo para el mejoramiento de subrasantes en la construcción de infraestructura vial y urbana.

CAPÍTULO I

PROBLEMA DE INVESTIGACIÓN

1.1. DESCRIPCIÓN DEL PROBLEMA

A nivel global, los suelos arcillosos representan un reto significativo en ingeniería civil por sus características inherentes de alta plasticidad, baja permeabilidad y notable susceptibilidad a cambios volumétricos con variaciones de humedad, lo que puede derivar en asentamientos irregulares, fallas de cimentación y pérdida de capacidad portante (Saldaña y Yunga, 2023).

Tradicionalmente se han empleado estabilizantes como cemento, cal o cenizas volantes; sin embargo, la tendencia mundial apunta hacia el uso de materiales alternativos derivados de residuos agroindustriales, motivada por la sostenibilidad y la reducción de costos (Pazmiño y Romero, 2024).

En el Perú, esta preocupación adquiere relevancia, pues gran parte de las zonas rurales y periurbanas se asientan sobre suelos arcillosos con baja capacidad portante, lo cual afecta el desempeño estructural de infraestructuras viales y habitacionales (López Barbarán, 2021).

En la región Huánuco, investigaciones como la de Laos (2022) han evidenciado el uso exitoso de ceniza de biomasa de palma aceitera para mejorar la capacidad de soporte del suelo en subrasantes, con incrementos del índice CBR de hasta 22.6%, lo que implicó saltar de una categoría insuficiente a muy buena. Sin embargo, el residuo agroindustrial particular de la cáscara de tara muy disponible en esta zona productora indígena no ha sido suficientemente explorado. Por lo tanto, existe una brecha tangible en el conocimiento técnico aplicable a este subproducto local con alto potencial estabilizador.

La falta de estudios robustos sobre la utilización de ceniza de cáscara de tara en el mejoramiento geotécnico de suelos arcillosos de Huánuco limita el aprovechamiento de un recurso abundante y económico. Al no disponer de

alternativas técnicas que incorporen residuos regionales, se perpetúa la dependencia de aditivos convencionales costosos, y se desaprovecha una oportunidad de sostenibilidad ambiental y económica. Esto representa un problema real, puesto que la baja capacidad portante de la subrasante puede traducirse en deterioro prematuro de infraestructuras y mayores costos de mantenimiento, sin aprovechar las ventajas potenciales de valorización local de residuos agrícolas.

1.2. FORMULACIÓN DEL PROBLEMA

1.2.1. PROBLEMA GENERAL

PG: ¿Cuál es el efecto en la capacidad portante de la subrasante de suelo arcilloso al añadir ceniza de cáscara de tara?

1.2.2. PROBLEMAS ESPECÍFICOS

PE1: ¿Cuál es el efecto en la capacidad portante de la subrasante de suelo arcilloso al añadir 5% de ceniza de cáscara de tara?

PE2: ¿Cuál es el efecto en la capacidad portante de la subrasante de suelo arcilloso al añadir 10% de ceniza de cáscara de tara?

PE3: ¿Cuál es el efecto en la capacidad portante de la subrasante de suelo arcilloso al añadir 15% de ceniza de cáscara de tara?

PE4: ¿Cómo varía la densidad seca máxima de los suelos arcillosos respecto de la adición de ceniza de cáscara de tara?

PE5: ¿Cómo varía el porcentaje de humedad máxima de los suelos arcillosos respecto de la adición de ceniza de cáscara de tara?

PE6: ¿Cómo varía el índice de CBR de los suelos arcillosos respecto de la adición de ceniza de cáscara de tara?

1.3. OBJETIVO

1.3.1. OBJETIVO GENERAL

OG: Determinar el efecto en la capacidad portante de la subrasante de suelo arcilloso al añadir ceniza de cáscara de tara.

1.3.2. OBJETIVOS ESPECÍFICOS

OE1: Determinar el impacto en la capacidad portante de la subrasante de suelo arcilloso al añadir 5% de ceniza de cáscara de tara.

OE2: Determinar el impacto en la capacidad portante de la subrasante de suelo arcilloso al añadir 10% de ceniza de cáscara de tara.

OE3: Determinar el impacto en la capacidad portante de la subrasante de suelo arcilloso al añadir 15% de ceniza de cáscara de tara.

OE4: Analizar cómo varía la densidad seca máxima de los suelos arcillosos respecto de la adición de ceniza de cáscara de tara.

OE5: Analizar cómo varía el porcentaje de humedad máxima de los suelos arcillosos respecto de la adición de ceniza de cáscara de tara.

OE6: Analizar cómo varía el índice de CBR de los suelos arcillosos respecto de la adición de ceniza de cáscara de tara.

1.4. JUSTIFICACIÓN DE LA INVESTIGACIÓN

La investigación tuvo la necesidad de mejorar las propiedades geotécnicas de los suelos arcillosos de baja capacidad portante mediante el uso de un aditivo alternativo, económico y sostenible como la ceniza de cáscara de tara. Diversos estudios recientes (Gidebo et al., 2023) evidencian que los residuos agroindustriales, como las cenizas de bagazo de caña, cascarilla de arroz y otros subproductos agrícolas, poseen características puzolánicas y físicas que contribuyen a incrementar la resistencia, la densidad seca máxima y el índice CBR de los suelos, favoreciendo su estabilización y la durabilidad de las estructuras. En ese contexto, la valorización de residuos agrícolas locales representa una estrategia sostenible alineada con los principios de la economía circular y la gestión ambiental responsable, lo que respalda la pertinencia de evaluar el potencial de la ceniza de cáscara de tara como material estabilizante en los suelos arcillosos de la región de Huánuco.

1.4.1. JUSTIFICACIÓN PRÁCTICA

Desde el punto de vista práctico, este estudio ofrece una alternativa viable para el mejoramiento de subrasantes en obras viales y de edificación, reduciendo costos frente al uso de aditivos convencionales como cemento o cal. Además, promueve el aprovechamiento de residuos agrícolas que usualmente son desechados, aportando beneficios económicos y ambientales a la región.

1.4.2. JUSTIFICACIÓN TEÓRICA

Desde el enfoque teórico, la investigación brinda sustento científico respecto al efecto de la ceniza de cáscara de tara sobre la resistencia a compresión, la densidad seca máxima, la humedad óptima y el CBR en suelos arcillosos. De esta forma, amplía el conocimiento existente en el ámbito de la mecánica de suelos y promueve nuevas perspectivas de investigación orientadas al aprovechamiento de residuos agroindustriales como estabilizantes alternativos y sostenibles.

1.4.3. JUSTIFICACIÓN METODOLÓGICA

Desde el punto de vista metodológico, la investigación se sustenta en un diseño cuasi experimental que contrasta las muestras patrón con suelos mejorados mediante distintos % de ceniza de cáscara de tara. La aplicación de ensayos de laboratorio estandarizados, complementada con el análisis estadístico realizado en los programas Excel y SPSS, garantiza la precisión de los resultados y respalda la validez científica de las conclusiones alcanzadas.

1.5. LIMITACIONES DE LA INVESTIGACIÓN

La investigación presentó ciertas limitaciones relacionadas principalmente con el alcance experimental. En primer lugar, los ensayos se realizaron únicamente en laboratorio, sin validar los resultados en condiciones de campo, lo que restringe la proyección de los hallazgos a escenarios reales de carga y variaciones climáticas. Asimismo, solo se evaluaron tres proporciones de ceniza de cáscara de tara (5%, 10% y 15%), por lo que no fue posible identificar con exactitud el rango óptimo de adición ni analizar valores intermedios o superiores. Otra limitación fue el número reducido de

probetas, lo que, si bien permitió obtener tendencias claras, restringió la posibilidad de realizar análisis estadísticos más amplios. Finalmente, los recursos disponibles no permitieron complementar los ensayos mecánicos con estudios químicos o mineralógicos que hubieran permitido explicar en mayor detalle la interacción entre la ceniza y el suelo arcilloso.

1.6. VIABILIDAD DE LA INVESTIGACIÓN

1.6.1. VIABILIDAD TEÓRICA

La viabilidad teórica del estudio se sustenta en la existencia de antecedentes científicos que demuestran la efectividad de residuos agroindustriales en la estabilización de suelos arcillosos, tales como ceniza de arroz, bagazo de caña y cascarilla de café. Estos trabajos previos brindan un marco de referencia que respalda la hipótesis de que la ceniza de cáscara de tara también puede mejorar las propiedades geotécnicas del suelo, garantizando así la pertinencia y solidez conceptual de la investigación.

1.6.2. VIABILIDAD ECONÓMICA

La viabilidad económica se justifica por el bajo costo de obtención y procesamiento de la ceniza de cáscara de tara, al tratarse de un residuo agrícola abundante en la región de Huánuco. Esto permitió desarrollar el experimento sin necesidad de recurrir a aditivos convencionales costosos como cemento o cal. Además, el uso de laboratorios universitarios y recursos locales redujo los gastos de materiales y equipos, asegurando que la investigación se pudiera llevar a cabo con un presupuesto accesible.

1.6.3. VIABILIDAD TEMPORAL

La viabilidad temporal se consideró factible ya que la recolección de suelos, preparación de las muestras y ejecución de los ensayos de laboratorio se desarrollaron dentro del cronograma establecido. Las pruebas de resistencia a compresión simple, densidad seca máxima, humedad óptima y CBR se realizaron en períodos relativamente cortos, lo

que permitió cumplir con los tiempos de investigación y asegurar la disponibilidad de resultados dentro del año académico correspondiente.

1.6.4. VIABILIDAD SOCIAL Y AMBIENTAL

La investigación es social y ambientalmente viable, ya que plantea una alternativa accesible y sostenible para el mejoramiento de suelos arcillosos mediante el aprovechamiento de la ceniza de cáscara de tara, un residuo agrícola abundante en Huánuco. Socialmente, beneficia a las comunidades locales al brindar una solución de bajo costo para la construcción de caminos y viviendas, generando además valor agregado a la producción de tara y promoviendo la participación de los agricultores. Ambientalmente, contribuye a reducir la acumulación y quema de residuos agrícolas, disminuyendo su impacto contaminante, al mismo tiempo que fomenta el uso de materiales ecoeficientes en la ingeniería civil en reemplazo parcial de aditivos convencionales de mayor huella ambiental.

CAPÍTULO II

MARCO TEÓRICO

2.1. ANTECEDENTES DE LA INVESTIGACIÓN

2.1.1. ANTECEDENTES INTERNACIONALES

Saldaña y Yunga (2023), tuvo como objetivo optimizar la vida útil de las vías secundarias mediante la aplicación de cal viva en la subrasante, identificando el porcentaje óptimo para mejorar su capacidad portante; la investigación se desarrolló en la vía Sibambe Multitud (48,5 km), donde se analizaron tres estratos de suelo mediante ensayos de laboratorio, evaluando su comportamiento en estado natural y tras la adición de cal en proporciones de 2 %, 4 % y 6 %; los resultados mostraron mejoras significativas en la capacidad portante, alcanzando incrementos del 148,27 % en el estrato 2 con 6 % de cal, del 203,12 % en el estrato 3 con 4 %, y del 631,16 % en el estrato 4 también con 4 %, concluyendo que la adición del 4 % de cal viva constituye la proporción óptima para mejorar la resistencia de la subrasante, optimizando recursos y reduciendo costos en la construcción y mantenimiento de este tipo de vías.

Pazmiño y Romero (2024) tuvieron como objetivo principal evaluar la capacidad de carga de las subrasantes de los caminos agrícolas en el Cantón Riobamba utilizando geoceldas para su confinamiento. La metodología se centró en la aplicación de geoceldas de PEAD para la estabilización de los suelos. Los resultados mostraron que el uso de estas geoceldas incrementa la capacidad portante y la rigidez de las subrasantes, reduciendo así los costos de construcción y el espesor de la capa de rodadura. En conclusión, la aplicación de geoceldas en los suelos de la zona es una alternativa técnica y económica viable para mejorar la calidad y durabilidad de los caminos agrícolas, contribuyendo al desarrollo sostenible de la región.

Cobos y Anchundia (2024) en su estudio tuvieron como objetivo caracterizar física y mecánicamente los suelos del sector Los Bajos del Pechiche para establecer parámetros técnicos confiables en el diseño de

cimentaciones, mediante la ejecución de tres perforaciones hasta seis metros de profundidad utilizando el Ensayo de Penetración Estándar y la extracción de múltiples muestras, las cuales fueron analizadas conforme a normas NTE INEN (690, 691, 692, 923) para determinar humedad natural, límites líquido y plástico, granulometría, densidad, clasificación según ASTM, y calcular el índice de plasticidad, coeficiente de hundimiento de Prikloski, capacidad de carga, ángulo de fricción interna, susceptibilidad a licuefacción y relaciones volumétricas; los resultados evidenciaron suelos de plasticidad media a alta, clasificados como MH/OH y ML/OL (suelos arcillosos colapsables), con bajo riesgo de licuefacción y catalogados como marginales, predominando arcillas grises, café, con grava y arenosas, lo que concluyó en la necesidad de considerar estas condiciones desfavorables al momento de diseñar cimentaciones, recomendando precaución técnica adicional para asegurar estabilidad y reducir riesgos estructurales.

2.1.2. ANTECEDENTES NACIONALES

López (2021) tuvo como objetivo determinar cómo influye la ceniza de cáscara de arroz como aditivo estabilizador en la subrasante arcillosa, su investigación fue experimental el diseño es ex trabajó con 100kg de muestra extraída de una calicata excavada a 1.50m de profundidad y adicionó el 5% 10% y 15% de CCA , los resultados obtenidos de los ensayos ejecutados en el laboratorio indican que el tipo de suelo natural es Arcilla Orgánica de alta plasticidad , tiene un LP de 27.17% , un LL de 51.01% y un IP de 23.84% al adicionar los porcentajes de CCA aumenta el IP el valor máximo fue de 26.75% , por otro lado a mayor porcentaje de CCA , el valor de la DMS disminuye incluso más que la del suelo natural , sin embargo al adicionar más del 15% de CCA logra una óptima DS, con respecto al CBR 95%, al incrementar el 15% de CCA aumenta significativamente a un valor de 10.5%. En conclusión, la CCA favorece al mejoramiento de las propiedades mecánicas del suelo arcilloso, al adicionar el 15% logra clasificar como una subrasante buena.

Cristobal y Quinte (2021) tuvo como objetivo determinar la variación de la subrasante al ser estabilizado con la ceniza de eucalipto, la investigación fue con un diseño experimental y un nivel explicativo, trabajó con una población al igual que la muestra de 2+182 Km, las cuales excavó 3 calicatas y añadió el 5%, 10%, 15% de ceniza de eucalipto, lo cual resultó un IP de 12.80%, 7.15% y 5.32%, el menor valor de IP corresponde a la adición de 15% de CA, un CBR de 4.36 %, 15.67 % y 7.54 %, el mayor valor de CBR corresponde a un 10% de CE y Un Módulo de resiliencia de 13.32ksi que corresponde a un 10% de CE. En conclusión, se consigue una estabilización al adicionar un porcentaje de 10% de CE, mejora el CBR, módulo de resiliencia y aumenta la estabilidad volumétrica del suelo.

Bravo y Lopez (2021) tuvo como objetivo añadir valvas de molusco y vidrio para mejorar las propiedades mecánicas del suelo arcilloso, el diseño es experimental y nivel descriptivo, trabajó con una muestra de 200kg de suelo extraído de calicatas, en la cual incorporó el 3%,6%,10%,12% y 15% de polvo de valva de molusco + 7% de polvo de vidrio para cada muestra. Los resultados obtenidos a partir de los ensayos ejecutados indicaron que el tipo de suelo natural corresponde a una arcilla arenosa de baja plasticidad, presenta un IP de 24% y al adicionar los porcentajes de PVM Y PV disminuye hasta un 6.69%, el suelo natural presenta una MDS de 1.784 kg/cm² y un OCH de 9.4%, al adicionar el 6% PVM + 7% PV aumenta la MDS en un valor de 1.847 kg/cm² y un OCH de 12.1%, con respecto a la resistencia al corte, el ángulo de fricción del suelo natural fue 28.9° , al incorporar las mezcla aumenta hasta un 3.1° y la cohesión con respecto al suelo. Se concluye que al emplear el polvo de valvas de molusco y vidrio mejoran las propiedades mecánicas del suelo arcilloso con la proporción del 7% PVM + 6%PV.

2.1.3. ANTECEDENTES LOCALES

Laos (2022) tuvo como objetivo determinar el efecto de biomasa de la palma aceitera en la estabilización de la subrasante arcillosa. El diseño fue de tipo cuasi experimental , nivel relacional y enfoque cuantitativo ,

trabajó con una muestra extraída de una calicata a profundidad de 1.50m en la Sede Palmawasi, en la cual añadió porcentajes de 15%, 20%, 25% de ceniza de biomasa, a través de ensayos de laboratorio se obtuvo un tipo de suelo arcillosos de baja plasticidad, por otro lado el IP redujo significativamente al adicionar el 15% de CBPA de 11.62% a 4.23% con respecto al CBR al 95%, al incorporar el 25% de CBPA resultó un valor máximo de 22.57% logrando una clasificación como material de subrasante Muy buena. En conclusión, la ceniza de biomasa de palma aceitera funciona como aditivo estabilizador, añadiendo el 25% mejora significativamente la capacidad portante del suelo.

Espinoza (2022) tuvo el objetivo de determinar la influencia del extracto del Schinu Molle en las propiedades físicas - mecánicas de una subrasante arcillosa. Con un diseño cuasi experimental y longitudinal, nivel relacional y enfoque cuantitativo, trabajó una muestra extraída a una profundidad de 1.50m del km 26+800 L/I, referente a un suelo pobre. Se demostró mediante el ensayo Granulométrico que el tipo de suelo natural arcilloso según SUCS es (CH), y mediante AASHTO corresponde al grupo A-7-6 (15). Presentó una humedad natural alta de 22.4%, un IP alta de 26.4%, MDS de 1.454g/cm³ y óptimo contenido de humedad de 29.7% , el CBR dio como resultados muy bajos, del 100% de la MDS un 5.4% y para un 95% de la MDS un 3.9%, añadiendo Schinu molle en 3%,5% y 7% en peso de la muestra, la MDS resultó 1.468g/cm³ y la humedad óptima de 26.7% , con la adición del 7% el CBR aumenta con un 100% de la MDS al 6.4% y con 95% de la M.D.S al 5.5% , el porcentaje promedio de Expansión de la Muestra Natural fue de 3.24 % al agregarle el 7% de Molle Licuado la expansión disminuyó del 3.24% al 1.99%. En conclusión, el Schinu Molle sí mejora las propiedades físicas mecánicas del suelo arcilloso con el 7% ya que aumentó la MDS a un 0.96%, disminuye la expansión al 60%y aumenta el CBR al 41%.

2.2. BASES TEÓRICAS

2.2.1. SUELO

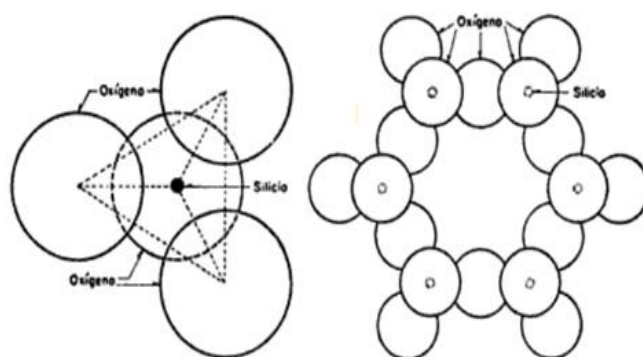
El suelo es un material no consolidado formado por un conjunto de partículas minerales originadas por procesos de fragmentación o alteración mecánica y química. Su clasificación depende principalmente del tamaño de sus partículas, pudiendo ser arena, limo, grava o arcilla. Las gravas suelen contener fragmentos de cuarzo, feldespato y otros minerales; en la arena predominan el cuarzo y el feldespato, acompañados en ocasiones de otros granos minerales; los limos están compuestos por partículas muy finas de cuarzo y láminas derivadas de minerales micáceos; mientras que las arcillas presentan partículas en forma de láminas microscópicas o submicroscópicas integradas por mica, minerales de arcilla y diversos minerales adicionales (Thompson y Troeh, 2021).

Suelo Arcilloso

Son suelos formados por arcilla, están compuestos principalmente por minerales que tienen una estructura cristalina, como los silicatos obtenidos en rocas ígneas y metamórficas, también por hierro, silicatos de magnesio, entre otros metales hidratados, cuyos átomos se componen en láminas: La silícica y la alumínica. Las láminas silícicas están compuestas por un átomo de silicio y alrededor está formada por 4 oxígenos, tomando forma de un tetraedro que a su vez se agrupan en unidades hexagonales (Queiroz, 2018).

Figura 1

Esquema de la estructura de la lámina silícica

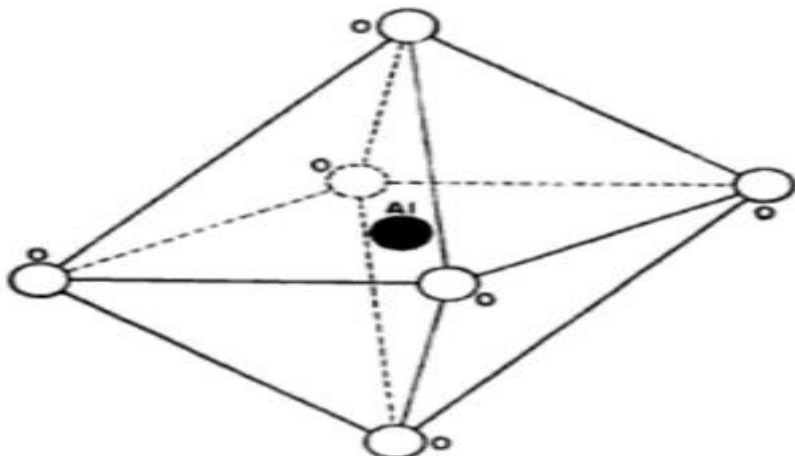


Nota. La figura muestra el esquema de la estructura de la lámina silícica, en el año 2005. Fuente: Mecánica de suelos I: Fundamentos de la Mecánica de suelos (2005).

Las láminas alumínicas están compuestos por octaedros incluyendo un átomo de aluminio en el núcleo o centro, y alrededor forman 6 de oxígeno (Lazares Gutiérrez, 2021).

Figura 2

Esquema de la estructura de la lámina alumínica



Nota. La figura muestra el esquema de la estructura de la lámina alumínica, en el año 2005. Fuente: Mecánica de suelos I: Fundamentos de la Mecánica de suelos (2005).

Con respecto a los minerales de la arcilla estas se agrupan en: Caolinitas, montmilonitas e ilitas. Los minerales de arcilla exhiben plasticidad al entrar en contacto con una pequeña cantidad de agua (Macías Loor et al., 2018).

González et al. (2024) menciona que el tamaño de la arcilla es de un diámetro menor de 0.005 mm y que al tener contacto con el agua tiende a volverse plástica, al secarse se contraen, según su humedad presentan una alta cohesión y al exponerse a acción de cargas se comprimen.

2.2.2. ESTABILIZACIÓN DE SUELOS

Se refiere a la mejora de las propiedades físicas – mecánicas como la resistencia del esfuerzo cortante, comprensibilidad, la estabilidad volumétrica cuando existe agua, para ello se modifica mediante

procedimientos mecánicos y una combinación de productos, naturales, sintéticos y químicos. Esta estabilización se realiza a menudo en suelos inadecuados, pobres o inestables como son las arcillas, la cual se pueden utilizar materiales de estabilización del suelo con cemento, cal, asfalto y otros distintos productos (Montejo Fonseca et al., 2019).

En algunas ocasiones se emplean aditivos para la estabilización de suelos en terreno, especialmente aquellos de textura fina. Los aditivos más utilizados incluyen, cemento, cenizas volantes y cal. La estabilización del suelo tiene varios efectos principales: Altera las propiedades del suelo, acelera el proceso constructivo y mejora la resistencia y durabilidad del suelo (Herráez y Moreno, 2019).

Propiedades De La Estabilización En Un Suelo

Estabilización Volumétrica

La estabilización en un suelo debe incrementar la capacidad de resistir las presiones que se pueda originar a causa del aumento de la cantidad de agua (García et al., 2024).

Resistencia

La mayoría de los aditivos estabilizadores tiende a aumentar la resistencia de la capacidad portante en un suelo pobre, logrando un material apto a nivel de subsaante (Jaramillo Suárez, 2017).

Compresibilidad

Un aditivo estabilizador beneficioso al ser aplicado al suelo tiende a disminuir la compresibilidad (Jaramillo Suárez, 2017).

Durabilidad

La estabilización debe favorecer a esta propiedad que hace referencia a la capacidad del suelo de soportar cuando están sometidos a factores ambientales y al tránsito con el fin de garantizar su durabilidad durante su periodo de diseño (González y Cueto, 2017).

Trabajabilidad

La estabilización debe garantizar en esta propiedad que es la facilidad para ser manipulado, aplicado, incorporado en una mezcla homogéneamente para su proceso (Lazares Gutiérrez, 2021).

Plasticidad

La plasticidad es una propiedad que influye en el comportamiento de suelo al tener contacto con el agua, la estabilización en un suelo debe garantizar en reducir la plasticidad (Macías et al., 2018).

Tipos de estabilización

Estabilización mecánica

La estabilización mecánica tiene el fin de mejorar las propiedades del suelo sin modificar la composición de su estructura, generalmente este proceso se logra mediante la compactación, ya que reduce los vacíos que puede contener el suelo (Montejo Fonseca et al., 2019).

Compactación dinámica

Es un método para aumentar la densidad de los sedimentos granulares del suelo. Esta técnica consiste en lanzar reiteradamente un gran peso al suelo en intervalos regulares. El peso del martillo utilizado varía de 80 a 360 kN, mientras que la altura de caída fue de 7,5 a 30,5 metros. Las ondas creadas por los golpes del martillo son de tensión y contribuyen a la compactación del suelo. Los factores principales dependen del lugar del grado de compactación que se obtiene en un lugar determinado: el peso de los martillos, la altura de caída y la distancia entre los puntos de caída de los martillos (Villalobos, 2016).

Estabilización química

Estabilización con cal

Existen diferentes tipos de cal utilizados para la estabilización de suelos finos, como la cal hidratada rica en calcio, la cal viva de origen calcítico, la cal dolomítica monohidratada y la cal viva de origen dolomítico. Por lo general, el porcentaje de cal necesaria para la estabilización del suelo oscila entre el 5% y el 10%. En arcillas se producen dos reacciones químicas conocidas como intercambio catiónico y floculación-aglomeración cuando se añade cal (Navarro García, 2023).

Estabilización con cemento

El uso del cemento es el más utilizado como material para estabilizar suelos, en especial al construir carreteras y presas de tierra, es una alternativa para estabilizar suelos finos. Al igual que la cal, el cemento disminuye el límite líquido de las arcillas e incrementa la plasticidad y la trabajabilidad. La estabilización con cemento resulta efectiva en arcillas cuando el límite líquido es menor a 45 hasta 50 y un índice de plasticidad es aproximadamente de menos de 25 (Guerrero Fernández, 2017).

Estabilización con ceniza volante

Provienen de la incineración de carbón pulverizado, a menudo ligado con las centrales eléctricas. Es un polvo de granos finos que en lo principal contiene sílice, óxido de aluminio álcalis y varios óxidos. Debido a sus propiedades puzolánicas, las cenizas volantes reaccionan con la cal apagada y así forman productos de cemento y se pueden usar para estabilizar bases y subbases de carreteras. Con respecto a la preparación de las mezclas se utiliza un 10-35% de cenizas volantes y 2-10% de cal. Esta mezcla de suelo, cal y ceniza se compacta bajo condiciones controladas y con suficiente humedad para formar una capa de suelo estable (Montoya Jaramillo, 2017).

2.2.3. ENSAYOS DE SUELO DE FUNDACIÓN

Ensayo de granulometría por tamizado

Este ensayo tiene el objetivo de determinar la distribución de los tamaños de las partículas de suelo, expresado como porcentajes de suelo

que conduce a través de los distintos tamices utilizados para el ensayo, hasta el tamiz de 74 mm (Nº 200) (Rondón y Reyes, 2023).

Incluyen los siguientes tamices:

Figura 3

Abertura de los tamices de malla cuadrada

TAMICES	ABERTURA (mm)
3"	75,000
2"	50,800
1 ½"	38,100
1"	25,400
¾"	19,000
⅜"	9,500
Nº 4	4,760
Nº 10	2,000
Nº 20	0,840
Nº 40	0,425
Nº 60	0,260
Nº 140	0,106
Nº 200	0,075

Ensayo de Límite De Atterberg

Índice de plasticidad

Basados en la NTP 339.129, el índice de plasticidad se obtiene de la resta del límite plástico y límite líquido.

Límite líquido

Basados en el ASTM D423-66, NTP 339.129, la cual establece que para determinar el límite líquido se evaluará el contenido de humedad, que cierre la distancia de 1/2 plg (12.7mm) a lo largo de la ranura a través de 25 golpes.

Límite plástico

Basados en el ASTM D423-66, NTP 339.129, establece que, para determinar el límite plástico, se utiliza un rollito de 3,2 mm que se formará con el suelo, el contenido de agua que se raje al formar el rollito resultará ser el límite plástico.

CBR (California Bearing Ratio)

Basados en el ASTM D 1883, MTC 132 y la NTP 339.145 indica que su uso se emplea para la evaluación de la capacidad portante del suelo, la resistencia potencial de las capas que constituyen la estructura de un pavimento, así como para la evaluación la resistencia al esfuerzo de corte de un terreno con el fin de evaluar la calidad del suelo, teniendo en cuenta las condiciones de humedad optima y densidad seca, también proporciona un resultado de la expansión que pueda tener la muestra.

ENSAYO DE PROCTOR MODIFICADO

El método está basado en determinar la densidad seca de diferentes ensayos de probetas, para la compactación del suelo se utiliza rodillos pesados en las cinco capas que luego se someterá a una compresión de 44.5 N que es el peso del martillo, el cual golpea 25 veces para cada capa, la compactación debe estar en las mismas condiciones, pero con diferentes contenidos de humedad (Rui-Wamba, 2020).

2.2.4. LA TARA

El árbol de tara, de nombre científico Caesalpinia Spinosa, es una planta leguminosa, de tamaño pequeño, de 4-8 m de altura y que puede alcanzar los 12 m en condiciones adecuadas, y es la más común. Su importancia Su valor económico son las vainas secas para obtener taninos para el curtido de cueros y las semillas para la goma de mascar como aditivo alimentario. La harina o el polvo elaborado con vainas de tara molidas pueden contener hasta un 60 % de tanino (Blanco y Valle, 2009).

2.2.5. CÁSCARA DE TARA

La cáscara de tara representa el 62% – 67% del peso total del fruto, la cáscara contiene un alto contenido de taninos (Blanco y Valle, 2009).

2.2.6. CENIZA DE CÁSCARA DE TARA

La ceniza de cáscara de tara es el producto de la calcinación de la cáscara de tara (Bustamante y Bustamante, 2009).

2.3. DEFINICIONES CONCEPTUALES

ARCILLA: Porción fina de un suelo que exhibe plasticidad (González Caballero, 2001).

CAPACIDAD PORTANTE: Es el esfuerzo de contacto máximo que puede resistir el suelo sin originar un asentamiento de la estructura apoyada en ella (Díaz de León et al., 2018).

ESTABILIZACIÓN DE SUELOS: Es un tratamiento químico o mecánico destinado a aumentar o preservar la estabilidad de la masa del suelo con el fin de mejorar sus propiedades técnicas (Montejo Fonseca et al., 2019).

SUBRASANTE: Es la superficie de suelo preparada para soportar una estructura o un sistema de pavimentación (Rondón y Reyes, 2023).

2.4. HIPÓTESIS

2.4.1. HIPÓTESIS GENERAL

HG: La ceniza de cáscara de tara influye significativamente en la capacidad portante de la subrasante de suelo arcilloso.

H0: La ceniza de cáscara de tara no impacta notablemente en la capacidad portante de la subrasante de suelo arcilloso.

2.4.2. HIPÓTESIS ESPECÍFICAS

HE1: La incorporación del 5% de ceniza de cáscara de tara impacta notablemente en la capacidad portante de la subrasante de suelo arcilloso.

HE0: La incorporación del 5% de ceniza de cáscara de tara no impacta notablemente en la capacidad portante de la subrasante de suelo arcilloso.

HE2: La incorporación del 10% de ceniza de cáscara de tara impacta notablemente en la capacidad portante de la subrasante de suelo arcilloso.

HE0: La incorporación del 10% de ceniza de cáscara de tara no impacta notablemente en la capacidad portante de la subrasante de suelo arcilloso.

HE3: La incorporación del 15% de ceniza de cáscara de tara impacta notablemente en la capacidad portante de la subrasante de suelo arcilloso.

HE0: La incorporación del 15% de ceniza de cáscara de tara no impacta notablemente en la capacidad portante de la subrasante de suelo arcilloso.

HE4: La densidad máxima seca de los suelos arcillosos se incrementa a medida que aumenta la adición de ceniza de cáscara de tara.

HE0: La densidad máxima seca de los suelos arcillosos no se incrementa a medida que aumenta la adición de ceniza de cáscara de tara.

HE5: El porcentaje de humedad máxima de los suelos arcillosos se incrementa a medida que aumenta la adición de ceniza de cáscara de tara.

HE0: El porcentaje de humedad máxima de los suelos arcillosos no se incrementa a medida que aumenta la adición de ceniza de cáscara de tara.

HE6: El índice de CBR de los suelos arcillosos se incrementa a medida que aumenta la adición de ceniza de cáscara de tara.

HE0: El índice de CBR de los suelos arcillosos no se incrementa a medida que aumenta la adición de ceniza de cáscara de tara.

2.5. VARIABLES

2.5.1. VARIABLE DEPENDIENTE

Capacidad Portante de la subrasante.

2.5.2. VARIABLE INDEPENDIENTE

Ceniza de cáscara de tara.

2.6. OPERACIONALIZACIÓN DE VARIABLES

VARIABLE DE ESTUDIO	DEFINICIÓN CONCEPTUAL	DEFINICIÓN OPERACIONAL	DIMENSIONES	INDICADORES	INSTRUMENTO	ESCALA
La ceniza de cáscara de tara es el producto de la calcinación de la cáscara de tara. (Variable Independiente)	La ceniza de cáscara de tara es el producto de la calcinación de la cáscara de tara.	Se aplicará	-Peso del 5%, 10%, 15% de la ceniza de cáscara de tara respecto al peso seco de la muestra.	- Kilogramos (Kg)	-Ficha de Campos	METODOLOGÍA ENFOQUE: Cuantitativo
Capacidad Portante de la subrasante (Variable Dependiente)	Es el esfuerzo de contacto máximo que puede resistir el suelo sin originar un asentamiento de la estructura apoyada en ella.	La Capacidad Portante de la subrasante de suelo arcilloso se obtendrá mediante la ejecución del ensayo California Bearing Ratio (CBR).	-Capacidad Portante con 5%, 10%, 15% de ceniza de cáscara de tara respecto al peso seco de la muestra.	- Resistencia a la compresión a los 28 días (kg/cm ²) - Variación de la resistencia entre métodos	- Ficha de laboratorio del ensayo CBR.	METODOLOGÍA ENFOQUE: Cuantitativo

CAPÍTULO III

METODOLOGÍA DE LA INVESTIGACIÓN

3.1. TIPO DE INVESTIGACIÓN

La investigación aplicada es un tipo de investigación científica orientada a resolver problemas prácticos y específicos, utilizando conocimientos, teorías y métodos previamente desarrollados en la investigación básica para generar soluciones, mejoras o innovaciones en un contexto real (Reyes, 2022).

El trabajo de investigación es de tipo aplicada puesto que busca actuar ante una realidad problemática, en este caso se añadirá porcentajes de cenizas de cáscara de tara a la subrasante de suelo arcilloso para aumentar su capacidad portante.

3.1.1. ENFOQUE

El enfoque cuantitativo es un tipo de investigación que se basa en la recolección y el análisis de datos numéricos para describir, explicar o predecir fenómenos, utilizando la medición objetiva, la estadística y la comprobación de hipótesis con el fin de obtener resultados generalizables y verificables (Barbosa et al., 2020).

El presente proyecto de investigación tiene enfoque cuantitativo porque a través de la medición numérica se utilizará la selección de datos para determinar la influencia de la ceniza de cáscara de tara como alternativa para el mejoramiento de la capacidad portante de la subrasante de suelo arcilloso.

3.1.2. ALCANCE O NIVEL

El nivel explicativo de la investigación busca identificar las causas y efectos de un fenómeno, respondiendo al “por qué” y “cómo” ocurre. Este tipo de estudio profundiza en las relaciones entre variables, formulando hipótesis que luego se verifican mediante análisis detallados. Es esencial

para comprender y justificar las razones detrás de un comportamiento o resultado (Iglesias, 2021).

Con respecto al nivel, la presente investigación corresponde a un nivel Explicativo, porque se conocerá la causa - efecto entre las variables; ceniza de cáscara de tara como alternativa para incrementar la capacidad portante de la subsaante de suelo arcilloso.

3.1.3. DISEÑO

El diseño cuasi experimental es un tipo de diseño de investigación que permite establecer relaciones de causa y efecto entre variables, mediante la aplicación de un tratamiento o intervención, pero sin asignar aleatoriamente los sujetos o muestras a los grupos de estudio, manteniendo un grupo control y uno o más grupos experimentales para comparar los resultados (Enrique Pereyra, 2022).

El estudio se desarrolló bajo un diseño cuasi experimental, el cual permitió comparar los efectos de la incorporación de ceniza de cáscara de tara en diferentes proporciones (5%, 10% y 15%) sobre las propiedades geotécnicas de un suelo arcilloso, en relación con un grupo control conformado por muestras de suelo natural. Este diseño permitió establecer la relación causa-efecto entre la variable independiente, porcentaje de ceniza añadida y la variable dependiente, capacidad portante del suelo, sin aplicar una asignación aleatoria de las muestras. De esta manera, se comprobó el efecto del tratamiento en condiciones controladas, validando los resultados obtenidos y evidenciando la influencia positiva de la ceniza en el mejoramiento del suelo arcilloso.



X → Y

Donde:

X: La ceniza de cáscara de tara

Y: Capacidad Portante del suelo

3.2. POBLACIÓN Y MUESTRA

3.2.1. POBLACIÓN

La población se refiere al conjunto total de elementos o unidades que comparten características específicas relacionadas con el objeto de estudio. En esta investigación, la población podría ser todos los concretos curados en diferentes condiciones (Gaviria y Márquez, 2019).

En este estudio la población está conformada por el suelo que contiene el Jr. Los Cedros, Distrito De Amarilis, Huánuco, la cual será excavada por una calicata de 1.50m de profundidad.

3.2.2. MUESTRA

Una muestra no probabilística se selecciona sin aplicar criterios aleatorios, sino que se elige según conveniencia, disponibilidad o juicio del investigador. Esto permite trabajar con grupos representativos en contextos donde no se puede garantizar la aleatoriedad. En este caso, se seleccionarán probetas de suelo de manera no probabilística, garantizando que representen adecuadamente las condiciones de curado estudiadas (Gaviria y Márquez, 2019).

Las muestras incluidas en este estudio tienen fines no probabilísticos, ya que no es igualmente probable que todos los elementos formen parte de la muestra.

El Manual de Carreteras Suelos, Geología, Geotecnia y Pavimentos, recomienda que para la exploración de suelos de bajo volumen de tránsito se requiere 01 calicata por Kilómetro a 1.50m de profundidad.

Para el presente proyecto se tomará 1 muestra representativa de una calicata para estudiar las propiedades de la estabilización del suelo. Luego de dicha muestra de tierra (calicata) se elaboraron:

- Para la compresión: 8 muestras con 5% de ceniza de cáscara de tara, 8 muestras con 10% de ceniza de cáscara de tara, 8 muestras con 15% de ceniza de cáscara de tara y 8 muestras sin ceniza de cáscara de tara.

- Para la humedad máxima: 8 muestras con 5% de ceniza de cáscara de tara, 8 muestras con 10% de ceniza de cáscara de tara, 8 muestras con 15% de ceniza de cáscara de tara y 8 muestras sin ceniza de cáscara de tara.

3.3. TÉCNICAS E INSTRUMENTOS DE RECOLECCIÓN DE DATOS

3.3.1. PARA LA RECOLECCIÓN DE DATOS

En la presente investigación se aplicó la observación directa como método principal de recolección de datos, permitiendo obtener información precisa y confiable sobre las variables analizadas. Del mismo modo, se recurrió a técnicas de laboratorio indispensables para la preparación de las mezclas y la ejecución de los ensayos especializados. Se elaboraron muestras de suelo arcilloso incorporando ceniza de cáscara de tara en proporciones del 5%, 10% y 15% respecto al peso seco del suelo, además de un grupo patrón sin adición.

Las probetas fueron conformadas considerando los parámetros de humedad óptima y densidad seca máxima, determinados mediante el ensayo Proctor (ASTM D1557). Posteriormente, se evaluó su comportamiento mediante ensayos de resistencia a la compresión simple (ASTM D2166) y CBR (ASTM D1883), con el propósito de analizar la variación en la capacidad portante del suelo tratado.

Para cada porcentaje de adición se elaboraron ocho probetas, alcanzando un total de treinta y dos muestras ensayadas. Todas fueron debidamente identificadas y registradas fotográficamente, lo que garantizó la trazabilidad del proceso experimental y la interpretación precisa de los resultados obtenidos.

Figura 4

Recolección de la muestra de tierra



Figura 5

Pesaje de suelo para realizar la granulometría



Figura 6

Vibrado manual de los tamices



Figura 7

Pesaje de las muestras de suelo retenidas en cada tamiz



Figura 8

Pesaje de la muestra de suelo pasante del tamiz N° 40



Figura 9

Preparación de la muestra de suelo para el ensayo de Casagrande



Figura 10

Llenado de muestra a la cuchara de Casagrande



Figura 11

Trazo de hendidura con el acanalador de bronce



Figura 12

Golpes del suelo con la Casagrande



Figura 13

Pesaje de la muestra después del ensayo de Casagrande



Figura 14

Ensayo del límite plástico del suelo



Figura 15

Pesaje de las muestras elipsoides del suelo



Figura 16

Secado en el horno las muestras de suelo



Figura 17

Pesajes de ceniza de cáscara de tara 5%.



Figura 18

Pesajes de ceniza de cáscara de tara 10%



Figura 19

Pesaje de ceniza de cáscara de tara 15%.



Figura 20

La muestra extraída del suelo



Figura 21

Cortamos la muestra a una altura especificada de 4"



Figura 22

Entallamiento de la muestra de suelo.



Figura 23

Medición longitudinal de la muestra tallada



Figura 24

Medición transversal de la muestra tallada



Figura 25

Humedecimiento de la tierra con su adición de 5%



Figura 26

Humedecimiento de la tierra con su adición de 10%.



Figura 27

Humedecimiento de la tierra con su adición de 15%.



Figura 28

Proceso del llenado del molde cilíndrico con el suelo y sus adiciones 5%



Figura 29

Proceso del llenado del molde cilíndrico con el suelo y sus adiciones 10%



Figura 30

Proceso del llenado del molde cilíndrico con el suelo y sus adiciones 15%



Figura 31

Proceso de desmoldeo de las muestras de suelo con sus respectivas adiciones 5%.



Figura 32

Proceso de desmoldeo de las muestras de suelo con sus respectivas adiciones 10%

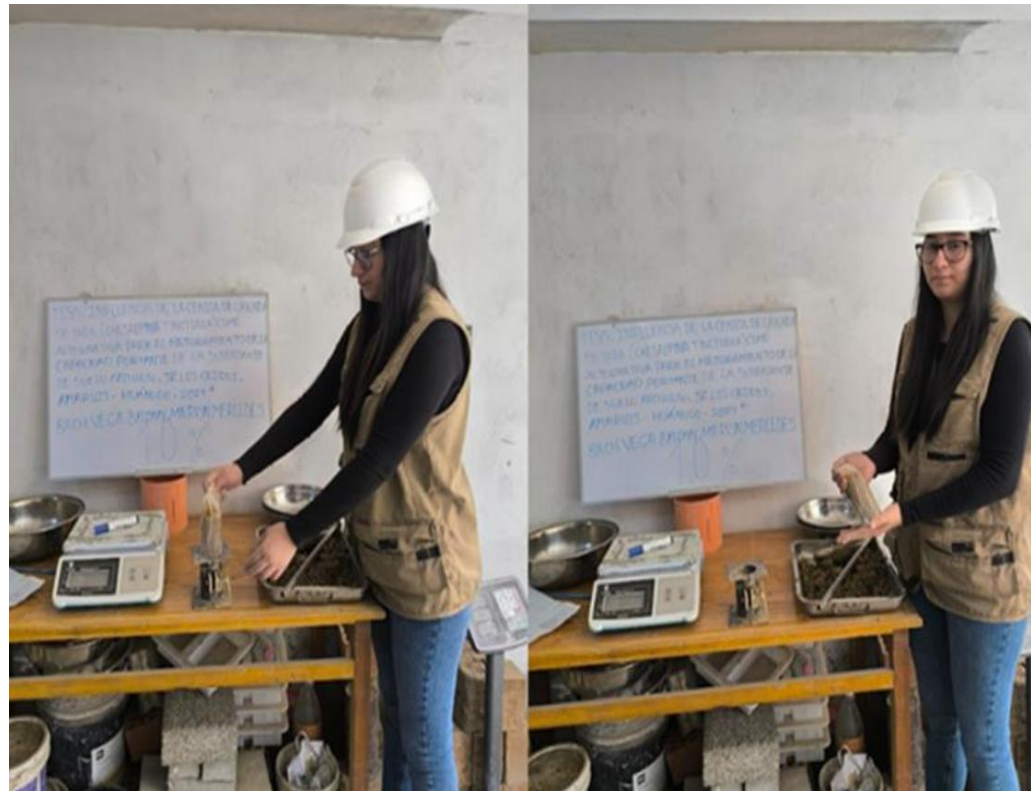


Figura 33

Proceso de desmoldeo de las muestras de suelo con sus respectivas adiciones 15%



Figura 34

Muestra poblacional de los testigos cilíndricos de suelos con adiciones de ceniza de cáscaras de tara



Figura 35

Colocación y registro de la carga máxima y deformación que da la muestra de suelo (Patrón)



Figura 36

Colocación y registro de la carga máxima y deformación que da la muestra de suelo con adición 5%.



Figura 37

Colocación y registro de la carga máxima y deformación que da la muestra de suelo con adición 10%.



Figura 38

Colocación y registro de la carga máxima y deformación que da la muestra de suelo con adición 15%.



Figura 39

Pesaje de la muestra cilíndrica (patrón)



Figura 40

Pesaje de la muestra cilíndrica con adición 5%



Figura 41

Pesaje de la muestra cilíndrica con adición 10%



Figura 42

Pesaje de la muestra cilíndrica con adición 15%.



Figura 43

Llevado al horno



Figura 44

Sacado del horno



Figura 45

Pesaje de la muestra cilíndrica sin adición (patrón)



Figura 46

Pesaje de la muestra cilíndrica con adición 5%



Figura 47

Pesaje de la muestra cilíndrica con adición 10%.



Figura 48

Pesaje de la muestra cilíndrica con adición 15%.



Figura 49

Pesaje de la adición, (ceniza de carbón).



Figura 50

Pesaje de la adición de ceniza de cáscara de tara



Figura 51

Pesaje de la adición de ceniza de cáscara de tara



Figura 52

Pesaje de suelo (patrón).

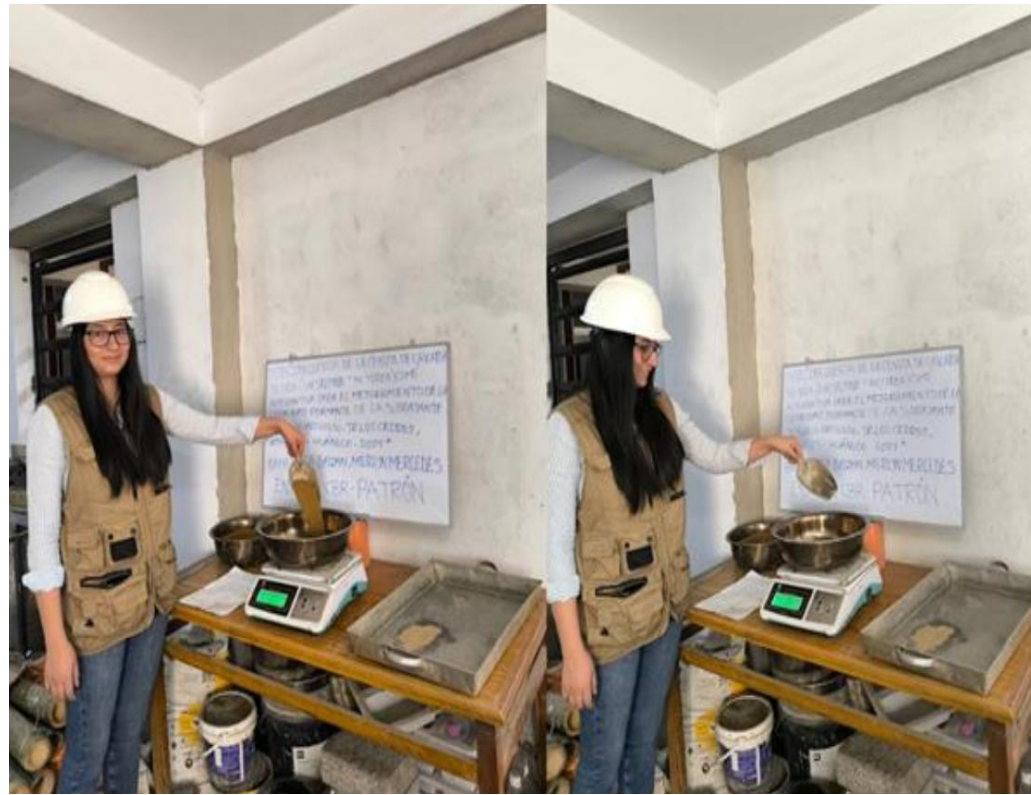


Figura 53

Pesaje de agua



Figura 54

Mezclado homogéneo, del ensayo “CBR” en laboratorio (patrón)



Figura 55

Pesaje de agua, adición (5%)

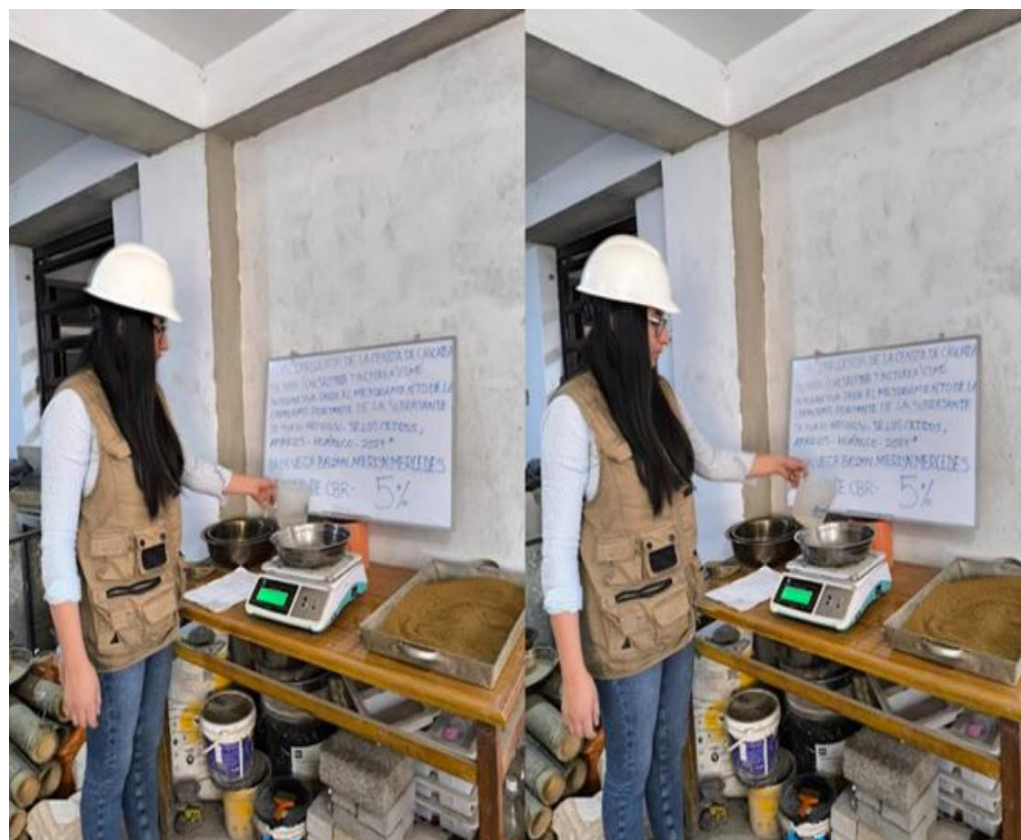


Figura 56

Mezclado homogéneo, del ensayo “CBR” en laboratorio, con adición de 5%



Figura 57

Pesaje de suelo, con adición del 10%.



Figura 58

Pesaje de agua, adición (10%).

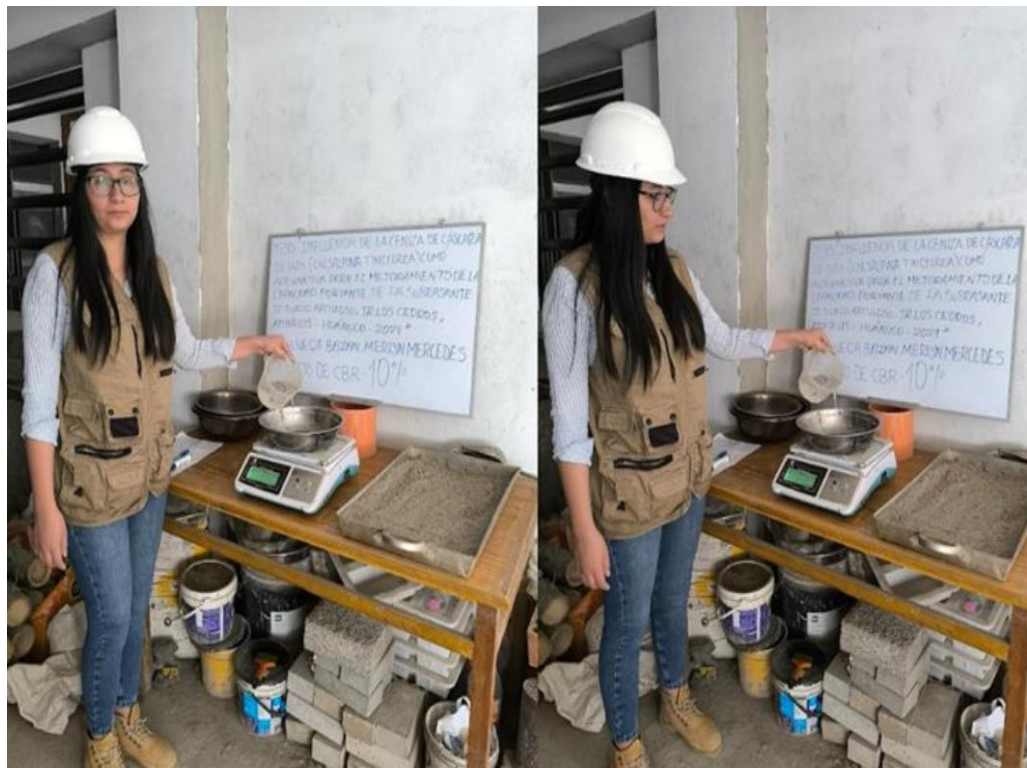


Figura 59

Mezclado homogéneo, del ensayo “CBR” en laboratorio, con adición de 10%



Figura 60

Pesaje de suelo, con adición del 15%



Figura 61

Pesaje de agua, adición (15%)



Figura 62

Mezclado homogéneo, del ensayo "CBR" en laboratorio, con adición de 15%



Figura 63

Pesaje del Proctor (Patrón)

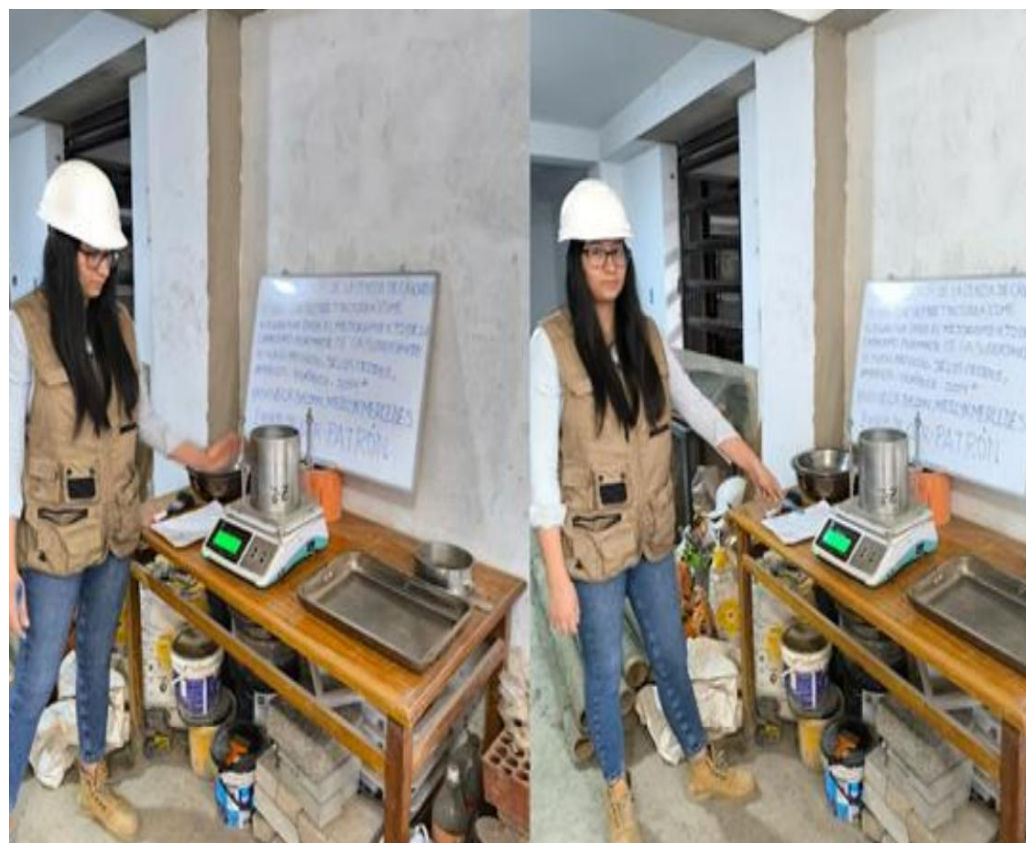


Figura 64

Pesaje del Proctor 5%.



Figura 65

Pesaje del Proctor 10%.



Figura 66

Pesaje del Proctor 15%.



Figura 67

Compactación del ensayo "CBR" en laboratorio (patrón)



Figura 68

Corte del espécimen compactado de la muestra (patrón).



Figura 69

Colocación de vástagos y anillos necesarios para completar una sobrecarga y lectura de deformímetro, en las muestras de ensayo "CBR" (patrón).



Figura 70

Se sumerge en el tanque las muestras de ensayo “CBR” patrón y con adición de (patrón)



Figura 71

Compactación del ensayo “CBR” en laboratorio con (adición 5%)



Figura 72

Corte del espécimen compactado de la muestra con (adición de 5%).



Figura 73

Pesaje de los moldes más suelo húmedo



Figura 74

Colocación de vástagos y anillos necesarios para completar una sobrecarga y lectura de deformímetro, en las muestras de ensayo “CBR” patrón y con adición 5%.



Figura 75

Se sumerge en el tanque las muestras de ensayo “CBR” patrón y con adición de 5%.



Figura 76

Compactación del ensayo “CBR” en laboratorio con (adición 10%).



Figura 77

Corte del espécimen compactado de la muestra con (adición de 10%).



Figura 78

Pesaje de los moldes más suelo húmedo



Figura 79

Colocación de vástagos y anillos necesarios para completar una sobrecarga y lectura de deformímetro, en las muestras de ensayo "CBR" patrón y con adición 10%.

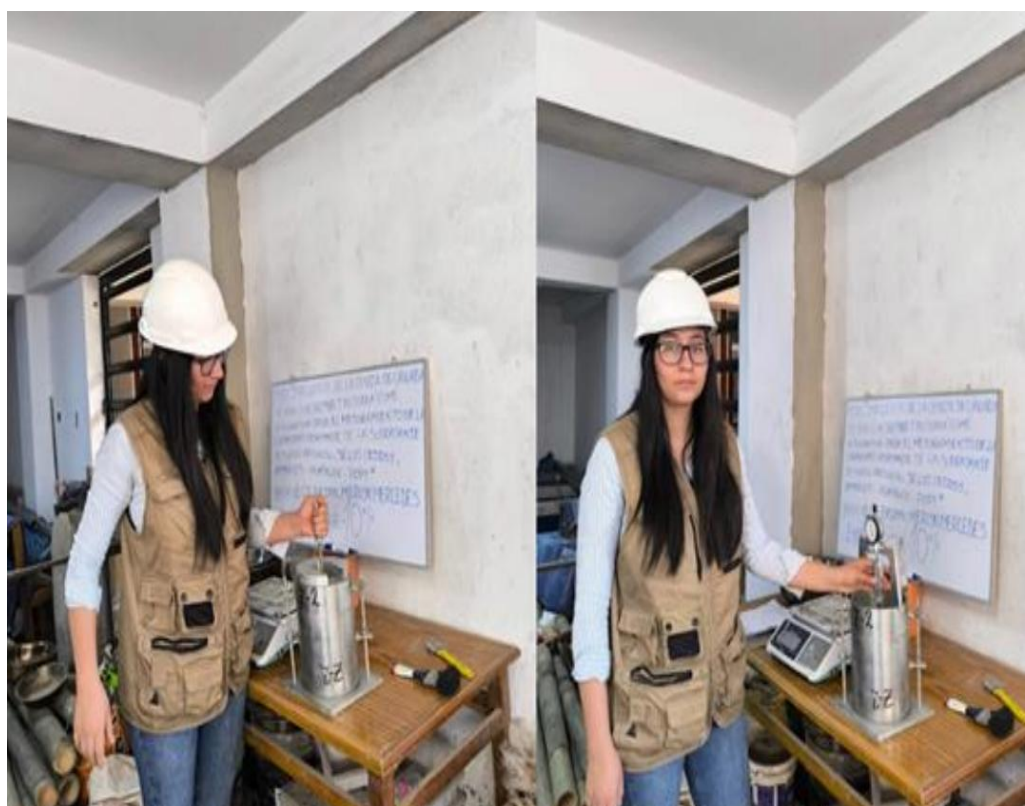


Figura 80

Se sumerge en el tanque las muestras de ensayo “CBR” patrón y con adición de 10%.



Figura 81

Compactación del ensayo “CBR” en laboratorio con (adición 15%).



Figura 82

Corte del espécimen compactado de la muestra con (adición de 15%).



Figura 83

Pesaje de los moldes más suelo húmedo



Figura 84

Colocación de vástagos y anillos necesarios para completar una sobrecarga y lectura de deformímetro, en las muestras de ensayo "CBR" patrón y con adición 15%.



Figura 85

Se sumerge en el tanque las muestras de ensayo "CBR" patrón y con adición de 15%.



Figura 86

Lectura de deformímetro de las muestras de “CBR” (patrón) y con adición 5%, 10% y 15%



Figura 87

Lectura de penetración de la muestra de ensayo “CBR” patrón



Figura 88

Lectura de penetración de la muestra de ensayo “CBR” con adición 5%.



Figura 89

Lectura de penetración de la muestra de ensayo “CBR” con adición 10%.



Figura 90

Lectura de penetración de la muestra de ensayo “CBR” con adición 15%.



3.3.2. PARA LA PRESENTACIÓN DE DATOS

Los resultados obtenidos en los ensayos de laboratorio se organizaron en tablas y gráficos comparativos, diferenciando las muestras patrón y aquellas con la adición de ceniza de cáscara de tara en proporciones del 5%, 10% y 15%. Se presentan los valores promedio de resistencia a la compresión simple, densidad seca máxima, humedad óptima y CBR, junto con los estadísticos de contraste aplicados (*t* de Student y valores de significancia). Esta organización de la información permitió observar de manera clara la variación de las propiedades del suelo arcilloso en función de los diferentes porcentajes de ceniza, facilitando el análisis y la discusión de los resultados.

3.3.3. PARA EL ANÁLISIS E INTERPRETACIÓN DE LOS DATOS

El análisis de los resultados se realizó empleando Microsoft Excel para la organización de la información, elaboración de tablas y gráficos comparativos, lo que permitió visualizar las tendencias en las propiedades del suelo arcilloso tratado con diferentes porcentajes de ceniza de

cáscara de tara. Posteriormente, con el software SPSS se efectuaron las pruebas estadísticas de contraste mediante t de Student para muestras independientes, a fin de determinar la significancia de las diferencias entre las muestras patrón y las tratadas. La interpretación de los datos se basó en la comparación de las medias y los valores de significancia ($p < 0,05$), lo que permitió concluir de manera objetiva el efecto de la ceniza de cáscara de tara en la capacidad portante y demás propiedades geotécnicas del suelo.

CAPÍTULO IV

RESULTADOS

4.1. PROCESAMIENTO DE DATOS

En esta sección se expone el análisis de los datos de resistencia a la compresión de las muestras, obtenidos a través de ensayos realizados en el laboratorio de suelos y concreto.

Análisis descriptivo de los datos obtenidos en laboratorio

Tabla 1

Compresión del suelo patrón y con 5% de ceniza de cáscara de tara (kg/cm^2)

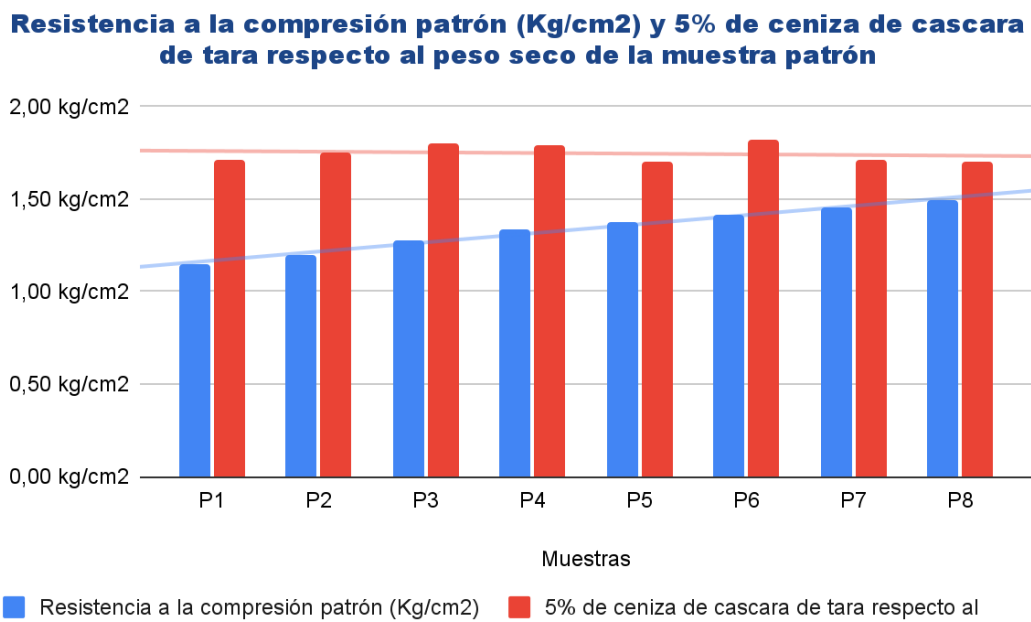
Muestras	F'c patrón (Kg/cm^2)	F'c con 5% de ceniza de cáscara de tara
P1	1,15	1,71
P2	1,20	1,75
P3	1,28	1,80
P4	1,34	1,79
P5	1,38	1,70
P6	1,42	1,82
P7	1,46	1,71
P8	1,49	1,70
Media=	1,34 kg/cm^2	1,76 kg/cm^2

Interpretación:

La tabla muestra los resultados de la compresión de un suelo patrón y del mismo suelo mezclado con un 5 % de ceniza de cáscara de tara. El rango de valores para el suelo patrón va de 1,15 kg/cm^2 a 1,49 kg/cm^2 , con una resistencia media de 1,34 kg/cm^2 . Por otro lado, la adición del 5 % de ceniza de tara causó un aumento en la resistencia, con valores que oscilan entre 1,70 kg/cm^2 y 1,82 kg/cm^2 , y una resistencia media notablemente superior de 1,76 kg/cm^2 . En general, la incorporación de la ceniza de cáscara de tara resultó en un incremento significativo en la resistencia a la compresión del suelo, evidenciado por el aumento de aproximadamente el 39% en la media de resistencia.

Figura 91

Comparación de la compresión del suelo patrón y con 5% de ceniza de cáscara de tara (kg/cm^2).



Interpretación:

La figura muestra visualmente la comparativa de la resistencia a la compresión entre el suelo patrón (barras azules) y el suelo modificado con ceniza de tara (barras rojas). Se observa una constante y notable mejora en la resistencia en todas las muestras. La resistencia del suelo patrón mostró su valor más alto en la muestra P8, alcanzando $1,49 \text{ kg}/\text{cm}^2$. Sin embargo, la resistencia más alta de la mezcla con ceniza de tara se registró en la muestra P6, con un valor de $1,82 \text{ kg}/\text{cm}^2$. Esta diferencia de $0,33 \text{ kg}/\text{cm}^2$ entre los valores máximos de ambas series resalta el impacto positivo de la ceniza de tara como material de refuerzo.

Tabla 2*Compresión del suelo con 10% de ceniza de cáscara de tara y del suelo patrón (kg/cm²)*

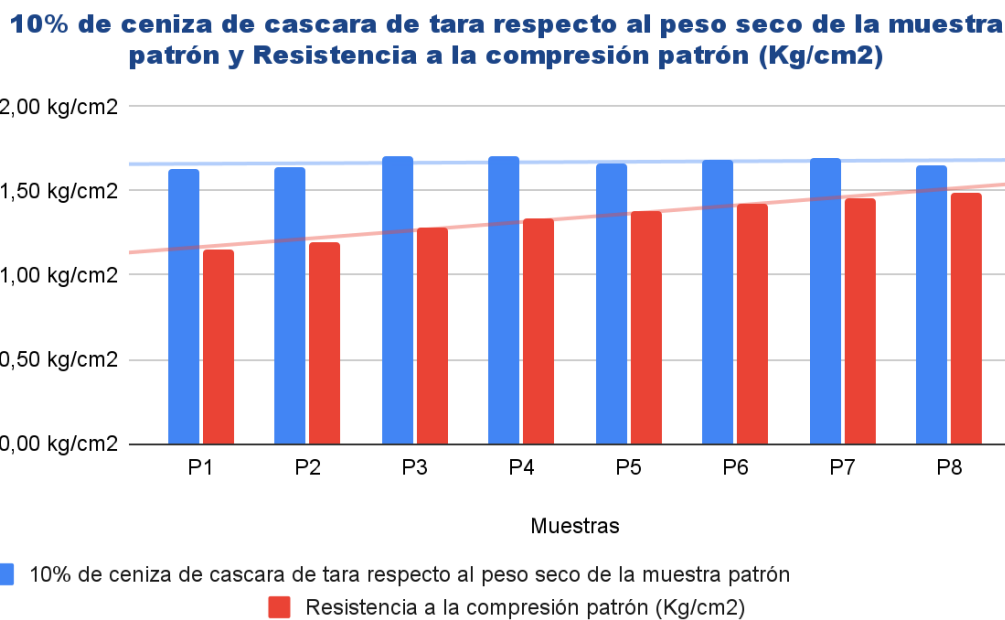
Muestras	F'c 10% de ceniza de cáscara de tara	F'c patrón (Kg/cm ²)
P1	1,63	1,15
P2	1,64	1,20
P3	1,71	1,28
P4	1,71	1,34
P5	1,66	1,38
P6	1,68	1,42
P7	1,69	1,46
P8	1,65	1,49
Media=	1,67 kg/cm²	1,34 kg/cm²

Interpretación:

Esta tabla presenta los resultados de la resistencia a la compresión de un suelo modificado con un 10% de ceniza de cáscara de tara en comparación con el suelo patrón. Se observa que el rango de valores para el suelo con un 10% de ceniza de tara varía de 1,63 kg/cm² a 1,71 kg/cm², con una resistencia media de 1,67 kg/cm². En contraste, los valores de resistencia del suelo patrón van de 1,15 kg/cm² a 1,49 kg/cm², con una media de 1,34 kg/cm². La adición de un 10% de ceniza de tara produjo un incremento significativo en la compresión, evidenciado por el aumento de aproximadamente el 26 % en la media, demostrando el efecto beneficioso de la ceniza de tara como agente estabilizador.

Figura 92

Comparación de la compresión del suelo patrón y con 10% de ceniza de cáscara de tara (kg/cm²)



Interpretación:

La figura muestra claramente que la adición del 10% de ceniza de cáscara de tara incrementa consistentemente la compresión en comparación con el suelo patrón. El valor más alto de resistencia para el suelo patrón se registró en la muestra P8, con 1,49 kg/cm². Sin embargo, la mayor resistencia en las muestras modificadas se observó en P3 y P4, ambas con 1,71 kg/cm². Esta diferencia de 0.22 kg/cm² entre los valores máximos de ambas series resalta el impacto positivo de la ceniza de tara como agente estabilizador, ya que logró aumentar la resistencia en el suelo modificado con un 10% de ceniza de cáscara de tara.

Tabla 3*Compresión del suelo con 15% de ceniza de cáscara de tara y del suelo patrón (kg/cm²)*

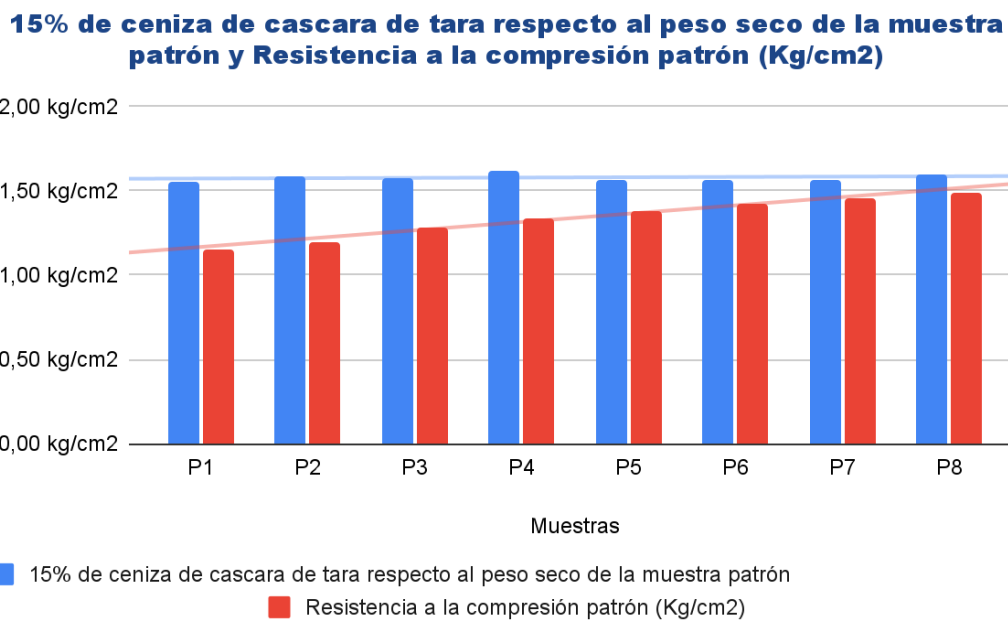
Muestras	F'c 15% de ceniza de cáscara de tara	F'c del suelo patrón (Kg/cm ²)
P1	1,55	1,15
P2	1,59	1,20
P3	1,58	1,28
P4	1,62	1,34
P5	1,56	1,38
P6	1,57	1,42
P7	1,57	1,46
P8	1,60	1,49
Media=	1,58 kg/cm²	1,34 kg/cm²

Interpretación:

La tabla presenta los resultados de la compresión del suelo con un 15% de ceniza de cáscara de tara en comparación con el suelo patrón. El rango de valores para el suelo modificado con 15% de ceniza de tara va de 1,55 kg/cm² a 1,62 kg/cm², con una resistencia media de 1,58 kg/cm². Por otro lado, la resistencia del suelo patrón mostró valores que oscilan entre 1,15 kg/cm² y 1,49 kg/cm², con una media de 1,34 kg/cm². Al igual que en los casos anteriores, la adición del 15% de ceniza de tara mejoró la compresión, reflejado en el aumento del 18% en la resistencia media en comparación con el suelo patrón.

Figura 93

Comparación de la compresión del suelo patrón y con 15% de ceniza de cáscara de tara (kg/cm²)



Interpretación:

La figura muestra una comparación visual de la compresión entre el suelo patrón (barras rojas) y el suelo modificado con un 15% de ceniza de cáscara de tara (barras azules). En todas las muestras, se observa que la adición de la ceniza de tara aumenta la resistencia. El valor más alto de resistencia para el suelo patrón se registró en la muestra P8, con 1,49 kg/cm². Por otro lado, la mayor resistencia en la serie de muestras modificadas con ceniza de tara se encontró en la muestra P4, alcanzando 1,62 kg/cm². A pesar de que la diferencia es menor en comparación con las mezclas de 5% y 10%, la adición del 15% de ceniza sigue demostrando su eficacia al producir un valor máximo de resistencia que supera al valor máximo del suelo patrón.

Tabla 4

Compresión promedio del suelo con 5%, 10%, 15% de ceniza de cáscara de tara y del suelo patrón (kg/cm²)

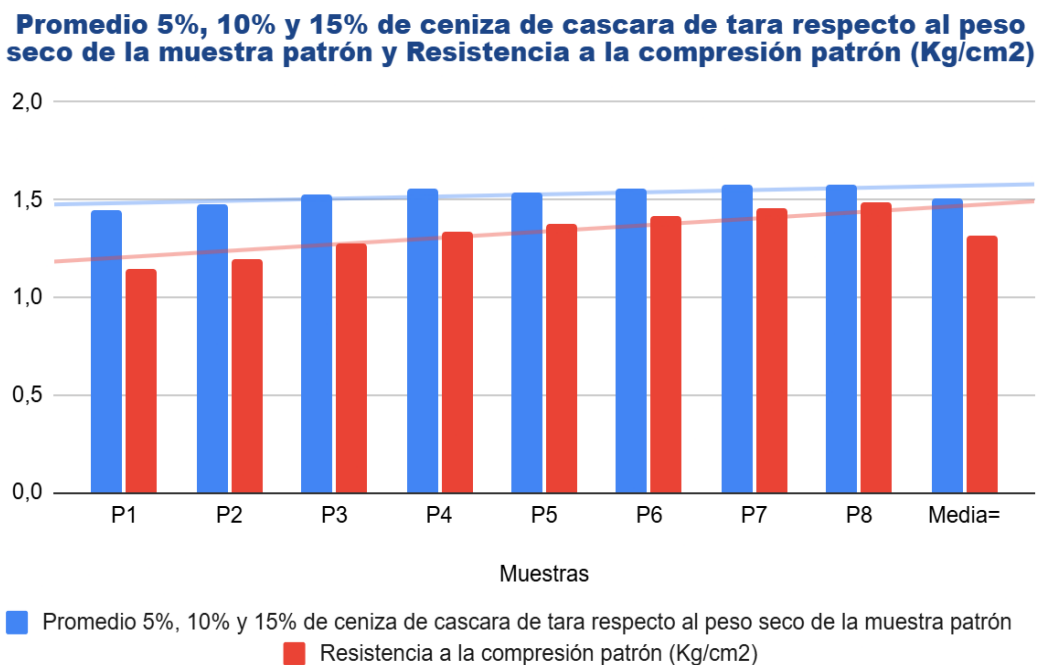
Muestras	F'c promedio 5%, 10% y 15% de ceniza de cáscara de tara	F'c patrón (Kg/cm ²)
P1	1,44	1,15
P2	1,48	1,20
P3	1,52	1,28
P4	1,56	1,34
P5	1,53	1,38
P6	1,56	1,42
P7	1,57	1,46
P8	1,58	1,49
Media=	1,53 kg/cm²	1,34 kg/cm²

Interpretación:

La tabla presenta un resumen de los resultados de la compresión promedio del suelo, tanto el patrón como el modificado con tres diferentes concentraciones de ceniza de cáscara de tara (5%, 10% y 15%). El rango de valores para la resistencia promedio del suelo con ceniza de tara oscila entre 1,44 kg/cm² y 1,58 kg/cm², con una resistencia media de 1,53 kg/cm². En comparación, los valores de resistencia del suelo patrón varían de 1,15 kg/cm² a 1,49 kg/cm², con una media de 1,34 kg/cm². El contraste en las medias demuestra un aumento generalizado del 14,4 % en la compresión al incorporar ceniza de tara.

Figura 94

Comparación de la compresión del suelo patrón y con el promedio de 5%, 10%, 15% de ceniza de cáscara de tara (kg/cm^2)

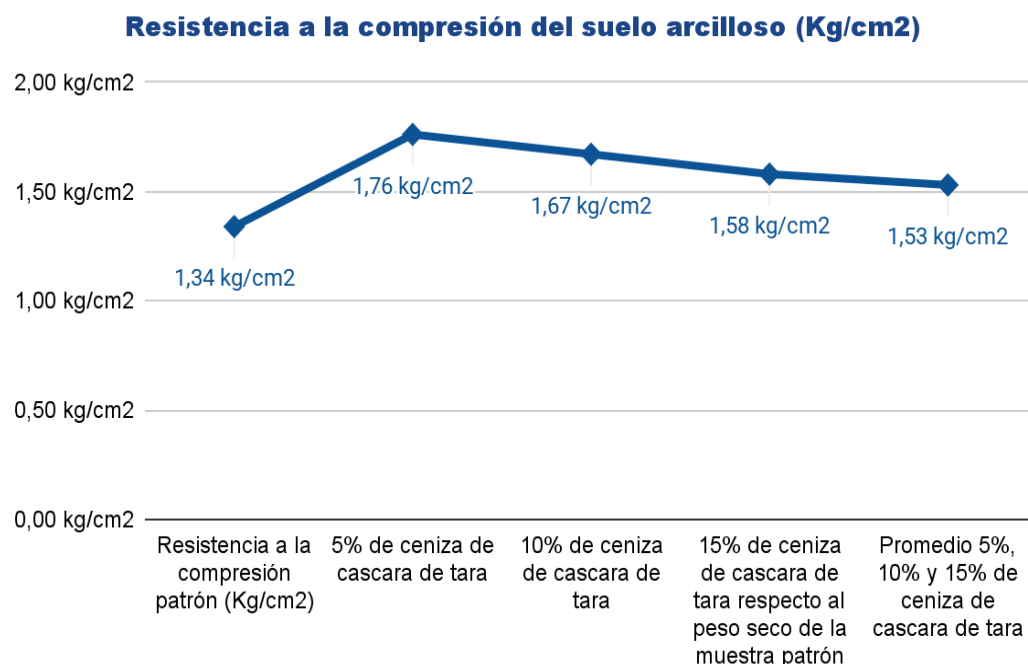


Interpretación:

La figura muestra de manera clara y concisa que la incorporación de ceniza de cáscara de tara en promedio aumenta consistentemente la resistencia del suelo en comparación con el suelo patrón. El valor más alto de resistencia para el suelo patrón se registró en la muestra P8, con $1,49 \text{ kg}/\text{cm}^2$. Por el contrario, el valor promedio más alto para el suelo modificado con ceniza de tara se observó en la muestra P8, con $1,58 \text{ kg}/\text{cm}^2$. Aunque la diferencia en los valores máximos no es enorme, la tendencia general en la gráfica confirma que la ceniza de tara es un aditivo eficaz para mejorar la resistencia a la compresión del suelo.

Figura 95

Resistencia a la compresión para todos los grupos experimentales

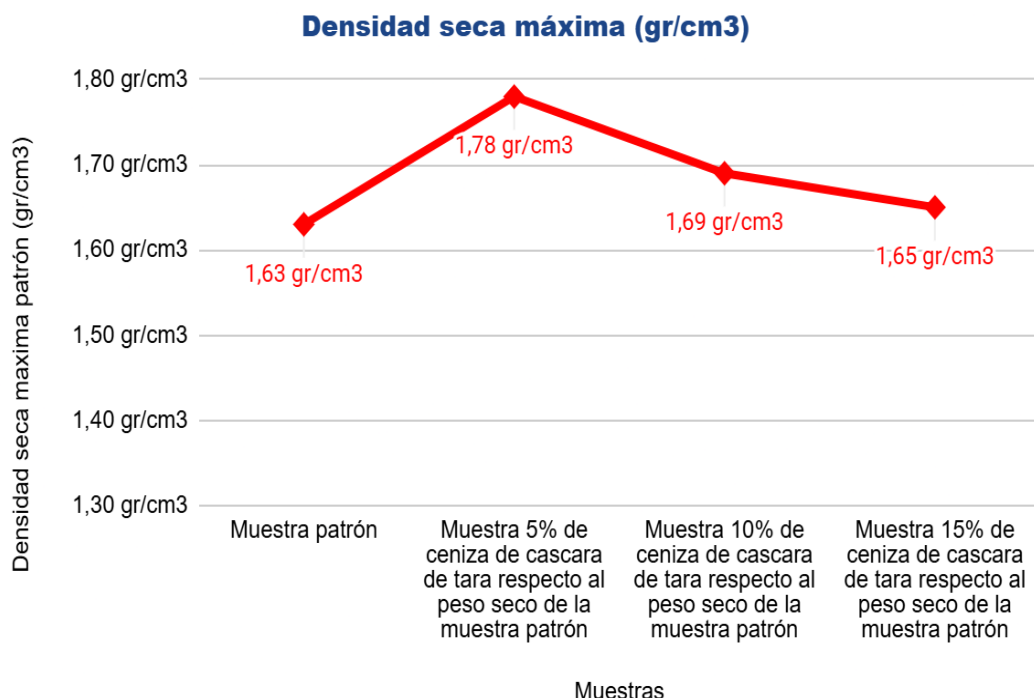


Interpretación:

El gráfico de líneas muestra la compresión del suelo arcilloso en distintas condiciones. Se observa que la resistencia inicial del patrón es de 1,34 kg/cm². Al añadir un 5% de ceniza de cáscara de tara, la resistencia aumenta significativamente a 1,76 kg/cm², representando el punto más alto. Sin embargo, a medida que el % de ceniza de cáscara de tara aumenta al 10% y luego al 15%, la compresión disminuye progresivamente a 1,67 kg/cm² y 1,58 kg/cm² respectivamente. El promedio de resistencia para las adiciones del 5%, 10% y 15% de ceniza de cáscara de tara es de 1,51 kg/cm², lo que indica que, a pesar de la disminución con mayores porcentajes, la adición de ceniza de cáscara de tara generalmente mejora la compresión del suelo arcilloso en comparación con el patrón.

Figura 96

Densidad seca máxima

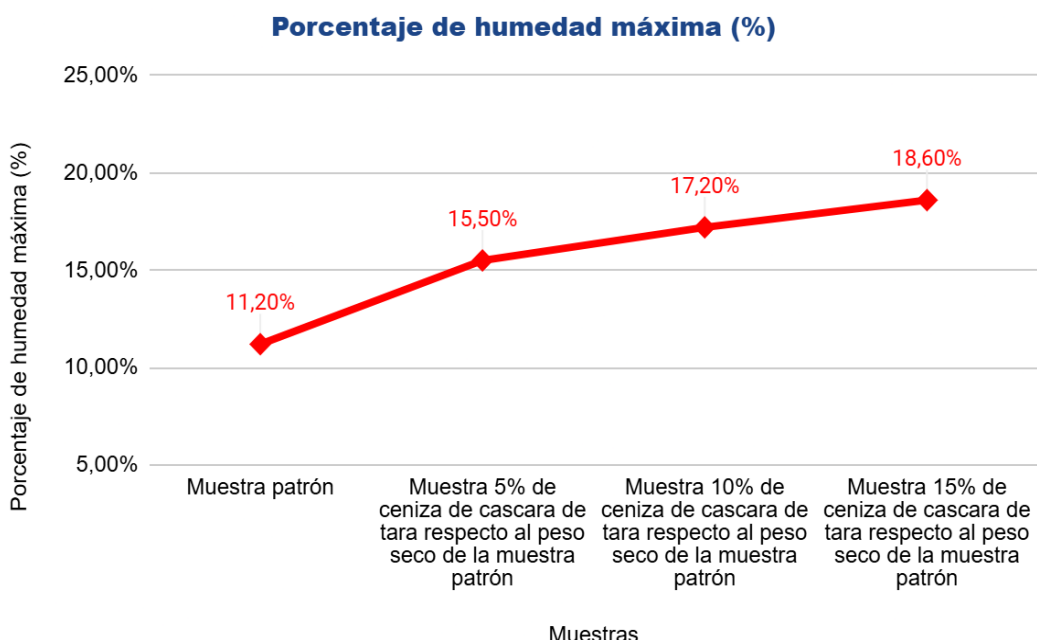


Interpretación:

El gráfico de líneas ilustra la densidad seca máxima del suelo arcilloso bajo diferentes condiciones. La muestra patrón presenta una densidad seca máxima de 1,63 gr/cm³. Al incorporar un 5% de ceniza de cáscara de tara, la densidad seca máxima experimenta un aumento notable, alcanzando su punto máximo de 1,78 gr/cm³. Sin embargo, a medida que la proporción de ceniza de cáscara de tara se incrementa al 10% y luego al 15%, la densidad seca máxima tiende a disminuir, registrando valores de 1,69 gr/cm³ y 1,65 gr/cm³, respectivamente. Esto sugiere que, si bien una adición moderada de ceniza de cáscara de tara puede optimizar la densidad seca máxima, cantidades mayores podrían no mantener este efecto o incluso reducirlo ligeramente.

Figura 97

Porcentaje de humedad máxima

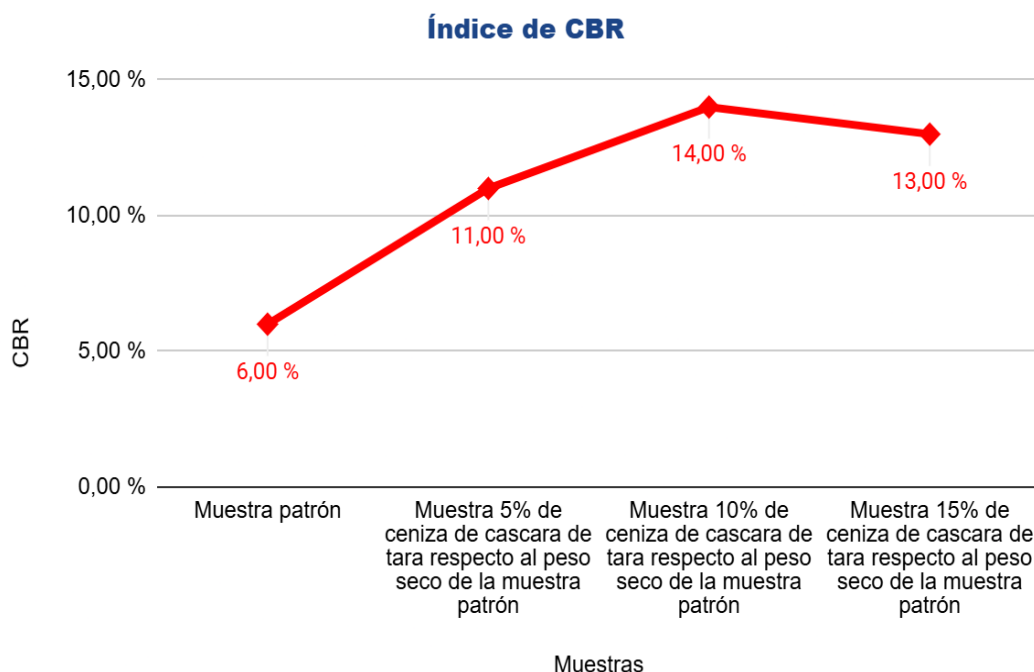


Interpretación:

El gráfico de líneas representa la evolución del porcentaje de humedad máxima en muestras de suelo arcilloso con diferentes adiciones de ceniza de cáscara de tara. La muestra patrón exhibe un porcentaje de humedad máxima del 11,20%. Se observa una tendencia clara y ascendente: a medida que se incrementa la cantidad de ceniza de cáscara de tara, el porcentaje de humedad máxima también aumenta. Con una adición del 5% de ceniza, el valor sube a 15,50%; con el 10%, alcanza el 17,20%; y finalmente, con el 15% de ceniza, el porcentaje de humedad máxima llega a 18,60%. Esta progresión lineal sugiere que la ceniza de cáscara de tara tiene un efecto directo en la capacidad del suelo para retener humedad, incrementando dicho porcentaje a medida que su concentración es mayor.

Figura 98

Índice de CBR



Interpretación:

El gráfico de líneas ilustra la variación del Índice de CBR en muestras de suelo arcilloso con la adición de diferentes porcentajes de ceniza de cáscara de tara. La muestra patrón presenta un Índice de CBR del 6.00%. Se observa una mejora significativa en el CBR con la incorporación de ceniza: al añadir un 5%, el índice sube a 11,00%, y con un 10% de ceniza, alcanza su punto máximo en 14,00%. Sin embargo, al incrementar la adición al 15% de ceniza de cáscara de tara, el Índice de CBR experimenta una ligera disminución, situándose en 13,00%. Esto sugiere que existe un % óptimo de ceniza de cáscara de tara (alrededor del 10%) para maximizar la capacidad de soporte del suelo, y que dosis mayores podrían no ser tan beneficiosas.

4.2. CONTRASTACIÓN DE HIPÓTESIS

El contraste de las hipótesis se ha realizado empleando el programa estadístico SPSS.

Para la hipótesis general

Ha: La ceniza de cáscara de tara influye significativamente en la capacidad portante de la subrasante de suelo arcilloso.

H0: La ceniza de cáscara de tara no influye significativamente en la capacidad portante de la subrasante de suelo arcilloso.

Prueba de normalidad para los datos de la hipótesis general

Tabla 5

Normalidad de la compresión del suelo patrón y con 5%, 10% y 15% de ceniza de cáscara de tara (kg/cm²)

	Kolmogorov-Smirnov ^a			Shapiro-Wilk		
	Estadístico	gl	Sig.	Estadístico	gl	Sig.
Promedio 5%, 10% y 15% de ceniza de cáscara de tara respecto al peso seco de la muestra patrón	,231	8	,200*	,895	8	,259
F'c del suelo patrón (Kg/cm ²)	,128	8	,200*	,951	8	,718

Interpretación:

De acuerdo con la prueba Shapiro-Wilk, adecuada por tener un tamaño de muestra menor a 30, se observa que tanto los valores promedios de resistencia a la compresión con 5, 10 y 15% de ceniza de cáscara de tara ($p = 0.259$) como la resistencia del suelo patrón ($p = 0.718$) presentan valores de significancia mayores a 0.05, por lo que en ambos casos se acepta la hipótesis nula de normalidad, concluyéndose que los datos se distribuyen normalmente; en consecuencia, corresponde aplicar la prueba de T de student para muestras independientes para comparar las medias.

Análisis inferencial para la hipótesis general

Tabla 6

T de Student para la resistencia a la compresión del suelo patrón y con 5%, 10% y 15% de ceniza de cáscara de tara (kg/cm²).

F'c del suelo no cohesivo (Kg/cm ²)	Prueba de muestras independientes					
	Prueba de Levene de igualdad de varianzas		prueba t para la igualdad de medias			
	F	Sig.	t	gl	Sig. (bilateral)	
Se asumen varianzas iguales	6.018	0.028	4.091	14	0.001	
			4.091	9.175	0.003	
No se asumen varianzas iguales						

Interpretación:

Del análisis realizado con el software estadístico SPSS se toma la hipótesis alternativa en la cual nos indica que la ceniza de cáscara de tara influye significativamente en la capacidad portante de la subrasante de suelo arcilloso. Con una contrastación de ($t=4,091$; $p=0,001 < 0,05$).

Para la hipótesis específica 1

HE1: La incorporación del 5% de ceniza de cáscara de tara impacta notablemente en la capacidad portante de la subrasante de suelo arcilloso.

HE0: La incorporación del 5% de ceniza de cáscara de tara no impacta notablemente en la capacidad portante de la subrasante de suelo arcilloso.

Prueba de normalidad para los datos de la hipótesis específica 1

Tabla 7

Normalidad de la compresión del suelo patrón y con 5% de ceniza de cáscara de tara (kg/cm²)

	Kolmogorov-Smirnov ^a			Shapiro-Wilk		
	Estadístico	gl	Sig.	Estadístico	gl	Sig.
5% de ceniza de cáscara de tara respecto al peso seco de la muestra patrón F'c del suelo patrón (Kg/cm ²)	,276	8	,074	,847	8	,088
	,128	8	,200*	,951	8	,718

Interpretación:

De acuerdo con la prueba Shapiro-Wilk, adecuada por tener un tamaño de muestra menor a 30, se observa que tanto los valores de la compresión con 5% de ceniza de cáscara de tara ($p = 0.088$) como la resistencia del suelo patrón ($p = 0.718$) presentan valores de significancia mayores a 0.05, por lo que en ambos casos se acepta la hipótesis nula de normalidad, concluyéndose que los datos se distribuyen normalmente; en consecuencia, corresponde aplicar la prueba de T de student para muestras independientes.

Análisis inferencial para los datos de la hipótesis específica 1

Tabla 8

T de Student para la resistencia a la compresión del suelo patrón y con 5%, 10% y 15% de ceniza de cáscara de tara (kg/cm²).

	Prueba de muestras independientes				
	Prueba de Levene de igualdad de varianzas	F	Sig.	t	gl
F'c del suelo no Se asumen varianzas iguales	5.491	0.034	8.754	14	0.001

cohesivo (Kg/cm ²)	No se asumen varianzas iguales		8.754	9.243	0.001
-----------------------------------	---	--	-------	-------	-------

Interpretación:

Del análisis realizado con el software estadístico SPSS se toma la hipótesis alternativa en la cual nos indica que la incorporación del 5% de ceniza de cáscara de tara impacta notablemente en la capacidad portante de la subrasante de suelo arcilloso. Con una contrastación de ($t=8,754$; $p=0,001<0,05$).

Para la hipótesis específica 2

HE2: La incorporación del 10% de ceniza de cáscara de tara impacta notablemente en la capacidad portante de la subrasante de suelo arcilloso.

HE0: La incorporación del 10% de ceniza de cáscara de tara no impacta notablemente en la capacidad portante de la subrasante de suelo arcilloso.

Prueba de normalidad para los datos de la hipótesis específica 2

Tabla 9

Normalidad de la compresión del suelo patrón y con 10% de ceniza de cáscara de tara (kg/cm²).

	Kolmogorov-Smirnov ^a			Shapiro-Wilk		
	Estadístico	gl	Sig.	Estadístico	gl	Sig.
10% de ceniza de cáscara de tara respecto al peso seco de la muestra patrón	,145	8	,200*	,926	8	,478
F'c del suelo patrón (Kg/cm ²)	,128	8	,200*	,951	8	,718

Interpretación:

De acuerdo con la prueba Shapiro-Wilk, adecuada por tener un tamaño de muestra menor a 30, se observa que tanto los valores de la compresión con 10% de ceniza de cáscara de tara ($p = 0.478$) como la resistencia del

suelo patrón ($p = 0.718$) presentan valores de significancia mayores a 0.05, por lo que en ambos casos se acepta la hipótesis nula de normalidad, concluyéndose que los datos se distribuyen normalmente; en consecuencia, corresponde aplicar la prueba de T de student para muestras independientes.

Análisis inferencial para los datos de la hipótesis específica 2

Tabla 10

T de Student para la resistencia a la compresión del suelo patrón y con 10% de ceniza de cáscara de tara (kg/cm^2).

Prueba de muestras independientes						
	Prueba de Levene de igualdad de varianzas		prueba t para la igualdad de medias			
	F	Sig.	t	gl	Sig. (bilateral)	
F'c del suelo no cohesivo (Kg/cm^2)	Se asumen varianzas iguales	9.694	0.008	7.444	14	0.001
	No se asumen varianzas iguales			7.444	7.895	0.001

Interpretación:

Del análisis realizado con el software estadístico SPSS se toma la hipótesis alternativa en la cual nos indica que la incorporación del 10% de ceniza de cáscara de tara impacta notablemente en la capacidad portante de la subrasante de suelo arcilloso. Con una contrastación de ($t=7,444$; $p=0,001 < 0,05$).

Para la hipótesis específica 3

HE3: La incorporación del 15% de ceniza de cáscara de tara impacta notablemente en la capacidad portante de la subrasante de suelo arcilloso.

HE0: La incorporación del 15% de ceniza de cáscara de tara no impacta notablemente en la capacidad portante de la subrasante de suelo arcilloso.

Prueba de normalidad para los datos de la hipótesis específica 3

Tabla 11

Normalidad de la compresión del suelo patrón y con 15% de ceniza de cáscara de tara (kg/cm²).

	Kolmogorov-Smirnov ^a			Shapiro-Wilk		
	Estadístico	gl	Sig.	Estadístico	gl	Sig.
15% de ceniza de cáscara de tara respecto al peso seco de la muestra patrón	,170	8	,200*	,969	8	,893
F'c del suelo patrón (Kg/cm ²)	,128	8	,200*	,951	8	,718

Interpretación:

De acuerdo con la prueba Shapiro-Wilk, adecuada por tener un tamaño de muestra menor a 30, se observa que tanto los valores de la compresión con adición de 15% de ceniza de cáscara de tara ($p = 0.893$) como la resistencia del suelo patrón ($p = 0.718$) presentan valores de significancia mayores a 0.05, por lo que en ambos casos se acepta la hipótesis nula de normalidad, concluyéndose que los datos se distribuyen normalmente; en consecuencia, corresponde aplicar la prueba de T de student para muestras independientes.

Análisis inferencial para los datos de la hipótesis específica 3

Tabla 12

T de Student para la resistencia a la compresión del suelo patrón y con 15% de ceniza de cáscara de tara (kg/cm²).

Prueba de muestras independientes						
	Prueba de Levene de igualdad de varianzas	prueba t para la igualdad de medias				
		F	Sig.	t	gl	Sig. (bilateral)
F'c del suelo no cohesivo (Kg/cm ²)	Se asumen varianzas iguales	12.232	0.004	5.470	14	0.001
	No se asumen varianzas iguales			5.470	7.483	0.001

Interpretación:

Del análisis realizado con el software estadístico SPSS se toma la hipótesis alternativa en la cual nos indica que la incorporación del 15% de ceniza de cáscara de tara impacta notablemente en la capacidad portante de la subrasante de suelo arcilloso. Con una contrastación de ($t=5,470$; $p=0,001<0,05$).

Para la hipótesis específica 4

HE4: La densidad máxima seca de los suelos arcillosos se incrementa a medida que aumenta la adición de ceniza de cáscara de tara.

HE0: La densidad máxima seca de los suelos arcillosos no se incrementa a medida que aumenta la adición de ceniza de cáscara de tara.

Los resultados obtenidos permiten contrastar la hipótesis específica 4, la cual sostiene que la densidad máxima seca de los suelos arcillosos se incrementa a medida que aumenta la adición de ceniza de cáscara de tara. Se observa que la muestra patrón presentó una densidad de 1,63 gr/cm³,

aumentando a 1,78 gr/cm³ con el 5% de ceniza, lo que representa un incremento significativo y confirma el efecto positivo inicial de la adición. Sin embargo, al incrementar la proporción de ceniza al 10% y 15%, la densidad máxima seca disminuye a 1,69 gr/cm³ y 1,65 gr/cm³ respectivamente, aunque ambas siguen siendo superiores al valor de la muestra patrón. Por lo tanto, la hipótesis se cumple de manera parcial, ya que la adición de ceniza sí incrementa la densidad máxima seca del suelo, pero solo hasta un porcentaje óptimo cercano al 5%, a partir del cual se genera una tendencia decreciente.

Para la hipótesis específica 5

HE5: El porcentaje de humedad máxima de los suelos arcillosos se incrementa a medida que aumenta la adición de ceniza de cáscara de tara.

HE0: El porcentaje de humedad máxima de los suelos arcillosos no se incrementa a medida que aumenta la adición de ceniza de cáscara de tara.

Los resultados obtenidos permiten contrastar la hipótesis específica 5, que plantea que el porcentaje de humedad máxima de los suelos arcillosos se incrementa a medida que aumenta la adición de ceniza de cáscara de tara. La muestra patrón alcanzó un 11,20%, aumentando progresivamente a 15,50% con el 5% de ceniza, 17,20% con el 10% y 18,60% con el 15%, evidenciando una tendencia ascendente continua en todos los casos. Este comportamiento confirma la hipótesis planteada, ya que la adición de ceniza de cáscara de tara eleva de manera sostenida la capacidad del suelo para retener humedad, lo cual se asocia a la mayor absorción y retención hídrica que aportan las partículas finas de ceniza al mezclarse con el suelo arcilloso.

Para la hipótesis específica 6

HE6: El índice de CBR de los suelos arcillosos se incrementa a medida que aumenta la adición de ceniza de cáscara de tara.

HE0: El índice de CBR de los suelos arcillosos no se incrementa a medida que aumenta la adición de ceniza de cáscara de tara.

Los resultados obtenidos permiten contrastar la hipótesis específica 6, que plantea que el índice de CBR de los suelos arcillosos se incrementa a medida que aumenta la adición de ceniza de cáscara de tara. La muestra patrón alcanzó un 6.00%, aumentando progresivamente a 11.00% con el 5% de ceniza y 14.00% con el 10%. Sin embargo, con el 15% de adición, el CBR disminuyó ligeramente a 13.00%, evidenciando una tendencia ascendente hasta un punto óptimo de adición. Este comportamiento confirma la hipótesis planteada en su mayor parte, ya que la adición de ceniza de cáscara de tara eleva de manera significativa la capacidad de carga del suelo, lo cual se asocia al efecto estabilizador que aportan las partículas de la ceniza al mezclarse con el suelo arcilloso.

CAPÍTULO V

DISCUSIÓN DE RESULTADOS

5.1. CONTRASTACIÓN DE LOS RESULTADOS DEL TRABAJO DE INVESTIGACIÓN

López (2021) tuvo como objetivo determinar cómo influye la ceniza de cáscara de arroz como aditivo estabilizador en la subrasante arcillosa, su investigación fue experimental el diseño es ex trabajó con 100kg de muestra extraída de una calicata excavada a 1.50m de profundidad y adicionó el 5, 10 y 15% de CCA , los resultados obtenidos de los ensayos ejecutados en el laboratorio indican que el tipo de suelo natural es Arcilla Orgánica de alta plasticidad , tiene un LP de 27.17% , un LL de 51.01% y un IP de 23.84% al adicionar los porcentajes de CCA aumenta el IP el valor máximo fue de 26.75% , por otro lado a mayor porcentaje de CCA , el valor de la DMS disminuye incluso más que la del suelo natural , sin embargo al adicionar más del 15% de CCA logra una óptima DS, con respecto al CBR 95%, al incrementar el 15% de CCA aumenta significativamente a un valor de 10.5%. En conclusión, la CCA favorece al mejoramiento de las propiedades mecánicas del suelo arcilloso, al adicionar el 15% logra clasificar como una subrasante buena.

El incremento en la compresión simple observado en esta investigación, donde las muestras con 5% de ceniza de cáscara de tara alcanzaron un promedio de 1,76 kg/cm² frente a 1,34 kg/cm² del suelo patrón, coincide con lo reportado por Laos (2022), quien encontró que la adición de cenizas de palma aceitera incrementó la resistencia de suelos arcillosos en ensayos de laboratorio. De igual manera, estudios internacionales con cenizas de cascarilla de arroz también muestran mejoras significativas en la resistencia mecánica de suelos arcillosos estabilizados, lo cual respalda los resultados obtenidos en Huánuco.

Cristobal y Quinte (2021) tuvo como objetivo determinar la variación de la subrasante al ser estabilizado con la ceniza de eucalipto, la investigación fue con un diseño experimental y un nivel explicativo, trabajó con una

población al igual que la muestra de 2+182 Km, las cuales excavó 3 calicatas y añadió el 5%, 10%, 15% de ceniza de eucalipto, lo cual resultó un IP de 12.80%, 7.15% y 5.32%, el menor valor de IP corresponde a la adición de 15% de CA, un CBR de 4.36 %, 15.67 % y 7.54 %, el mayor valor de CBR corresponde a un 10% de CE y Un Módulo de resiliencia de 13.32ksi que corresponde a un 10% de CE. En conclusión, se consigue una estabilización al adicionar un porcentaje de 10% de CE, mejora el CBR, módulo de resiliencia y aumenta la estabilidad volumétrica del suelo.

Los resultados de esta investigación evidencian un incremento progresivo en la densidad seca máxima y en el porcentaje de humedad óptima conforme aumentó la proporción de ceniza de cáscara de tara. Este comportamiento es consistente con lo hallado por investigaciones realizadas en Perú y Colombia sobre el uso de ceniza de caña y cascarilla de café, donde se identificó un aumento de la densidad seca máxima asociado a la mejor compactación del suelo tratado. Estos hallazgos sugieren que la ceniza de cáscara de tara actúa de manera similar a otros residuos agroindustriales, mejorando las condiciones de compactación del suelo.

Laos (2022) tuvo como objetivo determinar el efecto de biomasa de la palma aceitera en la estabilización de la subrasante arcillosa. El diseño fue de tipo cuasi experimental , nivel relacional y enfoque cuantitativo , trabajó con una muestra extraída de una calicata a profundidad de 1.50m en la Sede Palmawasi, en la cual añadió porcentajes de 15%, 20%, 25% de ceniza de biomasa, a través de ensayos de laboratorio se obtuvo un tipo de suelo arcillosos de baja plasticidad, por otro lado el IP redujo significativamente al adicionar el 15% de CBPA de 11.62% a 4.23% con respecto al CBR al 95%, al incorporar el 25% de CBPA resultó un valor máximo de 22.57% logrando una clasificación como material de subrasante Muy buena. En conclusión, la ceniza de biomasa de palma aceitera funciona como aditivo estabilizador, añadiendo el 25% mejora significativamente la capacidad portante del suelo.

En cuanto al índice CBR, los resultados muestran un incremento al incorporar ceniza de cáscara de tara en proporciones de 5%, 10% y 15%, lo cual concuerda con el estudio de Laos (2022), quien reportó que la adición de

ceniza de palma aceitera mejoró el CBR de los suelos de categoría “insuficiente” a “muy buena”. Asimismo, investigaciones realizadas en países como India y Nigeria con la adición de ceniza de cáscara de arroz señalan aumentos significativos en el CBR de suelos arcillosos, lo que confirma que el empleo de residuos agroindustriales como estabilizantes es una estrategia eficaz para incrementar la capacidad portante de subrasantes.

CONCLUSIONES

De los resultados obtenidos, concluimos en los siguiente:

Para el objetivo general: Se concluye que la incorporación de ceniza de cáscara de tara influye significativamente en la capacidad portante de la subrasante de suelo arcilloso, demostrando mejoras notables en la resistencia a la compresión simple frente a la muestra patrón. Este efecto se evidenció mediante el análisis estadístico de contraste ($p=0,001<0,05$), al observar que las muestras tratadas con 5%, 10% y 15% de ceniza de cáscara de tara alcanzaron resistencias promedio de $1,53 \text{ kg/cm}^2$ respectivamente, en comparación con el $1,34 \text{ kg/cm}^2$ obtenido para el suelo sin adición. En conjunto, estos resultados confirman que la adición de ceniza de cáscara de tara mejora la compacidad y la cohesión del suelo, incrementando su capacidad portante y posicionándola como una alternativa sostenible y viable para la estabilización de suelos arcillosos.

Para el objetivo específico 1: se concluye que existe un impacto notable en la capacidad portante de la subrasante de suelo arcilloso al incorporar un 5% de ceniza de cáscara de tara. Esto se evidencia a través de un análisis de contraste ($t=8,754$; $p=0,001<0,05$), al examinar las medias, se puede inferir que la resistencia a la compresión de las muestras de suelo aumenta al añadir 5% de ceniza de cáscara de tara, con una media de $1,76 \text{ kg/cm}^2$, en comparación con las muestras patrón, cuya resistencia a la compresión promedio es de $1,34 \text{ kg/cm}^2$.

Para el objetivo específico 2: se concluye que existe un impacto notable en la capacidad portante de la subrasante de suelo arcilloso al incorporar un 10% de ceniza de cáscara de tara. Esto se evidencia a través de un análisis de contraste ($t=7,444$; $p=0,001<0,05$), al examinar las medias, se puede inferir que la resistencia a la compresión de las muestras de suelo aumenta al añadir 10% de ceniza de cáscara de tara, con una media de $1,67 \text{ kg/cm}^2$, en comparación con las muestras patrón, cuya resistencia a la compresión promedio es de $1,34 \text{ kg/cm}^2$.

Para el objetivo específico 3: se concluye que existe un impacto notable en la capacidad portante de la subrasante de suelo arcilloso al incorporar un 15% de ceniza de cáscara de tara. Esto se evidencia a través de un análisis de contraste ($t=5,470$; $p=0,001<0,05$), al examinar las medias, se puede inferir que la resistencia a la compresión de las muestras de suelo aumenta al añadir 15% de ceniza de cáscara de tara, con una media de 1,58 kg/cm², en comparación con las muestras patrón, cuya resistencia a la compresión promedio es de 1,34 kg/cm².

Para el objetivo específico 4: se concluye que la densidad máxima seca de los suelos arcillosos se incrementa a medida que aumenta la adición de ceniza de cáscara de tara. Al examinar las medias, se puede evidenciar que la densidad seca máxima aumenta progresivamente a medida de las proporciones de ceniza de cáscara de tara aumenta.

Para el objetivo específico 5: se concluye que el porcentaje de humedad máxima de los suelos arcillosos se incrementa a medida que aumenta la adición de ceniza de cáscara de tara. Al examinar las medias, se puede evidenciar que la densidad seca máxima aumenta progresivamente a medida de las proporciones de ceniza de cáscara de tara aumenta.

Para el objetivo específico 6: se concluye que el índice de CBR de los suelos arcillosos se incrementa a medida que aumenta la adición de ceniza de cáscara de tara. Al examinar las medias, se puede evidenciar que la densidad seca máxima aumenta progresivamente a medida de las proporciones de ceniza de cáscara de tara aumenta.

RECOMENDACIONES

Ampliar el rango de % de ceniza de cáscara de tara: Se sugiere evaluar proporciones superiores al 15% o fraccionadas (por ejemplo, 2%, 7% o 12%) para identificar con mayor precisión el punto óptimo de mejora en la capacidad portante del suelo arcilloso.

Analizar diferentes tipos de suelos: Sería relevante aplicar la misma metodología en suelos de distinta granulometría (limosos, arenosos o franco-arcillosos) para determinar si el efecto de la ceniza de cáscara de tara es generalizable o particular de los suelos arcillosos.

Evaluar el comportamiento a largo plazo: Se recomienda realizar estudios de durabilidad y resistencia en condiciones de humedad variable, ciclos de carga y exposición prolongada, con el fin de analizar la estabilidad del mejoramiento en escenarios reales de uso.

Comparar con otros residuos agroindustriales: Futuras investigaciones podrían incluir comparaciones con cenizas de otros subproductos locales, como cáscara de arroz, bagazo de caña o cascarilla de café, para identificar cuál ofrece un mejor desempeño técnico y económico.

Realizar ensayos en condiciones de campo: Aunque los resultados de laboratorio son alentadores, es necesario validar el comportamiento del suelo tratado con ceniza de cáscara de tara en tramos piloto de carreteras o plataformas, considerando cargas reales de tránsito y variaciones ambientales.

Analizar el impacto económico y ambiental: Incluir estudios de costo-beneficio y de ciclo de vida de la ceniza de cáscara de tara permitiría demostrar no solo la viabilidad técnica, sino también su contribución a la sostenibilidad y a la reducción de residuos agroindustriales en la región.

REFERENCIAS BIBLIOGRÁFICAS

- Barbosa, A., Mar, C., & Molar, J. (2020). *Metodología de la investigación. Métodos y técnicas*. Patria Educación.
- Blanco Fernández de Caleya, P., & Valle Stervinou, A. d. (2009). *Herbarium Mutisianum*. Consejo Superior de Investigaciones Científicas.
- Bravo Barrionuevo, B., & Lopez Jara, H. (2021). Mejoramiento de las propiedades mecánicas de suelos arcillosos empleando valvas de molusco y vidrio en la ciudad de Talara, Piura. Universidad Peruana de Ciencias Aplicadas.
- Bustamante, O. F., & Bustamante, J. L. (2009). *La tara (Caesalpinia spinosa): oro verde de los valles interandinos del Perú*. Consejo Nacional de Ciencia, Tecnología e Innovación Tecnológica.
- Cobos Lucio, D., & Anchundia Posligua, J. (2024). Análisis de la capacidad portante del suelo para cimentación de obras civiles sector céntrico sitio Los Bajos del Pechiche, Montecristi. Universidad Estatal del Sur de Manabí.
- Cristobal Gavancho, F., & Quinte Baltazar, M. (2022). Estabilización de subrasante con cenizas de eucalipto, paraje turístico Piedra Parada, Concepción, Junín 2021. Universidad Continental.
- Díaz de León, V., Gonzales, V., & Rosete, J. (2018). *Mecánica de materiales*. Grupo Editorial Patria.
- Enrique Pereyra, L. (2022). *Metodología de la investigación*. Klik.
- Espinoza Jesus, J. (2022). Estabilización de suelos de fundación arcillosa con extracto de schinu molle para subrasante, km 26+800 Carretera Huánuco – Punto Unión, 2021. Universidad Nacional Hermilio Valdizán.
- García del Amo, D., & Regueiro y González-Barros, M. (2024). *RECURSOS GEOLÓGICOS. UNA PERSPECTIVA MINERAL Y AMBIENTAL*. UNED.
- Gaviria Peña, C., & Márquez Fernández, C. A. (2019). *Estadística descriptiva y probabilidad*. Editorial Bonaventuriano.
- González Caballero, M. (2001). *El terreno*. UPC, S.L., Edicions.
- González Galindo, J., Gutiérrez Chacón, J. G., González Tejada, I., & Jiménez Rodríguez, R. (2024). *Problemas resueltos de mecánica de suelos*

- aplicados a la ingeniería civil.* Colegio de Ingenieros de Caminos Canales y Puertos.
- González Ibáñez, D., & Cueto Prendes, E. (2017). *Resistencia de materiales para arquitectos.* (D. González Ibáñez, & E. Cueto Prendes, Trads.) Prensas de la Universidad de Zaragoza.
- Guerrero Fernández, J. A. (2017). *Ingeniería de Vías Férreas.* Lulu.com.
- HERRÁEZ GARRIDO, F., & MORENO VEGA, A. (2019). *Ingeniería de vías agroforestales.* Ediciones Mundi-Prensa.
- Iglesias, M. E. (2021). *Metodología de la investigación científica: Diseño y elaboración de protocolos y proyectos.* Noveduc.
- Jaramillo Suárez, H. E. (2017). *Resistencia de materiales: algunos temas especiales (Segunda edición).* Autónoma de Occidente.
- Laos Elera, C. (2022). Efectos de la ceniza de biomasa de palma aceitera en la estabilización de suelos arcillosos a nivel de subrasante, Huánuco 2022. Universidad Nacional Hermilio Valdizán.
- Lazares Gutiérrez, W. (2021). *Mecánica de suelos aplicada a vías de transporte.* Marcombo.
- López Barbarán, J. (2021). Estabilización de suelos arcillosos aplicando ceniza de cáscara de arroz para el mejoramiento de subrasante, en la localidad de Moyobamba – departamento de San Martín. Universidad Peruana de Ciencias Aplicadas.
- Macías Loor, A. O., Quiroz Fernández, L. S., Carvajal Rivadeneira, D. D., Cobos Lucio, D. A., Fienco Sánchez, B. E., Peralta Delgado, J. A., & Zambrano Acosta, J. M. (2018). *MECÁNICA DE SUELO: TOMO II.* 3Ciencias.
- Montejo Fonseca, A., Montejo Piratova, A., & Montejo Piratova, A. (2019). *Estabilización de suelos.* Ediciones de la U.
- Montoya Jaramillo, L. J. (2017). *Vías de bajo volúmen de tránsito.* Universidad de Medellín.
- Navarro García, G. (2023). *Fertilizantes. Química y acción. 2^a edición.* MundiPrensa.
- Pazmiño Chiluiza, H., & Romero Freire, J. (2024). Capacidad portante de subrasantes pertenecientes a caminos agrícolas del Cantón Riobamba,

- mediante la aplicación de confinamiento con geoceldas. Universidad Nacional de Chimborazo.
- Queiroz, R. C. (2018). *Geología e Geotecnia básica para Engenharia Civil*. Editora Blucher.
- Reyes, E. (2022). *Metodología de la Investigación Científica*. Page Publishing, Incorporated.
- Rondón Quintana, H. A., & Reyes Lizcano, F. A. (2023). *Pavimentos - 2da edición: Materiales, construcción y diseño*. Ecoe Ediciones Mexico.
- Rui-Wamba, J. (2020). *Teoría unificada de estructuras y cimientos: Una mirada transversal*. Reverte.
- Saldaña García, C., & Yunga Silva, A. (2023). Mejora de la capacidad portante de la subrasante aplicando cal en vías de segundo orden del cantón Alausí. Universidad Nacional de Chimborazo.
- Thompson, L. M., & Troeh, F. R. (2021). *Los suelos y su fertilidad*. (J. Puigdefabregas Tomas, Trad.) Reverte.
- Villalobos, F. (2016). *Mecánica de Suelos: Segunda Edición*. Universidad Católica de la Santísima Concepción.

COMO CITAR ESTE TRABAJO DE INVESTIGACIÓN

Vega Bazan, M. M. (2025). *Influencia de la ceniza de cáscara de tara (Caesalpinia Tinctorea) como alternativa para el mejoramiento de la capacidad portante de la subrasante de suelo arcilloso, jr. Los Cedros Amarilis – Huánuco – 2024* [Tesis de pregrado, Universidad de Huánuco]. Repositorio Institucional UDH. <http://...>

ANEXOS

ANEXO 1

RESOLUCIÓN DE APROBACIÓN DEL PROYECTO DE TESIS

UNIVERSIDAD DE HUÁNUCO Facultad de Ingeniería

RESOLUCIÓN N° 1697-2024-D-FI-UDH

Huánuco, 07 de agosto de 2024

Visto, el Oficio N° 1162-2024-C-PAIC-FI-UDH, mediante el cual el Coordinador Académico de Ingeniería Civil, remite el dictamen de los jurados revisores, del Trabajo de Investigación (Tesis) intitulado: "**INFLUENCIA DE LA CENIZA DE CÁSCARA DE TARA (CAESALPINIA TINCTOREA) COMO ALTERNATIVA PARA EL MEJORAMIENTO DE LA CAPACIDAD PORTANTE DE LA SUBRASANTE DE SUELO ARCILLOSO, JR. LOS CEDROS AMARILIS - HUÁNUCO - 2024**", presentado por el (la) Bach. **Merlyn Mercedes VEGA BAZAN**.

CONSIDERANDO:

Que, mediante Resolución N° 006-2001-R-AU-UDH, de fecha 24 de julio de 2001, se crea la Facultad de Ingeniería, y;

Que, mediante Resolución de Consejo Directivo N° 076-2019-SUNEDU/CD, de fecha 05 de junio de 2019, otorga la Licencia a la Universidad de Huánuco para ofrecer el servicio educativo superior universitario, y;

Que, mediante Resolución N° 1038-2024-D-FI-UDH, de fecha 09 de mayo de 2024, perteneciente al Bach. **Merlyn Mercedes VEGA BAZAN** se le designó como ASESOR(A) al Mg. William Paolo Taboada Trujillo, docente adscrito al Programa Académico de Ingeniería Civil de la Facultad de Ingeniería, y;

Que, según Oficio N° 1162-2024-C-PAIC-FI-UDH, del Coordinador Académico quien informa que los JURADOS REVISORES del Trabajo de Investigación (Tesis) intitulado: "**INFLUENCIA DE LA CENIZA DE CÁSCARA DE TARA (CAESALPINIA TINCTOREA) COMO ALTERNATIVA PARA EL MEJORAMIENTO DE LA CAPACIDAD PORTANTE DE LA SUBRASANTE DE SUELO ARCILLOSO, JR. LOS CEDROS AMARILIS - HUÁNUCO - 2024**", presentado por el (la) Bach. **Merlyn Mercedes VEGA BAZAN**, integrado por los siguientes docentes: Mg. Luis Fernando Narro Jara (Presidente), Mg. Martín Cesar Valdivieso Echevarría (Secretario) y Mg. Biseth Miraval Rojas (Vocal), quienes declaran APTO para ser ejecutado el Trabajo de Investigación (Tesis), y;

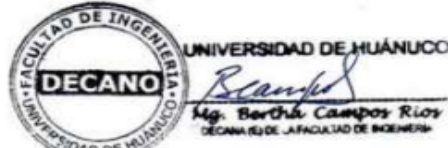
Estando a las atribuciones conferidas al Decano de la Facultad de Ingeniería y con cargo a dar cuenta en el próximo Consejo de Facultad.

SE RESUELVE:

Artículo Primero. - **APROBAR**, el Trabajo de Investigación (Tesis) y su ejecución intitulado: "**INFLUENCIA DE LA CENIZA DE CÁSCARA DE TARA (CAESALPINIA TINCTOREA) COMO ALTERNATIVA PARA EL MEJORAMIENTO DE LA CAPACIDAD PORTANTE DE LA SUBRASANTE DE SUELO ARCILLOSO, JR. LOS CEDROS AMARILIS - HUÁNUCO - 2024**", presentado por el (la) Bach. **Merlyn Mercedes VEGA BAZAN** para optar el Título Profesional de Ingeniero(a) Civil, del Programa Académico de Ingeniería Civil de la Universidad de Huánuco.

Artículo Segundo. - El Trabajo de Investigación (Tesis) deberá ejecutarse hasta un plazo máximo de 1 año de su Aprobación. En caso de incumplimiento podrá solicitar por única vez la ampliación del mismo (6 meses).

REGÍSTRESE, COMUNÍQUESE Y ARCHÍVESE



Distribución:

Fac. de Ingeniería – PAIC – Asesor – Exp. Graduando – Interesado – Archivo.
BCR/EJML/nto.

ANEXO 2

RESOLUCIÓN DE NOMBRAMIENTO DE ASESOR

UNIVERSIDAD DE HUÁNUCO *Facultad de Ingeniería*

RESOLUCIÓN N° 1038-2024-D-FI-UDH

Huánuco, 09 de mayo de 2024

Visto, el Oficio N° 732-2024-C-PAIC-FI-UDH presentado por el Coordinador del Programa Académico de Ingeniería Civil y el Expediente N° 487300-0000005099, de la Bach. **Merlyn Mercedes VEGA BAZAN**, quien solicita Asesor de Tesis, para desarrollar el trabajo de investigación (Tesis).

CONSIDERANDO:

Que, de acuerdo a la Nueva Ley Universitaria 30220, Capítulo V, Art 45º inc. 45.2, es procedente su atención, y;

Que, según el Expediente N° 487300-0000005099, presentado por el (la) Bach. **Merlyn Mercedes VEGA BAZAN**, quien solicita Asesor de Tesis, para desarrollar su trabajo de investigación (Tesis), el mismo que propone al Mg. William Paolo Taboada Trujillo, como Asesor de Tesis, y;

Que, según lo dispuesto en el Capítulo II, Art. 27 y 28 del Reglamento General de Grados y Títulos de la Universidad de Huánuco vigente, es procedente atender lo solicitado, y;

Estando a Las atribuciones conferidas al Decano de la Facultad de Ingeniería y con cargo a dar cuenta en el próximo Consejo de Facultad.

SE RESUELVE:

Artículo Primero. - DESIGNAR, como Asesor de Tesis de la Bach. **Merlyn Mercedes VEGA BAZAN** al Mg. William Paolo Taboada Trujillo, Docente del Programa Académico de Ingeniería Civil, Facultad de Ingeniería.

Artículo Segundo. - El interesado tendrá un plazo máximo de 6 meses para solicitar revisión del Trabajo de Investigación (Tesis). En todo caso deberá de solicitar nuevamente el trámite con el costo económico vigente.

REGÍSTRESE, COMUNÍQUESE Y ARCHÍVESE



Distribución:

Fac. de Ingeniería – PAIC – Asesor – Mat. y Reg.Acad. – Interesado – Archivo.
BLCR/EJML/nto.

ANEXO 03

MATRIZ DE CONSISTENCIA

TÍTULO: "INFLUENCIA DE LA CENIZA DE CÁSCARA DE TARA (CAESALPINIA TINCTOREA) COMO ALTERNATIVA PARA EL MEJORAMIENTO DE LA CAPACIDAD PORTANTE DE LA SUBRASANTE DE SUELO ARCILLOSO, JR. LOS CEDROS AMARILIS – HUÁNUCO - 2024".

PROBLEMA	OBJETIVOS	HIPÓTESIS	METODOLOGÍA
Problema general PG: ¿Cuál es el efecto en la capacidad portante de la subrasante de suelo arcilloso al añadir ceniza de cáscara de tara?	Objetivo general OG: Determinar el efecto en la capacidad portante de la subrasante de suelo arcilloso al añadir ceniza de cáscara de tara.	Hipótesis general HG: La ceniza de cáscara de tara influye significativamente en la capacidad portante de la subrasante de suelo arcilloso.	Enfoque: Enfoque cuantitativo. Alcance o nivel: Alcance explicativo. Diseño: Diseño cuasi experimental. Técnica de investigación: Observación directa
Problema específico PE1: ¿Cuál es el efecto en la capacidad portante de la subrasante de suelo arcilloso al añadir 5% de ceniza de cáscara de tara? PE2: ¿Cuál es el efecto en la capacidad portante de la subrasante de suelo arcilloso al añadir 10% de ceniza de cáscara de tara? PE3: ¿Cuál es el efecto en la capacidad portante de la subrasante de suelo arcilloso al	Objetivos específicos OE1: Determinar el efecto en la capacidad portante de la subrasante de suelo arcilloso al añadir 5% de ceniza de cáscara de tara. OE2: Determinar el efecto en la capacidad portante de la subrasante de suelo arcilloso al añadir 10% de ceniza de cáscara de tara. OE3: Determinar el efecto en la capacidad portante de la subrasante de suelo arcilloso al	Hipótesis específica HE1: La incorporación del 5% de ceniza de cáscara de tara impacta notablemente en la capacidad portante de la subrasante de suelo arcilloso. HE2: La incorporación del 10% de ceniza de cáscara de tara impacta notablemente en la capacidad portante de la subrasante de suelo arcilloso. HE3: La incorporación del 15% de ceniza de cáscara de tara impacta notablemente en la capacidad portante de la subrasante de suelo arcilloso. HE4: La densidad máxima seca de los suelos arcillosos se incrementa a medida	Instrumentos: Fichas de campo y ficha de laboratorio. ASTM D1557 ASTM D2166 ASTM D1883 Población: La población está conformada por el suelo que contiene el Jr. Los Cedros, Distrito De Amarilis, Huánuco. Muestra:

<p>añadir 15% de ceniza de cáscara de tara?</p> <p>PE4: ¿Cómo varía la densidad seca máxima de los suelos arcillosos respecto de la adición de ceniza de cáscara de tara?</p> <p>PE5: ¿Cómo varía el porcentaje de humedad máxima de los suelos arcillosos respecto de la adición de ceniza de cáscara de tara?</p> <p>PE6: ¿Cómo varía el índice de CBR de los suelos arcillosos respecto de la adición de ceniza de cáscara de tara?</p>	<p>añadir 15% de ceniza de cáscara de tara.</p> <p>OE4: Analizar cómo varía la densidad seca máxima de los suelos arcillosos respecto de la adición de ceniza de cáscara de tara.</p> <p>OE5: Analizar cómo varía el porcentaje de humedad máxima de los suelos arcillosos respecto de la adición de ceniza de cáscara de tara.</p> <p>OE6: Analizar cómo varía el índice de CBR de los suelos arcillosos respecto de la adición de ceniza de cáscara de tara.</p>	<p>que aumenta la adición de ceniza de cáscara de tara.</p> <p>HE5: El porcentaje de humedad máxima de los suelos arcillosos se incrementa a medida que aumenta la adición de ceniza de cáscara de tara.</p> <p>HE6: El índice de CBR de los suelos arcillosos se incrementa a medida que aumenta la adición de ceniza de cáscara de tara.</p> <p>Variables</p> <p>Variable dependiente</p> <p>Capacidad portante de la subsanante.</p> <p>Variable independiente</p> <p>Ceniza de cáscara de tara.</p>	<p>La muestra tomada es la no probabilística.</p>
--	--	--	---

ANEXO 04

INSTRUMENTO DE RECOJO DE DATOS

FICHA DE LABORATORIO

Análisis Granulométrico

LABORATORIO DE SUELOS CONCRETO Y PAVIMENTOS

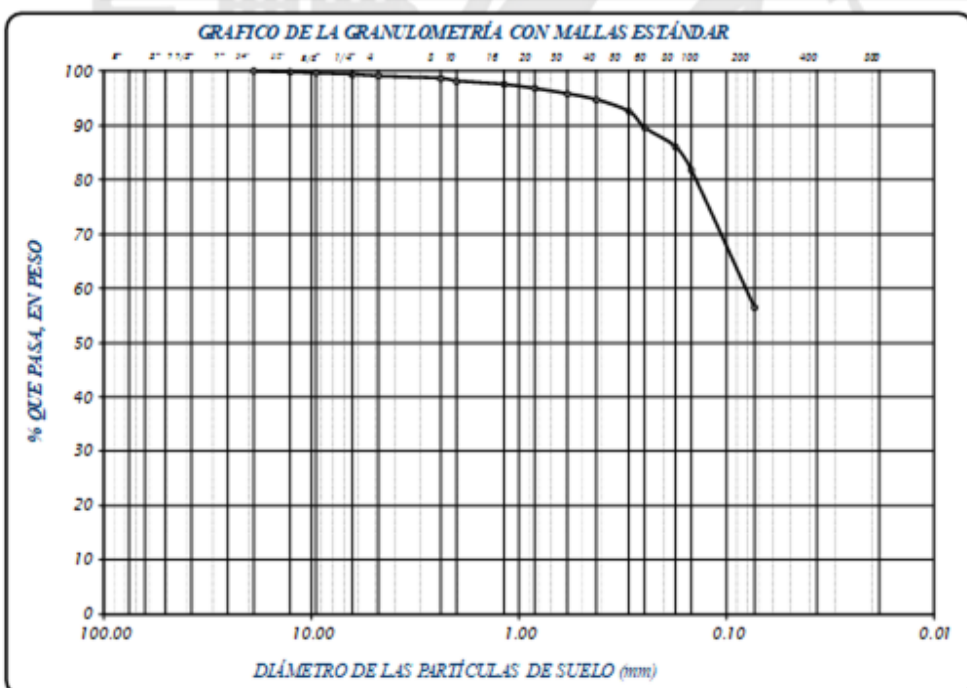
INFLUENCIA DE LA CENIZA DE CÁSCARA DE TARA (*CAESALPINIA TINCTOREA*)

COMO ALTERNATIVA PARA EL MEJORAMIENTO DE LA CAPACIDAD PORTANTE DE

LA SUBRASANTE DE

UBICACIÓN : AMARILIS - HUÁNUCO

SOLICITADA : Bach. Regis Baum



AQUINO GARCIA KEVIN JHOEL
TEC. LABORATORISTA DE SUELOS,
CONCRETO Y PAVIMENTOS


Ing. Samuel Juanito Falcon Pardave
Ingeniero Civil
Ruc. CIP. N° 218968

Límites de Atterberg

LABORATORIO DE SUELOS CONCRETO Y PAVIMENTOS

PROYECTO : INFLUENCIA DE LA CENIZA DE CÁSCARA DE TARA (CAESALPINIA TINCTOREA) COMO ALTERNATIVA PARA EL MEJORAMIENTO DE LA CAPACIDAD PORTANTE DE LA SUBSASANTE DE SUELLO ARCILLOSO, JR. LOS CEDROS AMARILIS - HUÁNUCO - 2024

UBICACIÓN : AMARILIS - HUÁNUCO

SOLICITA : Bach. Vega Bazán, Marlyn Mercedes

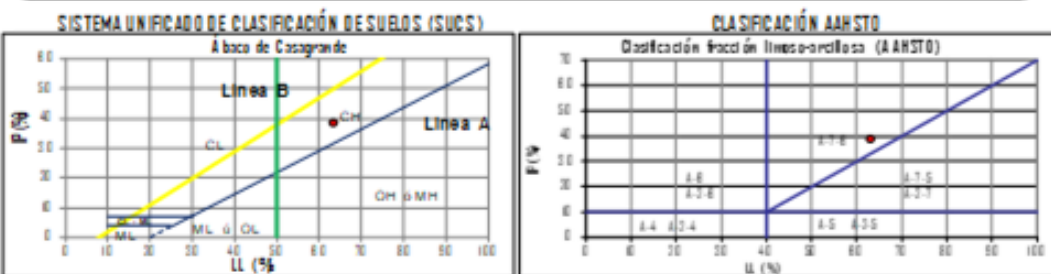
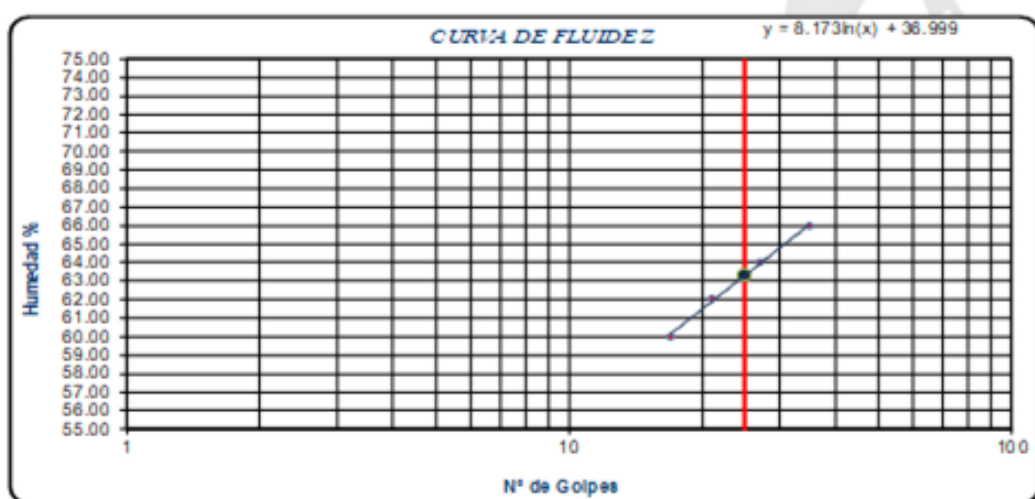
FECHA : MAYO DEL 2025

LIMITES DE CONSISTENCIA ASTM D - 425

Nº DE GOLPES	17	21	27	55
Suelo Molido + Tara	44.60	45.90	45.82	45.25
Suelo seco + Tara	41.00	40.50	40.30	39.80
Peso de Tara	35.00	34.50	34.80	34.60
Peso del Agua	5.60	5.60	5.52	5.45
Peso de Suelo Seco	6.00	5.80	5.50	5.20
HUMEDAD %	60.00	62.07	64.00	65.96

LIMITES DE CONSISTENCIA ASTM - 424

MUESTRA	01	02	03
Suelo Molido + Tara	55.00	52.91	52.64
Suelo seco + Tara	52.01	52.02	51.70
Peso de Tara	28.00	28.20	28.10
Peso del Agua	0.99	0.89	0.94
Peso de Suelo Seco	4.01	3.82	3.60
HUMEDAD %	24.69	25.50	26.11



MONTAÑA

AQUINO GARCIA KEVIN JHOEL
TEC. LABORATORISTA DE SUELOS,
CONCRETO Y PAVIMENTOS

Ing. Samuel Juanito Polco Paredes
Ingeniero Civil
Reg. CIP. N° 218968

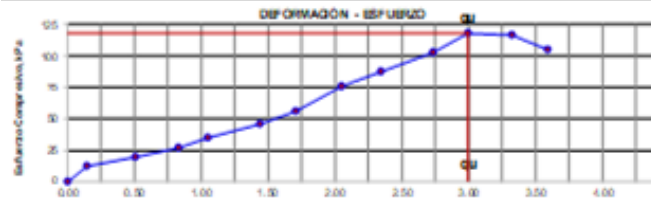
M-1 Suelo arcilloso sin adición (patrón)

MONTAÑA		INFORME DE ENSAYO								
		MÉTODO DE ENSAYO E ESTÁNDAR PARA LA RESISTENCIA A LA COMPRESIÓN NO CONFINADA DE SUELOS COHESIVOS								
ASTM D 2166 / NTP 339.167 / MTC E 121										
NOMBRE DEL CLIENTE :		BACH. VEGA BAZÁN, MERLYN MERCEDES S			FECHA DE ENSAYO :		21/05/2025			
ESTUDIO / PROYECTO:		INFLUENCIA DE LA CENIZA DE CÁSCARA DE TARA (CAE SALPINIA TINCTOREA) COMO ALTERNATIVA PARA EL MEJORAMIENTO DE LA CAPACIDAD PORTANTE DE LA SUBRASANTE DE SUELO ARCILLOSO, JR. LOS CEDROS AMARILIS - HUÁNUCO - 2024								
LOCALIZACIÓN:		JR. LOS CEDROS AMARILIS - HUÁNUCO - 2024			MUE STRA:		M-1			
DESCRIPCIÓN:		MUESTRAS DE SUELO ARCILLOSO SIN ADICIÓN (PATRON)			PROFUNDIDAD:		1.50 m			
CARGA APLICADA		DEFORMACIÓN (Pig)	DEFORMACIÓN AXIAL UNITARIA ϵ_1 (%)	ÁREA DE LA SECCIÓN TRANSVERSAL MEDIA, A (cm^2)	ESFUERZO COMPRESSION, σ , kg/cm^2	MPa	CONDICIÓN DEL ESPECÍMEN:			
Kg	kgf						<input checked="" type="checkbox"/> Inalterado	<input type="checkbox"/> Remoldeado	<input type="checkbox"/> Compactado	
0.0	0.00	0.000	0.00	21.24	0.00	0	Diametro, D	52	mm	
1.3	1.30	0.006	0.15	21.27	0.06	6	Largitud inicial del espécimen, (L ₀)	104	mm	
2.9	2.90	0.021	0.51	21.35	0.14	13	Relación L ₀ /D	2		
4.6	4.60	0.034	0.83	21.41	0.21	21	Área (A _d)	21.24	cm^2	
6.3	6.30	0.043	1.05	21.48	0.29	29	Volumen	230.87	cm^3	
8.7	8.70	0.059	1.44	21.55	0.40	40	CONTENIDO DE HUMEDAD			
11.1	11.10	0.070	1.71	21.61	0.51	50	Obtenida después del ensayo			
15.4	15.40	0.084	2.05	21.68	0.71	70	Especímen húmedo + Tara	528.25	g	
18.1	18.10	0.096	2.34	21.75	0.83	82	Especímen seco + Tara	489.6	g	
21.5	21.50	0.112	2.74	21.83	0.98	97	Masa de Tara	35.06	g	
25.2	25.20	0.123	2.99	21.89	1.15	113	Masa Espéctimen húmedo	489.19	g	
24.8	24.80	0.136	3.32	21.97	1.13	111	Masa Espéctimen seco	450.54	g	
22.3	22.30	0.147	3.59	22.03	1.01	99	Contenido de Humedad	8.6	%	
							DIENSIÓN DEL ESPECÍMEN			
							Densidad Húmeda	2.21	g/cm^3	
							Densidad Seca	2.04	g/cm^3	
							RESISTENCIA A LA COMPRESIÓN INCONFINADA q_u			
							1.15 kg/cm^2	113	kPa	
							Deformación en el instante de la falla, %:	2.99		
							CONSISTENCIA SEGÚN q_u	FIRME		
							ESQUEMA DE FALLA			
							Velocidad de Deformación:	0.5% xMin	Deformación Max. permitida (15%):	
							0.51 Pig	0.51 Pig		
							EQUIPO UTILIZADO: PRENSA CBR DIGITAL			

AQUINO GARCIA KEVIN JHOEL
TEC. LABORATORISTA DE SUELOS,
CONCRETO Y PAVIMENTOS


Ing. Samuel Juanito Falcon Pardave
Ingeniero Civil
Reg. CIP. N° 218968

M-2 Suelo arcilloso sin adición (patrón)

 MONTAÑA		INFORME DE ENsayo						
		MÉTODO DE ENsayo ESTÁNDAR PARA LA RESISTENCIA A LA COMPRESIÓN NO CONFINADA DE SUELO S COHESIVO S						
		ASTM D 2166 / NTP 339.187 / MTC E 121						
NOMBRE DEL CLIENTE:		DAD H. VEGA BAZÁN, MERLYN MERODDE			FECHA DE ENsayo :		21/06/2026	
ESTUDIO / PROYECTO:		INFLUENCIA DE LA CENZA DE CÁSCARA DE TARA (CAE SALINIA TINCTOREA) COMO ALTERNATIVA PARA EL MEJORAMIENTO DE LA CAPACIDAD PORTANTE DE LA SUBSTRANTE DE SUELLO ARCILLOSO, JR. LO S CEDRO S AMARILIS - HUÁNUCO - 2024						
LOCALIZACIÓN:		JR. LO S CEDRO S AMARILIS - HUÁNUCO - 2024			MUESTRA:		M-2	
DESCRIPCIÓN:		MUESTRAS DE SUELLO ARCILLOSO SIN ADICIÓN (PATRÓN).			PROFUNDIDAD:		1.60 m	
CARGA APLICADA		DEFORMACIÓN (Pulg)	DEFORMACIÓN AXIAL UNITARIA E _A (%)	ÁREA DE LA SECCIÓN TRANSVERSAL MEDIA, A (cm ²)	ESFUERZO COMPRESIVO, Q _c		CONDICIÓN DEL ESPECIMEN:	
Kg	Kgf				kg/cm ²	kPa	<input checked="" type="checkbox"/> Tratado	<input type="checkbox"/> Remolido
0.0	0.00	0.000	0.00	21.24	0.00	0	Diametro, D	52 mm
2.6	260	0.006	0.15	21.27	0.12	12	Largitud inicial del espécimen, (L ₀)	104 mm
4.2	420	0.021	0.51	21.35	0.20	19	Relación L ₀ /D	2
6.8	680	0.034	0.83	21.41	0.28	27	Area (A ₀)	21.24 cm ²
7.6	760	0.043	1.05	21.46	0.35	35	Volumen	23387 cm ³
10.0	10.00	0.059	1.44	21.55	0.46	46	CONTENIDO DE HUMEDAD	
12.4	12.40	0.070	1.71	21.61	0.57	56	Obtenido después del ensayo	
16.7	16.70	0.094	2.05	21.68	0.77	76	Espectímen húmedo + Tens	526.25 g
19.4	19.40	0.098	2.34	21.75	0.89	87	Espectímen seco + Tens	489.4 g
22.8	22.80	0.112	2.74	21.83	1.04	102	Masa de Tens	39.06 g
26.3	26.30	0.123	2.99	21.89	1.20	118	Masa Espectímen húmedo	487.19 g
28.1	28.10	0.136	3.32	21.97	1.39	137	Masa Espectímen seco	480.34 g
23.6	23.60	0.147	3.59	22.03	1.07	105	Contenido de Humedad	8.2 %
		DENSIDAD DEL ESPECIMEN						
		Densidad Húmeda						
		Densidad Seca						
		RESISTENCIA A LA COMPRESIÓN INCONFINADA q _c						
		1.20 kg/cm ² 118 kPa						
		Deformación axial instantánea de la lámina, %: 2.99						
		CONSISTENCIA SEGUN q _c FIRME						
		ESQUEMA DE FALTA						
 Deformación - Esfuerzo		 Diagrama de esquema de falla						
		Velocidad de Deformación: 0.5% x Min Deformación Max. permilitada (10%) 0.61 Pq						
EQUIPO UTILIZADO: PRENSA CBR DIGITAL								

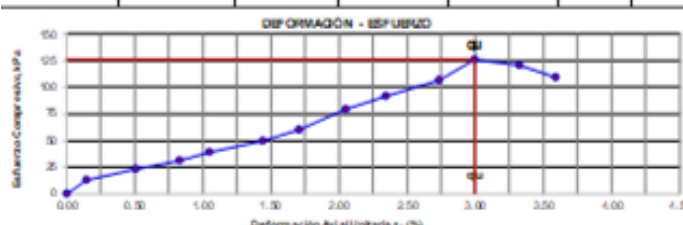


MONTAÑA


AQUINO GARCIA KEVIN JHOEL
 TEC. LABORATORISTA DE SUELOS,
 CONCRETO Y PAVIMENTOS


Ing. Samuel Juanito Falcone Paredes
 Ingeniero Civil
 Reg. CIP. N° 218968

M-3 Suelo arcilloso sin adición (patrón)

 MONTAÑA		INFORME DE ENsayo								
		MÉTODO DE ENSAYO ESTÁNDAR PARA LA RESISTENCIA A LA COMPRESIÓN NO CONFINADA DE SUELO: COHESIVO S								
		ASTM D 2166 / NTP 338.187 / MTC E 121								
NOMBRE DEL CLIENTE:		BACH. VEGA BAZÁN, MERLYN MERCEDES				FECHA DE ENSAYO:		21/06/2026		
ESTUDIO / PROYECTO:		INFLUENCIA DE LA CENZA DE CÁSCARA DE TARA (CAE SALPINIA TINCTOREA) COMO ALTERNATIVA PARA EL MEJORAMIENTO DE LA CAPACIDAD PORTANTE DE LA SUBSARANTE DE SUELO ARCILLOSO, JR. LO 8 CEDRO 8 AMARILIS - HUÁNUCO - 2024								
LOCALIZACIÓN:		JR. LO 8 CEDRO 8 AMARILIS - HUÁNUCO - 2024				MUESTRA:		M-3		
DESCRIPCIÓN:		MUESTRAS DE SUELO ARCILLOSO SIN ADICIÓN (PATRÓN).				PROFUNDIDAD:		1.60 m		
CARGA APLICADA		DEFORMACIÓN (%)	DEFORMACIÓN AXIAL UNITARIA $E_1(\%)$	ÁREA DE LA SECCIÓN TRANSVERSAL MEGA, A(cm ²)	ESFUERZO COMPRESIVO, Q.		CONDICIÓN DEL ESPECIMEN:			
					Kg/cm ²	kPa	<input checked="" type="checkbox"/> Húmedo	<input type="checkbox"/> Permeable	<input type="checkbox"/> Compactado	
0.0	0.00	0.000	0.00	21.24	0.00	0	Diametro, D	52 mm		
2.8	2.77	0.008	0.15	21.27	0.13	13	Largo Inicial del especimen, L ₀	104 mm		
5.1	5.12	0.021	0.51	21.35	0.24	24	Relación L ₀ /D	2		
6.8	6.82	0.034	0.83	21.41	0.32	31	Area (A ₀)	21.24 cm ²		
8.5	8.52	0.043	1.05	21.48	0.40	39	Volumen	220.7 cm ³		
		CONTENIDO DE HUMEDAD								
10.9	10.92	0.059	1.44	21.56	0.51	50	Obtenido después del ensayo			
13.3	13.32	0.070	1.71	21.61	0.62	60				
17.8	17.82	0.094	2.05	21.68	0.81	80	Especimen húmedo + Tierra	528.02 g		
20.3	20.32	0.098	2.34	21.75	0.93	92	Especimen seco + Tierra	403.6 g		
23.7	23.72	0.112	2.74	21.83	1.09	107	Masa de Tierra	39.06 g		
26.0	26.02	0.123	2.99	21.89	1.28	128	Masa Especimen húmedo	455.96 g		
27.0	27.02	0.136	3.32	21.97	1.23	121	Masa Especimen seco	451.54 g		
24.5	24.52	0.147	3.59	22.03	1.11	109	Contenido de Humedad	8.3 %		
		DENSIDAD DEL ESPECIMEN								
							Densidad Húmeda	2.21 g/cm ³		
							Densidad Seca	2.04 g/cm ³		
		RESISTENCIA A LA COMPRESIÓN INCONFINADA σ_u								
							1.28 kg/cm ²	128 kPa		
							Deformación en el instante de la falla, %.	2.99		
		CONSISTENCIA SEGÚN ϵ_u FIRME								
		ESQUEMA DE FALLA								
										
							Velocidad de Deformación:	0.5% x Min	Deformación Max. permitida (15%)	0.61 Pg
							EQUIPO UTILIZADO: PRENSA CBR DIGITAL			



MONTAÑA

AQUINO GARCIA KEVIN JHOEL
TEC. LABORATORISTA DE SUELOS,
CONCRETO Y PAVIMENTOS


Ing. Samuel Juanito Falcon Pardave
 Ingeniero Civil
 Reg. CIP. N° 218968

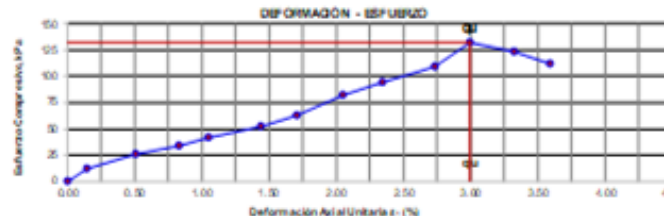
M-4 Suelo arcilloso sin adición (patrón)



INFORME DE BN SAYO

MÉTODO DE ENSAYO ESTÁNDAR PARA LA RESISTENCIA A LA COMPRESIÓN NO CONFINADA DE SUELO S COHESIVO S

ASTM D 2166 / NTP 339.167 / MTC E 121



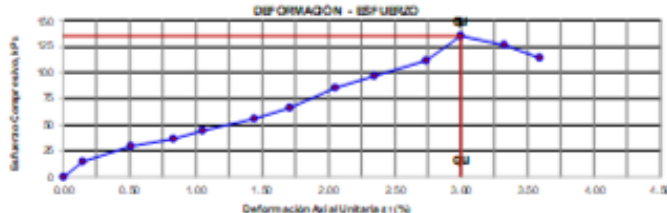
EQUIPO UTILIZADO: PRENSA CER DIGITAL



MONTAÑA AQUINO GARCIA KEVIN JHOEL
TEC. LABORATORISTA DE SUELOS,
CONCRETO Y PAVIMENTOS


Ing. Samuel Juanito Falcon Pardave
Ingeniero Civil
Reg. CIP. N° 218968

M-5 Suelo arcilloso sin adición (patrón)

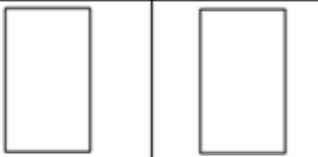
 MONTAÑA		INFORME DE ENsayo							
		MÉTODO DE ENsayo ESTÁNDAR PARA LA RESISTENCIA A LA COMPRESIÓN NO CONFINADA DE SUELOS COHESIVOS							
		ASTM D 2166 / NTP 339.187 / MTC E 121							
NOMBRE DEL CLIENTE:		BACH. VEGA BAZÁN, MERLYN MERCEDES				FECHA DE ENsayo :		21/06/2026	
ESTUDIO / PROYECTO:		INFLUENCIA DE LA CENZA DE CÁSCARA DE TARA (CAE SALPINIA TINTOREA) COMO ALTERNATIVA PARA EL MEJORAMIENTO DE LA CAPACIDAD PORTANTE DE LA SUBRASANTE DE SUELO ARCILLOSO, JR. LOS CEDROS AMARILIS – HUÁNUCO - 2024							
LOCALIZACIÓN:		JR. LOS CEDROS AMARILIS – HUÁNUCO - 2024				MUESTRA:		M-6	
DESCRIPCIÓN:		MUESTRAS DE SUELO ARCILLOSO SIN ADICIÓN (PATRÓN).				PROFUNDIDAD:		1.80 m	
CARGA APLICADA		DEFORMACIÓN (%)	DEFORMACIÓN AXIAL UNITARIA E _a (%)	ÁREA DE LA SECCIÓN TRANSVERSAL MEDIA, A (cm ²)	ESPESOR COMPRESIVO, Q _c		CONDICIÓN DEL ESPECIMEN:		
					kg/cm ²	kPa	<input checked="" type="checkbox"/> Instado	<input type="checkbox"/> Firme Seco	<input type="checkbox"/> Compactado
Rg	Rf						DIMENSIÓN PRIMERA		
0.0	0.00	0.000	0.00	21.24	0.00	0	Diametro, D	52	mm
3.3	3.26	0.006	0.15	21.27	0.15	15	Largitud inicial del espécimen, (L ₀)	104	mm
6.4	6.38	0.021	0.51	21.35	0.30	29	Relación L ₀ /D	2	
8.1	8.08	0.034	0.83	21.41	0.38	37	Area (A ₀)	21.24	cm ²
9.8	9.78	0.043	1.05	21.46	0.46	45	Volumen	220.87	cm ³
12.2	12.18	0.059	1.44	21.55	0.57	55	CONTENIDO DE HUMEDAD		
14.8	14.58	0.070	1.71	21.61	0.67	66	Orientación después del ensayo		
18.9	18.88	0.084	2.05	21.68	0.87	85	Especímen húmedo + Tara	529.11	g
21.6	21.58	0.096	2.34	21.75	0.99	97	Especímen seco + Tara	401.2	g
25.0	24.98	0.112	2.74	21.83	1.14	112	Masa de Tara	39.08	g
30.3	30.28	0.123	2.99	21.89	1.38	138	Masa Especímen húmedo	460.05	g
28.3	28.28	0.136	3.32	21.97	1.29	128	Masa Especímen seco	438.74	g
25.8	25.78	0.147	3.59	22.03	1.17	115	Contenido de Humedad	8.4	%
		DENSIDAD DEL ESPECIMEN							
		Densidad Húmeda 222 g/cm ³							
		Densidad Seca 285 g/cm ³							
		RESISTENCIA A LA COMPRESIÓN INCONFINADA q _c							
		138 kg/cm ² 138 kPa							
		Deformación en el instante de la falla, %: 2.99							
		CONSISTENCIA SEGUN q _c FIRME							
		ESQUEMA DE FALLA							
 Gráfico Deformación - Espesor		 							
		Velocidad de Deformación: 0.5% x Min Deformación Max permitida (15%)							
EQUIPO UTILIZADO: PRENSA CBR DIGITAL									



MONTAÑA
AQUINO GARCIA KEVIN JHOEL
 TEC. LABORATORISTA DE SUELOS,
 CONCRETO Y PAVIMENTOS


Ing. Samuel Juanito Polca Paredes
 Ingeniero Civil
 Reg. CIP. N° 218968

M-6 Suelo arcilloso sin adición (patrón)

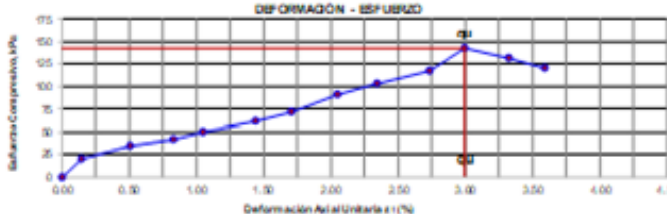
 MONTAÑA		INFORME DE EN SAYO						
		MÉTODO DE EN SAYO ESTÁNDAR PARA LA RESISTENCIA A LA COMPRESIÓN NO CONFINADA DE SUELO SIN ADICIÓN						
ASTM D 2168 / NTP 339.187 / MTC E 121								
NOMBRE DEL CLIENTE:		BACH. VEGA BAZÁN, MERLYN MERCEDES			FECHA DE EN SAYO :		21/06/2026	
ESTUDIO / PROYECTO:		INFLUENCIA DE LA CENZA DE CÁSCARA DE TARA (CAE SAL PINIA TINCT OREA) COMO ALTERNATIVA PARA EL MEJORAMIENTO DE LA CAPACIDAD PORTANTE DE LA SUBRAYANTE DE SUELLO ARCILLOSO, JR. LOS CEDROS 8 AMARILIS - HUÁNUCO - 2024						
LOCALIZACIÓN:		JR. LOS CEDROS 8 AMARILIS - HUÁNUCO - 2024			MUESTRA:		M-6	
DESCRIPCIÓN:		MUESTRAS DE SUELLO ARCILLOSO SIN ADICIÓN (PATRÓN).			PROFUNDIDAD:		1.60 m	
CARGA APLICADA		DEFORMACIÓN (PES)	DEFORMACIÓN AXIAL UNITARIA E _a (%)	ÁREA DE LA SECCIÓN TRANSVERSAL MEGA A (cm ²)	ESPESOR COMPRESIVO, C.		CONDICIÓN DEL ESPECIMEN	
					A/cm ²	kPa	<input checked="" type="checkbox"/> Infiltrado	<input type="checkbox"/> Plano húmedo
Kg	Kg						DIMENSIÓN PROMEDIO	
0.0	0.00	0.000	0.00	21.24	0.00	0	Diametro, D	52 mm
4.1	4.14	0.008	0.15	21.27	0.19	19	Largitud inicial del espécimen, (L0)	704 mm
7.3	7.26	0.021	0.51	21.35	0.34	33	Relación L/D	2
9.0	8.96	0.034	0.83	21.41	0.42	41	Area (A0)	21.24 cm ²
10.7	10.66	0.043	1.05	21.48	0.50	49	Volumen	220.87 cm ³
CONTENIDO DE HUMEDAD								
Obtenido después del ensayo								
13.1	13.08	0.059	1.44	21.55	0.61	59	Expediente húmedo + Tara	530.09 g
15.5	15.48	0.070	1.71	21.61	0.72	70	Expediente seco + Tara	492.5 g
19.8	19.76	0.084	2.05	21.68	0.91	89	Masa de Tara	39.06 g
22.5	22.48	0.098	2.34	21.75	1.03	101	Masa Expediente húmedo	491.03 g
25.9	25.88	0.112	2.74	21.83	1.18	118	Masa Expediente seco	493.44 g
31.2	31.18	0.123	2.99	21.89	1.42	140	Contenido de Humedad	8.3 %
29.2	29.18	0.136	3.32	21.97	1.33	130		
26.7	26.65	0.147	3.59	22.03	1.21	119		
DENSIDAD DEL ESPECIMEN								
Densidad Húmeda 2.22 g/cm ³								
Densidad Seca 2.05 g/cm ³								
RESISTENCIA A LA COMPRESIÓN INCONFINADA q _c								
1.42 kg/cm ² 140 kPa								
Deformación axial instantánea de la muestra, % 2.99								
CONSISTENCIA SEGÚN A. PRIME								
ESQUEMA DE FALLA								
								
Velocidad de Deformación: 0.5% x Min					Deformación Máx permitida (15%) 0.61 Pg			
EQUIPO UTILIZADO: PRENSA CBR DIGITAL								



MONTAÑA
 AQUINO GARCIA KEVIN JHOEL
 TEC. LABORATORISTA DE SUELOS,
 CONCRETO Y PAVIMENTOS


 Ing. Samuel Juventino Falcon Paredes
 Ingeniero Civil
 Reg. CIP. N° 218968

M-7 Suelo arcilloso sin adición (patrón)

 MONTAÑA		INFORME DE ENsayo									
		MÉTODO DE ENsayo ESTÁNDAR PARA LA RESISTENCIA A LA COMPRESIÓN NO CONFINADA DE SUELOS COHESIVOS									
		ASTM D 2166 / NTP 338.167 / MTC E 121									
NOMBRE DEL CLIENTE:		BACH. VEGA BAZÁN, MERLYN MERCEDES				FECHA DE ENsayo:		21/06/2026			
ESTUDIO / PROYECTO:		INFLUENCIA DE LA CENZA DE CÁSCARA DE TARA (CAE SALPINIA TINCTOREA) COMO ALTERNATIVA PARA EL MEJORAMIENTO DE LA CAPACIDAD PORTANTE DE LA SUBSARANTE DE SUELLO ARCILLOSO, JR. LOS CEDROS AMARILIS – HUÁNUCO - 2024									
LOCALIZACIÓN:		JR. LOS CEDROS 5 AMARILIS – HUÁNUCO - 2024				MUESTRA:		M-7			
DESCRIPCIÓN:		MUESTRAS DE SUELLO ARCILLOSO SIN ADICIÓN (PATRÓN).				PROFOUNDIDAD:		1.60 m			
CARGA APLICADA		DEFORMACIÓN (Pág)	DEFORMACIÓN AXIAL UNITARIA E (%)	ÁREA DE LA SECCIÓN TRANSVERSAL MEDIA, A (cm²)	ESFUERZO COMPRESIVO, σ,		CONDICIÓN DEL ESPECIMEN:				
					Kg	Kgf	N/mm²	kPa	<input checked="" type="checkbox"/> Instado	<input type="checkbox"/> Remojoado	<input type="checkbox"/> Compactado
0.0	0.00	0.000	0.00	21.24	0.00	0	Oblíxido, O	52	mm		
4.4	4.38	0.008	0.15	21.27	0.21	20	Longitud inicial del especimen, (L₀)	104	mm		
7.5	7.50	0.021	0.51	21.35	0.35	34	Relación L₀/D	2			
9.2	9.20	0.034	0.83	21.41	0.43	42	Area (A₀)	21.24	cm²		
10.9	10.90	0.043	1.05	21.46	0.51	50	Volumen	220.87	cm³		
13.3	13.30	0.059	1.44	21.55	0.62	61	CONTENIDO DE HUMEDAD				
15.7	15.70	0.070	1.71	21.61	0.73	71	Obtenida después del ensayo.				
20.0	20.00	0.094	2.05	21.88	0.92	90	Especimen húmedo + Tapa	531.25	g		
22.7	22.70	0.098	2.34	21.75	1.04	102	Especimen seco + Tapa	494.8	g		
26.1	26.10	0.112	2.74	21.83	1.20	117	Masa de Tapa	39.04	g		
31.9	31.92	0.123	2.99	21.89	1.48	143	Masa Especimen húmedo	462.21	g		
39.4	39.40	0.136	3.32	21.97	1.34	131	Masa Especimen seco	455.98	g		
46.9	46.90	0.147	3.59	22.03	1.22	120	Contenido de Humedad	8.0	%		
		DENSIDAD DEL ESPECIMEN									
		Densidad Húmeda									
		Densidad Seca									
		RESISTENCIA A LA COMPRESIÓN INCONFINADA σ_c									
		148 kg/cm² 143 kPa									
		Deformación axial instantánea de la lista, %.									
		CONSISTENCIA SEGUN σ_c									
		FIRME									
		ESQUEMA DE FALTA									
											
		<table border="1"> <tr> <td>Velocidad de Deformación: 0.5% x Min</td> <td>Deformación Máx permitida (15%): 0.61 Pág</td> </tr> </table>								Velocidad de Deformación: 0.5% x Min	Deformación Máx permitida (15%): 0.61 Pág
Velocidad de Deformación: 0.5% x Min	Deformación Máx permitida (15%): 0.61 Pág										
		EQUIPO UTILIZADO: PRESA CBY DIGITAL									

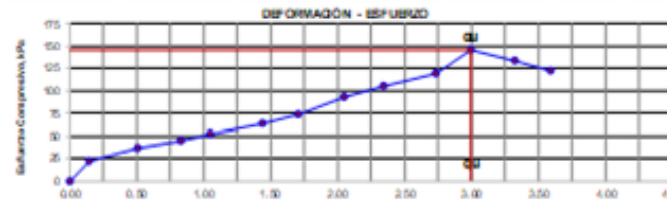


MONTAÑA

AQUINO GARCIA KEVIN JHOEL
TEC. LABORATORISTA DE SUELOS,
CONCRETO Y PAVIMENTOS


Ing. Samuel Juanito Falcon Paredes
 Ingeniero Civil
 Reg. CIP. N° 218968

M-8 Suelo arcilloso sin adición (patrón)

 MONTAÑA		INFORME DE ENsayo									
		MÉTODO DE ENsayo ESTÁNDAR PARA LA RESISTENCIA A LA COMPRESIÓN NO CONFINADA DE SUELO S COHESIVO S									
ASTM D 2166 / NTP 339.187 / MTC E 121											
NOMBRE DEL CLIENTE:		BACH. VEGA BAZÁN, MERLYN MERCEDES				FECHA DE ENsayo :		21/06/2026			
ESTUDIO / PROYECTO:		INFLUENCIA DE LA CENZA DE CÁSCARA DE TARA (CAE SALPINIA TINCTOREA) COMO ALTERNATIVA PARA EL MEJORAMIENTO DE LA CAPACIDAD PORTANTE DE LA SUBSTRANTE DE SUELDO ARCILLOSO, JR. LO S CEDRO S AMARILIS – HUÁNUCO - 2024									
LOCALIZACIÓN:		JR. LO S CEDRO S AMARILIS – HUÁNUCO - 2024				MUESTRA:		M-8			
DESCRIPCIÓN:		MUESTRAS DE SUELDO ARCILLOSO SIN ADICIÓN (PATRÓN).				PROFUNDIDAD:		1.60 m			
CARGA APLICADA		DEFORMACIÓN (%)	DEFORMACIÓN AXIAL UNITARIA E, (%)	ÁREA DE LA SECCIÓN TRANSVERSAL MEDA, A (cm²)	ESFUERZO COMPRESIVO, Q,		CONDICIÓN DEL ESPECIMEN:				
Kg	Kgf				kg/cm²	kPa	<input checked="" type="checkbox"/> Infiltrado	<input checked="" type="checkbox"/> Remolido	<input checked="" type="checkbox"/> Compactado		
0.0	0.00	0.000	0.00	21.24	0.00	0	Diametro, D	52	mm		
4.9	4.90	0.006	0.15	21.27	0.23	23	Largitud inicial del especímen, (Lo)	104	mm		
8.0	8.02	0.021	0.51	21.35	0.38	37	Relación Lo/D	2			
9.7	9.72	0.034	0.83	21.41	0.45	45	Area (A)	21.24	cm²		
11.4	11.42	0.043	1.05	21.48	0.53	52	Volumen	220.87	cm³		
13.8	13.82	0.059	1.44	21.55	0.64	63	CONTENIDO DE HUMEDAD				
16.2	16.22	0.070	1.71	21.61	0.75	74	Obtenido después del ensayo				
20.5	20.52	0.084	2.05	21.68	0.95	93	Espectimen húmedo + Tens	530.14	g		
23.2	23.22	0.098	2.34	21.75	1.07	105	Espectimen seco + Tens	463.1	g		
26.8	26.82	0.112	2.74	21.83	1.22	120	Masa de Tens	29.07	g		
32.5	32.52	0.123	2.99	21.89	1.49	148	Masa Espectimen húmedo	491.07	g		
39.9	39.92	0.136	3.32	21.97	1.38	134	Masa Espectimen seco	454.03	g		
27.4	27.42	0.147	3.59	22.03	1.24	122	Contenido de Humedad	8.2	%		
DENSIDAD DEL ESPECIMEN											
Densidad Húmeda										2.22	g/cm³
Densidad Seca										2.06	g/cm³
RESISTENCIA A LA COMPRESIÓN INCONFINADA q _c										148 kg/cm²	148 kPa
Deformación axial instantánea de la lista, %.										2.99	
CONSISTENCIA SEGUN q _c										firme	
ESQUEMA DE FALLA											
											
										Velocidad de Deformación: 0.5% x Min	Deformación Max permitida (15%): 0.61 Pd
										Equipo utilizado: PRENSA CIR DIGITAL	

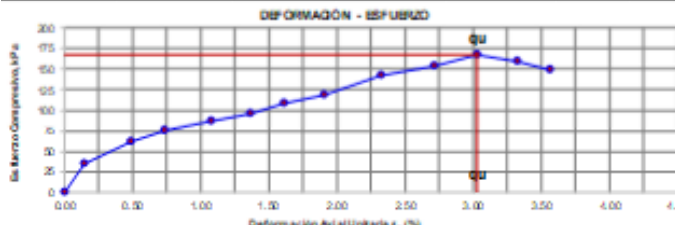


MONTAÑA

AQUINO GARCIA KEVIN JHOEL
TEC. LABORATORISTA DE SUELOS,
CONCRETO Y PAVIMENTOS


Ing. Samuel Juanito Falcon Paredes
 Ingeniero Civil
 Reg. CIP. N° 218968

M-1 Suelo arcilloso con adición 5% de la ceniza de tara

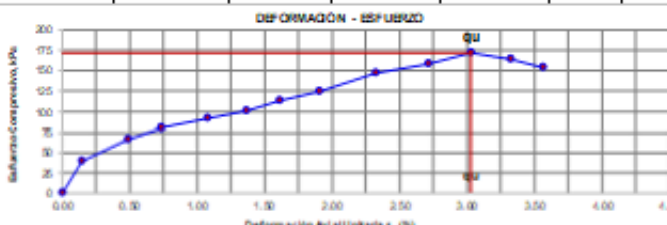
 MONTAÑA		INFORME DE ENsayo						
		MÉTODO DE ENsayo ESTÁNDAR PARA LA RESISTENCIA A LA COMPRESIÓN NO CONFINADA DE SUELO S COHESIVO S						
ASTM D 2168 / NTP 338.187 / MTC E 121								
NOMBRE DEL CLIENTE:		BACH. VEGA BAZÁN, MERLYN MERCEDES				FECHA DE ENsayo :		21/06/2026
ESTUDIO / PROYECTO :		INFLUENCIA DE LA CENIZA DE CÁSCARA DE TARA (CAE SALPINIA TINCTOREA) COMO ALTERNATIVA PARA EL MEJORAMIENTO DE LA CAPACIDAD PORTANTE DE LA SUBSABANTE DE SUELTO ARCILLO SO, JR. LO S CEDRO S AMARILIS - HUÁNUCO - 2024						
LOCALIZACIÓN:		JR. LO S CEDRO S AMARILIS - HUÁNUCO - 2024				MUESTRA:		M-1
DESCRIPCIÓN:		PESO DEL 5% DE LA CENIZA DE CÁSCARA DE TARA RESPECTO AL PE 80 SECO DE LA MUESTRA.				PROFUNDIDAD:		1.60 m
CARGA APLICADA		DEFORMACIÓN (%)	DEFORMACIÓN AXIAL UNITARIA E _u (%)	ÁREA DE LA SECCIÓN TRASVERCAL MEDIA, A (cm ²)	ESPESOR COMPRESIVO, q _c		CONDICIÓN DEL ESPECIMEN	
					Kg	Kgf	kg/cm ²	kPa
0.0	0.00	0.000	0.00	21.24	0.00	0	Diametro, D	52 mm
7.8	7.80	0.038	0.15	21.27	0.38	35	Lorgritud inicial del espesimeno, (L ₀)	104 mm
13.5	13.50	0.020	0.49	21.34	0.63	62	Relación L ₀ /D	2
18.6	18.60	0.030	0.73	21.39	0.78	76	Area (A ₀)	21.24 cm ²
19.0	19.00	0.044	1.07	21.47	0.89	87	Volumen	22087 cm ³
21.2	21.20	0.096	1.37	21.53	0.98	97	CONTENIDO DE HUMEDAD	
23.9	23.90	0.066	1.81	21.59	1.11	109	Contenido de humedad despues del ensayo	
26.3	26.30	0.078	1.91	21.65	1.21	119	Espeimeno húmedo + Tara	527.01 g
31.6	31.60	0.026	2.32	21.74	1.45	143	Espeimeno seco + Tara	462.02 g
34.2	34.20	0.111	2.71	21.83	1.57	154	Masa de Tara	39.08 g
37.4	37.40	0.124	3.03	21.90	1.71	167	Masa Espeimeno húmedo	487.95 g
35.7	35.70	0.136	3.32	21.97	1.83	159	Masa Espeimeno seco	452.98 g
33.8	33.80	0.146	3.57	22.02	1.92	149	Contenido de Humedad	7.7 %
DENSIDAD DEL ESPECIMEN								
Densidad Húmeda								
Densidad Seca								
RESISTENCIA A LA COMPRESIÓN INCONFINADA q _c								
							1.71 kg/cm ²	187 kPa
Deflexión en el instante de la falla, %:							3.03	
CONSISTENCIA SEGUN q _c							FIRME	
ESQUEMA DE FALLA								
								
Velocidad de Deformación: 0.5% x Min							Deformación Max permitida (15%) 0.61 Pg	
EQUIPO UTILIZADO: PRENSA CUY DIGITAL								




AQUINO GARCIA KEVIN JHOEL
 TEC. LABORATORISTA DE SUELOS,
 CONCRETO Y PAVIMENTOS


Ing. Samuel Juanito Falcon Paredes
 Ingeniero Civil
 Reg. CIP. N° 218968

M-2 Suelo arcilloso con adición 5% de la ceniza de tara.

 MONTAÑA		INFORME DE ENsayo									
		MÉTODO DE ENsayo ESTÁNDAR PARA LA RESISTENCIA A LA COMPRESIÓN NO CONFINADA DE SUELOS COHESIVOS									
ASTM D 2166 / NTP 339.187 / MTC E 121											
NOMBRE DEL CLIENTE:		BACH. VEGA BAZÁN, MERLYN MERCEDES				FECHA DE ENsayo:		21/06/2025			
ESTUDIO / PROYECTO:		INFLUENCIA DE LA CENIZA DE CÁSCARA DE TARA (CAE SALPINIA TINCTOREA) COMO ALTERNATIVA PARA EL MEJORAMIENTO DE LA CAPACIDAD PORTANTE DE LA SUBSABANTE DE SUELLO ARCILLOSO, JR. LO 8 CEDRO 8 AMARILIS - HUÁNUCO - 2024									
LOCALIZACIÓN:		JR. LO 8 CEDRO 8 AMARILIS - HUÁNUCO - 2024				MUESTRA:		M-2			
DESCRIPCIÓN:		PESO DEL 5% DE LA CENIZA DE CÁSCARA DE TARA RESPECTO AL PESO SECO DE LA MUESTRA,				PROFUNDIDAD:		1.60 m			
CARGA APLICADA		DEFORMACIÓN (Pz)	DEFORMACIÓN AXIAL UNITARIA E (%)	ÁREA DE LA SECCIÓN TRANSVERSAL MEDIA A (cm ²)	ESFUERZO COMPRESIVO q _c	CONDICIÓN DEL ESPECIMEN:					
Kg	Kgf			kg/cm ²	kPa	Instado	<input type="checkbox"/>	Humedo	<input checked="" type="checkbox"/>	Comprimido	<input checked="" type="checkbox"/>
0.0	0.00	0.000	0.00	21.24	0.00	0	Denso	Q	52	mm	
8.8	8.82	0.006	0.15	21.27	0.41	40	Longitud inicial del especimen, (L ₀)		104	mm	
14.5	14.52	0.020	0.49	21.34	0.88	87	Relación L ₀ /D		2		
17.8	17.82	0.030	0.73	21.39	0.92	81	Ara (A ₀)		21.24	cm ²	
20.0	20.02	0.044	1.07	21.47	0.93	91	Volumen		220.87	cm ³	
22.2	22.22	0.066	1.37	21.53	1.03	101	CONTENIDO DE HUMEDAD				
24.9	24.92	0.088	1.61	21.59	1.15	113	Obtenida después del ensayo				
27.3	27.32	0.078	1.91	21.65	1.28	124	Especimen húmedo + Tara		520.11	g	
32.6	32.62	0.025	2.32	21.74	1.50	147	Especimen seco + Tara		465.01	g	
35.2	35.22	0.111	2.71	21.83	1.61	158	Masa de Tara		39.06	g	
36.4	36.42	0.124	3.03	21.90	1.75	172	Masa Especimen húmedo		460.05	g	
36.7	36.72	0.136	3.32	21.97	1.87	184	Masa Especimen seco		455.95	g	
34.8	34.82	0.146	3.57	22.02	1.97	194	Contenido de Humedad		7.5	%	
									DENSIDAD DEL ESPECIMEN		
									Densidad Húmeda	2.22	g/cm ³
									Densidad Seca	2.06	g/cm ³
									RESISTENCIA A LA COMPRESIÓN INCONFINADA q _c		
									1.76 kg/cm ²	172	kPa
									Deformación en el instante de la falla, %:	3.03	
									CONSISTENCIA SEGUN q _c	FIRME	
									ESQUEMA DE FALLA		
											
									Velocidad de Deformación: 0.5% x Min	Deformación Max. permitida (15%): 0.61 Pz	
									EQUIPO UTILIZADO: PRESA CER DIGITAL		



MONTAÑA

 AQUINO GARCIA KEVIN JHOEL
 TEC. LABORATORISTA DE SUELOS,
 CONCRETO Y PAVIMENTOS


 Ing. Samuel Juanito Falcon Paredes
 Ingeniero Civil
 Reg. CIP. N° 218968

M-3 Suelo arcilloso con adición 5% de la ceniza de tara.

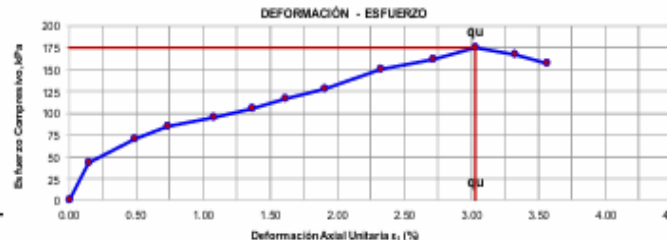
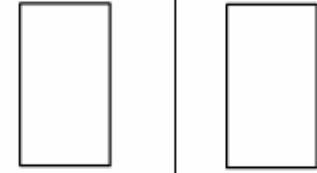
		INFORME DE ENSAYO								
		MÉTODO DE ENSAYO ESTÁNDAR PARA LA RESISTENCIA A LA COMPRESIÓN NO CONFINADA DE SUELOS COHESIVOS								
		ASTM D 2166 / NTP 339.167 / MTC E 121								
NOMBRE DEL CLIENTE :		BACH. VEGA BAZÁN, MERLYN MERCEDES				FECHA DE ENSAYO :		21/05/2025		
ESTUDIO / PROYECTO:		INFLUENCIA DE LA CENIZA DE CÁSCARA DE TARA (CAESALPINIA TINTOREA) COMO ALTERNATIVA PARA EL MEJORAMIENTO DE LA CAPACIDAD PORTANTE DE LA SUBRASANTE DE SUELO ARCILLOSO, JR. LOS CEDROS AMARILIS – HUÁNUCO - 2024								
LOCALIZACIÓN:		JR. LOS CEDROS AMARILIS – HUÁNUCO - 2024				MUESTRA:		M-3		
DESCRIPCIÓN:		PESO DEL 5% DE LA CENIZA DE CÁSCARA DE TARA RESPECTO AL PESO SECO DE LA MUESTRA.				PROFUNDIDAD:		1.50 m		
CARGA APLICADA		DEFORMACIÓN (Pig)	DEFORMACIÓN AXIAL UNITARIA ϵ_1 (%)	ÁREA DE LA SECCIÓN TRANSVERSAL MEDIA, A (cm^2)	ESFUERZO COMPRESIVO, σ_c		CONDICIÓN DEL ESPÉCIMEN:			
Kg	kgf				kN/cm^2	kPa	Inalterado <input type="checkbox"/>	Remoldiado <input checked="" type="checkbox"/>	Compactado <input checked="" type="checkbox"/>	
0.0	0.00	0.000	0.00	21.24	0.00	0	Diametro, D	52	mm	
9.6	9.62	0.006	0.15	21.27	0.45	44	Longitud inicial del espécimen, (L ₀)	104	mm	
15.5	15.52	0.020	0.49	21.34	0.73	71	Relación L ₀ /D	2		
18.6	18.62	0.030	0.73	21.39	0.87	85	Área (A ₀)	21.24	cm^2	
21.0	21.02	0.044	1.07	21.47	0.98	98	Volumen	220.87	cm^3	
23.2	23.22	0.056	1.37	21.53	1.08	108	CONTENIDO DE HUMEDAD			
25.9	25.92	0.066	1.61	21.59	1.20	118	Obtenido después del ensayo			
28.3	28.32	0.078	1.91	21.65	1.31	128	Especímen húmedo + Tara	531.03	g	
33.6	33.62	0.095	2.32	21.74	1.55	152	Especímen seco + Tara	495.61	g	
36.2	36.22	0.111	2.71	21.83	1.66	163	Masa de Tara	39.06	g	
39.4	39.42	0.124	3.03	21.90	1.80	177	Masa Espécimen húmedo	491.97	g	
37.7	37.72	0.138	3.32	21.97	1.72	166	Masa Espécimen seco	466.55	g	
35.6	35.58	0.146	3.57	22.02	1.62	158	Contenido de Humedad	7.8	%	
DENSIDAD DEL ESPÉCIMEN										
Densidad Húmeda 2.23 g/cm^3										
Densidad Seca 2.07 g/cm^3										
RESISTENCIA A LA COMPRESIÓN INCONFINADA q_u										
1.80 kN/cm^2 177 kPa										
Deformación en el instante de la falla, %: 3.03										
CONSISTENCIA SEGÚN q_u FIRME										
ESQUEMA DE FALLA										
										
					Velocidad de Deformación: 0.5% x Min	Deformación Max permitida (15%): 0.61 Pig				
EQUIPO UTILIZADO: PRENSA CBR DIGITAL										



AQUINO GARCIA KEVIN JHOEL
TEC. LABORATORISTA DE SUELOS,
CONCRETO Y PAVIMENTOS


Ing. Samuel Juanito Falcon Pardave
Ingeniero Civil
Reg. CIP. N° 218968

M-4 Suelo arcilloso con adición 5% de la ceniza de tara.

 MONTAÑA		INFORME DE ENSAYO						
		MÉTODO DE ENSAYO ESTÁNDAR PARA LA RESISTENCIA A LA COMPRESIÓN NO CONFINADA DE SUELOS COHESIVOS						
		ASTM D 2166 / NTP 339.167 / MTC E 121						
NOMBRE DEL CLIENTE :		BACH. VEGA BAZÁN, MERLYN MERCEDES			FECHA DE ENSAYO :		21/05/2025	
ESTUDIO / PROYECTO:		INFLUENCIA DE LA CENIZA DE CÁSCARA DE TARA (CAESALPINIA TINCTORIA) COMO ALTERNATIVA PARA EL MEJORAMIENTO DE LA CAPACIDAD PORTANTE DE LA SUBASANTE DE SUELLO ARCILLOSO, JR. LOS CEDROS AMARILIS - HUÁNUCO - 2024						
LOCALIZACIÓN:		JR. LOS CEDROS AMARILIS - HUÁNUCO - 2024			MUESTRA:		M-4	
DESCRIPCIÓN:		PESO DEL 5% DE LA CENIZA DE CÁSCARA DE TARA RESPECTO AL PESO SECO DE LA MUESTRA.			PROFUNDIDAD:		1.50 m	
CARGA APLICADA		DEFORMACIÓN (Pig)	DEFORMACIÓN AXIAL UNITARIA ϵ_1 (%)	ÁREA DE LA SECCIÓN TRANSVERSAL MEDIA, A (cm^2)	ESFUERZO COMPRESIVO, σ_c		CONDICIÓN DEL ESPÉCIMEN:	
					kg/cm ²	kPa	Inalterado <input type="checkbox"/>	Ramoldeado <input checked="" type="checkbox"/>
Kg	kgf						DIMENSIÓN PROMEDIO	
0.0	0.00	0.000	0.00	21.24	0.00	0	Diametro, D	52 mm
9.4	9.40	0.006	0.15	21.27	0.44	43	Longitud inicial del espécimen, (L ₀)	104 mm
15.3	15.30	0.020	0.49	21.34	0.72	70	Relación L ₀ /D	2
18.4	18.40	0.030	0.73	21.39	0.88	84	Área (A ₀)	21.24 cm ²
20.8	20.80	0.044	1.07	21.47	0.97	95	Volumen	220.87 cm ³
		CONTENIDO DE HUMEDAD						
23.0	23.00	0.056	1.37	21.53	1.07	105	Obtenida después del ensayo	
25.7	25.70	0.066	1.61	21.59	1.19	117	Especímen húmedo + Tara	530.27 g
28.1	28.10	0.078	1.91	21.65	1.30	127	Especímen seco + Tara	495.8 g
33.4	33.40	0.095	2.32	21.74	1.54	151	Masa de Tara	39.07 g
36.0	36.00	0.111	2.71	21.83	1.65	162	Masa Espécimen húmedo	491.2 g
37.5	37.50	0.136	3.32	21.97	1.71	167	Masa Espécimen seco	456.53 g
35.4	35.38	0.146	3.57	22.02	1.81	157	Contenido de Humedad	7.6 %
		DENSIDAD DEL ESPÉCIMEN						
							Densidad Húmeda	2.22 g/cm ³
							Densidad Seca	2.07 g/cm ³
		RESISTENCIA A LA COMPRESIÓN INCONFINADA a_u						
							1.79 kg/cm ²	176 kPa
							Deformación en el instante de la falla, %:	3.03
							CONSISTENCIA SEGÚN q_u	FIRME
		ESQUEMA DE FALLA						
		 Velocidad de Deformación: 0.5% x Min Deformación Max. permisible (15%): 0.61 Pig Deformación: 0.61 Pig						
EQUIPO UTILIZADO: PRENSA CBR DIGITAL								

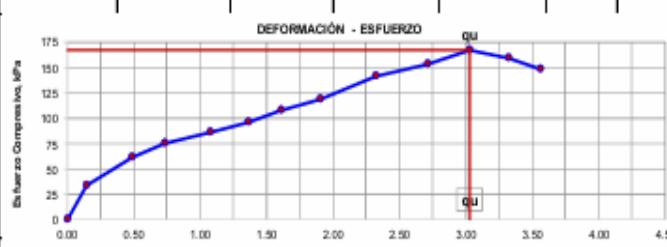
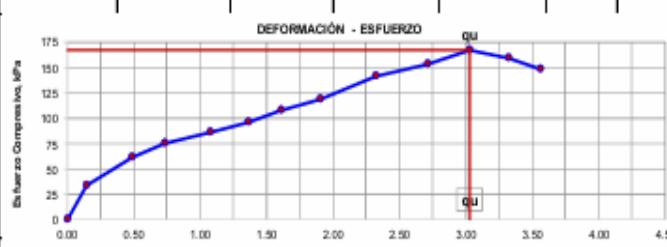
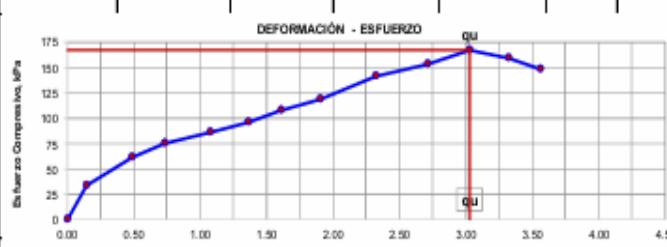


MONTAÑA

AQUINO GARCIA KEVIN JHOEL
TEC. LABORATORISTA DE SUELOS,
CONCRETO Y PAVIMENTOS


Ing. Samuel Juanito Falcon Paredes
 Ingeniero Civil
 Reg. CIP. N° 218968

M-5 Suelo arcilloso con adición 5% de la ceniza de tara.

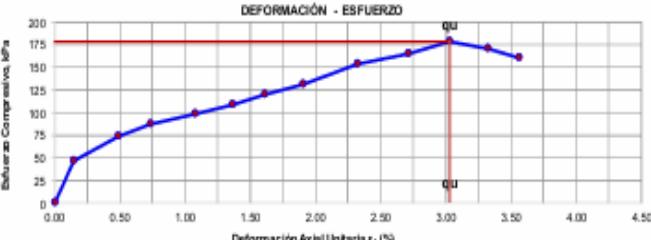
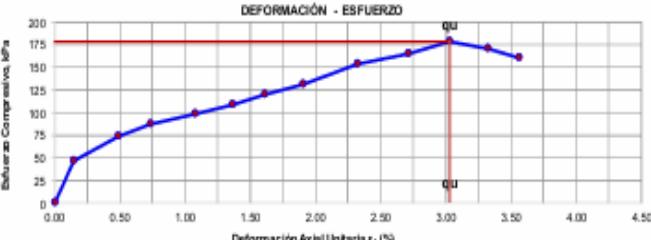
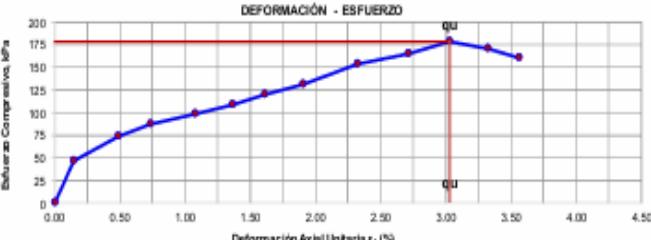
 MONTAÑA		INFORME DE ENSAYO																																																																																																																																																																																																																																																																																																																	
		MÉTODO DE ENSAYO ESTÁNDAR PARA LA RESISTENCIA A LA COMPRESIÓN NO CONFINADA DE SUELOS COHESIVOS																																																																																																																																																																																																																																																																																																																	
ASTM D 2166 / NTP 339.167 / MTC E 121																																																																																																																																																																																																																																																																																																																			
NOMBRE DEL CLIENTE :		BACH. VEGA BAZÁN, MERLYN MERCEDES						FECHA DE ENSAYO :	21/05/2025																																																																																																																																																																																																																																																																																																										
ESTUDIO / PROYECTO:		INFLUENCIA DE LA CENIZA DE CÁSCARA DE TARA (CAESALPINIA TINCTORÆ) COMO ALTERNATIVA PARA EL MEJORAMIENTO DE LA CAPACIDAD PORTANTE DE LA SUBRASANTE DE SUELLO ARCILLOSO, JR. LOS CEDROS AMARILIS – HUÁNUCO - 2024																																																																																																																																																																																																																																																																																																																	
LOCALIZACIÓN:		JR. LOS CEDROS AMARILIS – HUÁNUCO - 2024						MUESTRA:	M-5																																																																																																																																																																																																																																																																																																										
DESCRIPCIÓN:		PESO DEL 5% DE LA CENIZA DE CÁSCARA DE TARA RESPECTO AL PESO SECO DE LA MUESTRA.						PROFUNDIDAD:	1.50 m																																																																																																																																																																																																																																																																																																										
<table border="1" style="width: 100%; border-collapse: collapse;"> <thead> <tr> <th colspan="2" style="text-align: left;">CARGA APLICADA</th> <th rowspan="2">DEFORMACIÓN (Pig)</th> <th rowspan="2">DEFORMACIÓN AXIAL UNITARIA ϵ_1 (%)</th> <th rowspan="2">ÁREA DE LA SECCIÓN TRANSVERSAL MEDIA, A (cm^2)</th> <th colspan="2">ESFUERZO COMPRESIVO, σ_c</th> <th colspan="3">CONDICIÓN DEL ESPÉCIMEN:</th> </tr> <tr> <th>Kg</th> <th>kgf</th> <th>kg/cm²</th> <th>kPa</th> <th>Inflado</th> <th>Rremoldado</th> <th>Compactado</th> </tr> </thead> <tbody> <tr> <td>0.0</td> <td>0.00</td> <td>0.00</td> <td>0.00</td> <td>21.24</td> <td>0.00</td> <td>0</td> <td>Diametro, D</td> <td>52</td> <td>mm</td> </tr> <tr> <td>7.4</td> <td>7.42</td> <td>0.006</td> <td>0.15</td> <td>21.27</td> <td>0.35</td> <td>34</td> <td>Longitud inicial del espécimen, (L₀)</td> <td>104</td> <td>mm</td> </tr> <tr> <td>13.3</td> <td>13.32</td> <td>0.020</td> <td>0.49</td> <td>21.34</td> <td>0.62</td> <td>61</td> <td>Relación L₀/D</td> <td>2</td> <td></td> </tr> <tr> <td>16.4</td> <td>16.42</td> <td>0.030</td> <td>0.73</td> <td>21.39</td> <td>0.77</td> <td>75</td> <td>Área (A₀)</td> <td>21.24</td> <td>cm²</td> </tr> <tr> <td>18.8</td> <td>18.82</td> <td>0.044</td> <td>1.07</td> <td>21.47</td> <td>0.88</td> <td>86</td> <td>Volumen</td> <td>220.87</td> <td>cm³</td> </tr> <tr> <td>21.0</td> <td>21.02</td> <td>0.056</td> <td>1.37</td> <td>21.53</td> <td>0.98</td> <td>96</td> <td colspan="3" style="background-color: #d9e1f2;">CONTENIDO DE HUMEDAD</td></tr> <tr> <td>23.7</td> <td>23.72</td> <td>0.066</td> <td>1.61</td> <td>21.59</td> <td>1.10</td> <td>108</td> <td colspan="3" style="background-color: #d9e1f2;">Obtenida después del ensayo</td></tr> <tr> <td>26.1</td> <td>26.12</td> <td>0.078</td> <td>1.91</td> <td>21.65</td> <td>1.21</td> <td>118</td> <td colspan="3" style="background-color: #d9e1f2;">Espécimen húmedo + Tara</td></tr> <tr> <td>31.4</td> <td>31.42</td> <td>0.095</td> <td>2.32</td> <td>21.74</td> <td>1.45</td> <td>142</td> <td colspan="3" style="background-color: #d9e1f2;">Espécimen seco + Tara</td></tr> <tr> <td>34.0</td> <td>34.02</td> <td>0.111</td> <td>2.71</td> <td>21.83</td> <td>1.58</td> <td>153</td> <td colspan="3" style="background-color: #d9e1f2;">Masa de Tara</td></tr> <tr> <td>37.2</td> <td>37.22</td> <td>0.124</td> <td>3.03</td> <td>21.90</td> <td>1.70</td> <td>167</td> <td colspan="3" style="background-color: #d9e1f2;">Masa Espécimen húmedo</td></tr> <tr> <td>35.5</td> <td>35.52</td> <td>0.136</td> <td>3.32</td> <td>21.97</td> <td>1.82</td> <td>159</td> <td colspan="3" style="background-color: #d9e1f2;">Masa Espécimen seco</td></tr> <tr> <td>35.4</td> <td>33.38</td> <td>0.146</td> <td>3.57</td> <td>22.02</td> <td>1.52</td> <td>149</td> <td colspan="3" style="background-color: #d9e1f2;">Contenido de Humedad</td></tr> <tr> <td></td> <td></td> <td></td> <td></td> <td></td> <td></td> <td></td> <td colspan="3" style="background-color: #d9e1f2;">DENSIDAD DEL ESPÉCIMEN</td></tr> <tr> <td></td> <td></td> <td></td> <td></td> <td></td> <td></td> <td></td> <td colspan="3" style="background-color: #d9e1f2;">Densidad Húmeda</td></tr> <tr> <td></td> <td></td> <td></td> <td></td> <td></td> <td></td> <td></td> <td colspan="3" style="background-color: #d9e1f2;">2.22 g/cm³</td></tr> <tr> <td></td> <td></td> <td></td> <td></td> <td></td> <td></td> <td></td> <td colspan="3" style="background-color: #d9e1f2;">Densidad Seca</td></tr> <tr> <td></td> <td></td> <td></td> <td></td> <td></td> <td></td> <td></td> <td colspan="3" style="background-color: #d9e1f2;">2.06 g/cm³</td></tr> <tr> <td></td> <td></td> <td></td> <td></td> <td></td> <td></td> <td></td> <td colspan="3" style="background-color: #d9e1f2;">RESISTENCIA A LA COMPRESIÓN INCONFINADA q_u</td></tr> <tr> <td></td> <td></td> <td></td> <td></td> <td></td> <td></td> <td></td> <td colspan="3" style="background-color: #d9e1f2;">1.70 kg/cm²</td></tr> <tr> <td></td> <td></td> <td></td> <td></td> <td></td> <td></td> <td></td> <td colspan="3" style="background-color: #d9e1f2;">167 kPa</td></tr> <tr> <td></td> <td></td> <td></td> <td></td> <td></td> <td></td> <td></td> <td colspan="3" style="background-color: #d9e1f2;">Deformación en el instante de la falla, %:</td></tr> <tr> <td></td> <td></td> <td></td> <td></td> <td></td> <td></td> <td></td> <td colspan="3" style="background-color: #d9e1f2;">3.03</td></tr> <tr> <td></td> <td></td> <td></td> <td></td> <td></td> <td></td> <td></td> <td colspan="3" style="background-color: #d9e1f2;">CONSISTENCIA SEGÚN q_u</td></tr> <tr> <td></td> <td></td> <td></td> <td></td> <td></td> <td></td> <td></td> <td colspan="3" rowspan="5" style="background-color: #d9e1f2;">FIRME</td></tr> <tr> <td colspan="10" style="text-align: center;">ESQUEMA DE FALLA</td></tr> <tr> <td colspan="10" style="text-align: center;">  </td></tr> <tr> <td colspan="10" style="text-align: center; font-size: small;"> Velocidad de Deformación: 0.5% x Min Deformación Max permitida (15%): 0.61 Pig </td></tr> <tr> <td colspan="10" style="text-align: center; font-size: small;"> EQUIPO UTILIZADO: PRENSA CBR DIGITAL </td></tr> </tbody> </table>	CARGA APLICADA		DEFORMACIÓN (Pig)	DEFORMACIÓN AXIAL UNITARIA ϵ_1 (%)	ÁREA DE LA SECCIÓN TRANSVERSAL MEDIA, A (cm^2)	ESFUERZO COMPRESIVO, σ_c		CONDICIÓN DEL ESPÉCIMEN:			Kg	kgf	kg/cm ²	kPa	Inflado	Rremoldado	Compactado	0.0	0.00	0.00	0.00	21.24	0.00	0	Diametro, D	52	mm	7.4	7.42	0.006	0.15	21.27	0.35	34	Longitud inicial del espécimen, (L ₀)	104	mm	13.3	13.32	0.020	0.49	21.34	0.62	61	Relación L ₀ /D	2		16.4	16.42	0.030	0.73	21.39	0.77	75	Área (A ₀)	21.24	cm ²	18.8	18.82	0.044	1.07	21.47	0.88	86	Volumen	220.87	cm ³	21.0	21.02	0.056	1.37	21.53	0.98	96	CONTENIDO DE HUMEDAD			23.7	23.72	0.066	1.61	21.59	1.10	108	Obtenida después del ensayo			26.1	26.12	0.078	1.91	21.65	1.21	118	Espécimen húmedo + Tara			31.4	31.42	0.095	2.32	21.74	1.45	142	Espécimen seco + Tara			34.0	34.02	0.111	2.71	21.83	1.58	153	Masa de Tara			37.2	37.22	0.124	3.03	21.90	1.70	167	Masa Espécimen húmedo			35.5	35.52	0.136	3.32	21.97	1.82	159	Masa Espécimen seco			35.4	33.38	0.146	3.57	22.02	1.52	149	Contenido de Humedad										DENSIDAD DEL ESPÉCIMEN										Densidad Húmeda										2.22 g/cm ³										Densidad Seca										2.06 g/cm ³										RESISTENCIA A LA COMPRESIÓN INCONFINADA q _u										1.70 kg/cm ²										167 kPa										Deformación en el instante de la falla, %:										3.03										CONSISTENCIA SEGÚN q _u										FIRME			ESQUEMA DE FALLA																				Velocidad de Deformación: 0.5% x Min Deformación Max permitida (15%): 0.61 Pig										EQUIPO UTILIZADO: PRENSA CBR DIGITAL									
CARGA APLICADA		DEFORMACIÓN (Pig)				DEFORMACIÓN AXIAL UNITARIA ϵ_1 (%)	ÁREA DE LA SECCIÓN TRANSVERSAL MEDIA, A (cm^2)	ESFUERZO COMPRESIVO, σ_c		CONDICIÓN DEL ESPÉCIMEN:																																																																																																																																																																																																																																																																																																									
Kg	kgf		kg/cm ²	kPa	Inflado			Rremoldado	Compactado																																																																																																																																																																																																																																																																																																										
0.0	0.00	0.00	0.00	21.24	0.00	0	Diametro, D	52	mm																																																																																																																																																																																																																																																																																																										
7.4	7.42	0.006	0.15	21.27	0.35	34	Longitud inicial del espécimen, (L ₀)	104	mm																																																																																																																																																																																																																																																																																																										
13.3	13.32	0.020	0.49	21.34	0.62	61	Relación L ₀ /D	2																																																																																																																																																																																																																																																																																																											
16.4	16.42	0.030	0.73	21.39	0.77	75	Área (A ₀)	21.24	cm ²																																																																																																																																																																																																																																																																																																										
18.8	18.82	0.044	1.07	21.47	0.88	86	Volumen	220.87	cm ³																																																																																																																																																																																																																																																																																																										
21.0	21.02	0.056	1.37	21.53	0.98	96	CONTENIDO DE HUMEDAD																																																																																																																																																																																																																																																																																																												
23.7	23.72	0.066	1.61	21.59	1.10	108	Obtenida después del ensayo																																																																																																																																																																																																																																																																																																												
26.1	26.12	0.078	1.91	21.65	1.21	118	Espécimen húmedo + Tara																																																																																																																																																																																																																																																																																																												
31.4	31.42	0.095	2.32	21.74	1.45	142	Espécimen seco + Tara																																																																																																																																																																																																																																																																																																												
34.0	34.02	0.111	2.71	21.83	1.58	153	Masa de Tara																																																																																																																																																																																																																																																																																																												
37.2	37.22	0.124	3.03	21.90	1.70	167	Masa Espécimen húmedo																																																																																																																																																																																																																																																																																																												
35.5	35.52	0.136	3.32	21.97	1.82	159	Masa Espécimen seco																																																																																																																																																																																																																																																																																																												
35.4	33.38	0.146	3.57	22.02	1.52	149	Contenido de Humedad																																																																																																																																																																																																																																																																																																												
							DENSIDAD DEL ESPÉCIMEN																																																																																																																																																																																																																																																																																																												
							Densidad Húmeda																																																																																																																																																																																																																																																																																																												
							2.22 g/cm ³																																																																																																																																																																																																																																																																																																												
							Densidad Seca																																																																																																																																																																																																																																																																																																												
							2.06 g/cm ³																																																																																																																																																																																																																																																																																																												
							RESISTENCIA A LA COMPRESIÓN INCONFINADA q _u																																																																																																																																																																																																																																																																																																												
							1.70 kg/cm ²																																																																																																																																																																																																																																																																																																												
							167 kPa																																																																																																																																																																																																																																																																																																												
							Deformación en el instante de la falla, %:																																																																																																																																																																																																																																																																																																												
							3.03																																																																																																																																																																																																																																																																																																												
							CONSISTENCIA SEGÚN q _u																																																																																																																																																																																																																																																																																																												
							FIRME																																																																																																																																																																																																																																																																																																												
ESQUEMA DE FALLA																																																																																																																																																																																																																																																																																																																			
																																																																																																																																																																																																																																																																																																																			
Velocidad de Deformación: 0.5% x Min Deformación Max permitida (15%): 0.61 Pig																																																																																																																																																																																																																																																																																																																			
EQUIPO UTILIZADO: PRENSA CBR DIGITAL																																																																																																																																																																																																																																																																																																																			



AQUINO GARCIA KEVIN JHOEL
TEC. LABORATORISTA DE SUELOS,
CONCRETO Y PAVIMENTOS


Ing. Samuel Juanito Falcon Paredes
 Ingeniero Civil
 Reg. CIP. N° 218968

M-6 Suelo arcilloso con adición 5% de la ceniza de tara.

 MONTAÑA		INFORME DE ENSAYO																																																																																																																																																																																																																																																															
		MÉTODO DE ENSAYO ESTÁNDAR PARA LA RESISTENCIA A LA COMPRESIÓN NO CONFINADA DE SUELOS COHESIVOS																																																																																																																																																																																																																																																															
ASTM D 2166 / NTP 339.167 / MTC E 121																																																																																																																																																																																																																																																																	
NOMBRE DEL CLIENTE :		BACH. VEGA BAZÁN, MERLYN MERCEDES						FECHA DE ENSAYO :	21/05/2025																																																																																																																																																																																																																																																								
ESTUDIO / PROYECTO:		INFLUENCIA DE LA CENIZA DE CÁSCARA DE TARA (CAESALPINIA TINTOREA) COMO ALTERNATIVA PARA EL MEJORAMIENTO DE LA CAPACIDAD PORTANTE DE LA SUBRASANTE DE SUELO ARCILLOSO, JR. LOS CEDROS AMARILIS – HUÁNUCO - 2024																																																																																																																																																																																																																																																															
LOCALIZACIÓN:		JR. LOS CEDROS AMARILIS – HUÁNUCO - 2024						MUESTRA:	M-6																																																																																																																																																																																																																																																								
DESCRIPCIÓN:		PESO DEL 5% DE LA CENIZA DE CÁSCARA DE TARA RESPECTO AL PESO SECO DE LA MUESTRA.						PROFUNDIDAD:	1.50 m																																																																																																																																																																																																																																																								
<table border="1" style="width: 100%; border-collapse: collapse;"> <thead> <tr> <th colspan="2" rowspan="2">CARGA APLICADA</th> <th rowspan="2">DEFORMACIÓN (Pig)</th> <th rowspan="2">DEFORMACIÓN AXIAL UNITARIA ϵ_1 (%)</th> <th rowspan="2">ÁREA DE LA SECCIÓN TRANSVERSAL MEDIA, A (cm^2)</th> <th colspan="2">ESFUERZO COMPRESIVO, σ_u</th> <th colspan="3">CONDICIÓN DEL ESPÉCIMEN:</th> </tr> <tr> <th>Kg</th> <th>kgf</th> <th>kg/cm²</th> <th>kPa</th> <th>Inalterado <input type="checkbox"/></th> <th>Ramolado <input checked="" type="checkbox"/></th> <th>Compactado <input checked="" type="checkbox"/></th> </tr> </thead> <tbody> <tr> <td>0.0</td> <td>0.00</td> <td>0.000</td> <td>0.00</td> <td>21.24</td> <td>0.00</td> <td>0</td> <td>Diametro, D</td> <td>52</td> <td>mm</td> </tr> <tr> <td>10.1</td> <td>10.12</td> <td>0.006</td> <td>0.15</td> <td>21.27</td> <td>0.48</td> <td>47</td> <td>Longitud inicial del espécimen, (L₀)</td> <td>104</td> <td>mm</td> </tr> <tr> <td>16.0</td> <td>16.02</td> <td>0.020</td> <td>0.49</td> <td>21.34</td> <td>0.75</td> <td>74</td> <td>Relación L₀/D</td> <td>2</td> <td></td> </tr> <tr> <td>19.1</td> <td>19.12</td> <td>0.030</td> <td>0.73</td> <td>21.39</td> <td>0.89</td> <td>88</td> <td>Área (A₀)</td> <td>21.24</td> <td>cm²</td> </tr> <tr> <td>21.5</td> <td>21.52</td> <td>0.044</td> <td>1.07</td> <td>21.47</td> <td>1.00</td> <td>98</td> <td>Volumen</td> <td>220.87</td> <td>cm³</td> </tr> <tr> <td>23.7</td> <td>23.72</td> <td>0.056</td> <td>1.37</td> <td>21.53</td> <td>1.10</td> <td>108</td> <td colspan="3" style="background-color: #d9e1f2;">CONTENIDO DE HUMEDAD</td></tr> <tr> <td>26.4</td> <td>26.42</td> <td>0.066</td> <td>1.61</td> <td>21.59</td> <td>1.22</td> <td>120</td> <td colspan="3" style="background-color: #d9e1f2;">Obtenida después del ensayo</td></tr> <tr> <td>28.8</td> <td>28.82</td> <td>0.078</td> <td>1.91</td> <td>21.65</td> <td>1.33</td> <td>131</td> <td>Espécimen húmedo + Tara</td> <td>533.24</td> <td>g</td> </tr> <tr> <td>34.1</td> <td>34.12</td> <td>0.095</td> <td>2.32</td> <td>21.74</td> <td>1.57</td> <td>154</td> <td>Espécimen seco + Tara</td> <td>497.9</td> <td>g</td> </tr> <tr> <td>36.7</td> <td>36.72</td> <td>0.111</td> <td>2.71</td> <td>21.83</td> <td>1.68</td> <td>165</td> <td>Masa de Tara</td> <td>38.09</td> <td>g</td> </tr> <tr> <td>39.9</td> <td>39.92</td> <td>0.124</td> <td>3.03</td> <td>21.90</td> <td>1.82</td> <td>179</td> <td>Masa Espécimen húmedo</td> <td>495.15</td> <td>g</td> </tr> <tr> <td>38.2</td> <td>38.22</td> <td>0.136</td> <td>3.32</td> <td>21.97</td> <td>1.74</td> <td>171</td> <td>Masa Espécimen seco</td> <td>499.81</td> <td>g</td> </tr> <tr> <td>36.1</td> <td>36.08</td> <td>0.148</td> <td>3.57</td> <td>22.02</td> <td>1.64</td> <td>161</td> <td>Contenido de Humedad</td> <td>7.7</td> <td>%</td> </tr> <tr> <td colspan="10" style="background-color: #d9e1f2;">DENSIDAD DEL ESPÉCIMEN</td></tr> <tr> <td></td><td></td><td></td><td></td><td></td><td></td><td></td><td>Densidad Húmeda</td><td>2.24</td><td>g/cm³</td></tr> <tr> <td></td><td></td><td></td><td></td><td></td><td></td><td></td><td>Densidad Seca</td><td>2.08</td><td>g/cm³</td></tr> <tr> <td colspan="10" style="background-color: #d9e1f2;">RESISTENCIA A LA COMPRESIÓN INCONFINADA σ_u</td></tr> <tr> <td></td><td></td><td></td><td></td><td></td><td></td><td></td><td>1.82 kg/cm²</td><td>179</td><td>kPa</td></tr> <tr> <td></td><td></td><td></td><td></td><td></td><td></td><td></td><td>Deformación en el instante de la falla, %:</td><td>3.03</td><td></td></tr> <tr> <td></td><td></td><td></td><td></td><td></td><td></td><td></td><td>CONSISTENCIA SEGÚN σ_u</td><td colspan="2" rowspan="6" style="text-align: center;">FIRME</td></tr> <tr> <td colspan="10" style="background-color: #d9e1f2;">ESQUEMA DE FALLA</td></tr> <tr> <td colspan="10">  </td></tr> <tr> <td colspan="5"></td><td colspan="2" rowspan="2" style="text-align: center;">Velocidad de Deformación: 0.5% x Min</td><td colspan="3" rowspan="3" style="text-align: center;">Deformación Max permitida (15%): 0.81 Pig</td></tr> <tr> <td colspan="10" style="text-align: center;">EQUIPO UTILIZADO: PRENSA CBR DIGITAL</td></tr> </tbody> </table>	CARGA APLICADA		DEFORMACIÓN (Pig)	DEFORMACIÓN AXIAL UNITARIA ϵ_1 (%)	ÁREA DE LA SECCIÓN TRANSVERSAL MEDIA, A (cm^2)	ESFUERZO COMPRESIVO, σ_u		CONDICIÓN DEL ESPÉCIMEN:			Kg	kgf	kg/cm ²	kPa	Inalterado <input type="checkbox"/>	Ramolado <input checked="" type="checkbox"/>	Compactado <input checked="" type="checkbox"/>	0.0	0.00	0.000	0.00	21.24	0.00	0	Diametro, D	52	mm	10.1	10.12	0.006	0.15	21.27	0.48	47	Longitud inicial del espécimen, (L ₀)	104	mm	16.0	16.02	0.020	0.49	21.34	0.75	74	Relación L ₀ /D	2		19.1	19.12	0.030	0.73	21.39	0.89	88	Área (A ₀)	21.24	cm ²	21.5	21.52	0.044	1.07	21.47	1.00	98	Volumen	220.87	cm ³	23.7	23.72	0.056	1.37	21.53	1.10	108	CONTENIDO DE HUMEDAD			26.4	26.42	0.066	1.61	21.59	1.22	120	Obtenida después del ensayo			28.8	28.82	0.078	1.91	21.65	1.33	131	Espécimen húmedo + Tara	533.24	g	34.1	34.12	0.095	2.32	21.74	1.57	154	Espécimen seco + Tara	497.9	g	36.7	36.72	0.111	2.71	21.83	1.68	165	Masa de Tara	38.09	g	39.9	39.92	0.124	3.03	21.90	1.82	179	Masa Espécimen húmedo	495.15	g	38.2	38.22	0.136	3.32	21.97	1.74	171	Masa Espécimen seco	499.81	g	36.1	36.08	0.148	3.57	22.02	1.64	161	Contenido de Humedad	7.7	%	DENSIDAD DEL ESPÉCIMEN																	Densidad Húmeda	2.24	g/cm ³								Densidad Seca	2.08	g/cm ³	RESISTENCIA A LA COMPRESIÓN INCONFINADA σ_u																	1.82 kg/cm ²	179	kPa								Deformación en el instante de la falla, %:	3.03									CONSISTENCIA SEGÚN σ_u	FIRME		ESQUEMA DE FALLA																									Velocidad de Deformación: 0.5% x Min		Deformación Max permitida (15%): 0.81 Pig			EQUIPO UTILIZADO: PRENSA CBR DIGITAL									
CARGA APLICADA						DEFORMACIÓN (Pig)	DEFORMACIÓN AXIAL UNITARIA ϵ_1 (%)	ÁREA DE LA SECCIÓN TRANSVERSAL MEDIA, A (cm^2)	ESFUERZO COMPRESIVO, σ_u		CONDICIÓN DEL ESPÉCIMEN:																																																																																																																																																																																																																																																						
		Kg	kgf	kg/cm ²	kPa				Inalterado <input type="checkbox"/>	Ramolado <input checked="" type="checkbox"/>	Compactado <input checked="" type="checkbox"/>																																																																																																																																																																																																																																																						
0.0	0.00	0.000	0.00	21.24	0.00	0	Diametro, D	52	mm																																																																																																																																																																																																																																																								
10.1	10.12	0.006	0.15	21.27	0.48	47	Longitud inicial del espécimen, (L ₀)	104	mm																																																																																																																																																																																																																																																								
16.0	16.02	0.020	0.49	21.34	0.75	74	Relación L ₀ /D	2																																																																																																																																																																																																																																																									
19.1	19.12	0.030	0.73	21.39	0.89	88	Área (A ₀)	21.24	cm ²																																																																																																																																																																																																																																																								
21.5	21.52	0.044	1.07	21.47	1.00	98	Volumen	220.87	cm ³																																																																																																																																																																																																																																																								
23.7	23.72	0.056	1.37	21.53	1.10	108	CONTENIDO DE HUMEDAD																																																																																																																																																																																																																																																										
26.4	26.42	0.066	1.61	21.59	1.22	120	Obtenida después del ensayo																																																																																																																																																																																																																																																										
28.8	28.82	0.078	1.91	21.65	1.33	131	Espécimen húmedo + Tara	533.24	g																																																																																																																																																																																																																																																								
34.1	34.12	0.095	2.32	21.74	1.57	154	Espécimen seco + Tara	497.9	g																																																																																																																																																																																																																																																								
36.7	36.72	0.111	2.71	21.83	1.68	165	Masa de Tara	38.09	g																																																																																																																																																																																																																																																								
39.9	39.92	0.124	3.03	21.90	1.82	179	Masa Espécimen húmedo	495.15	g																																																																																																																																																																																																																																																								
38.2	38.22	0.136	3.32	21.97	1.74	171	Masa Espécimen seco	499.81	g																																																																																																																																																																																																																																																								
36.1	36.08	0.148	3.57	22.02	1.64	161	Contenido de Humedad	7.7	%																																																																																																																																																																																																																																																								
DENSIDAD DEL ESPÉCIMEN																																																																																																																																																																																																																																																																	
							Densidad Húmeda	2.24	g/cm ³																																																																																																																																																																																																																																																								
							Densidad Seca	2.08	g/cm ³																																																																																																																																																																																																																																																								
RESISTENCIA A LA COMPRESIÓN INCONFINADA σ_u																																																																																																																																																																																																																																																																	
							1.82 kg/cm ²	179	kPa																																																																																																																																																																																																																																																								
							Deformación en el instante de la falla, %:	3.03																																																																																																																																																																																																																																																									
							CONSISTENCIA SEGÚN σ_u	FIRME																																																																																																																																																																																																																																																									
ESQUEMA DE FALLA																																																																																																																																																																																																																																																																	
																																																																																																																																																																																																																																																																	
					Velocidad de Deformación: 0.5% x Min		Deformación Max permitida (15%): 0.81 Pig																																																																																																																																																																																																																																																										
EQUIPO UTILIZADO: PRENSA CBR DIGITAL																																																																																																																																																																																																																																																																	
 MONTAÑA				AQUINO GARCIA KEVIN JHOEL TEC. LABORATORISTA DE SUELOS, CONCRETO Y PAVIMENTOS		 Ing. Samuel Juanito Falcon Paredes Ingeniero Civil Reg. CIP. N° 218968																																																																																																																																																																																																																																																											

M-7 Suelo arcilloso con adición 5% de la ceniza de tara.

 MONTAÑA		INFORME DE ENSAYO																																																																																																																																																																																																															
		MÉTODO DE ENSAYO ESTÁNDAR PARA LA RESISTENCIA A LA COMPRESIÓN NO CONFINADA DE SUELOS COHESIVOS																																																																																																																																																																																																															
ASTM D 2166 / NTP 339.167 / MTC E 121																																																																																																																																																																																																																	
NOMBRE DEL CLIENTE :		BACH. VEGA BAZÁN, MERLYN MERCEDES					FECHA DE ENSAYO :	21/05/2025																																																																																																																																																																																																									
ESTUDIO / PROYECTO:		INFLUENCIA DE LA CENIZA DE CÁSCARA DE TARA (<i>CAESALPINIA TINTOREA</i>) COMO ALTERNATIVA PARA EL MEJORAMIENTO DE LA CAPACIDAD PORTANTE DE LA SUBRASANTE DE SUELO ARCILLOSO, JR. LOS CEDROS AMARILIS – HUÁNUCO - 2024																																																																																																																																																																																																															
LOCALIZACIÓN:		JR. LOS CEDROS AMARILIS – HUÁNUCO - 2024					MUESTRA:	M-7																																																																																																																																																																																																									
DESCRIPCIÓN:		PESO DEL 5% DE LA CENIZA DE CÁSCARA DE TARA RESPECTO AL PESO SECO DE LA MUESTRA.					PROFUNDIDAD:	1.50 m																																																																																																																																																																																																									
<table border="1"> <thead> <tr> <th colspan="2">CARGA APLICADA</th> <th>DEFORMACIÓN (Pig)</th> <th>DEFORMACIÓN AXIAL UNITARIA ϵ_1 (%)</th> <th>ÁREA DE LA SECCIÓN TRANSVERSAL MEDIA, A (cm²)</th> <th colspan="2">ESFUERZO COMPRESIVO, Q_c</th> <th colspan="3">CONDICIÓN DEL ESPÉCIMEN:</th> </tr> <tr> <th>Kg</th> <th>kgf</th> <th></th> <th></th> <th></th> <th>kN/cm²</th> <th>kPa</th> <th>Inalterado</th> <th><input type="checkbox"/> Remoldeado</th> <th><input checked="" type="checkbox"/> Compactado</th> </tr> </thead> <tbody> <tr> <td>0.0</td> <td>0.00</td> <td>0.000</td> <td>0.00</td> <td>21.24</td> <td>0.00</td> <td>0</td> <td>Diametro, D</td> <td>52</td> <td>mm</td> </tr> <tr> <td>7.8</td> <td>7.62</td> <td>0.006</td> <td>0.15</td> <td>21.27</td> <td>0.36</td> <td>35</td> <td>Longitud inicial del espécimen, (L₀)</td> <td>104</td> <td>mm</td> </tr> <tr> <td>13.5</td> <td>13.52</td> <td>0.020</td> <td>0.49</td> <td>21.34</td> <td>0.63</td> <td>62</td> <td>Relación L₀/D</td> <td>2</td> <td></td> </tr> <tr> <td>18.6</td> <td>18.62</td> <td>0.030</td> <td>0.73</td> <td>21.39</td> <td>0.78</td> <td>76</td> <td>Área (A₀)</td> <td>21.24</td> <td>cm²</td> </tr> <tr> <td>19.0</td> <td>19.02</td> <td>0.044</td> <td>1.07</td> <td>21.47</td> <td>0.89</td> <td>87</td> <td>Volumen</td> <td>220.87</td> <td>cm³</td> </tr> <tr> <td colspan="9">DIMENSIÓN PROMEDIO</td><td></td></tr> <tr> <td colspan="9"> <table border="1"> <thead> <tr> <th colspan="3">CONTENIDO DE HUMEDAD</th> </tr> </thead> <tbody> <tr> <td colspan="3">Obtenida después del ensayo</td></tr> <tr> <td colspan="3">Espécimen húmedo + Tara</td></tr> <tr> <td colspan="3">Espécimen seco + Tara</td></tr> <tr> <td colspan="3">Masa de Tara</td></tr> <tr> <td colspan="3">Masa Espécimen húmedo</td></tr> <tr> <td colspan="3">Masa Espécimen seco</td></tr> <tr> <td colspan="3">Contenido de Humedad</td></tr> </tbody> </table> </td></tr> <tr> <td colspan="9"> <table border="1"> <thead> <tr> <th colspan="3">DENSIDAD DEL ESPÉCIMEN</th> </tr> </thead> <tbody> <tr> <td colspan="3">Densidad Húmeda</td></tr> <tr> <td colspan="3">Densidad Seca</td></tr> </tbody> </table> </td></tr> <tr> <td colspan="9"> <table border="1"> <thead> <tr> <th colspan="3">RESISTENCIA A LA COMPRESIÓN INCONFINADA q_c</th> </tr> </thead> <tbody> <tr> <td colspan="3">1.71 kg/cm²</td></tr> <tr> <td colspan="3">168 kPa</td></tr> </tbody> </table> </td></tr> <tr> <td colspan="9"> <table border="1"> <thead> <tr> <th colspan="3">Deformación en el instante de la falla, %:</th> </tr> </thead> <tbody> <tr> <td colspan="3">3.03</td></tr> </tbody> </table> </td></tr> <tr> <td colspan="9"> <table border="1"> <thead> <tr> <th colspan="3">CONSISTENCIA SEGÚN q_c</th> </tr> </thead> <tbody> <tr> <td colspan="3">FIRME</td></tr> </tbody> </table> </td></tr> <tr> <td colspan="9"> <table border="1"> <thead> <tr> <th colspan="3">ESQUEMA DE FALLA</th> </tr> </thead> <tbody> <tr> <td colspan="3">  </td></tr> <tr> <td colspan="3"> <table border="1"> <tr> <td>Velocidad de Deformación: 0.5% x Min</td> <td>Deformación Max. permitida (15%): 0.61 Pig</td> </tr> </table> </td></tr> </tbody> </table> </td></tr> <tr> <td colspan="9"> EQUIPO UTILIZADO: PRENSA CBR DIGITAL </td><td></td></tr> </tbody> </table>	CARGA APLICADA		DEFORMACIÓN (Pig)	DEFORMACIÓN AXIAL UNITARIA ϵ_1 (%)	ÁREA DE LA SECCIÓN TRANSVERSAL MEDIA, A (cm²)	ESFUERZO COMPRESIVO, Q_c		CONDICIÓN DEL ESPÉCIMEN:			Kg	kgf				kN/cm ²	kPa	Inalterado	<input type="checkbox"/> Remoldeado	<input checked="" type="checkbox"/> Compactado	0.0	0.00	0.000	0.00	21.24	0.00	0	Diametro, D	52	mm	7.8	7.62	0.006	0.15	21.27	0.36	35	Longitud inicial del espécimen, (L ₀)	104	mm	13.5	13.52	0.020	0.49	21.34	0.63	62	Relación L ₀ /D	2		18.6	18.62	0.030	0.73	21.39	0.78	76	Área (A ₀)	21.24	cm ²	19.0	19.02	0.044	1.07	21.47	0.89	87	Volumen	220.87	cm ³	DIMENSIÓN PROMEDIO										<table border="1"> <thead> <tr> <th colspan="3">CONTENIDO DE HUMEDAD</th> </tr> </thead> <tbody> <tr> <td colspan="3">Obtenida después del ensayo</td></tr> <tr> <td colspan="3">Espécimen húmedo + Tara</td></tr> <tr> <td colspan="3">Espécimen seco + Tara</td></tr> <tr> <td colspan="3">Masa de Tara</td></tr> <tr> <td colspan="3">Masa Espécimen húmedo</td></tr> <tr> <td colspan="3">Masa Espécimen seco</td></tr> <tr> <td colspan="3">Contenido de Humedad</td></tr> </tbody> </table>									CONTENIDO DE HUMEDAD			Obtenida después del ensayo			Espécimen húmedo + Tara			Espécimen seco + Tara			Masa de Tara			Masa Espécimen húmedo			Masa Espécimen seco			Contenido de Humedad			<table border="1"> <thead> <tr> <th colspan="3">DENSIDAD DEL ESPÉCIMEN</th> </tr> </thead> <tbody> <tr> <td colspan="3">Densidad Húmeda</td></tr> <tr> <td colspan="3">Densidad Seca</td></tr> </tbody> </table>									DENSIDAD DEL ESPÉCIMEN			Densidad Húmeda			Densidad Seca			<table border="1"> <thead> <tr> <th colspan="3">RESISTENCIA A LA COMPRESIÓN INCONFINADA q_c</th> </tr> </thead> <tbody> <tr> <td colspan="3">1.71 kg/cm²</td></tr> <tr> <td colspan="3">168 kPa</td></tr> </tbody> </table>									RESISTENCIA A LA COMPRESIÓN INCONFINADA q_c			1.71 kg/cm ²			168 kPa			<table border="1"> <thead> <tr> <th colspan="3">Deformación en el instante de la falla, %:</th> </tr> </thead> <tbody> <tr> <td colspan="3">3.03</td></tr> </tbody> </table>									Deformación en el instante de la falla, %:			3.03			<table border="1"> <thead> <tr> <th colspan="3">CONSISTENCIA SEGÚN q_c</th> </tr> </thead> <tbody> <tr> <td colspan="3">FIRME</td></tr> </tbody> </table>									CONSISTENCIA SEGÚN q_c			FIRME			<table border="1"> <thead> <tr> <th colspan="3">ESQUEMA DE FALLA</th> </tr> </thead> <tbody> <tr> <td colspan="3">  </td></tr> <tr> <td colspan="3"> <table border="1"> <tr> <td>Velocidad de Deformación: 0.5% x Min</td> <td>Deformación Max. permitida (15%): 0.61 Pig</td> </tr> </table> </td></tr> </tbody> </table>									ESQUEMA DE FALLA						<table border="1"> <tr> <td>Velocidad de Deformación: 0.5% x Min</td> <td>Deformación Max. permitida (15%): 0.61 Pig</td> </tr> </table>			Velocidad de Deformación: 0.5% x Min	Deformación Max. permitida (15%): 0.61 Pig	EQUIPO UTILIZADO: PRENSA CBR DIGITAL									
CARGA APLICADA		DEFORMACIÓN (Pig)	DEFORMACIÓN AXIAL UNITARIA ϵ_1 (%)	ÁREA DE LA SECCIÓN TRANSVERSAL MEDIA, A (cm²)	ESFUERZO COMPRESIVO, Q_c		CONDICIÓN DEL ESPÉCIMEN:																																																																																																																																																																																																										
Kg	kgf				kN/cm ²	kPa	Inalterado	<input type="checkbox"/> Remoldeado	<input checked="" type="checkbox"/> Compactado																																																																																																																																																																																																								
0.0	0.00	0.000	0.00	21.24	0.00	0	Diametro, D	52	mm																																																																																																																																																																																																								
7.8	7.62	0.006	0.15	21.27	0.36	35	Longitud inicial del espécimen, (L ₀)	104	mm																																																																																																																																																																																																								
13.5	13.52	0.020	0.49	21.34	0.63	62	Relación L ₀ /D	2																																																																																																																																																																																																									
18.6	18.62	0.030	0.73	21.39	0.78	76	Área (A ₀)	21.24	cm ²																																																																																																																																																																																																								
19.0	19.02	0.044	1.07	21.47	0.89	87	Volumen	220.87	cm ³																																																																																																																																																																																																								
DIMENSIÓN PROMEDIO																																																																																																																																																																																																																	
<table border="1"> <thead> <tr> <th colspan="3">CONTENIDO DE HUMEDAD</th> </tr> </thead> <tbody> <tr> <td colspan="3">Obtenida después del ensayo</td></tr> <tr> <td colspan="3">Espécimen húmedo + Tara</td></tr> <tr> <td colspan="3">Espécimen seco + Tara</td></tr> <tr> <td colspan="3">Masa de Tara</td></tr> <tr> <td colspan="3">Masa Espécimen húmedo</td></tr> <tr> <td colspan="3">Masa Espécimen seco</td></tr> <tr> <td colspan="3">Contenido de Humedad</td></tr> </tbody> </table>									CONTENIDO DE HUMEDAD			Obtenida después del ensayo			Espécimen húmedo + Tara			Espécimen seco + Tara			Masa de Tara			Masa Espécimen húmedo			Masa Espécimen seco			Contenido de Humedad																																																																																																																																																																																			
CONTENIDO DE HUMEDAD																																																																																																																																																																																																																	
Obtenida después del ensayo																																																																																																																																																																																																																	
Espécimen húmedo + Tara																																																																																																																																																																																																																	
Espécimen seco + Tara																																																																																																																																																																																																																	
Masa de Tara																																																																																																																																																																																																																	
Masa Espécimen húmedo																																																																																																																																																																																																																	
Masa Espécimen seco																																																																																																																																																																																																																	
Contenido de Humedad																																																																																																																																																																																																																	
<table border="1"> <thead> <tr> <th colspan="3">DENSIDAD DEL ESPÉCIMEN</th> </tr> </thead> <tbody> <tr> <td colspan="3">Densidad Húmeda</td></tr> <tr> <td colspan="3">Densidad Seca</td></tr> </tbody> </table>									DENSIDAD DEL ESPÉCIMEN			Densidad Húmeda			Densidad Seca																																																																																																																																																																																																		
DENSIDAD DEL ESPÉCIMEN																																																																																																																																																																																																																	
Densidad Húmeda																																																																																																																																																																																																																	
Densidad Seca																																																																																																																																																																																																																	
<table border="1"> <thead> <tr> <th colspan="3">RESISTENCIA A LA COMPRESIÓN INCONFINADA q_c</th> </tr> </thead> <tbody> <tr> <td colspan="3">1.71 kg/cm²</td></tr> <tr> <td colspan="3">168 kPa</td></tr> </tbody> </table>									RESISTENCIA A LA COMPRESIÓN INCONFINADA q_c			1.71 kg/cm ²			168 kPa																																																																																																																																																																																																		
RESISTENCIA A LA COMPRESIÓN INCONFINADA q_c																																																																																																																																																																																																																	
1.71 kg/cm ²																																																																																																																																																																																																																	
168 kPa																																																																																																																																																																																																																	
<table border="1"> <thead> <tr> <th colspan="3">Deformación en el instante de la falla, %:</th> </tr> </thead> <tbody> <tr> <td colspan="3">3.03</td></tr> </tbody> </table>									Deformación en el instante de la falla, %:			3.03																																																																																																																																																																																																					
Deformación en el instante de la falla, %:																																																																																																																																																																																																																	
3.03																																																																																																																																																																																																																	
<table border="1"> <thead> <tr> <th colspan="3">CONSISTENCIA SEGÚN q_c</th> </tr> </thead> <tbody> <tr> <td colspan="3">FIRME</td></tr> </tbody> </table>									CONSISTENCIA SEGÚN q_c			FIRME																																																																																																																																																																																																					
CONSISTENCIA SEGÚN q_c																																																																																																																																																																																																																	
FIRME																																																																																																																																																																																																																	
<table border="1"> <thead> <tr> <th colspan="3">ESQUEMA DE FALLA</th> </tr> </thead> <tbody> <tr> <td colspan="3">  </td></tr> <tr> <td colspan="3"> <table border="1"> <tr> <td>Velocidad de Deformación: 0.5% x Min</td> <td>Deformación Max. permitida (15%): 0.61 Pig</td> </tr> </table> </td></tr> </tbody> </table>									ESQUEMA DE FALLA						<table border="1"> <tr> <td>Velocidad de Deformación: 0.5% x Min</td> <td>Deformación Max. permitida (15%): 0.61 Pig</td> </tr> </table>			Velocidad de Deformación: 0.5% x Min	Deformación Max. permitida (15%): 0.61 Pig																																																																																																																																																																																														
ESQUEMA DE FALLA																																																																																																																																																																																																																	
																																																																																																																																																																																																																	
<table border="1"> <tr> <td>Velocidad de Deformación: 0.5% x Min</td> <td>Deformación Max. permitida (15%): 0.61 Pig</td> </tr> </table>			Velocidad de Deformación: 0.5% x Min	Deformación Max. permitida (15%): 0.61 Pig																																																																																																																																																																																																													
Velocidad de Deformación: 0.5% x Min	Deformación Max. permitida (15%): 0.61 Pig																																																																																																																																																																																																																
EQUIPO UTILIZADO: PRENSA CBR DIGITAL																																																																																																																																																																																																																	

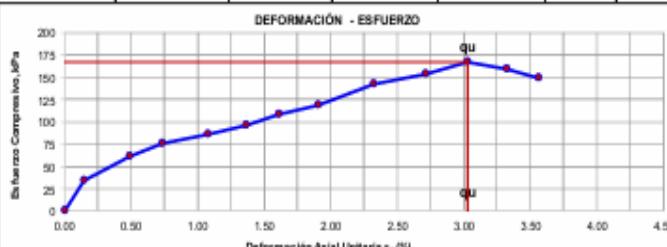
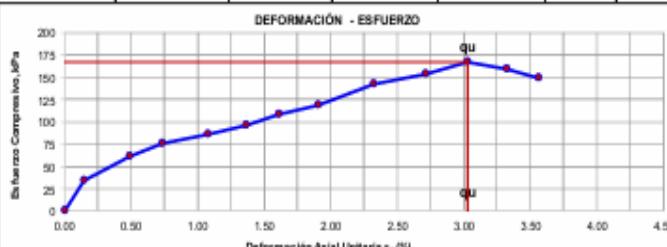
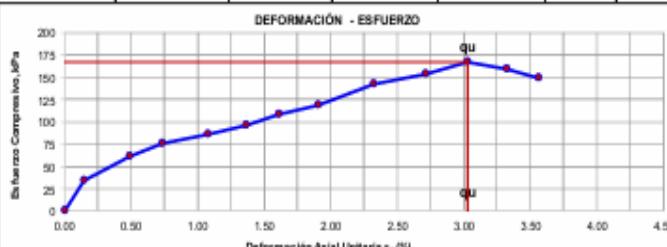


MONTAÑA


AQUINO GARCIA KEVIN JHOEL
 TEC. LABORATORISTA DE SUELOS,
 CONCRETO Y PAVIMENTOS


Ing. Samuel Juanito Falcon Pardave
 Ingeniero Civil
 Reg. CIP. N° 218968

M-8 Suelo arcilloso con adición 5% de la ceniza de tara.

 MONTAÑA		INFORME DE ENSAYO																																																																																																																																																																																																																																						
		MÉTODO DE ENSAYO ESTÁNDAR PARA LA RESISTENCIA A LA COMPRESIÓN NO CONFINADA DE SUELOS COHESIVOS																																																																																																																																																																																																																																						
ASTM D 2166 / NTP 339.167 / MTC E 121																																																																																																																																																																																																																																								
NOMBRE DEL CLIENTE :		BACH. VEGA BAZÁN, MERLYN MERCEDES					FECHA DE ENSAYO :	21/05/2025																																																																																																																																																																																																																																
ESTUDIO / PROYECTO:		INFLUENCIA DE LA CENIZA DE CÁSCARA DE TARA (CAESALPINIA TINCTORIA) COMO ALTERNATIVA PARA EL MEJORAMIENTO DE LA CAPACIDAD PORTANTE DE LA SUBRASANTE DE SUELO ARCILLOSO, JR. LOS CEDROS AMARILIS – HUÁNUCO - 2024																																																																																																																																																																																																																																						
LOCALIZACIÓN:		JR. LOS CEDROS AMARILIS – HUÁNUCO - 2024					MUESTRA:	M-8																																																																																																																																																																																																																																
DESCRIPCIÓN:		PESO DEL 5% DE LA CENIZA DE CÁSCARA DE TARA RESPECTO AL PESO SECO DE LA MUESTRA.					PROFUNDIDAD:	1.50 m																																																																																																																																																																																																																																
<table border="1" style="width: 100%; border-collapse: collapse;"> <thead> <tr> <th colspan="2" style="text-align: left; padding-bottom: 5px;">CARGA APLICADA</th> <th rowspan="2">DEFORMACIÓN (Pig)</th> <th rowspan="2">DEFORMACIÓN AXIAL UNITARIA ϵ_1 (%)</th> <th rowspan="2">ÁREA DE LA SECCIÓN TRANSVERSAL MEDIA, A (cm^2)</th> <th colspan="2" style="text-align: center; padding-bottom: 5px;">ESFUERZO COMPRESIVO, σ_c</th> <th colspan="2" style="text-align: center; padding-bottom: 5px;">CONDICIÓN DEL ESPÉCIMEN:</th> </tr> <tr> <th>Kg</th> <th>kgf</th> <th>kg/cm²</th> <th>kPa</th> <th>Inalterado <input type="checkbox"/></th> <th>Remoldeado <input checked="" type="checkbox"/></th> <th>Compactado <input checked="" type="checkbox"/></th> </tr> </thead> <tbody> <tr> <td>0.0</td> <td>0.00</td> <td>0.000</td> <td>0.00</td> <td>21.24</td> <td>0.00</td> <td>0</td> <td>Diametro, D</td> <td>52 mm</td> </tr> <tr> <td>7.5</td> <td>7.50</td> <td>0.006</td> <td>0.15</td> <td>21.27</td> <td>0.35</td> <td>35</td> <td>Longitud inicial del espécimen, (L₀)</td> <td>104 mm</td> </tr> <tr> <td>13.4</td> <td>13.40</td> <td>0.020</td> <td>0.40</td> <td>21.34</td> <td>0.63</td> <td>62</td> <td>Relación L₀/D</td> <td>2</td> </tr> <tr> <td>16.5</td> <td>16.50</td> <td>0.030</td> <td>0.73</td> <td>21.39</td> <td>0.77</td> <td>76</td> <td>Área (A₀)</td> <td>21.24 cm²</td> </tr> <tr> <td>18.9</td> <td>18.90</td> <td>0.044</td> <td>1.07</td> <td>21.47</td> <td>0.88</td> <td>86</td> <td>Volumen</td> <td>220.87 cm³</td> </tr> <tr> <td>21.1</td> <td>21.10</td> <td>0.056</td> <td>1.37</td> <td>21.53</td> <td>0.98</td> <td>98</td> <td colspan="2" style="text-align: center;">CONTENIDO DE HUMEDAD</td> </tr> <tr> <td>23.8</td> <td>23.80</td> <td>0.066</td> <td>1.61</td> <td>21.59</td> <td>1.10</td> <td>108</td> <td colspan="2" style="text-align: center;">Obtenida después del ensayo</td> </tr> <tr> <td>26.2</td> <td>26.20</td> <td>0.078</td> <td>1.91</td> <td>21.65</td> <td>1.21</td> <td>119</td> <td>Espécimen húmedo + Tara</td> <td>532.21 g</td> </tr> <tr> <td>31.5</td> <td>31.50</td> <td>0.096</td> <td>2.32</td> <td>21.74</td> <td>1.45</td> <td>142</td> <td>Espécimen seco + Tara</td> <td>496.6 g</td> </tr> <tr> <td>34.1</td> <td>34.10</td> <td>0.111</td> <td>2.71</td> <td>21.83</td> <td>1.58</td> <td>153</td> <td>Masa de Tara</td> <td>39.07 g</td> </tr> <tr> <td>37.3</td> <td>37.30</td> <td>0.124</td> <td>3.03</td> <td>21.95</td> <td>1.70</td> <td>167</td> <td>Masa Espécimen húmedo</td> <td>493.14 g</td> </tr> <tr> <td>35.6</td> <td>35.60</td> <td>0.136</td> <td>3.32</td> <td>21.97</td> <td>1.82</td> <td>159</td> <td>Masa Espécimen seco</td> <td>457.53 g</td> </tr> <tr> <td>33.5</td> <td>33.48</td> <td>0.148</td> <td>3.57</td> <td>22.02</td> <td>1.52</td> <td>140</td> <td>Contenido de Humedad</td> <td>7.8 %</td> </tr> <tr> <td colspan="9" style="text-align: center;">DENSIDAD DEL ESPÉCIMEN</td></tr> <tr> <td colspan="7"></td><td>Densidad Húmeda</td><td>2.23 g/cm³</td></tr> <tr> <td colspan="7"></td><td>Densidad Seca</td><td>2.07 g/cm³</td></tr> <tr> <td colspan="9" style="text-align: center;">RESISTENCIA A LA COMPRESIÓN INCONFINADA q_u</td></tr> <tr> <td colspan="7"></td><td>1.70 kg/cm²</td><td>167 kPa</td></tr> <tr> <td colspan="7"></td><td>Deformación en el instante de la falla, %:</td><td>3.03</td></tr> <tr> <td colspan="7"></td><td>CONSISTENCIA SEGÚN q_u</td><td>FIRME</td></tr> <tr> <td colspan="9" style="text-align: center;">ESQUEMA DE FALLA</td></tr> <tr> <td colspan="7">  </td><td colspan="2" style="text-align: center;">Velocidad de Deformación: 0.5% x Min</td></tr> <tr> <td colspan="7"></td><td colspan="2" rowspan="2" style="text-align: center;">Deformación Max. permitida(15%): 0.61 Pig</td></tr> <tr> <td colspan="9" style="text-align: center;">EQUIPO UTILIZADO: PRENSA CBR DIGITAL</td></tr> </tbody> </table>	CARGA APLICADA		DEFORMACIÓN (Pig)	DEFORMACIÓN AXIAL UNITARIA ϵ_1 (%)	ÁREA DE LA SECCIÓN TRANSVERSAL MEDIA, A (cm^2)	ESFUERZO COMPRESIVO, σ_c		CONDICIÓN DEL ESPÉCIMEN:		Kg	kgf	kg/cm ²	kPa	Inalterado <input type="checkbox"/>	Remoldeado <input checked="" type="checkbox"/>	Compactado <input checked="" type="checkbox"/>	0.0	0.00	0.000	0.00	21.24	0.00	0	Diametro, D	52 mm	7.5	7.50	0.006	0.15	21.27	0.35	35	Longitud inicial del espécimen, (L ₀)	104 mm	13.4	13.40	0.020	0.40	21.34	0.63	62	Relación L ₀ /D	2	16.5	16.50	0.030	0.73	21.39	0.77	76	Área (A ₀)	21.24 cm ²	18.9	18.90	0.044	1.07	21.47	0.88	86	Volumen	220.87 cm ³	21.1	21.10	0.056	1.37	21.53	0.98	98	CONTENIDO DE HUMEDAD		23.8	23.80	0.066	1.61	21.59	1.10	108	Obtenida después del ensayo		26.2	26.20	0.078	1.91	21.65	1.21	119	Espécimen húmedo + Tara	532.21 g	31.5	31.50	0.096	2.32	21.74	1.45	142	Espécimen seco + Tara	496.6 g	34.1	34.10	0.111	2.71	21.83	1.58	153	Masa de Tara	39.07 g	37.3	37.30	0.124	3.03	21.95	1.70	167	Masa Espécimen húmedo	493.14 g	35.6	35.60	0.136	3.32	21.97	1.82	159	Masa Espécimen seco	457.53 g	33.5	33.48	0.148	3.57	22.02	1.52	140	Contenido de Humedad	7.8 %	DENSIDAD DEL ESPÉCIMEN																Densidad Húmeda	2.23 g/cm ³								Densidad Seca	2.07 g/cm ³	RESISTENCIA A LA COMPRESIÓN INCONFINADA q_u																1.70 kg/cm ²	167 kPa								Deformación en el instante de la falla, %:	3.03								CONSISTENCIA SEGÚN q_u	FIRME	ESQUEMA DE FALLA																Velocidad de Deformación: 0.5% x Min									Deformación Max. permitida(15%): 0.61 Pig		EQUIPO UTILIZADO: PRENSA CBR DIGITAL								
CARGA APLICADA		DEFORMACIÓN (Pig)				DEFORMACIÓN AXIAL UNITARIA ϵ_1 (%)	ÁREA DE LA SECCIÓN TRANSVERSAL MEDIA, A (cm^2)	ESFUERZO COMPRESIVO, σ_c		CONDICIÓN DEL ESPÉCIMEN:																																																																																																																																																																																																																														
Kg	kgf		kg/cm ²	kPa	Inalterado <input type="checkbox"/>			Remoldeado <input checked="" type="checkbox"/>	Compactado <input checked="" type="checkbox"/>																																																																																																																																																																																																																															
0.0	0.00	0.000	0.00	21.24	0.00	0	Diametro, D	52 mm																																																																																																																																																																																																																																
7.5	7.50	0.006	0.15	21.27	0.35	35	Longitud inicial del espécimen, (L ₀)	104 mm																																																																																																																																																																																																																																
13.4	13.40	0.020	0.40	21.34	0.63	62	Relación L ₀ /D	2																																																																																																																																																																																																																																
16.5	16.50	0.030	0.73	21.39	0.77	76	Área (A ₀)	21.24 cm ²																																																																																																																																																																																																																																
18.9	18.90	0.044	1.07	21.47	0.88	86	Volumen	220.87 cm ³																																																																																																																																																																																																																																
21.1	21.10	0.056	1.37	21.53	0.98	98	CONTENIDO DE HUMEDAD																																																																																																																																																																																																																																	
23.8	23.80	0.066	1.61	21.59	1.10	108	Obtenida después del ensayo																																																																																																																																																																																																																																	
26.2	26.20	0.078	1.91	21.65	1.21	119	Espécimen húmedo + Tara	532.21 g																																																																																																																																																																																																																																
31.5	31.50	0.096	2.32	21.74	1.45	142	Espécimen seco + Tara	496.6 g																																																																																																																																																																																																																																
34.1	34.10	0.111	2.71	21.83	1.58	153	Masa de Tara	39.07 g																																																																																																																																																																																																																																
37.3	37.30	0.124	3.03	21.95	1.70	167	Masa Espécimen húmedo	493.14 g																																																																																																																																																																																																																																
35.6	35.60	0.136	3.32	21.97	1.82	159	Masa Espécimen seco	457.53 g																																																																																																																																																																																																																																
33.5	33.48	0.148	3.57	22.02	1.52	140	Contenido de Humedad	7.8 %																																																																																																																																																																																																																																
DENSIDAD DEL ESPÉCIMEN																																																																																																																																																																																																																																								
							Densidad Húmeda	2.23 g/cm ³																																																																																																																																																																																																																																
							Densidad Seca	2.07 g/cm ³																																																																																																																																																																																																																																
RESISTENCIA A LA COMPRESIÓN INCONFINADA q_u																																																																																																																																																																																																																																								
							1.70 kg/cm ²	167 kPa																																																																																																																																																																																																																																
							Deformación en el instante de la falla, %:	3.03																																																																																																																																																																																																																																
							CONSISTENCIA SEGÚN q_u	FIRME																																																																																																																																																																																																																																
ESQUEMA DE FALLA																																																																																																																																																																																																																																								
							Velocidad de Deformación: 0.5% x Min																																																																																																																																																																																																																																	
							Deformación Max. permitida(15%): 0.61 Pig																																																																																																																																																																																																																																	
EQUIPO UTILIZADO: PRENSA CBR DIGITAL																																																																																																																																																																																																																																								

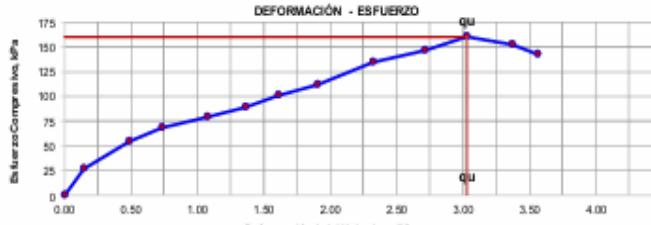
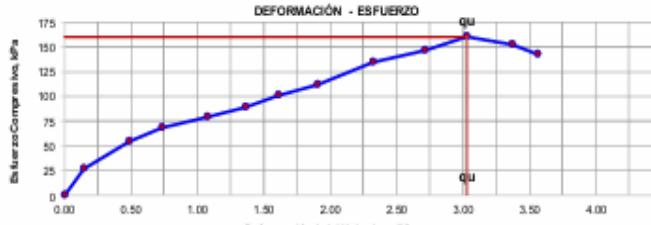
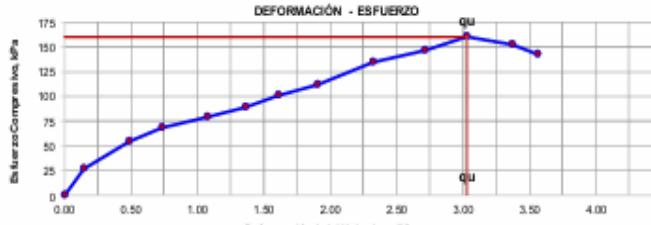


MONTAÑA

AQUINO GARCIA KEVIN JHOEL
TEC. LABORATORISTA DE SUELOS,
CONCRETO Y PAVIMENTOS


Ing. Samuel Juanito Falcon Paredes
 Ingeniero Civil
 Reg. CIP. N° 218968

M-1 Suelo arcilloso con adición 10% de la ceniza de tara.

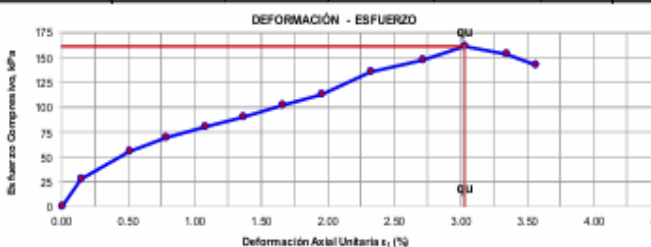
 MONTAÑA		INFORME DE ENSAYO																																																																																																																																																																																																																																						
		MÉTODO DE ENSAYO ESTÁNDAR PARA LA RESISTENCIA A LA COMPRESIÓN NO CONFINADA DE SUELOS COHESIVOS																																																																																																																																																																																																																																						
ASTM D 2166 / NTP 339.167 / MTC E 121																																																																																																																																																																																																																																								
NOMBRE DEL CLIENTE :		BACH. VEGA BAZÁN, MERLYN MERCEDES			FECHA DE ENSAYO :		21/05/2025																																																																																																																																																																																																																																	
ESTUDIO / PROYECTO:		INFLUENCIA DE LA CENIZA DE CÁSCARA DE TARA (CAESALPINIA TINTOREA) COMO ALTERNATIVA PARA EL MEJORAMIENTO DE LA CAPACIDAD PORTANTE DE LA SUBRASANTE DE SUELO ARCILLOSO, JR. LOS CEDROS AMARILIS – HUÁNUCO - 2024																																																																																																																																																																																																																																						
LOCALIZACIÓN:		JR. LOS CEDROS AMARILIS - HUÁNUCO - 2024			MUESTRA:		M-1																																																																																																																																																																																																																																	
DESCRIPCIÓN:		PESO DEL 10% DE LA CENIZA DE CÁSCARA DE TARA RESPECTO AL PESO SECO DE LA MUESTRA			PROFUNDIDAD:		1.50 m																																																																																																																																																																																																																																	
<table border="1" style="width: 100%; border-collapse: collapse;"> <thead> <tr> <th colspan="2" style="text-align: left;">CARGA APLICADA</th> <th rowspan="2">DEFORMACIÓN (Pig)</th> <th rowspan="2">DEFORMACIÓN AXIAL UNITARIA ϵ_1 (%)</th> <th rowspan="2">ÁREA DE LA SECCIÓN TRANSVERSAL MEDIA, A (cm^2)</th> <th colspan="2">ESFUERZO COMPRESIVO, σ_c</th> <th colspan="2">CONDICIÓN DEL ESPÉCIMEN:</th> </tr> <tr> <th>Kg</th> <th>kgf</th> <th>kg/cm²</th> <th>kPa</th> <th>Inalterado</th> <th>Remoldeado</th> <th>Compactado</th> </tr> </thead> <tbody> <tr> <td>0.0</td> <td>0.00</td> <td>0.00</td> <td>0.00</td> <td>21.24</td> <td>0.00</td> <td>0</td> <td>Diametro, D</td> <td>52 mm</td> </tr> <tr> <td>5.9</td> <td>5.90</td> <td>0.006</td> <td>0.15</td> <td>21.27</td> <td>0.28</td> <td>27</td> <td>Longitud inicial del espécimen, (Lo)</td> <td>104 mm</td> </tr> <tr> <td>11.8</td> <td>11.80</td> <td>0.020</td> <td>0.49</td> <td>21.34</td> <td>0.55</td> <td>54</td> <td>Relación Lo/D</td> <td>2</td> </tr> <tr> <td>14.9</td> <td>14.90</td> <td>0.030</td> <td>0.73</td> <td>21.39</td> <td>0.70</td> <td>88</td> <td>Area (Ac)</td> <td>21.24 cm²</td> </tr> <tr> <td>17.3</td> <td>17.30</td> <td>0.044</td> <td>1.07</td> <td>21.47</td> <td>0.81</td> <td>79</td> <td>Volumen</td> <td>220.87 cm³</td> </tr> <tr> <td>19.5</td> <td>19.50</td> <td>0.056</td> <td>1.37</td> <td>21.53</td> <td>0.91</td> <td>89</td> <td colspan="2" style="background-color: #d9e1f2;">CONTENIDO DE HUMEDAD</td></tr> <tr> <td>22.2</td> <td>22.20</td> <td>0.068</td> <td>1.61</td> <td>21.59</td> <td>1.03</td> <td>101</td> <td colspan="2" style="background-color: #d9e1f2;">Obtenida después del ensayo</td></tr> <tr> <td>24.8</td> <td>24.80</td> <td>0.078</td> <td>1.91</td> <td>21.65</td> <td>1.14</td> <td>111</td> <td>Espécimen húmedo + Tara</td> <td>524.25 g</td> </tr> <tr> <td>29.9</td> <td>29.90</td> <td>0.095</td> <td>2.32</td> <td>21.74</td> <td>1.38</td> <td>135</td> <td>Espécimen seco + Tara</td> <td>492.8 g</td> </tr> <tr> <td>32.5</td> <td>32.50</td> <td>0.111</td> <td>2.71</td> <td>21.83</td> <td>1.49</td> <td>146</td> <td>Masa de Tara</td> <td>39.08 g</td> </tr> <tr> <td>35.7</td> <td>35.70</td> <td>0.124</td> <td>3.03</td> <td>21.90</td> <td>1.63</td> <td>160</td> <td>Masa Espécimen húmedo</td> <td>485.19 g</td> </tr> <tr> <td>34.0</td> <td>34.00</td> <td>0.138</td> <td>3.37</td> <td>21.98</td> <td>1.55</td> <td>152</td> <td>Masa Espécimen seco</td> <td>453.74 g</td> </tr> <tr> <td>31.9</td> <td>31.88</td> <td>0.146</td> <td>3.57</td> <td>22.02</td> <td>1.45</td> <td>142</td> <td>Contenido de Humedad</td> <td>8.9 %</td> </tr> <tr> <td colspan="9" style="background-color: #d9e1f2;">DENSIDAD DEL ESPÉCIMEN</td></tr> <tr> <td colspan="7"></td><td>Densidad Húmeda</td><td>2.20 g/cm³</td> </tr> <tr> <td colspan="7"></td><td>Densidad Seca</td><td>2.05 g/cm³</td> </tr> <tr> <td colspan="9" style="background-color: #d9e1f2;">RESISTENCIA A LA COMPRESIÓN INCONFINADA q_u</td></tr> <tr> <td colspan="7"></td><td>1.63 kg/cm²</td><td>160 kPa</td> </tr> <tr> <td colspan="7"></td><td>Deformación en el instante de la falla, %:</td><td>3.03</td> </tr> <tr> <td colspan="7" style="background-color: #d9e1f2;">CONSISTENCIA SEGÚN q_u</td><td>CONSISTENCIA</td><td>FIRME</td> </tr> <tr> <td colspan="9" style="background-color: #d9e1f2;">ESQUEMA DE FALLA</td></tr> <tr> <td colspan="7">  </td><td colspan="2" style="text-align: center;"> <div style="display: inline-block; width: 45px; height: 45px; border: 1px solid black; margin-right: 10px;"></div> <div style="display: inline-block; width: 45px; height: 45px; border: 1px solid black;"></div> </td></tr> <tr> <td colspan="7"></td><td>Velocidad de Deformación: 0.5% x Min</td><td>Deformación Max permitida (15%) 0.81 Pig</td> </tr> <tr> <td colspan="9" style="text-align: center;">EQUIPO UTILIZADO: PRENSA CBR DIGITAL.</td></tr> </tbody> </table>	CARGA APLICADA		DEFORMACIÓN (Pig)	DEFORMACIÓN AXIAL UNITARIA ϵ_1 (%)	ÁREA DE LA SECCIÓN TRANSVERSAL MEDIA, A (cm^2)	ESFUERZO COMPRESIVO, σ_c		CONDICIÓN DEL ESPÉCIMEN:		Kg	kgf	kg/cm ²	kPa	Inalterado	Remoldeado	Compactado	0.0	0.00	0.00	0.00	21.24	0.00	0	Diametro, D	52 mm	5.9	5.90	0.006	0.15	21.27	0.28	27	Longitud inicial del espécimen, (Lo)	104 mm	11.8	11.80	0.020	0.49	21.34	0.55	54	Relación Lo/D	2	14.9	14.90	0.030	0.73	21.39	0.70	88	Area (Ac)	21.24 cm ²	17.3	17.30	0.044	1.07	21.47	0.81	79	Volumen	220.87 cm ³	19.5	19.50	0.056	1.37	21.53	0.91	89	CONTENIDO DE HUMEDAD		22.2	22.20	0.068	1.61	21.59	1.03	101	Obtenida después del ensayo		24.8	24.80	0.078	1.91	21.65	1.14	111	Espécimen húmedo + Tara	524.25 g	29.9	29.90	0.095	2.32	21.74	1.38	135	Espécimen seco + Tara	492.8 g	32.5	32.50	0.111	2.71	21.83	1.49	146	Masa de Tara	39.08 g	35.7	35.70	0.124	3.03	21.90	1.63	160	Masa Espécimen húmedo	485.19 g	34.0	34.00	0.138	3.37	21.98	1.55	152	Masa Espécimen seco	453.74 g	31.9	31.88	0.146	3.57	22.02	1.45	142	Contenido de Humedad	8.9 %	DENSIDAD DEL ESPÉCIMEN																Densidad Húmeda	2.20 g/cm ³								Densidad Seca	2.05 g/cm ³	RESISTENCIA A LA COMPRESIÓN INCONFINADA q_u																1.63 kg/cm ²	160 kPa								Deformación en el instante de la falla, %:	3.03	CONSISTENCIA SEGÚN q_u							CONSISTENCIA	FIRME	ESQUEMA DE FALLA																<div style="display: inline-block; width: 45px; height: 45px; border: 1px solid black; margin-right: 10px;"></div> <div style="display: inline-block; width: 45px; height: 45px; border: 1px solid black;"></div>									Velocidad de Deformación: 0.5% x Min	Deformación Max permitida (15%) 0.81 Pig	EQUIPO UTILIZADO: PRENSA CBR DIGITAL.								
CARGA APLICADA		DEFORMACIÓN (Pig)				DEFORMACIÓN AXIAL UNITARIA ϵ_1 (%)	ÁREA DE LA SECCIÓN TRANSVERSAL MEDIA, A (cm^2)	ESFUERZO COMPRESIVO, σ_c		CONDICIÓN DEL ESPÉCIMEN:																																																																																																																																																																																																																														
Kg	kgf		kg/cm ²	kPa	Inalterado			Remoldeado	Compactado																																																																																																																																																																																																																															
0.0	0.00	0.00	0.00	21.24	0.00	0	Diametro, D	52 mm																																																																																																																																																																																																																																
5.9	5.90	0.006	0.15	21.27	0.28	27	Longitud inicial del espécimen, (Lo)	104 mm																																																																																																																																																																																																																																
11.8	11.80	0.020	0.49	21.34	0.55	54	Relación Lo/D	2																																																																																																																																																																																																																																
14.9	14.90	0.030	0.73	21.39	0.70	88	Area (Ac)	21.24 cm ²																																																																																																																																																																																																																																
17.3	17.30	0.044	1.07	21.47	0.81	79	Volumen	220.87 cm ³																																																																																																																																																																																																																																
19.5	19.50	0.056	1.37	21.53	0.91	89	CONTENIDO DE HUMEDAD																																																																																																																																																																																																																																	
22.2	22.20	0.068	1.61	21.59	1.03	101	Obtenida después del ensayo																																																																																																																																																																																																																																	
24.8	24.80	0.078	1.91	21.65	1.14	111	Espécimen húmedo + Tara	524.25 g																																																																																																																																																																																																																																
29.9	29.90	0.095	2.32	21.74	1.38	135	Espécimen seco + Tara	492.8 g																																																																																																																																																																																																																																
32.5	32.50	0.111	2.71	21.83	1.49	146	Masa de Tara	39.08 g																																																																																																																																																																																																																																
35.7	35.70	0.124	3.03	21.90	1.63	160	Masa Espécimen húmedo	485.19 g																																																																																																																																																																																																																																
34.0	34.00	0.138	3.37	21.98	1.55	152	Masa Espécimen seco	453.74 g																																																																																																																																																																																																																																
31.9	31.88	0.146	3.57	22.02	1.45	142	Contenido de Humedad	8.9 %																																																																																																																																																																																																																																
DENSIDAD DEL ESPÉCIMEN																																																																																																																																																																																																																																								
							Densidad Húmeda	2.20 g/cm ³																																																																																																																																																																																																																																
							Densidad Seca	2.05 g/cm ³																																																																																																																																																																																																																																
RESISTENCIA A LA COMPRESIÓN INCONFINADA q_u																																																																																																																																																																																																																																								
							1.63 kg/cm ²	160 kPa																																																																																																																																																																																																																																
							Deformación en el instante de la falla, %:	3.03																																																																																																																																																																																																																																
CONSISTENCIA SEGÚN q_u							CONSISTENCIA	FIRME																																																																																																																																																																																																																																
ESQUEMA DE FALLA																																																																																																																																																																																																																																								
							<div style="display: inline-block; width: 45px; height: 45px; border: 1px solid black; margin-right: 10px;"></div> <div style="display: inline-block; width: 45px; height: 45px; border: 1px solid black;"></div>																																																																																																																																																																																																																																	
							Velocidad de Deformación: 0.5% x Min	Deformación Max permitida (15%) 0.81 Pig																																																																																																																																																																																																																																
EQUIPO UTILIZADO: PRENSA CBR DIGITAL.																																																																																																																																																																																																																																								



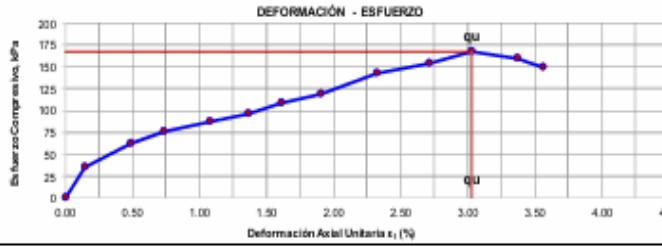
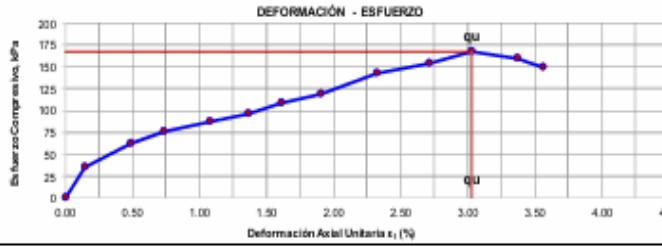
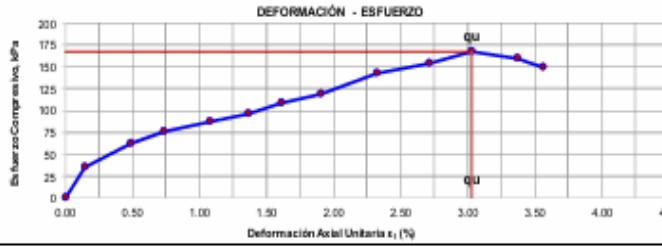
AQUINO GARCIA KEVIN JHOEL
TEC. LABORATORISTA DE SUELOS,
CONCRETO Y PAVIMENTOS


Ing. Samuel Juanito Falcon Paredes
Ingeniero Civil
Reg. CIP. N° 218968

M-2 Suelo arcilloso con adición 10% de la ceniza de tara.

 MONTAÑA		INFORME DE ENSAYO						
		MÉTODO DE ENSAYO ESTÁNDAR PARA LA RESISTENCIA A LA COMPRESIÓN NO CONFINADA DE SUELOS COHESIVOS						
		ASTM D 2166 / NTP 339.167 / MTC E 121						
NOMBRE DEL CLIENTE :		BACH. VEGA BAZÁN, MERLYN MERCEDES					FECHA DE ENSAYO :	21/05/2025
ESTUDIO / PROYECTO:		INFLUENCIA DE LA CENIZA DE CÁSCARA DE TARA (CAESALPINIA TINCTOREA) COMO ALTERNATIVA PARA EL MEJORAMIENTO DE LA CAPACIDAD PORTANTE DE LA SUBRASANTE DE SUELO ARCILLOSO, JR. LOS CEDROS AMARILIS – HUÁNUCO - 2024						
LOCALIZACIÓN:		JR. LOS CEDROS AMARILIS – HUÁNUCO - 2024					MUESTRA:	M-2
DESCRIPCIÓN:		PESO DEL 10% DE LA CENIZA DE CÁSCARA DE TARA RESPECTO AL PESO SECO DE LA MUESTRA					PROFUNDIDAD:	1.50 m
CARGA APLICADA		DEFORMACIÓN (Pig)	DEFORMACIÓN AXIAL UNITARIA ϵ_1 (%)	ÁREA DE LA SECCIÓN TRANSVERSAL MEDIA, A (cm^2)	ESFUERZO COMPRESIVO, σ_c	kg/cm ²	Condición del Espécimen:	
Kg	kgf					kPa	Inalterado <input type="checkbox"/> Remoldado <input checked="" type="checkbox"/> Compactado <input checked="" type="checkbox"/>	
0.0	0.00	0.000	0.00	21.24	0.00	0	Diametro, D	52 mm
6.1	6.10	0.006	0.15	21.27	0.29	28	Longitud inicial del espécimen, (L ₀)	104 mm
12.0	12.00	0.021	0.51	21.35	0.56	55	Relación L ₀ /D	2
15.1	15.10	0.032	0.78	21.40	0.71	89	Área (A ₀)	21.24 cm ²
17.5	17.50	0.044	1.07	21.47	0.82	80	Volumen	220.87 cm ³
19.7	19.70	0.056	1.37	21.53	0.91	90	CONTENIDO DE HUMEDAD	
22.4	22.40	0.068	1.66	21.60	1.04	102	Obtenida después del ensayo	
24.8	24.80	0.080	1.95	21.66	1.14	112	Especímen húmedo + Tara	525.27 g
30.1	30.10	0.095	2.32	21.74	1.38	136	Especímen seco + Tara	492.2 g
32.7	32.70	0.111	2.71	21.83	1.50	147	Masa de Tara	39.01 g
35.9	35.90	0.124	3.03	21.90	1.64	161	Masa Espécimen húmedo	486.26 g
34.2	34.20	0.137	3.35	21.97	1.56	153	Masa Espécimen seco	453.19 g
32.1	32.06	0.146	3.57	22.02	1.46	143	Contenido de Humedad	7.3 %
		DENSIDAD DEL ESPÉCIMEN						
							Densidad Húmeda	2.20 g/cm ³
							Densidad Seca	2.05 g/cm ³
		RESISTENCIA A LA COMPRESIÓN INCONFINADA q_u						
							1.64 kg/cm ²	161 kPa
							Deformación en el instante de la falla, %:	3.03
		CONSISTENCIA SEGÚN q_u					FIRME	
		ESQUEMA DE FALLA						
								

M-3 Suelo arcilloso con adición 10% de la ceniza de tara.

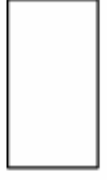
 MONTAÑA		INFORME DE ENSAYO																																																																																																																																																																																																																																																																				
		MÉTODO DE ENSAYO ESTÁNDAR PARA LA RESISTENCIA A LA COMPRESIÓN NO CONFINADA DE SUELOS COHESIVOS																																																																																																																																																																																																																																																																				
ASTM D 2166 / NTP 339.167 / MTC E 121																																																																																																																																																																																																																																																																						
NOMBRE DEL CLIENTE :		BACH. VEGA BAZÁN, MERLYN MERCEDES					FECHA DE ENSAYO :	21/05/2025																																																																																																																																																																																																																																																														
ESTUDIO / PROYECTO:		INFLUENCIA DE LA CENIZA DE CÁSCARA DE TARA (CAESALPINIA TINTOREA) COMO ALTERNATIVA PARA EL MEJORAMIENTO DE LA CAPACIDAD PORTANTE DE LA SUBRASANTE DE SUELO ARCILLOSO, JR. LOS CEDROS AMARILIS - HUÁNUCO - 2024																																																																																																																																																																																																																																																																				
LOCALIZACIÓN:		JR. LOS CEDROS AMARILIS - HUÁNUCO - 2024					MUESTRA:	M-3																																																																																																																																																																																																																																																														
DESCRIPCIÓN:		PESO DEL 10% DE LA CENIZA DE CÁSCARA DE TARA RESPECTO AL PESO SECO DE LA MUESTRA					PROFUNDIDAD:	1.50 m																																																																																																																																																																																																																																																														
<table border="1" style="width: 100%; border-collapse: collapse;"> <thead> <tr> <th colspan="2" style="text-align: center;">CARGA APLICADA</th> <th style="text-align: center;">DEFORMACIÓN (Pig)</th> <th style="text-align: center;">DEFORMACIÓN AXIAL UNITARIA ϵ_1 (%)</th> <th style="text-align: center;">ÁREA DE LA SECCIÓN TRANSVERSAL MEDIA, A (cm^2)</th> <th colspan="2" style="text-align: center;">ESFUERZO COMPRESIVO, σ_c</th> <th colspan="2" style="text-align: center;">CONDICIÓN DEL ESPÉCIMEN:</th> </tr> <tr> <th style="text-align: center;">Kg</th> <th style="text-align: center;">kgf</th> <th></th> <th></th> <th></th> <th style="text-align: center;">kg/cm^2</th> <th style="text-align: center;">kPa</th> <th style="text-align: center;">Inalterado <input type="checkbox"/></th> <th style="text-align: center;">Remoldeado <input checked="" type="checkbox"/></th> <th style="text-align: center;">Compactado <input checked="" type="checkbox"/></th> </tr> </thead> <tbody> <tr> <td>0.0</td><td>0.00</td><td>0.000</td><td>0.00</td><td>21.24</td><td>0.00</td><td>0</td><td>Diametro, D</td><td>52</td><td>mm</td></tr> <tr> <td>7.8</td><td>7.80</td><td>0.006</td><td>0.15</td><td>21.27</td><td>0.38</td><td>35</td><td>Longitud inicial del espécimen, (L₀)</td><td>104</td><td>mm</td></tr> <tr> <td>13.5</td><td>13.50</td><td>0.020</td><td>0.49</td><td>21.34</td><td>0.63</td><td>62</td><td>Relación L₀/D</td><td>2</td><td></td></tr> <tr> <td>16.8</td><td>16.80</td><td>0.030</td><td>0.73</td><td>21.39</td><td>0.78</td><td>76</td><td>Área (A₀)</td><td>21.24</td><td>cm^2</td></tr> <tr> <td>19.0</td><td>19.00</td><td>0.044</td><td>1.07</td><td>21.47</td><td>0.89</td><td>87</td><td>Volumen</td><td>220.87</td><td>cm^3</td></tr> <tr> <td>21.2</td><td>21.20</td><td>0.056</td><td>1.37</td><td>21.53</td><td>0.98</td><td>97</td><td colspan="3" style="text-align: center;">CONTENIDO DE HUMEDAD</td></tr> <tr> <td>23.9</td><td>23.90</td><td>0.066</td><td>1.61</td><td>21.59</td><td>1.11</td><td>109</td><td colspan="3" style="text-align: center;">Obtenida después del ensayo</td></tr> <tr> <td>26.3</td><td>26.30</td><td>0.078</td><td>1.91</td><td>21.65</td><td>1.21</td><td>119</td><td>Especimen húmedo + Tara</td><td>525.25</td><td>g</td></tr> <tr> <td>31.6</td><td>31.60</td><td>0.095</td><td>2.32</td><td>21.74</td><td>1.45</td><td>143</td><td>Especimen seco + Tara</td><td>492.7</td><td>g</td></tr> <tr> <td>34.2</td><td>34.20</td><td>0.111</td><td>2.71</td><td>21.83</td><td>1.57</td><td>154</td><td>Masa de Tara</td><td>39.04</td><td>g</td></tr> <tr> <td>37.4</td><td>37.40</td><td>0.124</td><td>3.03</td><td>21.90</td><td>1.71</td><td>167</td><td>Masa Espécimen húmedo</td><td>486.21</td><td>g</td></tr> <tr> <td>35.7</td><td>35.70</td><td>0.138</td><td>3.37</td><td>21.98</td><td>1.62</td><td>159</td><td>Masa Espécimen seco</td><td>453.68</td><td>g</td></tr> <tr> <td>33.6</td><td>33.56</td><td>0.146</td><td>3.57</td><td>22.02</td><td>1.52</td><td>149</td><td>Contenido de Humedad</td><td>7.2</td><td>%</td></tr> <tr> <td colspan="9" style="text-align: center;">DENSIDAD DEL ESPÉCIMEN</td></tr> <tr> <td></td><td></td><td></td><td></td><td></td><td></td><td></td><td>Densidad Húmeda</td><td>2.20</td><td>g/cm^3</td></tr> <tr> <td></td><td></td><td></td><td></td><td></td><td></td><td></td><td>Densidad Seca</td><td>2.05</td><td>g/cm^3</td></tr> <tr> <td colspan="9" style="text-align: center;">RESISTENCIA A LA COMPRESIÓN INCONFINADA σ_u</td></tr> <tr> <td></td><td></td><td></td><td></td><td></td><td></td><td></td><td style="text-align: center;">1.71 kg/cm^2</td><td style="text-align: center;">167</td><td>kPa</td></tr> <tr> <td></td><td></td><td></td><td></td><td></td><td></td><td></td><td colspan="3" style="text-align: center;">Deformación en el instante de la falla, ϵ_u: 3.03</td></tr> <tr> <td></td><td></td><td></td><td></td><td></td><td></td><td></td><td colspan="3" style="text-align: center;">CONSISTENCIA SEGÚN ϵ_u FIRME</td></tr> <tr> <td colspan="9" style="text-align: center;">ESQUEMA DE FALLA</td></tr> <tr> <td colspan="6">  </td><td></td><td></td><td></td></tr> <tr> <td colspan="6"></td><td style="text-align: center;">Velocidad de Deformación: 0.5% x Min permitida (15%)</td><td style="text-align: center;">Deformación Max permitida: 0.61 Pig</td><td></td><td></td></tr> <tr> <td colspan="9" style="text-align: center;">EQUIPO UTILIZADO: PRENSA CBR DIGITAL.</td></tr> </tbody> </table>									CARGA APLICADA		DEFORMACIÓN (Pig)	DEFORMACIÓN AXIAL UNITARIA ϵ_1 (%)	ÁREA DE LA SECCIÓN TRANSVERSAL MEDIA, A (cm^2)	ESFUERZO COMPRESIVO, σ_c		CONDICIÓN DEL ESPÉCIMEN:		Kg	kgf				kg/ cm^2	kPa	Inalterado <input type="checkbox"/>	Remoldeado <input checked="" type="checkbox"/>	Compactado <input checked="" type="checkbox"/>	0.0	0.00	0.000	0.00	21.24	0.00	0	Diametro, D	52	mm	7.8	7.80	0.006	0.15	21.27	0.38	35	Longitud inicial del espécimen, (L ₀)	104	mm	13.5	13.50	0.020	0.49	21.34	0.63	62	Relación L ₀ /D	2		16.8	16.80	0.030	0.73	21.39	0.78	76	Área (A ₀)	21.24	cm^2	19.0	19.00	0.044	1.07	21.47	0.89	87	Volumen	220.87	cm^3	21.2	21.20	0.056	1.37	21.53	0.98	97	CONTENIDO DE HUMEDAD			23.9	23.90	0.066	1.61	21.59	1.11	109	Obtenida después del ensayo			26.3	26.30	0.078	1.91	21.65	1.21	119	Especimen húmedo + Tara	525.25	g	31.6	31.60	0.095	2.32	21.74	1.45	143	Especimen seco + Tara	492.7	g	34.2	34.20	0.111	2.71	21.83	1.57	154	Masa de Tara	39.04	g	37.4	37.40	0.124	3.03	21.90	1.71	167	Masa Espécimen húmedo	486.21	g	35.7	35.70	0.138	3.37	21.98	1.62	159	Masa Espécimen seco	453.68	g	33.6	33.56	0.146	3.57	22.02	1.52	149	Contenido de Humedad	7.2	%	DENSIDAD DEL ESPÉCIMEN																Densidad Húmeda	2.20	g/cm^3								Densidad Seca	2.05	g/cm^3	RESISTENCIA A LA COMPRESIÓN INCONFINADA σ_u																1.71 kg/cm^2	167	kPa								Deformación en el instante de la falla, ϵ_u : 3.03										CONSISTENCIA SEGÚN ϵ_u FIRME			ESQUEMA DE FALLA																								Velocidad de Deformación: 0.5% x Min permitida (15%)	Deformación Max permitida: 0.61 Pig			EQUIPO UTILIZADO: PRENSA CBR DIGITAL.								
CARGA APLICADA		DEFORMACIÓN (Pig)	DEFORMACIÓN AXIAL UNITARIA ϵ_1 (%)	ÁREA DE LA SECCIÓN TRANSVERSAL MEDIA, A (cm^2)	ESFUERZO COMPRESIVO, σ_c		CONDICIÓN DEL ESPÉCIMEN:																																																																																																																																																																																																																																																															
Kg	kgf				kg/ cm^2	kPa	Inalterado <input type="checkbox"/>	Remoldeado <input checked="" type="checkbox"/>	Compactado <input checked="" type="checkbox"/>																																																																																																																																																																																																																																																													
0.0	0.00	0.000	0.00	21.24	0.00	0	Diametro, D	52	mm																																																																																																																																																																																																																																																													
7.8	7.80	0.006	0.15	21.27	0.38	35	Longitud inicial del espécimen, (L ₀)	104	mm																																																																																																																																																																																																																																																													
13.5	13.50	0.020	0.49	21.34	0.63	62	Relación L ₀ /D	2																																																																																																																																																																																																																																																														
16.8	16.80	0.030	0.73	21.39	0.78	76	Área (A ₀)	21.24	cm^2																																																																																																																																																																																																																																																													
19.0	19.00	0.044	1.07	21.47	0.89	87	Volumen	220.87	cm^3																																																																																																																																																																																																																																																													
21.2	21.20	0.056	1.37	21.53	0.98	97	CONTENIDO DE HUMEDAD																																																																																																																																																																																																																																																															
23.9	23.90	0.066	1.61	21.59	1.11	109	Obtenida después del ensayo																																																																																																																																																																																																																																																															
26.3	26.30	0.078	1.91	21.65	1.21	119	Especimen húmedo + Tara	525.25	g																																																																																																																																																																																																																																																													
31.6	31.60	0.095	2.32	21.74	1.45	143	Especimen seco + Tara	492.7	g																																																																																																																																																																																																																																																													
34.2	34.20	0.111	2.71	21.83	1.57	154	Masa de Tara	39.04	g																																																																																																																																																																																																																																																													
37.4	37.40	0.124	3.03	21.90	1.71	167	Masa Espécimen húmedo	486.21	g																																																																																																																																																																																																																																																													
35.7	35.70	0.138	3.37	21.98	1.62	159	Masa Espécimen seco	453.68	g																																																																																																																																																																																																																																																													
33.6	33.56	0.146	3.57	22.02	1.52	149	Contenido de Humedad	7.2	%																																																																																																																																																																																																																																																													
DENSIDAD DEL ESPÉCIMEN																																																																																																																																																																																																																																																																						
							Densidad Húmeda	2.20	g/cm^3																																																																																																																																																																																																																																																													
							Densidad Seca	2.05	g/cm^3																																																																																																																																																																																																																																																													
RESISTENCIA A LA COMPRESIÓN INCONFINADA σ_u																																																																																																																																																																																																																																																																						
							1.71 kg/cm^2	167	kPa																																																																																																																																																																																																																																																													
							Deformación en el instante de la falla, ϵ_u : 3.03																																																																																																																																																																																																																																																															
							CONSISTENCIA SEGÚN ϵ_u FIRME																																																																																																																																																																																																																																																															
ESQUEMA DE FALLA																																																																																																																																																																																																																																																																						
																																																																																																																																																																																																																																																																						
						Velocidad de Deformación: 0.5% x Min permitida (15%)	Deformación Max permitida: 0.61 Pig																																																																																																																																																																																																																																																															
EQUIPO UTILIZADO: PRENSA CBR DIGITAL.																																																																																																																																																																																																																																																																						

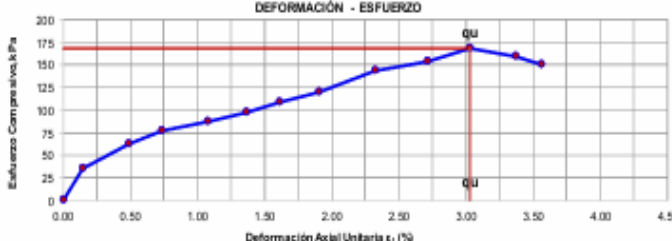


AQUINO GARCIA KEVIN JHOEL
TEC. LABORATORISTA DE SUELOS,
CONCRETO Y PAVIMENTOS

Ing. Samuel Juanito Falcon Paredes
Ingeniero Civil
Reg. CIP. N° 218968

M-4 Suelo arcilloso con adición 10% de la ceniza de tara.

 MONTAÑA		INFORME DE ENSAYO							
		MÉTODO DE ENSAYO ESTÁNDAR PARA LA RESISTENCIA A LA COMPRESIÓN NO CONFINADA DE SUELOS COHESIVOS							
		ASTM D 2166 / NTP 339.167 / MTC E 121							
NOMBRE DEL CLIENTE :		BACH. VEGA BAZÁN, MERLYN MERCEDES				FECHA DE ENSAYO :		21/05/2025	
ESTUDIO / PROYECTO:		INFLUENCIA DE LA CENIZA DE CÁSCARA DE TARA (CAESALPINIA TINCTORIA) COMO ALTERNATIVA PARA EL MEJORAMIENTO DE LA CAPACIDAD PORTANTE DE LA SUBRASANTE DE SUELLO ARCILLOSO, JR. LOS CEDROS AMARILIS - HUÁNUCO - 2024							
LOCALIZACIÓN:		JR. LOS CEDROS AMARILIS - HUÁNUCO - 2024				MUESTRA:		M-4	
DESCRIPCIÓN:		PESO DEL 10% DE LA CENIZA DE CÁSCARA DE TARA RESPECTO AL PESO SECO DE LA MUESTRA				PROFUNDIDAD:		1.50 m	
CARGA APLICADA		DEFORMACIÓN (Pig)	DEFORMACIÓN AXIAL UNITARIA ϵ_1 (%)	ÁREA DE LA SECCIÓN TRANSVERSAL MEDIA, A (cm^2)	ESFUERZO COMPRESIVO, σ_c		CONDICIÓN DEL ESPÉCIMEN:		
					kg	kgf	kN/cm^2	kPa	Inalterado <input type="checkbox"/>
0.0	0.00	0.000	0.00	21.24	0.00	0	Diametro, D	52	mm
7.7	7.70	0.006	0.15	21.27	0.38	36	Longitud inicial del espécimen, (L ₀)	104	mm
15.6	15.60	0.020	0.49	21.34	0.64	82	Relación L ₀ /D	2	
18.7	18.70	0.030	0.73	21.39	0.78	77	Área (A _c)	21.24	cm^2
19.1	19.10	0.044	1.07	21.47	0.89	87	Volumen	220.87	cm^3
21.3	21.30	0.056	1.37	21.53	0.99	97	CONTENIDO DE HUMEDAD		
24.0	24.00	0.068	1.61	21.59	1.11	109	Obtenida después del ensayo		
26.4	26.40	0.078	1.91	21.65	1.22	120	Especímen húmedo + Tara	524.25	g
31.7	31.70	0.096	2.32	21.74	1.48	143	Especímen seco + Tara	491.9	g
34.3	34.30	0.111	2.71	21.83	1.57	154	Masa de Tara	39.02	g
37.5	37.50	0.124	3.03	21.90	1.71	168	Masa Espécimen húmedo	485.23	g
35.8	35.80	0.138	3.37	21.98	1.63	160	Masa Espécimen seco	452.88	g
33.7	33.66	0.146	3.57	22.02	1.53	150	Contenido de Humedad	7.1	%
DENSIDAD DEL ESPÉCIMEN									
						Densidad Húmeda	2.20	g/cm^3	
						Densidad Seca	2.05	g/cm^3	
RESISTENCIA A LA COMPRESIÓN INCONFINADA σ_c									
						1.71 kg/cm^2	168	kPa	
						Deformación en el instante de la falla, %:	3.03		
						CONSISTENCIA SEGÚN q_s	FIRME		
ESQUEMA DE FALLA									
									
						Velocidad de Deformación: 0.5% a Min	Deformación Max permitida (15%): 0.81 Pig		
EQUIPO UTILIZADO: PRENSA CBR DIGITAL									
 MONTAÑA		 AQUINO GARCIA KEVIN JHOEL		TEC. LABORATORISTA DE SUELOS, CONCRETO Y PAVIMENTOS		 Ing. Samuel Juanito Falcon Pardave Ingeniero Civil Reg. CIP. N° 218968			



M-5 Suelo arcilloso con adición 10% de la ceniza de tara.

 MONTAÑA		INFORME DE ENSAYO						
		MÉTODO DE ENSAYO ESTÁNDAR PARA LA RESISTENCIA A LA COMPRESIÓN NO CONFINADA DE SUELOS COHESIVOS						
ASTM D 2166 / NTP 339.167 / MTC E 121								
NOMBRE DEL CLIENTE :		BACH. VEGA BAZÁN, MERLYN MERCEDES			FECHA DE ENSAYO :		21/05/2025	
ESTUDIO / PROYECTO:		INFLUENCIA DE LA CENIZA DE CÁSCARA DE TARA (CAESALPINIA TINTOREA) COMO ALTERNATIVA PARA EL MEJORAMIENTO DE LA CAPACIDAD PORTANTE DE LA SUBRASANTE DE SUELLO ARCILLOSO, JR. LOS CEDROS AMARILIS – HUÁNUCO - 2024						
LOCALIZACIÓN:		JR. LOS CEDROS AMARILIS – HUÁNUCO - 2024			MUESTRA:		M-5	
DESCRIPCIÓN:		PESO DEL 10% DE LA CENIZA DE CÁSCARA DE TARA RESPECTO AL PESO SECO DE LA MUESTRA			PROFUNDIDAD:		1.50 m	
CARGA APLICADA		DEFORMACIÓN (Pig)	DEFORMACIÓN AXIAL UNITARIA ϵ_1 (%)	ÁREA DE LA SECCIÓN TRANSVERSAL MEDIA, A (cm^2)	ESFUERZO COMPRESSION, σ_c		CONDICIÓN DEL ESPÉCIMEN:	
					kg	kgf	kg/cm^2	kPa
0.0	0.00	0.000	0.00	21.24	0.00	0	Diametro, D	52 mm
6.8	6.62	0.006	0.15	21.27	0.31	31	Longitud inicial del espécimen, (L ₀)	104 mm
12.5	12.52	0.020	0.49	21.34	0.59	58	Relación L ₀ /D	2
15.8	15.62	0.030	0.73	21.39	0.73	72	Área (A _c)	21.24 cm^2
18.0	18.02	0.044	1.07	21.47	0.84	82	Volumen	220.87 cm^3
20.2	20.22	0.056	1.37	21.53	0.94	92	CONTENIDO DE HUMEDAD	
22.9	22.92	0.066	1.61	21.59	1.08	104	Obtenida después del ensayo	
25.3	25.32	0.078	1.91	21.65	1.17	115	Espécimen húmedo + Tara	523.25 g
30.8	30.62	0.095	2.32	21.74	1.41	138	Espécimen seco + Tara	490.7 g
33.2	33.22	0.111	2.71	21.83	1.52	149	Masa de Tara	39.08 g
36.4	36.42	0.124	3.03	21.90	1.68	163	Masa Espécimen húmedo	484.17 g
34.7	34.72	0.138	3.37	21.98	1.58	155	Masa Espécimen seco	451.62 g
32.8	32.82	0.146	3.57	22.02	1.48	145	Contenido de Humedad	7.2 %
DENSIDAD DEL ESPÉCIMEN								
							Densidad Húmeda	2.19 g/cm^3
							Densidad Seca	2.04 g/cm^3
RESISTENCIA A LA COMPRESIÓN INCONFINADA q_u								
							1.66 kg/cm^2	163 kPa
							Deformación en el instante de la falla, %:	3.03
							CONSISTENCIA SEGÚN q_u	FIRME
ESQUEMA DE FALLA								
 Diagrama de Deformación - Esfuerzo		 Velocidad de Deformación: 0.5% a Min Deformación Max. permitida (15%): 0.81 Pig EQUIPO UTILIZADO: PRENSA CBR DIGITAL						



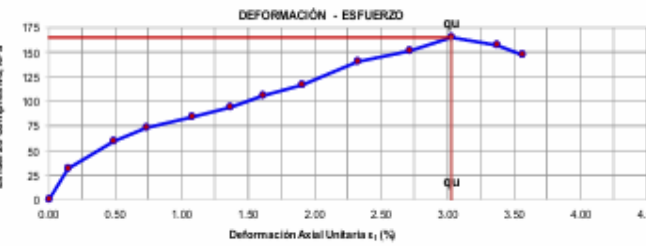
MONTAÑA



AQUINO GARCIA KEVIN JHOEL
TEC. LABORATORISTA DE SUELOS,
CONCRETO Y PAVIMENTOS


Ing. Samuel Juanito Falcon Pardave
Ingeniero Civil
Reg. CIP. N° 218958

M-6 Suelo arcilloso con adición 10% de la ceniza de tara.

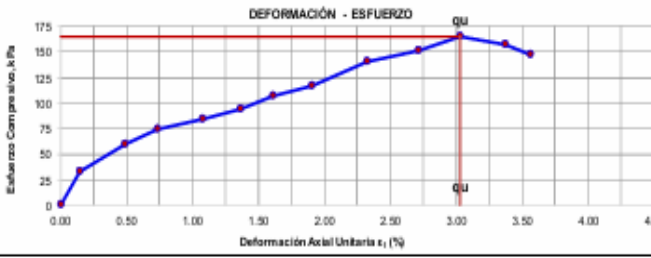
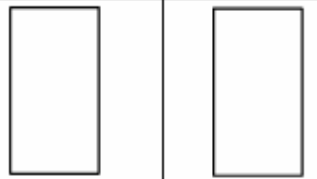
 MONTAÑA		INFORME DE ENSAYO								
		MÉTODO DE ENSAYO ESTÁNDAR PARA LA RESISTENCIA A LA COMPRESIÓN NO CONFINADA DE SUELOS COHESIVOS								
		ASTM D 2166 / NTP 339.167 / MTC E 121								
NOMBRE DEL CLIENTE :		BACH. VEGA BAZÁN, MERLYN MERCEDES					FECHA DE ENSAYO :	21/05/2025		
ESTUDIO / PROYECTO:		INFLUENCIA DE LA CENIZA DE CÁSCARA DE TARA (CAESALPINIA TINCTOREA) COMO ALTERNATIVA PARA EL MEJORAMIENTO DE LA CAPACIDAD PORTANTE DE LA SUBRASANTE DE SUELO ARCILLOSO, JR. LOS CEDROS AMARILIS – HUÁNUCO - 2024								
LOCALIZACIÓN:		JR. LOS CEDROS AMARILIS – HUÁNUCO - 2024					MUESTRA:	M-6		
DESCRIPCIÓN:		PESO DEL 10% DE LA CENIZA DE CÁSCARA DE TARA RESPECTO AL PESO SECO DE LA MUESTRA					PROFUNDIDAD:	1.50 m		
CARGA APLICADA		DEFORMACIÓN (Pig)	DEFORMACIÓN AXIAL UNITARIA ϵ_1 (%)	ÁREA DE LA SECCIÓN TRANSVERSAL MEDIA, A (cm^2)	ESFUERZO COMPRESIVO, σ_c , kPa	CONDICIÓN DEL ESPECÍMEN:				
Kg	kgf					Inalterado <input type="checkbox"/> Remoldado <input checked="" type="checkbox"/> Compactado <input checked="" type="checkbox"/>				
0.0	0.00	0.000	0.00	21.24	0.00	0	Diametro, D	52 mm		
7.0	7.02	0.006	0.15	21.27	0.33	32	Longitud inicial del espécimen, (L ₀)	104 mm		
12.9	12.92	0.020	0.49	21.34	0.61	59	Relación L ₀ /D	2		
16.0	16.02	0.030	0.73	21.39	0.75	73	Ancho (A ₀)	21.24 cm ²		
18.4	18.42	0.044	1.07	21.47	0.86	84	Volumen	220.87 cm ³		
20.6	20.62	0.056	1.37	21.53	0.96	94	CONTENIDO DE HUMEDAD			
23.3	23.32	0.068	1.81	21.59	1.08	108	Obtenida después del ensayo			
25.7	25.72	0.078	1.95	21.65	1.19	117	Especímen húmedo + Tara	525.25 g		
31.0	31.02	0.095	2.32	21.74	1.43	140	Especímen seco + Tara	492.8 g		
33.8	33.82	0.111	2.71	21.83	1.54	151	Masa de Tara	38.12 g		
36.8	36.82	0.124	3.03	21.90	1.68	165	Masa Espécimen húmedo	487.13 g		
35.1	35.12	0.158	3.37	21.98	1.60	157	Masa Espécimen seco	454.88 g		
33.0	32.98	0.146	3.57	22.02	1.50	147	Contenido de Humedad	7.1 %		
		DENSIDAD DEL ESPECÍMEN								
							Densidad Húmeda	2.21 g/cm ³		
							Densidad Seca	2.06 g/cm ³		
		RESISTENCIA A LA COMPRESIÓN INCONFINADA q_u								
							1.68 kg/cm ²	165 kPa		
							Deformación en el instante de la falla, %:	3.03		
		CONSISTENCIA SEGÚN q_u					FIRME			
		ESQUEMA DE FALLA								
							<table border="1"> <tr> <td>Velocidad de Deformación: 0.5% x Min</td> <td>Deformación Max permitida (15%): 0.61 Pig</td> </tr> </table>		Velocidad de Deformación: 0.5% x Min	Deformación Max permitida (15%): 0.61 Pig
Velocidad de Deformación: 0.5% x Min	Deformación Max permitida (15%): 0.61 Pig									
		EQUIPO UTILIZADO: PRENSA CBR DIGITAL								



AQUINO GARCIA KEVIN JHOEL
TEC. LABORATORISTA DE SUELOS,
CONCRETO Y PAVIMENTOS

Ing. Samuel Juanito Falcon Pardave
 Ingeniero Civil
 Reg. CIP. N° 218968

M-7 Suelo arcilloso con adición 10% de la ceniza de tara.

 MONTAÑA		INFORME DE ENSAYO							
		MÉTODO DE ENSAYO ESTÁNDAR PARA LA RESISTENCIA A LA COMPRESIÓN NO CONFINADA DE SUELOS COHESIVOS							
		ASTM D 2166 / NTP 339.167 / MTC E 121							
NOMBRE DEL CLIENTE :		BACH. VEGA BAZÁN, MERLYN MERCEDES				FECHA DE ENSAYO :		21/05/2025	
ESTUDIO / PROYECTO:		INFLUENCIA DE LA CENIZA DE CÁSCARA DE TARA (CAESALPINIA TINCTOREA) COMO ALTERNATIVA PARA EL MEJORAMIENTO DE LA CAPACIDAD PORTANTE DE LA SUBRASANTE DE SUELO ARCILLOSO, JR. LOS CEDROS AMARILIS - HUÁNUCO - 2024							
LOCALIZACIÓN:		JR. LOS CEDROS AMARILIS - HUÁNUCO - 2024				MUESTRA:		M-7	
DESCRIPCIÓN:		PESO DEL 10% DE LA CENIZA DE CÁSCARA DE TARA RESPECTO AL PESO SECO DE LA MUESTRA				PROFUNDIDAD:		1.50 m	
CARGA APLICADA		DEFORMACIÓN (Pig)	DEFORMACIÓN AXIAL UNITARIA ϵ_1 (%)	ÁREA DE LA SECCIÓN TRANSVERSAL MEDIA, A (cm^2)	ESFUERZO COMPRESIVO, σ_c		CONDICIÓN DEL ESPECÍMEN:		
					kN/cm^2	kPa	Inflado <input type="checkbox"/>	Remoldado <input checked="" type="checkbox"/>	Compactado <input checked="" type="checkbox"/>
Kg	kgf						DIMENSIÓN PROMEDIO		
0.0	0.00	0.00	0.00	21.24	0.00	0	Diametro, D	52	mm
7.1	7.12	0.006	0.15	21.27	0.33	33	Longitud inicial del espécimen, (L ₀)	104	mm
13.0	13.02	0.020	0.40	21.34	0.61	60	Relación L ₀ /D	2	
16.1	16.12	0.030	0.73	21.39	0.75	74	Área (A _c)	21.24	cm^2
18.5	18.52	0.044	1.07	21.47	0.86	85	Volumen	220.87	cm^3
20.7	20.72	0.056	1.37	21.53	0.96	94	CONTENIDO DE HUMEDAD		
23.4	23.42	0.066	1.61	21.59	1.09	106	Obtenido después del ensayo		
25.8	25.82	0.078	1.91	21.65	1.19	117	Especímen húmedo + Tara	526.23	g
31.1	31.12	0.095	2.32	21.74	1.43	140	Especímen seco + Tara	494.6	g
33.7	33.72	0.111	2.71	21.83	1.54	151	Masa de Tara	39.08	g
36.9	36.92	0.124	3.03	21.90	1.69	165	Masa Espécimen húmedo	487.17	g
35.2	35.22	0.138	3.37	21.98	1.60	157	Masa Espécimen seco	455.54	g
33.1	33.08	0.146	3.57	22.02	1.50	147	Contenido de Humedad	8.9	%
DENSIDAD DEL ESPECÍMEN									
Densidad Húmeda									
Densidad Seca									
RESISTENCIA A LA COMPRESIÓN INCONFINADA q_u									
1.69 kN/cm^2 165 kPa									
Deformación en el instante de la falla, %: 3.03									
CONSISTENCIA SEGÚN q_u FIRME									
ESQUEMA DE FALLA									
									
Velocidad de Deformación: 0.5% x Min					Deformación Max permitida (15%): 0.81 Pig				
EQUIPO UTILIZADO: PRENSA CBR DIGITAL									

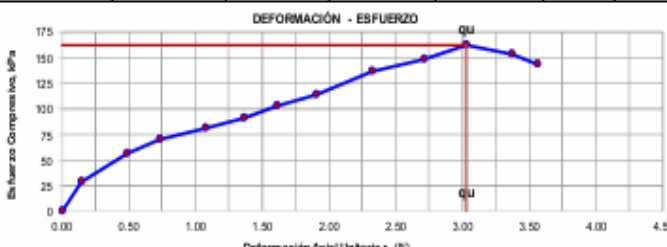
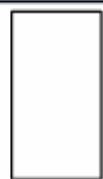


MONTAÑA


AQUINO GARCIA KEVIN JHOEL
TEC. LABORATORISTA DE SUELOS,
CONCRETO Y PAVIMENTOS


Ing. Samuel Juventino Falcon Paredes
Ingeniero Civil
Reg. CIP. N° 218968

M-8 Suelo arcilloso con adición 10% de la ceniza de tara.

 MONTAÑA		INFORME DE ENSAYO							
		MÉTODO DE ENSAYO ESTÁNDAR PARA LA RESISTENCIA A LA COMPRESIÓN NO CONFINADA DE SUELOS COHESIVOS							
ASTM D 2166 / NTP 339.167 / MTC E 121									
NOMBRE DEL CLIENTE :		BACH. VEGA BAZÁN, MERLYN MERCEDES			FECHA DE ENSAYO :		21/05/2025		
ESTUDIO / PROYECTO:		INFLUENCIA DE LA CENIZA DE CÁSCARA DE TARA (CAESALPINIA TINTOREA) COMO ALTERNATIVA PARA EL MEJORAMIENTO DE LA CAPACIDAD PORTANTE DE LA SUBRASANTE DE SUELO ARCILLOSO, JR. LOS CEDROS AMARILIS – HUÁNUCO - 2024							
LOCALIZACIÓN:		JR. LOS CEDROS AMARILIS – HUÁNUCO - 2024			MUESTRA:		M-8		
DESCRIPCIÓN:		PESO DEL 10% DE LA CENIZA DE CÁSCARA DE TARA RESPECTO AL PESO SECO DE LA MUESTRA			PROFUNDIDAD:		1.50 m		
CARGA APLICADA		DEFORMACIÓN (Pig)	DEFORMACIÓN AXIAL UNITARIA ϵ_1 (%)	ÁREA DE LA SECCIÓN TRANSVERSAL MEDIA, A (cm^2)	ESFUERZO COMPREBIVO, σ_u	CONDICIÓN DEL ESPÉCIMEN:			
Kg	kgf			kg/cm^2	kPa	Inalterado <input type="checkbox"/>	Rremoldeado <input checked="" type="checkbox"/>	Compactado <input checked="" type="checkbox"/>	
0.0	0.00	0.000	0.00	21.24	0.00	0	Diametro, D	52 mm	
6.3	8.32	0.006	0.15	21.27	0.30	29	Longitud inicial del espécimen, (L ₀)	104 mm	
12.2	12.22	0.020	0.49	21.34	0.57	56	Relación L ₀ /D	2	
15.3	15.32	0.030	0.73	21.39	0.72	70	Area (A ₀)	21.24 cm^2	
17.7	17.72	0.044	1.07	21.47	0.83	81	Volumen	220.87 cm^3	
19.9	19.92	0.056	1.37	21.53	0.93	91	CONTENIDO DE HUMEDAD		
22.6	22.62	0.066	1.61	21.59	1.05	103	Obtenida después del ensayo		
25.0	25.02	0.078	1.91	21.65	1.18	113	Espécimen húmedo + Tara	524.28 g	
30.3	30.32	0.095	2.32	21.74	1.39	137	Espécimen seco + Tara	492.6 g	
32.9	32.92	0.111	2.71	21.83	1.51	148	Masa de Tara	39.07 g	
36.1	36.12	0.124	3.03	21.90	1.65	162	Masa Espécimen húmedo	485.21 g	
34.4	34.42	0.138	3.37	21.98	1.57	154	Masa Espécimen seco	453.53 g	
32.3	32.28	0.146	3.57	22.02	1.47	144	Contenido de Humedad	7.0 %	
DENSIDAD DEL ESPÉCIMEN									
						Densidad Húmeda	2.20	g/cm^3	
						Densidad Seca	2.05	g/cm^3	
RESISTENCIA A LA COMPRESIÓN INCONFINADA σ_u									
						1.65 kg/cm^2	162	kPa	
						Deformación en el instante de la falla, %:	3.03		
						CONSISTENCIA SEGÚN σ_u	FIRME		
ESQUEMA DE FALLA									
									
						Velocidad de Deformación: 0.5% x Min	Deformación Max. permitida (15%): 0.81 Pig		
EQUIPO UTILIZADO: PRENSA CBR DIGITAL									



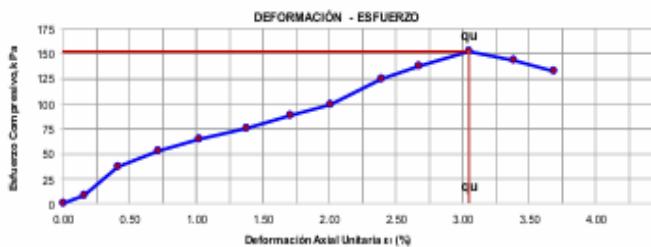
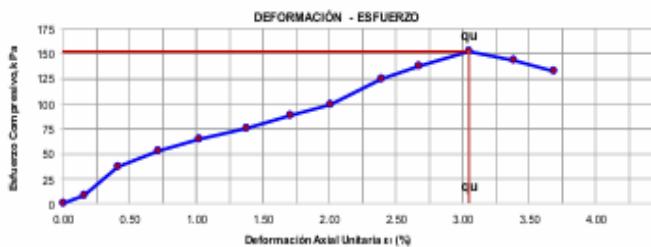
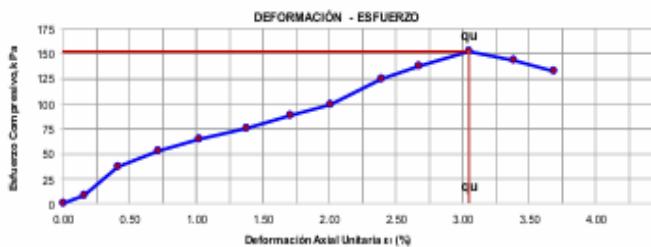
MONTAÑA


KEVIN JHOEL

AQUINO GARCIA KEVIN JHOEL
TEC. LABORATORISTA DE SUELOS,
CONCRETO Y PAVIMENTOS


Ing. Samuel Juanito Falcon Paredes
Ingeniero Civil
Reg. CIP. N° 218968

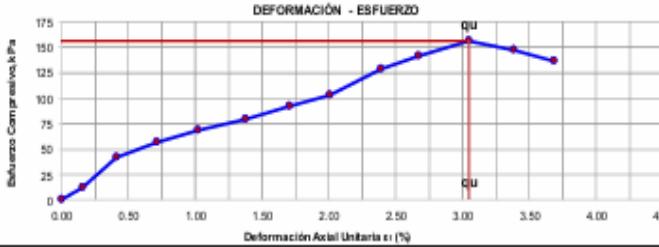
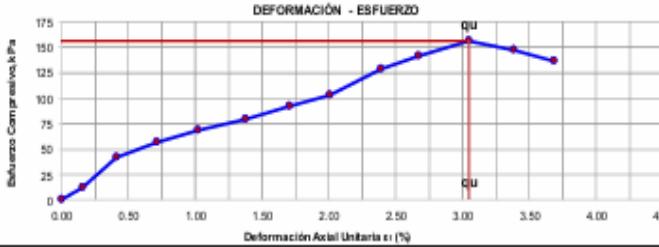
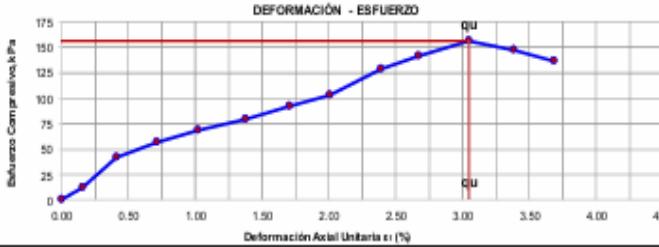
M-1 Suelo arcilloso con adición 15% de la ceniza de tara.

		INFORME DE ENSAYO																																																																																																																																																																																																																																																																	
		MÉTODO DE ENSAYO ESTÁNDAR PARA LA RESISTENCIA A LA COMPRESIÓN NO CONFINADA DE SUELOS COHESIVOS																																																																																																																																																																																																																																																																	
ASTM D 2166 / NTP 339.167 / MTC E 121																																																																																																																																																																																																																																																																			
NOMBRE DEL CLIENTE :		BACH. VEGA BAZÁN, MERLYN MERCEDES					FECHA DE ENSAYO :	21/05/2025																																																																																																																																																																																																																																																											
ESTUDIO / PROYECTO:		INFLUENCIA DE LA CENIZA DE CÁSCARA DE TARA (CAESALPINIA TINTOREA) COMO ALTERNATIVA PARA EL MEJORAMIENTO DE LA CAPACIDAD PORTANTE DE LA SUBRASANTE DE SUELO ARCILLOSO, JR. LOS CEDROS AMARILIS – HUÁNUCO - 2024																																																																																																																																																																																																																																																																	
LOCALIZACIÓN:		JR. LOS CEDROS AMARILIS – HUÁNUCO - 2024					MUESTRA:	M-1																																																																																																																																																																																																																																																											
DESCRIPCIÓN:		PESO DEL 15% DE LA CENIZA DE CÁSCARA DE TARA RESPECTO AL PESO SECO DE LA MUESTRA.					PROFUNDIDAD:	1.50 m																																																																																																																																																																																																																																																											
<table border="1"> <thead> <tr> <th colspan="2">CARGA APLICADA</th> <th>DEFORMACIÓN (Pig)</th> <th>DEFORMACIÓN AXIAL UNITARIA ϵ_1 (%)</th> <th>ÁREA DE LA SECCIÓN TRANSVERSAL MEDIA, A (cm^2)</th> <th>ESFUERZO COMPRESSION, σ_u</th> <th colspan="3">CONDICIÓN DEL ESPÉCIMEN:</th> </tr> <tr> <th>Kg</th> <th>kgf</th> <th></th> <th></th> <th></th> <th>kg/cm²</th> <th>kPa</th> <th>Inalterado <input type="checkbox"/></th> <th>Ramolizado <input checked="" type="checkbox"/></th> <th>Compactado <input checked="" type="checkbox"/></th> </tr> </thead> <tbody> <tr> <td>0.0</td> <td>0.00</td> <td>0.000</td> <td>0.00</td> <td>19.83</td> <td>0.00</td> <td>0</td> <td>Diametro, D</td> <td>50</td> <td>mm</td> </tr> <tr> <td>1.8</td> <td>1.60</td> <td>0.006</td> <td>0.15</td> <td>19.86</td> <td>0.08</td> <td>8</td> <td>Longitud inicial del espécimen, (L₀)</td> <td>100</td> <td>mm</td> </tr> <tr> <td>7.5</td> <td>7.50</td> <td>0.018</td> <td>0.41</td> <td>19.72</td> <td>0.38</td> <td>37</td> <td>Relación L₀/D</td> <td>2</td> <td></td> </tr> <tr> <td>10.8</td> <td>10.80</td> <td>0.028</td> <td>0.71</td> <td>19.78</td> <td>0.54</td> <td>53</td> <td>Área (A₀)</td> <td>19.83</td> <td>cm²</td> </tr> <tr> <td>13.0</td> <td>13.00</td> <td>0.040</td> <td>1.02</td> <td>19.84</td> <td>0.68</td> <td>64</td> <td>Volumen</td> <td>198.35</td> <td>cm³</td> </tr> <tr> <td>15.2</td> <td>15.20</td> <td>0.054</td> <td>1.37</td> <td>19.91</td> <td>0.78</td> <td>75</td> <td colspan="3">CONTENIDO DE HUMEDAD</td> </tr> <tr> <td>17.9</td> <td>17.90</td> <td>0.067</td> <td>1.70</td> <td>19.97</td> <td>0.90</td> <td>88</td> <td colspan="3">Obtenida después del ensayo</td> </tr> <tr> <td>20.3</td> <td>20.30</td> <td>0.079</td> <td>2.01</td> <td>20.04</td> <td>1.01</td> <td>99</td> <td>Espécimen húmedo + Tara</td> <td>522.38</td> <td>g</td> </tr> <tr> <td>25.6</td> <td>25.60</td> <td>0.094</td> <td>2.39</td> <td>20.12</td> <td>1.27</td> <td>125</td> <td>Espécimen seco + Tara</td> <td>492.01</td> <td>g</td> </tr> <tr> <td>28.2</td> <td>28.20</td> <td>0.105</td> <td>2.67</td> <td>20.17</td> <td>1.40</td> <td>137</td> <td>Masa de Tara</td> <td>38.44</td> <td>g</td> </tr> <tr> <td>31.4</td> <td>31.40</td> <td>0.120</td> <td>3.05</td> <td>20.25</td> <td>1.55</td> <td>152</td> <td>Masa Espécimen húmedo</td> <td>483.92</td> <td>g</td> </tr> <tr> <td>29.7</td> <td>29.70</td> <td>0.133</td> <td>3.38</td> <td>20.32</td> <td>1.46</td> <td>143</td> <td>Masa Espécimen seco</td> <td>453.57</td> <td>g</td> </tr> <tr> <td>27.8</td> <td>27.58</td> <td>0.145</td> <td>3.68</td> <td>20.39</td> <td>1.35</td> <td>133</td> <td>Contenido de Humedad</td> <td>6.7</td> <td>%</td> </tr> <tr> <td colspan="9">DENSIDAD DEL ESPÉCIMEN</td></tr> <tr> <td colspan="9">Densidad Húmeda</td></tr> <tr> <td colspan="9">Densidad Seca</td></tr> <tr> <td colspan="9">RESISTENCIA A LA COMPRESIÓN INCONFINADA σ_u</td></tr> <tr> <td colspan="9">1.55 kg/cm²</td></tr> <tr> <td colspan="9">Deformación en el instante de la falla, %:</td></tr> <tr> <td colspan="9">CONSISTENCIA SEGÚN q_u</td></tr> <tr> <td colspan="9">FIRME</td></tr> <tr> <td colspan="9">ESQUEMA DE FALLA</td></tr> <tr> <td colspan="9">  </td></tr> <tr> <td colspan="9"> <table border="1"> <tr> <td>Velocidad de Deformación: 0.5% x Min</td> <td>Deformación Max permitida (15%): 0.5% Pig</td> </tr> </table> </td></tr> <tr> <td colspan="9">EQUIPO UTILIZADO: PRENSA CBR DIGITAL</td></tr> </tbody> </table>	CARGA APLICADA		DEFORMACIÓN (Pig)	DEFORMACIÓN AXIAL UNITARIA ϵ_1 (%)	ÁREA DE LA SECCIÓN TRANSVERSAL MEDIA, A (cm^2)	ESFUERZO COMPRESSION, σ_u	CONDICIÓN DEL ESPÉCIMEN:			Kg	kgf				kg/cm ²	kPa	Inalterado <input type="checkbox"/>	Ramolizado <input checked="" type="checkbox"/>	Compactado <input checked="" type="checkbox"/>	0.0	0.00	0.000	0.00	19.83	0.00	0	Diametro, D	50	mm	1.8	1.60	0.006	0.15	19.86	0.08	8	Longitud inicial del espécimen, (L ₀)	100	mm	7.5	7.50	0.018	0.41	19.72	0.38	37	Relación L ₀ /D	2		10.8	10.80	0.028	0.71	19.78	0.54	53	Área (A ₀)	19.83	cm ²	13.0	13.00	0.040	1.02	19.84	0.68	64	Volumen	198.35	cm ³	15.2	15.20	0.054	1.37	19.91	0.78	75	CONTENIDO DE HUMEDAD			17.9	17.90	0.067	1.70	19.97	0.90	88	Obtenida después del ensayo			20.3	20.30	0.079	2.01	20.04	1.01	99	Espécimen húmedo + Tara	522.38	g	25.6	25.60	0.094	2.39	20.12	1.27	125	Espécimen seco + Tara	492.01	g	28.2	28.20	0.105	2.67	20.17	1.40	137	Masa de Tara	38.44	g	31.4	31.40	0.120	3.05	20.25	1.55	152	Masa Espécimen húmedo	483.92	g	29.7	29.70	0.133	3.38	20.32	1.46	143	Masa Espécimen seco	453.57	g	27.8	27.58	0.145	3.68	20.39	1.35	133	Contenido de Humedad	6.7	%	DENSIDAD DEL ESPÉCIMEN									Densidad Húmeda									Densidad Seca									RESISTENCIA A LA COMPRESIÓN INCONFINADA σ_u									1.55 kg/cm ²									Deformación en el instante de la falla, %:									CONSISTENCIA SEGÚN q_u									FIRME									ESQUEMA DE FALLA																		<table border="1"> <tr> <td>Velocidad de Deformación: 0.5% x Min</td> <td>Deformación Max permitida (15%): 0.5% Pig</td> </tr> </table>									Velocidad de Deformación: 0.5% x Min	Deformación Max permitida (15%): 0.5% Pig	EQUIPO UTILIZADO: PRENSA CBR DIGITAL								
CARGA APLICADA		DEFORMACIÓN (Pig)	DEFORMACIÓN AXIAL UNITARIA ϵ_1 (%)	ÁREA DE LA SECCIÓN TRANSVERSAL MEDIA, A (cm^2)	ESFUERZO COMPRESSION, σ_u	CONDICIÓN DEL ESPÉCIMEN:																																																																																																																																																																																																																																																													
Kg	kgf				kg/cm ²	kPa	Inalterado <input type="checkbox"/>	Ramolizado <input checked="" type="checkbox"/>	Compactado <input checked="" type="checkbox"/>																																																																																																																																																																																																																																																										
0.0	0.00	0.000	0.00	19.83	0.00	0	Diametro, D	50	mm																																																																																																																																																																																																																																																										
1.8	1.60	0.006	0.15	19.86	0.08	8	Longitud inicial del espécimen, (L ₀)	100	mm																																																																																																																																																																																																																																																										
7.5	7.50	0.018	0.41	19.72	0.38	37	Relación L ₀ /D	2																																																																																																																																																																																																																																																											
10.8	10.80	0.028	0.71	19.78	0.54	53	Área (A ₀)	19.83	cm ²																																																																																																																																																																																																																																																										
13.0	13.00	0.040	1.02	19.84	0.68	64	Volumen	198.35	cm ³																																																																																																																																																																																																																																																										
15.2	15.20	0.054	1.37	19.91	0.78	75	CONTENIDO DE HUMEDAD																																																																																																																																																																																																																																																												
17.9	17.90	0.067	1.70	19.97	0.90	88	Obtenida después del ensayo																																																																																																																																																																																																																																																												
20.3	20.30	0.079	2.01	20.04	1.01	99	Espécimen húmedo + Tara	522.38	g																																																																																																																																																																																																																																																										
25.6	25.60	0.094	2.39	20.12	1.27	125	Espécimen seco + Tara	492.01	g																																																																																																																																																																																																																																																										
28.2	28.20	0.105	2.67	20.17	1.40	137	Masa de Tara	38.44	g																																																																																																																																																																																																																																																										
31.4	31.40	0.120	3.05	20.25	1.55	152	Masa Espécimen húmedo	483.92	g																																																																																																																																																																																																																																																										
29.7	29.70	0.133	3.38	20.32	1.46	143	Masa Espécimen seco	453.57	g																																																																																																																																																																																																																																																										
27.8	27.58	0.145	3.68	20.39	1.35	133	Contenido de Humedad	6.7	%																																																																																																																																																																																																																																																										
DENSIDAD DEL ESPÉCIMEN																																																																																																																																																																																																																																																																			
Densidad Húmeda																																																																																																																																																																																																																																																																			
Densidad Seca																																																																																																																																																																																																																																																																			
RESISTENCIA A LA COMPRESIÓN INCONFINADA σ_u																																																																																																																																																																																																																																																																			
1.55 kg/cm ²																																																																																																																																																																																																																																																																			
Deformación en el instante de la falla, %:																																																																																																																																																																																																																																																																			
CONSISTENCIA SEGÚN q_u																																																																																																																																																																																																																																																																			
FIRME																																																																																																																																																																																																																																																																			
ESQUEMA DE FALLA																																																																																																																																																																																																																																																																			
																																																																																																																																																																																																																																																																			
<table border="1"> <tr> <td>Velocidad de Deformación: 0.5% x Min</td> <td>Deformación Max permitida (15%): 0.5% Pig</td> </tr> </table>									Velocidad de Deformación: 0.5% x Min	Deformación Max permitida (15%): 0.5% Pig																																																																																																																																																																																																																																																									
Velocidad de Deformación: 0.5% x Min	Deformación Max permitida (15%): 0.5% Pig																																																																																																																																																																																																																																																																		
EQUIPO UTILIZADO: PRENSA CBR DIGITAL																																																																																																																																																																																																																																																																			


MONTAÑA
 AQUINO GARCIA KEVIN JHOEL
 TEC. LABORATORISTA DE SUELOS,
 CONCRETO Y PAVIMENTOS


 Ing. Samuel Juanito Falcon Pardave
 Ingeniero Civil
 Reg. CIP. N° 218968

M-2 Suelo arcilloso con adición 15% de la ceniza de tara.

 MONTAÑA		INFORME DE ENSAYO																																																																																																																																																																																																																																																																					
		MÉTODO DE ENSAYO ESTÁNDAR PARA LA RESISTENCIA A LA COMPRESIÓN NO CONFINADA DE SUELOS COHESIVOS																																																																																																																																																																																																																																																																					
ASTM D 2166 / NTP 339.167 / MTC E 121																																																																																																																																																																																																																																																																							
NOMBRE DEL CLIENTE :		BACH. VEGA BAZÁN, MERLYN MERCEDES					FECHA DE ENSAYO :	21/05/2025																																																																																																																																																																																																																																																															
ESTUDIO / PROYECTO:		INFLUENCIA DE LA CENIZA DE CÁSCARA DE TARA (CAESALPINIA TINTOREA) COMO ALTERNATIVA PARA EL MEJORAMIENTO DE LA CAPACIDAD PORTANTE DE LA SUBRASANTE DE SUELO ARCILLOSO, JR. LOS CEDROS AMARILIS – HUÁNUCO - 2024																																																																																																																																																																																																																																																																					
LOCALIZACIÓN:		JR. LOS CEDROS AMARILIS – HUÁNUCO - 2024					MUESTRA:	M-2																																																																																																																																																																																																																																																															
DESCRIPCIÓN:		PESO DEL 15% DE LA CENIZA DE CÁSCARA DE TARA RESPECTO AL PESO SECO DE LA MUESTRA.					PROFUNDIDAD:	1.50 m																																																																																																																																																																																																																																																															
<table border="1" style="width: 100%; border-collapse: collapse;"> <thead> <tr> <th colspan="2" style="text-align: left; padding-bottom: 5px;">CARGA APLICADA</th> <th style="text-align: left; padding-bottom: 5px;">DEFORMACIÓN (Pig)</th> <th style="text-align: left; padding-bottom: 5px;">DEFORMACIÓN AXIAL UNITARIA ϵ_1 (%)</th> <th style="text-align: left; padding-bottom: 5px;">ÁREA DE LA SECCIÓN TRANSVERSAL MEDIA, A (cm^2)</th> <th colspan="2" style="text-align: left; padding-bottom: 5px;">ESFUERZO COMPRESIVO, σ_c</th> <th colspan="2" style="text-align: left; padding-bottom: 5px;">CONDICIÓN DEL ESPÉCIMEN:</th> </tr> <tr> <th>Kg</th> <th>kgf</th> <th></th> <th></th> <th></th> <th>kg/cm²</th> <th>kPa</th> <th>Inalterado <input type="checkbox"/></th> <th>Romoldeado <input checked="" type="checkbox"/></th> <th>Compactado <input checked="" type="checkbox"/></th> </tr> </thead> <tbody> <tr> <td>0.0</td> <td>0.00</td> <td>0.000</td> <td>0.00</td> <td>19.83</td> <td>0.00</td> <td>0</td> <td>Diametro, D</td> <td>50</td> <td>mm</td> </tr> <tr> <td>2.4</td> <td>2.40</td> <td>0.008</td> <td>0.15</td> <td>19.86</td> <td>0.12</td> <td>12</td> <td>Longitud inicial del espécimen, (L₀)</td> <td>100</td> <td>mm</td> </tr> <tr> <td>8.3</td> <td>8.30</td> <td>0.016</td> <td>0.41</td> <td>19.72</td> <td>0.42</td> <td>41</td> <td>Relación L₀/D</td> <td>2</td> <td></td> </tr> <tr> <td>11.4</td> <td>11.40</td> <td>0.028</td> <td>0.71</td> <td>19.78</td> <td>0.58</td> <td>57</td> <td>Área (A₀)</td> <td>19.83</td> <td>cm²</td> </tr> <tr> <td>13.8</td> <td>13.80</td> <td>0.040</td> <td>1.02</td> <td>19.84</td> <td>0.70</td> <td>88</td> <td>Volumen</td> <td>198.35</td> <td>cm³</td> </tr> <tr> <td>16.0</td> <td>16.00</td> <td>0.054</td> <td>1.37</td> <td>19.91</td> <td>0.80</td> <td>79</td> <td colspan="3" style="text-align: center;">CONTENIDO DE HUMEDAD</td> </tr> <tr> <td>18.7</td> <td>18.70</td> <td>0.067</td> <td>1.70</td> <td>19.97</td> <td>0.94</td> <td>92</td> <td colspan="3" style="text-align: center;">Obtenida después del ensayo</td> </tr> <tr> <td>21.1</td> <td>21.10</td> <td>0.079</td> <td>2.01</td> <td>20.04</td> <td>1.05</td> <td>103</td> <td>Espécimen húmedo + Tara</td> <td>523.05</td> <td>g</td> </tr> <tr> <td>28.4</td> <td>28.40</td> <td>0.094</td> <td>2.39</td> <td>20.12</td> <td>1.31</td> <td>129</td> <td>Espécimen seco + Tara</td> <td>493.14</td> <td>g</td> </tr> <tr> <td>29.0</td> <td>29.00</td> <td>0.105</td> <td>2.67</td> <td>20.17</td> <td>1.44</td> <td>141</td> <td>Masa de Tara</td> <td>38.42</td> <td>g</td> </tr> <tr> <td>32.2</td> <td>32.20</td> <td>0.120</td> <td>3.05</td> <td>20.25</td> <td>1.59</td> <td>158</td> <td>Masa Espécimen húmedo</td> <td>464.63</td> <td>g</td> </tr> <tr> <td>30.5</td> <td>30.50</td> <td>0.133</td> <td>3.38</td> <td>20.32</td> <td>1.50</td> <td>147</td> <td>Masa Espécimen seco</td> <td>454.72</td> <td>g</td> </tr> <tr> <td>28.4</td> <td>28.36</td> <td>0.145</td> <td>3.68</td> <td>20.39</td> <td>1.39</td> <td>136</td> <td>Contenido de Humedad</td> <td>6.8</td> <td>%</td> </tr> <tr> <td colspan="9" style="text-align: center;">DENSIDAD DEL ESPÉCIMEN</td></tr> <tr> <td></td><td></td><td></td><td></td><td></td><td></td><td></td><td>Densidad Húmeda</td><td>2.47</td><td>g/cm³</td> </tr> <tr> <td></td><td></td><td></td><td></td><td></td><td></td><td></td><td>Densidad Seca</td><td>2.32</td><td>g/cm³</td> </tr> <tr> <td colspan="9" style="text-align: center;">RESISTENCIA A LA COMPRESIÓN INCONFINADA q_u</td></tr> <tr> <td></td><td></td><td></td><td></td><td></td><td></td><td></td><td style="text-align: right;">1.59 kg/cm²</td><td style="text-align: right;">156 kPa</td><td></td> </tr> <tr> <td></td><td></td><td></td><td></td><td></td><td></td><td></td><td colspan="3" style="text-align: center;">Deformación en el instante de la falla, %:</td> </tr> <tr> <td></td><td></td><td></td><td></td><td></td><td></td><td></td><td colspan="3" style="text-align: center;">3.05</td> </tr> <tr> <td></td><td></td><td></td><td></td><td></td><td></td><td></td><td>CONSISTENCIA SEGÚN q_u</td><td colspan="2" style="text-align: center;">FIRME</td> </tr> <tr> <td colspan="9" style="text-align: center;">ESQUEMA DE FALLA</td></tr> <tr> <td colspan="6">  </td><td></td><td></td><td></td> </tr> <tr> <td colspan="3" style="text-align: right;">Velocidad de Deformación: 0.5% x Min</td><td colspan="3" rowspan="2" style="text-align: right;">Deformación Max. permitida (15%): 0.59 Pig</td><td></td><td colspan="2" rowspan="2"></td> </tr> <tr> <td colspan="9" style="text-align: center;">EQUIPO UTILIZADO: PRENSA CBR DIGITAL</td> </tr> </tbody> </table>	CARGA APLICADA		DEFORMACIÓN (Pig)	DEFORMACIÓN AXIAL UNITARIA ϵ_1 (%)	ÁREA DE LA SECCIÓN TRANSVERSAL MEDIA, A (cm^2)	ESFUERZO COMPRESIVO, σ_c		CONDICIÓN DEL ESPÉCIMEN:		Kg	kgf				kg/cm ²	kPa	Inalterado <input type="checkbox"/>	Romoldeado <input checked="" type="checkbox"/>	Compactado <input checked="" type="checkbox"/>	0.0	0.00	0.000	0.00	19.83	0.00	0	Diametro, D	50	mm	2.4	2.40	0.008	0.15	19.86	0.12	12	Longitud inicial del espécimen, (L ₀)	100	mm	8.3	8.30	0.016	0.41	19.72	0.42	41	Relación L ₀ /D	2		11.4	11.40	0.028	0.71	19.78	0.58	57	Área (A ₀)	19.83	cm ²	13.8	13.80	0.040	1.02	19.84	0.70	88	Volumen	198.35	cm ³	16.0	16.00	0.054	1.37	19.91	0.80	79	CONTENIDO DE HUMEDAD			18.7	18.70	0.067	1.70	19.97	0.94	92	Obtenida después del ensayo			21.1	21.10	0.079	2.01	20.04	1.05	103	Espécimen húmedo + Tara	523.05	g	28.4	28.40	0.094	2.39	20.12	1.31	129	Espécimen seco + Tara	493.14	g	29.0	29.00	0.105	2.67	20.17	1.44	141	Masa de Tara	38.42	g	32.2	32.20	0.120	3.05	20.25	1.59	158	Masa Espécimen húmedo	464.63	g	30.5	30.50	0.133	3.38	20.32	1.50	147	Masa Espécimen seco	454.72	g	28.4	28.36	0.145	3.68	20.39	1.39	136	Contenido de Humedad	6.8	%	DENSIDAD DEL ESPÉCIMEN																Densidad Húmeda	2.47	g/cm ³								Densidad Seca	2.32	g/cm ³	RESISTENCIA A LA COMPRESIÓN INCONFINADA q_u																1.59 kg/cm²	156 kPa									Deformación en el instante de la falla, %:										3.05										CONSISTENCIA SEGÚN q_u	FIRME		ESQUEMA DE FALLA																		Velocidad de Deformación: 0.5% x Min			Deformación Max. permitida (15%): 0.59 Pig						EQUIPO UTILIZADO: PRENSA CBR DIGITAL								
CARGA APLICADA		DEFORMACIÓN (Pig)	DEFORMACIÓN AXIAL UNITARIA ϵ_1 (%)	ÁREA DE LA SECCIÓN TRANSVERSAL MEDIA, A (cm^2)	ESFUERZO COMPRESIVO, σ_c		CONDICIÓN DEL ESPÉCIMEN:																																																																																																																																																																																																																																																																
Kg	kgf				kg/cm ²	kPa	Inalterado <input type="checkbox"/>	Romoldeado <input checked="" type="checkbox"/>	Compactado <input checked="" type="checkbox"/>																																																																																																																																																																																																																																																														
0.0	0.00	0.000	0.00	19.83	0.00	0	Diametro, D	50	mm																																																																																																																																																																																																																																																														
2.4	2.40	0.008	0.15	19.86	0.12	12	Longitud inicial del espécimen, (L ₀)	100	mm																																																																																																																																																																																																																																																														
8.3	8.30	0.016	0.41	19.72	0.42	41	Relación L ₀ /D	2																																																																																																																																																																																																																																																															
11.4	11.40	0.028	0.71	19.78	0.58	57	Área (A ₀)	19.83	cm ²																																																																																																																																																																																																																																																														
13.8	13.80	0.040	1.02	19.84	0.70	88	Volumen	198.35	cm ³																																																																																																																																																																																																																																																														
16.0	16.00	0.054	1.37	19.91	0.80	79	CONTENIDO DE HUMEDAD																																																																																																																																																																																																																																																																
18.7	18.70	0.067	1.70	19.97	0.94	92	Obtenida después del ensayo																																																																																																																																																																																																																																																																
21.1	21.10	0.079	2.01	20.04	1.05	103	Espécimen húmedo + Tara	523.05	g																																																																																																																																																																																																																																																														
28.4	28.40	0.094	2.39	20.12	1.31	129	Espécimen seco + Tara	493.14	g																																																																																																																																																																																																																																																														
29.0	29.00	0.105	2.67	20.17	1.44	141	Masa de Tara	38.42	g																																																																																																																																																																																																																																																														
32.2	32.20	0.120	3.05	20.25	1.59	158	Masa Espécimen húmedo	464.63	g																																																																																																																																																																																																																																																														
30.5	30.50	0.133	3.38	20.32	1.50	147	Masa Espécimen seco	454.72	g																																																																																																																																																																																																																																																														
28.4	28.36	0.145	3.68	20.39	1.39	136	Contenido de Humedad	6.8	%																																																																																																																																																																																																																																																														
DENSIDAD DEL ESPÉCIMEN																																																																																																																																																																																																																																																																							
							Densidad Húmeda	2.47	g/cm ³																																																																																																																																																																																																																																																														
							Densidad Seca	2.32	g/cm ³																																																																																																																																																																																																																																																														
RESISTENCIA A LA COMPRESIÓN INCONFINADA q_u																																																																																																																																																																																																																																																																							
							1.59 kg/cm²	156 kPa																																																																																																																																																																																																																																																															
							Deformación en el instante de la falla, %:																																																																																																																																																																																																																																																																
							3.05																																																																																																																																																																																																																																																																
							CONSISTENCIA SEGÚN q_u	FIRME																																																																																																																																																																																																																																																															
ESQUEMA DE FALLA																																																																																																																																																																																																																																																																							
																																																																																																																																																																																																																																																																							
Velocidad de Deformación: 0.5% x Min			Deformación Max. permitida (15%): 0.59 Pig																																																																																																																																																																																																																																																																				
EQUIPO UTILIZADO: PRENSA CBR DIGITAL																																																																																																																																																																																																																																																																							



AQUINO GARCIA KEVIN JHOEL
TEC. LABORATORISTA DE SUELOS,
CONCRETO Y PAVIMENTOS

Ing. Samuel Juanito Falcon Pardave
 Ingeniero Civil
 Reg. CIP. N° 218968

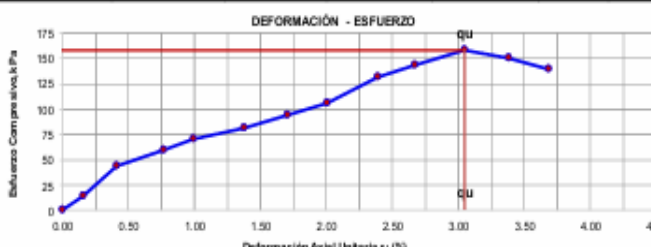
M-3 Suelo arcilloso con adición 15% de la ceniza de tara.

The logo for the state of Montana features a stylized sun rising over a range of mountains, with a winding river or path leading towards the horizon.

AQUINO GARCIA KEVIN JHOEL
TEC. LABORATORISTA DE SUELOS,
CONCRETO Y PAVIMENTOS

Soler
Ing. Samuel Juanito Falcon Pardave
Ingeniero Civil
Reg. CIP. N° 218968

M-4 Suelo arcilloso con adición 15% de la ceniza de tara.

		INFORME DE ENSAYO										
		MÉTODO DE ENSAYO ESTÁNDAR PARA LA RESISTENCIA A LA COMPRESIÓN NO CONFINADA DE SUELOS COHESIVOS										
ASTM D 2166 / NTP 339.167 / MTC E 121												
NOMBRE DEL CLIENTE :		BACH. VEGA BAZÁN, MERLYN MERCEDES				FECHA DE ENSAYO :		21/05/2025				
ESTUDIO / PROYECTO:		INFLUENCIA DE LA CENIZA DE CÁSCARA DE TARA (CAESALPINIA TINTOREA) COMO ALTERNATIVA PARA EL MEJORAMIENTO DE LA CAPACIDAD PORTANTE DE LA SUBRASANTE DE SUELLO ARCILLOSO, JR. LOS CEDROS AMARILIS - HUÁNUCO - 2024										
LOCALIZACIÓN:		JR. LOS CEDROS AMARILIS - HUÁNUCO - 2024				MUESTRA:		M-4				
DESCRIPCIÓN:		PESO DEL 15% DE LA CENIZA DE CÁSCARA DE TARA RESPECTO AL PESO SECO DE LA MUESTRA.				PROFUNDIDAD:		1.50 m				
CARGA APLICADA		DEFORMACIÓN (Pig)	DEFORMACIÓN AXIAL UNITARIA E_1 (%)	ÁREA DE LA SECCIÓN TRANSVERSAL MEDIA, A (cm^2)	ESFUERZO COMPRESIVO, σ_c		CONDICIÓN DEL ESPÉCIMEN:					
					kg/cm ²	kPa	Inalterado <input type="checkbox"/>	Ramificado <input checked="" type="checkbox"/>	Compactado <input checked="" type="checkbox"/>			
Kg	kgf						Diametro, D	50	mm			
0.0	0.00	0.000	0.00	19.83	0.00	0	Longitud inicial del espécimen, (L ₀)	100	mm			
2.9	2.92	0.006	0.15	19.86	0.15	15	Relación L ₀ /D	2				
8.8	8.82	0.016	0.41	19.72	0.45	44	Área (A _c)	19.83	cm ²			
11.9	11.92	0.030	0.76	19.79	0.60	59	Volumen	198.35	cm ³			
14.3	14.32	0.059	0.99	19.83	0.72	71						
16.5	16.52	0.054	1.37	19.91	0.83	81	CONTENIDO DE HUMEDAD					
19.2	19.22	0.067	1.70	19.97	0.96	94	Obtenida después del ensayo					
21.6	21.62	0.079	2.01	20.04	1.08	106	Especímen húmedo + Tara	523.9	g			
26.9	26.92	0.094	2.39	20.12	1.34	131	Especímen seco + Tara	494.5	g			
29.5	29.52	0.105	2.67	20.17	1.48	144	Masa de Tara	38.43	g			
32.7	32.72	0.120	3.05	20.25	1.62	158	Masa Espécimen húmedo	485.47	g			
31.0	31.02	0.133	3.38	20.32	1.53	150	Masa Espécimen seco	456.07	g			
28.9	28.88	0.145	3.68	20.39	1.42	139	Contenido de Humedad	6.4	%			
										DENSIDAD DEL ESPÉCIMEN		
										Densidad Húmeda	2.47	g/cm ³
										Densidad Seca	2.32	g/cm ³
										RESISTENCIA A LA COMPRESIÓN INCONFINADA q_u		
										1.62 kg/cm ²	158	kPa
										Deformación en el instante de la falla, %: 3.05		
										CONSISTENCIA SEGÚN q_u : FIRME		
										ESQUEMA DE FALLA		
										 		
										Velocidad de Deformación: 0.5% x Min	Deformación Máx. permitida (15%): 0.59 Pig	
										EQUIPO UTILIZADO: PRENSA CBR DIGITAL		

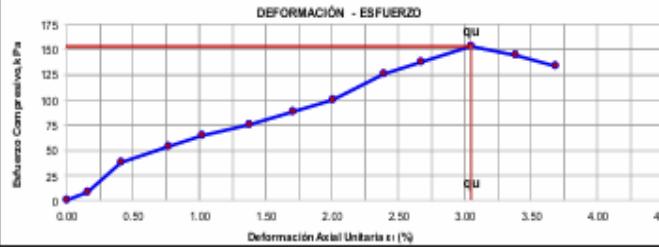
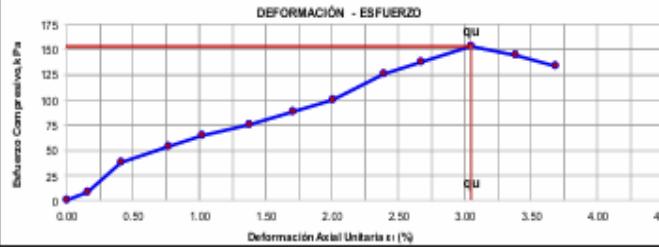
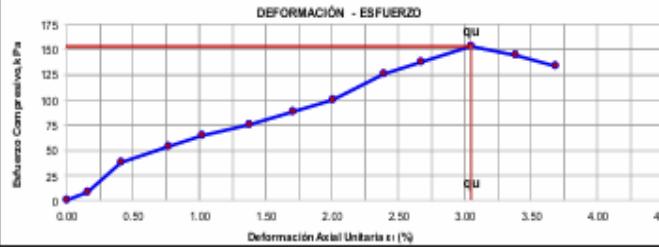


AQUINO GARCIA KEVIN JHOEL
TEC. LABORATORISTA DE SUELOS,
CONCRETO Y PAVIMENTOS




Ing. Samuel Juanito Falcon Paredes
Ingeniero Civil
Reg. CIP. N° 218968

M-5 Suelo arcilloso con adición 15% de la ceniza de tara.

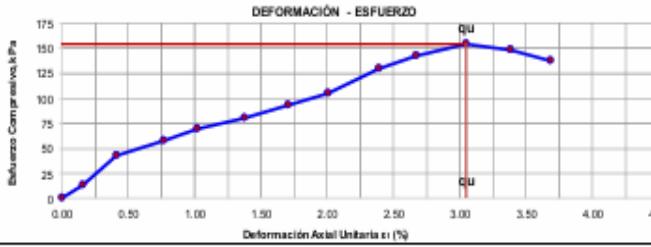
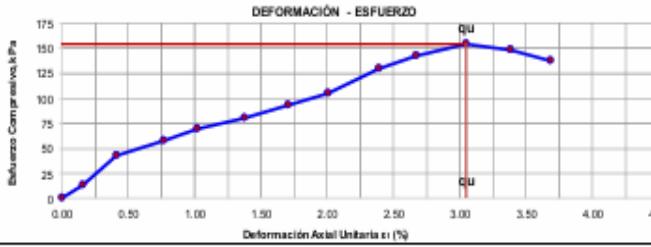
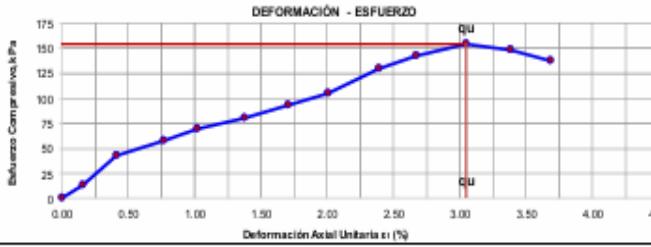
 MONTAÑA		INFORME DE ENSAYO																																																																																																																																																																																																																																																																																																																			
		MÉTODO DE ENSAYO ESTÁNDAR PARA LA RESISTENCIA A LA COMPRESIÓN NO CONFINADA DE SUELOS COHESIVOS																																																																																																																																																																																																																																																																																																																			
ASTM D 2166 / NTP 339.167 / MTC E 121																																																																																																																																																																																																																																																																																																																					
NOMBRE DEL CLIENTE :		BACH. VEGA BAZÁN, MERLYN MERCEDES						FECHA DE ENSAYO :	21/05/2025																																																																																																																																																																																																																																																																																																												
ESTUDIO / PROYECTO:		INFLUENCIA DE LA CENIZA DE CÁSCARA DE TARA (CAESALPINIA TINCTORIA) COMO ALTERNATIVA PARA EL MEJORAMIENTO DE LA CAPACIDAD PORTANTE DE LA SUBRASANTE DE SUELO ARCILLOSO, JR. LOS CEDROS AMARILIS – HUÁNUCO - 2024																																																																																																																																																																																																																																																																																																																			
LOCALIZACIÓN:		JR. LOS CEDROS AMARILIS – HUÁNUCO - 2024						MUESTRA:	M-5																																																																																																																																																																																																																																																																																																												
DESCRIPCIÓN:		PESO DEL 15% DE LA CENIZA DE CÁSCARA DE TARA RESPECTO AL PESO SECO DE LA MUESTRA.						PROFUNDIDAD:	1.50 m																																																																																																																																																																																																																																																																																																												
<table border="1" style="width: 100%; border-collapse: collapse;"> <thead> <tr> <th colspan="2" style="background-color: #d9e1f2;">CARGA APLICADA</th> <th rowspan="2">DEFORMACIÓN (Pig)</th> <th rowspan="2">DEFORMACIÓN AXIAL UNITARIA ϵ_1 (%)</th> <th rowspan="2">ÁREA DE LA SECCIÓN TRANSVERSAL MEDIA, A (cm^2)</th> <th colspan="2">ESFUERZO COMPRESIVO, σ_c</th> <th colspan="3">CONDICIÓN DEL ESPÉCIMEN:</th> </tr> <tr> <th>Kg</th> <th>kgf</th> <th>kg/cm²</th> <th>kPa</th> <th>Inalterado</th> <th>Ramoldeado</th> <th>Compactado</th> </tr> </thead> <tbody> <tr> <td>0.0</td> <td>0.00</td> <td>0.000</td> <td>0.00</td> <td>19.83</td> <td>0.00</td> <td>0</td> <td>Diametro, D</td> <td>50</td> <td>mm</td> </tr> <tr> <td>1.7</td> <td>1.72</td> <td>0.006</td> <td>0.15</td> <td>19.86</td> <td>0.09</td> <td>9</td> <td>Longitud inicial del espécimen, (L₀)</td> <td>100</td> <td>mm</td> </tr> <tr> <td>7.8</td> <td>7.62</td> <td>0.016</td> <td>0.41</td> <td>19.72</td> <td>0.39</td> <td>38</td> <td>Relación L₀/D</td> <td>2</td> <td></td> </tr> <tr> <td>10.7</td> <td>10.72</td> <td>0.030</td> <td>0.78</td> <td>19.79</td> <td>0.54</td> <td>53</td> <td>Área (A₀)</td> <td>19.83</td> <td>cm²</td> </tr> <tr> <td>15.1</td> <td>15.12</td> <td>0.040</td> <td>1.02</td> <td>19.84</td> <td>0.68</td> <td>65</td> <td>Volumen</td> <td>198.35</td> <td>cm³</td> </tr> <tr> <td>15.3</td> <td>15.32</td> <td>0.054</td> <td>1.37</td> <td>19.91</td> <td>0.77</td> <td>75</td> <td colspan="3" style="background-color: #d9e1f2;">CONTENIDO DE HUMEDAD</td></tr> <tr> <td>16.0</td> <td>18.02</td> <td>0.067</td> <td>1.70</td> <td>19.97</td> <td>0.90</td> <td>88</td> <td colspan="3">Obtenida después del ensayo</td></tr> <tr> <td>20.4</td> <td>20.42</td> <td>0.079</td> <td>2.01</td> <td>20.04</td> <td>1.02</td> <td>100</td> <td>Espécimen húmedo + Tara</td> <td>521.8</td> <td>g</td> </tr> <tr> <td>25.7</td> <td>25.72</td> <td>0.094</td> <td>2.39</td> <td>20.12</td> <td>1.28</td> <td>125</td> <td>Espécimen seco + Tara</td> <td>491.7</td> <td>g</td> </tr> <tr> <td>28.3</td> <td>28.32</td> <td>0.106</td> <td>2.67</td> <td>20.17</td> <td>1.40</td> <td>138</td> <td>Masa de Tara</td> <td>38.42</td> <td>g</td> </tr> <tr> <td>31.5</td> <td>31.52</td> <td>0.120</td> <td>3.05</td> <td>20.25</td> <td>1.56</td> <td>153</td> <td>Masa Espécimen húmedo</td> <td>483.38</td> <td>g</td> </tr> <tr> <td>29.8</td> <td>29.82</td> <td>0.133</td> <td>3.38</td> <td>20.32</td> <td>1.47</td> <td>144</td> <td>Masa Espécimen seco</td> <td>453.28</td> <td>g</td> </tr> <tr> <td>27.7</td> <td>27.72</td> <td>0.145</td> <td>3.68</td> <td>20.39</td> <td>1.36</td> <td>133</td> <td>Contenido de Humedad</td> <td>8.8</td> <td>%</td> </tr> <tr> <td colspan="10" style="background-color: #d9e1f2;">DENSIDAD DEL ESPÉCIMEN</td></tr> <tr> <td colspan="10">Densidad Húmeda</td></tr> <tr> <td colspan="10">2.46 g/cm³</td></tr> <tr> <td colspan="10">Densidad Seca</td></tr> <tr> <td colspan="10">2.31 g/cm³</td></tr> <tr> <td colspan="10" style="background-color: #d9e1f2;">RESISTENCIA A LA COMPRESIÓN INCONFINADA q_u</td></tr> <tr> <td colspan="10">1.56 kg/cm²</td></tr> <tr> <td colspan="10">153 kPa</td></tr> <tr> <td colspan="10">Deformación en el instante de la falla, %:</td></tr> <tr> <td colspan="10">3.05</td></tr> <tr> <td colspan="10" style="background-color: #d9e1f2;">CONSISTENCIA SEGÚN q_u</td></tr> <tr> <td colspan="10">FIRME</td></tr> <tr> <td colspan="10" style="background-color: #d9e1f2;">ESQUEMA DE FALLA</td></tr> <tr> <td colspan="10">  </td></tr> <tr> <td colspan="10"> <table border="1" style="width: 100%; border-collapse: collapse;"> <tr> <td>Velocidad de Deformación: 0.5% x Min</td> <td>Deformación Max permitida (15%): 0.59 Pig</td> </tr> </table> </td></tr> <tr> <td colspan="10">EQUIPO UTILIZADO: PRENSA CBR DIGITAL</td></tr> </tbody> </table>	CARGA APLICADA		DEFORMACIÓN (Pig)	DEFORMACIÓN AXIAL UNITARIA ϵ_1 (%)	ÁREA DE LA SECCIÓN TRANSVERSAL MEDIA, A (cm^2)	ESFUERZO COMPRESIVO, σ_c		CONDICIÓN DEL ESPÉCIMEN:			Kg	kgf	kg/cm ²	kPa	Inalterado	Ramoldeado	Compactado	0.0	0.00	0.000	0.00	19.83	0.00	0	Diametro, D	50	mm	1.7	1.72	0.006	0.15	19.86	0.09	9	Longitud inicial del espécimen, (L ₀)	100	mm	7.8	7.62	0.016	0.41	19.72	0.39	38	Relación L ₀ /D	2		10.7	10.72	0.030	0.78	19.79	0.54	53	Área (A ₀)	19.83	cm ²	15.1	15.12	0.040	1.02	19.84	0.68	65	Volumen	198.35	cm ³	15.3	15.32	0.054	1.37	19.91	0.77	75	CONTENIDO DE HUMEDAD			16.0	18.02	0.067	1.70	19.97	0.90	88	Obtenida después del ensayo			20.4	20.42	0.079	2.01	20.04	1.02	100	Espécimen húmedo + Tara	521.8	g	25.7	25.72	0.094	2.39	20.12	1.28	125	Espécimen seco + Tara	491.7	g	28.3	28.32	0.106	2.67	20.17	1.40	138	Masa de Tara	38.42	g	31.5	31.52	0.120	3.05	20.25	1.56	153	Masa Espécimen húmedo	483.38	g	29.8	29.82	0.133	3.38	20.32	1.47	144	Masa Espécimen seco	453.28	g	27.7	27.72	0.145	3.68	20.39	1.36	133	Contenido de Humedad	8.8	%	DENSIDAD DEL ESPÉCIMEN										Densidad Húmeda										2.46 g/cm ³										Densidad Seca										2.31 g/cm ³										RESISTENCIA A LA COMPRESIÓN INCONFINADA q_u										1.56 kg/cm ²										153 kPa										Deformación en el instante de la falla, %:										3.05										CONSISTENCIA SEGÚN q_u										FIRME										ESQUEMA DE FALLA																				<table border="1" style="width: 100%; border-collapse: collapse;"> <tr> <td>Velocidad de Deformación: 0.5% x Min</td> <td>Deformación Max permitida (15%): 0.59 Pig</td> </tr> </table>										Velocidad de Deformación: 0.5% x Min	Deformación Max permitida (15%): 0.59 Pig	EQUIPO UTILIZADO: PRENSA CBR DIGITAL									
CARGA APLICADA		DEFORMACIÓN (Pig)				DEFORMACIÓN AXIAL UNITARIA ϵ_1 (%)	ÁREA DE LA SECCIÓN TRANSVERSAL MEDIA, A (cm^2)	ESFUERZO COMPRESIVO, σ_c		CONDICIÓN DEL ESPÉCIMEN:																																																																																																																																																																																																																																																																																																											
Kg	kgf		kg/cm ²	kPa	Inalterado			Ramoldeado	Compactado																																																																																																																																																																																																																																																																																																												
0.0	0.00	0.000	0.00	19.83	0.00	0	Diametro, D	50	mm																																																																																																																																																																																																																																																																																																												
1.7	1.72	0.006	0.15	19.86	0.09	9	Longitud inicial del espécimen, (L ₀)	100	mm																																																																																																																																																																																																																																																																																																												
7.8	7.62	0.016	0.41	19.72	0.39	38	Relación L ₀ /D	2																																																																																																																																																																																																																																																																																																													
10.7	10.72	0.030	0.78	19.79	0.54	53	Área (A ₀)	19.83	cm ²																																																																																																																																																																																																																																																																																																												
15.1	15.12	0.040	1.02	19.84	0.68	65	Volumen	198.35	cm ³																																																																																																																																																																																																																																																																																																												
15.3	15.32	0.054	1.37	19.91	0.77	75	CONTENIDO DE HUMEDAD																																																																																																																																																																																																																																																																																																														
16.0	18.02	0.067	1.70	19.97	0.90	88	Obtenida después del ensayo																																																																																																																																																																																																																																																																																																														
20.4	20.42	0.079	2.01	20.04	1.02	100	Espécimen húmedo + Tara	521.8	g																																																																																																																																																																																																																																																																																																												
25.7	25.72	0.094	2.39	20.12	1.28	125	Espécimen seco + Tara	491.7	g																																																																																																																																																																																																																																																																																																												
28.3	28.32	0.106	2.67	20.17	1.40	138	Masa de Tara	38.42	g																																																																																																																																																																																																																																																																																																												
31.5	31.52	0.120	3.05	20.25	1.56	153	Masa Espécimen húmedo	483.38	g																																																																																																																																																																																																																																																																																																												
29.8	29.82	0.133	3.38	20.32	1.47	144	Masa Espécimen seco	453.28	g																																																																																																																																																																																																																																																																																																												
27.7	27.72	0.145	3.68	20.39	1.36	133	Contenido de Humedad	8.8	%																																																																																																																																																																																																																																																																																																												
DENSIDAD DEL ESPÉCIMEN																																																																																																																																																																																																																																																																																																																					
Densidad Húmeda																																																																																																																																																																																																																																																																																																																					
2.46 g/cm ³																																																																																																																																																																																																																																																																																																																					
Densidad Seca																																																																																																																																																																																																																																																																																																																					
2.31 g/cm ³																																																																																																																																																																																																																																																																																																																					
RESISTENCIA A LA COMPRESIÓN INCONFINADA q_u																																																																																																																																																																																																																																																																																																																					
1.56 kg/cm ²																																																																																																																																																																																																																																																																																																																					
153 kPa																																																																																																																																																																																																																																																																																																																					
Deformación en el instante de la falla, %:																																																																																																																																																																																																																																																																																																																					
3.05																																																																																																																																																																																																																																																																																																																					
CONSISTENCIA SEGÚN q_u																																																																																																																																																																																																																																																																																																																					
FIRME																																																																																																																																																																																																																																																																																																																					
ESQUEMA DE FALLA																																																																																																																																																																																																																																																																																																																					
																																																																																																																																																																																																																																																																																																																					
<table border="1" style="width: 100%; border-collapse: collapse;"> <tr> <td>Velocidad de Deformación: 0.5% x Min</td> <td>Deformación Max permitida (15%): 0.59 Pig</td> </tr> </table>										Velocidad de Deformación: 0.5% x Min	Deformación Max permitida (15%): 0.59 Pig																																																																																																																																																																																																																																																																																																										
Velocidad de Deformación: 0.5% x Min	Deformación Max permitida (15%): 0.59 Pig																																																																																																																																																																																																																																																																																																																				
EQUIPO UTILIZADO: PRENSA CBR DIGITAL																																																																																																																																																																																																																																																																																																																					



AQUINO GARCIA KEVIN JHOEL
TEC. LABORATORISTA DE SUELOS,
CONCRETO Y PAVIMENTOS


Ing. Samuel Juanito Falcon Pardave
 Ingeniero Civil
 Reg. CIP. N° 218968

M-6 Suelo arcilloso con adición 15% de la ceniza de tara.

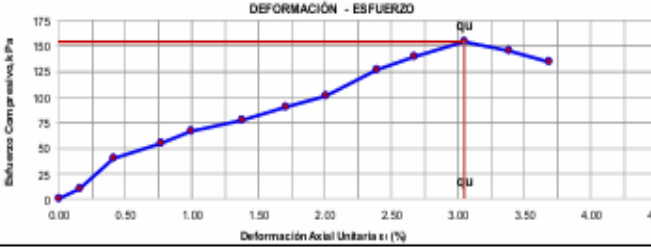
 MONTAÑA		INFORME DE ENSAYO																																																																																																																																																																																																																																																																			
		MÉTODO DE ENSAYO ESTÁNDAR PARA LA RESISTENCIA A LA COMPRESIÓN NO CONFINADA DE SUELOS COHESIVOS																																																																																																																																																																																																																																																																			
		ASTM D 2166 / NTP 339.167 / MTC E 121																																																																																																																																																																																																																																																																			
NOMBRE DEL CLIENTE :		BACH. VEGA BAZÁN, MERLYN MERCEDES					FECHA DE ENSAYO :																																																																																																																																																																																																																																																														
ESTUDIO / PROYECTO:		INFLUENCIA DE LA CENIZA DE CÁSCARA DE TARA (CAESALPINIA TINCTOREA) COMO ALTERNATIVA PARA EL MEJORAMIENTO DE LA CAPACIDAD PORTANTE DE LA SUBRASANTE DE SUELO ARCILLOSO, JR. LOS CEDROS AMARILIS – HUÁNUCO - 2024																																																																																																																																																																																																																																																																			
LOCALIZACIÓN:		JR. LOS CEDROS AMARILIS – HUÁNUCO - 2024					MUESTRA:	M-6																																																																																																																																																																																																																																																													
DESCRIPCIÓN:		PESO DEL 15% DE LA CENIZA DE CÁSCARA DE TARA RESPECTO AL PESO SECO DE LA MUESTRA.					PROFUNDIDAD:	1.50 m																																																																																																																																																																																																																																																													
		<table border="1"> <thead> <tr> <th colspan="2">CARGA APLICADA</th> <th>DEFORMACIÓN (Pig)</th> <th>DEFORMACIÓN AXIAL UNITARIA ϵ_1 (%)</th> <th>ÁREA DE LA SECCIÓN TRANSVERSAL MEDIA, A (cm^2)</th> <th colspan="2">ESFUERZO COMPRESIVO, σ_c</th> <th colspan="2">CONDICIÓN DEL ESPECIMEN:</th> </tr> <tr> <th>Kg</th> <th>kgf</th> <th></th> <th></th> <th></th> <th>kg/cm²</th> <th>kPa</th> <th>Inalterado <input type="checkbox"/></th> <th>Ramoldeado <input checked="" type="checkbox"/></th> <th>Compactado <input checked="" type="checkbox"/></th> </tr> </thead> <tbody> <tr> <td>0.0</td> <td>0.00</td> <td>0.000</td> <td>0.00</td> <td>19.63</td> <td>0.00</td> <td>0</td> <td>Diametro, D</td> <td>50</td> <td>mm</td> </tr> <tr> <td>2.8</td> <td>2.82</td> <td>0.006</td> <td>0.15</td> <td>19.66</td> <td>0.13</td> <td>13</td> <td>Largitud inicial del espécimen, (L₀)</td> <td>100</td> <td>mm</td> </tr> <tr> <td>8.5</td> <td>8.52</td> <td>0.016</td> <td>0.41</td> <td>19.72</td> <td>0.43</td> <td>42</td> <td>Relación L₀/D</td> <td>2</td> <td></td> </tr> <tr> <td>11.8</td> <td>11.62</td> <td>0.030</td> <td>0.76</td> <td>19.79</td> <td>0.59</td> <td>58</td> <td>Área (A₀)</td> <td>19.63</td> <td>cm²</td> </tr> <tr> <td>14.0</td> <td>14.02</td> <td>0.040</td> <td>1.02</td> <td>19.84</td> <td>0.71</td> <td>89</td> <td>Volumen</td> <td>196.35</td> <td>cm³</td> </tr> <tr> <td>16.2</td> <td>16.22</td> <td>0.054</td> <td>1.37</td> <td>19.91</td> <td>0.81</td> <td>100</td> <td colspan="3">CONTENIDO DE HUMEDAD</td> </tr> <tr> <td>18.9</td> <td>18.92</td> <td>0.067</td> <td>1.70</td> <td>19.97</td> <td>0.96</td> <td>133</td> <td colspan="3">Obtenida después del ensayo</td> </tr> <tr> <td>21.3</td> <td>21.32</td> <td>0.079</td> <td>2.01</td> <td>20.04</td> <td>1.06</td> <td>104</td> <td>Especímen húmedo + Tara</td> <td>522.7</td> <td>g</td> </tr> <tr> <td>26.6</td> <td>26.62</td> <td>0.094</td> <td>2.39</td> <td>20.12</td> <td>1.32</td> <td>130</td> <td>Especímen seco + Tara</td> <td>493.8</td> <td>g</td> </tr> <tr> <td>29.2</td> <td>29.22</td> <td>0.105</td> <td>2.67</td> <td>20.17</td> <td>1.45</td> <td>142</td> <td>Masa de Tara</td> <td>38.47</td> <td>g</td> </tr> <tr> <td>31.8</td> <td>31.80</td> <td>0.120</td> <td>3.05</td> <td>20.25</td> <td>1.57</td> <td>154</td> <td>Masa Espécimen húmedo</td> <td>484.23</td> <td>g</td> </tr> <tr> <td>30.7</td> <td>30.72</td> <td>0.133</td> <td>3.38</td> <td>20.32</td> <td>1.51</td> <td>148</td> <td>Masa Espécimen seco</td> <td>455.13</td> <td>g</td> </tr> <tr> <td>28.6</td> <td>28.58</td> <td>0.145</td> <td>3.68</td> <td>20.39</td> <td>1.40</td> <td>137</td> <td>Contenido de Humedad</td> <td>6.4</td> <td>%</td> </tr> <tr> <td colspan="2"></td><td colspan="7">DENSIDAD DEL ESPECIMEN</td></tr> <tr> <td colspan="2"></td><td colspan="7"> <table border="1"> <tr> <td>Densidad Húmeda</td> <td>2.47</td> <td>g/cm³</td> </tr> <tr> <td>Densidad Seca</td> <td>2.32</td> <td>g/cm³</td> </tr> </table> </td></tr> <tr> <td colspan="2"></td><td colspan="7">RESISTENCIA A LA COMPRESIÓN INCONFINADA q_u</td></tr> <tr> <td colspan="2"></td><td colspan="7"> <table border="1"> <tr> <td>1.57 kg/cm²</td> <td>154</td> <td>kPa</td> </tr> </table> </td></tr> <tr> <td colspan="2"></td><td colspan="7">Deformación en el instante de la falla, %:</td></tr> <tr> <td colspan="2"></td><td colspan="7">CONSISTENCIA SEGÚN q_u</td></tr> <tr> <td colspan="2"></td><td colspan="7">FIRME</td></tr> <tr> <td colspan="2"></td><td colspan="7">ESQUEMA DE FALLA</td></tr> <tr> <td colspan="2"></td><td colspan="7">  </td></tr> <tr> <td colspan="2"></td><td colspan="7"> <table border="1"> <tr> <td>Velocidad de Deformación: 0.5% a Min</td> <td>Deformación Max. permitida (15%): 0.59 Pig</td> </tr> </table> </td></tr> <tr> <td colspan="2"></td><td colspan="7">EQUIPO UTILIZADO: PRENSA CBR DIGITAL.</td></tr> </tbody> </table>	CARGA APLICADA		DEFORMACIÓN (Pig)	DEFORMACIÓN AXIAL UNITARIA ϵ_1 (%)	ÁREA DE LA SECCIÓN TRANSVERSAL MEDIA, A (cm^2)	ESFUERZO COMPRESIVO, σ_c		CONDICIÓN DEL ESPECIMEN:		Kg	kgf				kg/cm ²	kPa	Inalterado <input type="checkbox"/>	Ramoldeado <input checked="" type="checkbox"/>	Compactado <input checked="" type="checkbox"/>	0.0	0.00	0.000	0.00	19.63	0.00	0	Diametro, D	50	mm	2.8	2.82	0.006	0.15	19.66	0.13	13	Largitud inicial del espécimen, (L ₀)	100	mm	8.5	8.52	0.016	0.41	19.72	0.43	42	Relación L ₀ /D	2		11.8	11.62	0.030	0.76	19.79	0.59	58	Área (A ₀)	19.63	cm ²	14.0	14.02	0.040	1.02	19.84	0.71	89	Volumen	196.35	cm ³	16.2	16.22	0.054	1.37	19.91	0.81	100	CONTENIDO DE HUMEDAD			18.9	18.92	0.067	1.70	19.97	0.96	133	Obtenida después del ensayo			21.3	21.32	0.079	2.01	20.04	1.06	104	Especímen húmedo + Tara	522.7	g	26.6	26.62	0.094	2.39	20.12	1.32	130	Especímen seco + Tara	493.8	g	29.2	29.22	0.105	2.67	20.17	1.45	142	Masa de Tara	38.47	g	31.8	31.80	0.120	3.05	20.25	1.57	154	Masa Espécimen húmedo	484.23	g	30.7	30.72	0.133	3.38	20.32	1.51	148	Masa Espécimen seco	455.13	g	28.6	28.58	0.145	3.68	20.39	1.40	137	Contenido de Humedad	6.4	%			DENSIDAD DEL ESPECIMEN									<table border="1"> <tr> <td>Densidad Húmeda</td> <td>2.47</td> <td>g/cm³</td> </tr> <tr> <td>Densidad Seca</td> <td>2.32</td> <td>g/cm³</td> </tr> </table>							Densidad Húmeda	2.47	g/cm ³	Densidad Seca	2.32	g/cm ³			RESISTENCIA A LA COMPRESIÓN INCONFINADA q_u									<table border="1"> <tr> <td>1.57 kg/cm²</td> <td>154</td> <td>kPa</td> </tr> </table>							1.57 kg/cm ²	154	kPa			Deformación en el instante de la falla, %:									CONSISTENCIA SEGÚN q_u									FIRME									ESQUEMA DE FALLA																		<table border="1"> <tr> <td>Velocidad de Deformación: 0.5% a Min</td> <td>Deformación Max. permitida (15%): 0.59 Pig</td> </tr> </table>							Velocidad de Deformación: 0.5% a Min	Deformación Max. permitida (15%): 0.59 Pig			EQUIPO UTILIZADO: PRENSA CBR DIGITAL.						
CARGA APLICADA		DEFORMACIÓN (Pig)	DEFORMACIÓN AXIAL UNITARIA ϵ_1 (%)	ÁREA DE LA SECCIÓN TRANSVERSAL MEDIA, A (cm^2)	ESFUERZO COMPRESIVO, σ_c		CONDICIÓN DEL ESPECIMEN:																																																																																																																																																																																																																																																														
Kg	kgf				kg/cm ²	kPa	Inalterado <input type="checkbox"/>	Ramoldeado <input checked="" type="checkbox"/>	Compactado <input checked="" type="checkbox"/>																																																																																																																																																																																																																																																												
0.0	0.00	0.000	0.00	19.63	0.00	0	Diametro, D	50	mm																																																																																																																																																																																																																																																												
2.8	2.82	0.006	0.15	19.66	0.13	13	Largitud inicial del espécimen, (L ₀)	100	mm																																																																																																																																																																																																																																																												
8.5	8.52	0.016	0.41	19.72	0.43	42	Relación L ₀ /D	2																																																																																																																																																																																																																																																													
11.8	11.62	0.030	0.76	19.79	0.59	58	Área (A ₀)	19.63	cm ²																																																																																																																																																																																																																																																												
14.0	14.02	0.040	1.02	19.84	0.71	89	Volumen	196.35	cm ³																																																																																																																																																																																																																																																												
16.2	16.22	0.054	1.37	19.91	0.81	100	CONTENIDO DE HUMEDAD																																																																																																																																																																																																																																																														
18.9	18.92	0.067	1.70	19.97	0.96	133	Obtenida después del ensayo																																																																																																																																																																																																																																																														
21.3	21.32	0.079	2.01	20.04	1.06	104	Especímen húmedo + Tara	522.7	g																																																																																																																																																																																																																																																												
26.6	26.62	0.094	2.39	20.12	1.32	130	Especímen seco + Tara	493.8	g																																																																																																																																																																																																																																																												
29.2	29.22	0.105	2.67	20.17	1.45	142	Masa de Tara	38.47	g																																																																																																																																																																																																																																																												
31.8	31.80	0.120	3.05	20.25	1.57	154	Masa Espécimen húmedo	484.23	g																																																																																																																																																																																																																																																												
30.7	30.72	0.133	3.38	20.32	1.51	148	Masa Espécimen seco	455.13	g																																																																																																																																																																																																																																																												
28.6	28.58	0.145	3.68	20.39	1.40	137	Contenido de Humedad	6.4	%																																																																																																																																																																																																																																																												
		DENSIDAD DEL ESPECIMEN																																																																																																																																																																																																																																																																			
		<table border="1"> <tr> <td>Densidad Húmeda</td> <td>2.47</td> <td>g/cm³</td> </tr> <tr> <td>Densidad Seca</td> <td>2.32</td> <td>g/cm³</td> </tr> </table>							Densidad Húmeda	2.47	g/cm ³	Densidad Seca	2.32	g/cm ³																																																																																																																																																																																																																																																							
Densidad Húmeda	2.47	g/cm ³																																																																																																																																																																																																																																																																			
Densidad Seca	2.32	g/cm ³																																																																																																																																																																																																																																																																			
		RESISTENCIA A LA COMPRESIÓN INCONFINADA q_u																																																																																																																																																																																																																																																																			
		<table border="1"> <tr> <td>1.57 kg/cm²</td> <td>154</td> <td>kPa</td> </tr> </table>							1.57 kg/cm ²	154	kPa																																																																																																																																																																																																																																																										
1.57 kg/cm ²	154	kPa																																																																																																																																																																																																																																																																			
		Deformación en el instante de la falla, %:																																																																																																																																																																																																																																																																			
		CONSISTENCIA SEGÚN q_u																																																																																																																																																																																																																																																																			
		FIRME																																																																																																																																																																																																																																																																			
		ESQUEMA DE FALLA																																																																																																																																																																																																																																																																			
																																																																																																																																																																																																																																																																					
		<table border="1"> <tr> <td>Velocidad de Deformación: 0.5% a Min</td> <td>Deformación Max. permitida (15%): 0.59 Pig</td> </tr> </table>							Velocidad de Deformación: 0.5% a Min	Deformación Max. permitida (15%): 0.59 Pig																																																																																																																																																																																																																																																											
Velocidad de Deformación: 0.5% a Min	Deformación Max. permitida (15%): 0.59 Pig																																																																																																																																																																																																																																																																				
		EQUIPO UTILIZADO: PRENSA CBR DIGITAL.																																																																																																																																																																																																																																																																			



AQUINO GARCIA KEVIN JHOEL
TEC. LABORATORISTA DE SUELOS,
CONCRETO Y PAVIMENTOS


Ing. Samuel Juanito Falcon Pardave
Ingeniero Civil
Reg. CIP. N° 218968

M-7 Suelo arcilloso con adición 15% de la ceniza de tara.

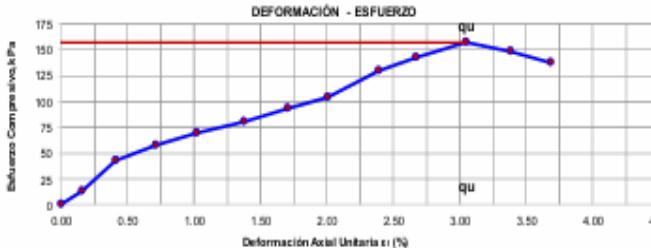
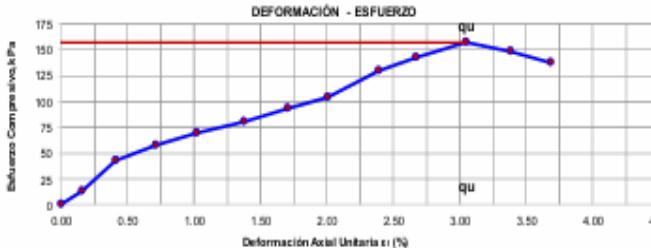
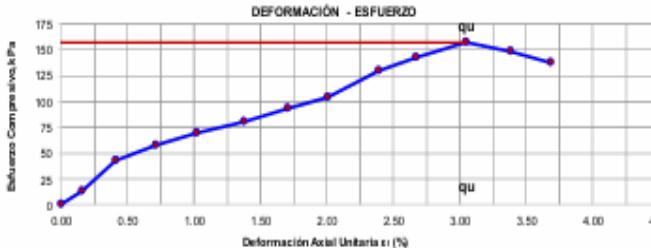
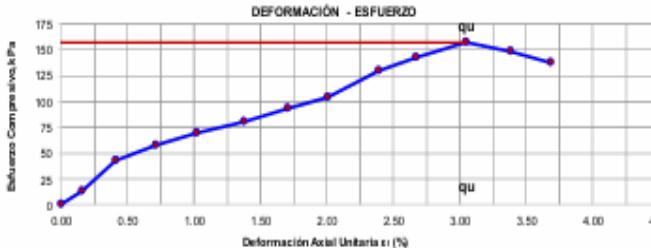
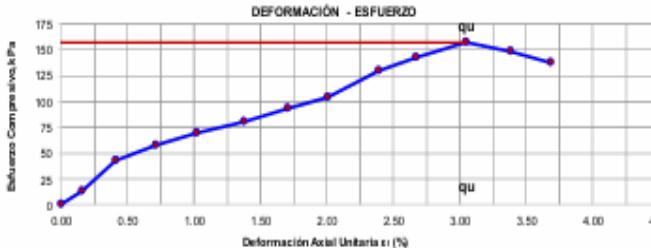
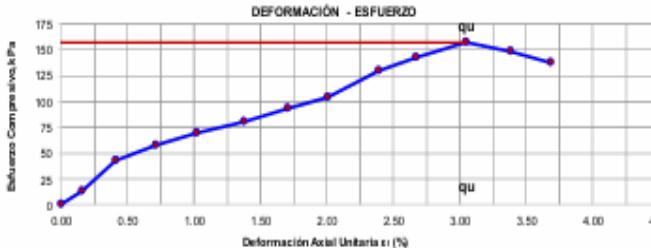
 MONTAÑA		INFORME DE ENSAYO						
		MÉTODO DE ENSAYO ESTÁNDAR PARA LA RESISTENCIA A LA COMPRESIÓN NO CONFINADA DE SUELOS COHESIVOS						
		ASTM D 2166 / NTP 339.167 / MTC E 121						
NOMBRE DEL CLIENTE :		BACH. VEGA BAZÁN, MERLYN MERCEDES			FECHA DE ENSAYO :		21/05/2025	
ESTUDIO / PROYECTO:		INFLUENCIA DE LA CENIZA DE CÁSCARA DE TARA (CAESALPINIA TINTOREA) COMO ALTERNATIVA PARA EL MEJORAMIENTO DE LA CAPACIDAD PORTANTE DE LA SUBASANTE DE SUELO ARCILLOSO, JR. LOS CEDROS AMARILIS – HUÁNUCO - 2024						
LOCALIZACIÓN:		JR. LOS CEDROS AMARILIS – HUÁNUCO - 2024			MUESTRA:		M-7	
DESCRIPCIÓN:		PESO DEL 15% DE LA CENIZA DE CÁSCARA DE TARA RESPECTO AL PESO SECO DE LA MUESTRA.			PROFUNDIDAD:		1.50 m	
CARGA APLICADA		DEFORMACIÓN (Pig)	DEFORMACIÓN AXIAL UNITARIA ϵ_1 (%)	ÁREA DE LA SECCIÓN TRANSVERSAL MEDIA, A (cm^2)	ESFUERZO COMPRESIVO, σ_c		CONDICIÓN DEL ESPÉCIMEN:	
					kg	kN	kg/cm ²	kPa
0.0	0.00	0.00	0.00	19.83	0.00	0	Diametro, D	50 mm
2.0	2.00	0.006	0.15	19.88	0.10	10	Longitud inicial del espécimen, (Lo)	100 mm
7.9	7.90	0.018	0.41	19.72	0.40	39	Relación Lo/D	2
11.0	11.00	0.030	0.76	19.79	0.56	55	Área (Ao)	19.83 cm ²
13.4	13.40	0.039	0.99	19.83	0.68	68	Volumen	196.35 cm ³
15.6	15.60	0.054	1.37	19.91	0.78	77	CONTENIDO DE HUMEDAD	
18.3	18.30	0.067	1.70	19.97	0.92	95	Obtenida después del ensayo	
20.7	20.70	0.079	2.01	20.04	1.03	101	Espécimen húmedo + Tara	524.97 g
26.0	26.00	0.094	2.39	20.12	1.29	127	Espécimen seco + Tara	498.6 g
28.6	28.60	0.105	2.67	20.17	1.42	139	Masa de Tara	37.81 g
31.8	31.80	0.120	3.05	20.25	1.57	154	Masa Espécimen húmedo	487.18 g
30.1	30.10	0.133	3.38	20.32	1.48	145	Masa Espécimen seco	458.79 g
28.0	27.96	0.145	3.68	20.39	1.37	135	Contenido de Humedad	6.2 %
DENSIDAD DEL ESPÉCIMEN								
Densidad Húmeda 2.48 g/cm ³								
Densidad Seca 2.34 g/cm ³								
RESISTENCIA A LA COMPRESIÓN INCONFINADA q_u								
1.57 kg/cm ² 154 kPa								
Deformación en el instante de la falla, %: 3.05								
CONSISTENCIA SEGÚN q_u FIRME								
ESQUEMA DE FALLA								
					 			
					Velocidad de Deformación: 0.5% x Min	Deformación Max permitida (15%): 0.59 Pig		
EQUIPO UTILIZADO: PRENSA CBR DIGITAL								



AQUINO GARCIA KEVIN JHOEL
TEC. LABORATORISTA DE SUELOS,
CONCRETO Y PAVIMENTOS


Ing. Samaniel Juanito Falcon Paredes
Ingeniero Civil
Reg. CIP. N° 218968

M-8 Suelo arcilloso con adición 15% de la ceniza de tara.

 MONTAÑA		INFORME DE ENSAYO																																																																																																																																																																																																																					
		MÉTODO DE ENSAYO ESTÁNDAR PARA LA RESISTENCIA A LA COMPRESIÓN NO CONFINADA DE SUELOS COHESIVOS																																																																																																																																																																																																																					
NOMBRE DEL CLIENTE :		ASTM D 2166 / NTP 339.167 / MTC E 121					FECHA DE ENSAYO :	21/05/2025																																																																																																																																																																																																															
ESTUDIO / PROYECTO:		INFLUENCIA DE LA CENIZA DE CÁSCARA DE TARA (CAESALPINIA TINCTOREA) COMO ALTERNATIVA PARA EL MEJORAMIENTO DE LA CAPACIDAD PORTANTE DE LA SUBRASANTE DE SUELO ARCILLOSO, JR. LOS CEDROS AMARILIS – HUÁNUCO - 2024																																																																																																																																																																																																																					
LOCALIZACIÓN:		JR. LOS CEDROS AMARILIS – HUÁNUCO - 2024				MUESTRA:	M-8																																																																																																																																																																																																																
DESCRIPCIÓN:		PESO DEL 15% DE LA CENIZA DE CÁSCARA DE TARA RESPECTO AL PESO SECO DE LA MUESTRA.					PROFUNDIDAD:	1.50 m																																																																																																																																																																																																															
<table border="1"> <thead> <tr> <th colspan="2">CARGA APLICADA</th> <th>DEFORMACIÓN (Pig)</th> <th>DEFORMACIÓN AXIAL UNITARIA ϵ (%)</th> <th>ÁREA DE LA SECCIÓN TRANSVERSAL MEDIA, A (cm²)</th> <th colspan="2">ESFUERZO COMPRESIVO, σ, kg/cm² kPa</th> <th colspan="3">CONDICIÓN DEL ESPÉCIMEN:</th> </tr> <tr> <th>Kg</th> <th>kgf</th> <th></th> <th></th> <th></th> <th>kg/cm²</th> <th>kPa</th> <th>Inalterado</th> <th>Ramoldeado</th> <th>Compactado</th> </tr> </thead> <tbody> <tr> <td>0.0</td> <td>0.00</td> <td>0.000</td> <td>0.00</td> <td>19.83</td> <td>0.00</td> <td>0</td> <td><input type="checkbox"/></td> <td><input checked="" type="checkbox"/></td> <td><input type="checkbox"/></td> </tr> <tr> <td>2.8</td> <td>2.60</td> <td>0.006</td> <td>0.15</td> <td>19.86</td> <td>0.13</td> <td>13</td> <td>Diametro, D</td> <td>90</td> <td>mm</td> </tr> <tr> <td>8.5</td> <td>8.50</td> <td>0.018</td> <td>0.41</td> <td>19.72</td> <td>0.43</td> <td>42</td> <td>Longitud inicial del espécimen, (Lo)</td> <td>100</td> <td>mm</td> </tr> <tr> <td>11.8</td> <td>11.60</td> <td>0.028</td> <td>0.71</td> <td>19.78</td> <td>0.59</td> <td>58</td> <td>Relación Lo/D</td> <td>2</td> <td></td> </tr> <tr> <td>14.0</td> <td>14.00</td> <td>0.040</td> <td>1.02</td> <td>19.84</td> <td>0.71</td> <td>89</td> <td>Área (Ao)</td> <td>19.83</td> <td>cm²</td> </tr> <tr> <td>16.2</td> <td>16.20</td> <td>0.054</td> <td>1.37</td> <td>19.91</td> <td>0.81</td> <td>80</td> <td>Volumen</td> <td>196.35</td> <td>cm³</td> </tr> <tr> <td>18.9</td> <td>18.90</td> <td>0.067</td> <td>1.70</td> <td>19.97</td> <td>0.95</td> <td>93</td> <td colspan="3">CONTENIDO DE HUMEDAD</td> </tr> <tr> <td>21.3</td> <td>21.30</td> <td>0.079</td> <td>2.01</td> <td>20.04</td> <td>1.06</td> <td>104</td> <td colspan="3">Obtenida después del ensayo</td> </tr> <tr> <td>26.6</td> <td>26.60</td> <td>0.094</td> <td>2.39</td> <td>20.12</td> <td>1.32</td> <td>130</td> <td>Espécimen húmedo + Tara</td> <td>524.25</td> <td>g</td> </tr> <tr> <td>29.2</td> <td>29.20</td> <td>0.105</td> <td>2.67</td> <td>20.17</td> <td>1.45</td> <td>142</td> <td>Espécimen seco + Tara</td> <td>495.25</td> <td>g</td> </tr> <tr> <td>32.4</td> <td>32.40</td> <td>0.120</td> <td>3.05</td> <td>20.25</td> <td>1.60</td> <td>157</td> <td>Masa de Tara</td> <td>38.46</td> <td>g</td> </tr> <tr> <td>30.7</td> <td>30.70</td> <td>0.133</td> <td>3.38</td> <td>20.32</td> <td>1.51</td> <td>148</td> <td>Masa Espécimen húmedo</td> <td>485.79</td> <td>g</td> </tr> <tr> <td>28.6</td> <td>28.58</td> <td>0.145</td> <td>3.68</td> <td>20.39</td> <td>1.40</td> <td>137</td> <td>Masa Espécimen seco</td> <td>456.79</td> <td>g</td> </tr> <tr> <td></td> <td></td> <td></td> <td></td> <td></td> <td></td> <td></td> <td>Contenido de Humedad</td> <td>6.3</td> <td>%</td> </tr> <tr> <td colspan="8"> <table border="1"> <thead> <tr> <th colspan="3">DENSIDAD DEL ESPÉCIMEN</th> </tr> <tr> <td></td> <td>Densidad Húmeda</td> <td>2.47 g/cm³</td> </tr> <tr> <td></td> <td>Densidad Seca</td> <td>2.33 g/cm³</td> </tr> </thead> <tbody> <tr> <td></td> <td colspan="2">RESISTENCIA A LA COMPRESIÓN INCONFINADA q_u</td> </tr> <tr> <td></td> <td>1.60 kg/cm²</td> <td>157 kPa</td> </tr> <tr> <td></td> <td colspan="2">Deformación en el instante de la falla, %:</td> </tr> <tr> <td></td> <td>3.06</td> <td></td> </tr> <tr> <td></td> <td colspan="2">CONSISTENCIA SEGÚN q_u</td> </tr> <tr> <td></td> <td colspan="2" rowspan="2">FIRME</td> </tr> </tbody> </table> </td></tr> <tr> <td colspan="8"> <table border="1"> <thead> <tr> <th colspan="3">ESQUEMA DE FALLA</th> </tr> </thead> <tbody> <tr> <td colspan="3">  </td> </tr> <tr> <td colspan="3"> Velocidad de Deformación: 0.5% x Min Deformación Max permitida (15%): 0.59 Pig </td> </tr> <tr> <td colspan="3">EQUIPO UTILIZADO: PRENSA CBR DIGITAL</td> </tr> </tbody> </table> </td></tr> </tbody> </table>	CARGA APLICADA		DEFORMACIÓN (Pig)	DEFORMACIÓN AXIAL UNITARIA ϵ (%)	ÁREA DE LA SECCIÓN TRANSVERSAL MEDIA, A (cm ²)	ESFUERZO COMPRESIVO, σ , kg/cm ² kPa		CONDICIÓN DEL ESPÉCIMEN:			Kg	kgf				kg/cm ²	kPa	Inalterado	Ramoldeado	Compactado	0.0	0.00	0.000	0.00	19.83	0.00	0	<input type="checkbox"/>	<input checked="" type="checkbox"/>	<input type="checkbox"/>	2.8	2.60	0.006	0.15	19.86	0.13	13	Diametro, D	90	mm	8.5	8.50	0.018	0.41	19.72	0.43	42	Longitud inicial del espécimen, (Lo)	100	mm	11.8	11.60	0.028	0.71	19.78	0.59	58	Relación Lo/D	2		14.0	14.00	0.040	1.02	19.84	0.71	89	Área (Ao)	19.83	cm ²	16.2	16.20	0.054	1.37	19.91	0.81	80	Volumen	196.35	cm ³	18.9	18.90	0.067	1.70	19.97	0.95	93	CONTENIDO DE HUMEDAD			21.3	21.30	0.079	2.01	20.04	1.06	104	Obtenida después del ensayo			26.6	26.60	0.094	2.39	20.12	1.32	130	Espécimen húmedo + Tara	524.25	g	29.2	29.20	0.105	2.67	20.17	1.45	142	Espécimen seco + Tara	495.25	g	32.4	32.40	0.120	3.05	20.25	1.60	157	Masa de Tara	38.46	g	30.7	30.70	0.133	3.38	20.32	1.51	148	Masa Espécimen húmedo	485.79	g	28.6	28.58	0.145	3.68	20.39	1.40	137	Masa Espécimen seco	456.79	g								Contenido de Humedad	6.3	%	<table border="1"> <thead> <tr> <th colspan="3">DENSIDAD DEL ESPÉCIMEN</th> </tr> <tr> <td></td> <td>Densidad Húmeda</td> <td>2.47 g/cm³</td> </tr> <tr> <td></td> <td>Densidad Seca</td> <td>2.33 g/cm³</td> </tr> </thead> <tbody> <tr> <td></td> <td colspan="2">RESISTENCIA A LA COMPRESIÓN INCONFINADA q_u</td> </tr> <tr> <td></td> <td>1.60 kg/cm²</td> <td>157 kPa</td> </tr> <tr> <td></td> <td colspan="2">Deformación en el instante de la falla, %:</td> </tr> <tr> <td></td> <td>3.06</td> <td></td> </tr> <tr> <td></td> <td colspan="2">CONSISTENCIA SEGÚN q_u</td> </tr> <tr> <td></td> <td colspan="2" rowspan="2">FIRME</td> </tr> </tbody> </table>								DENSIDAD DEL ESPÉCIMEN				Densidad Húmeda	2.47 g/cm ³		Densidad Seca	2.33 g/cm ³		RESISTENCIA A LA COMPRESIÓN INCONFINADA q _u			1.60 kg/cm ²	157 kPa		Deformación en el instante de la falla, %:			3.06			CONSISTENCIA SEGÚN q _u			FIRME		<table border="1"> <thead> <tr> <th colspan="3">ESQUEMA DE FALLA</th> </tr> </thead> <tbody> <tr> <td colspan="3">  </td> </tr> <tr> <td colspan="3"> Velocidad de Deformación: 0.5% x Min Deformación Max permitida (15%): 0.59 Pig </td> </tr> <tr> <td colspan="3">EQUIPO UTILIZADO: PRENSA CBR DIGITAL</td> </tr> </tbody> </table>								ESQUEMA DE FALLA						Velocidad de Deformación: 0.5% x Min Deformación Max permitida (15%): 0.59 Pig			EQUIPO UTILIZADO: PRENSA CBR DIGITAL		
CARGA APLICADA		DEFORMACIÓN (Pig)	DEFORMACIÓN AXIAL UNITARIA ϵ (%)	ÁREA DE LA SECCIÓN TRANSVERSAL MEDIA, A (cm ²)	ESFUERZO COMPRESIVO, σ , kg/cm ² kPa		CONDICIÓN DEL ESPÉCIMEN:																																																																																																																																																																																																																
Kg	kgf				kg/cm ²	kPa	Inalterado	Ramoldeado	Compactado																																																																																																																																																																																																														
0.0	0.00	0.000	0.00	19.83	0.00	0	<input type="checkbox"/>	<input checked="" type="checkbox"/>	<input type="checkbox"/>																																																																																																																																																																																																														
2.8	2.60	0.006	0.15	19.86	0.13	13	Diametro, D	90	mm																																																																																																																																																																																																														
8.5	8.50	0.018	0.41	19.72	0.43	42	Longitud inicial del espécimen, (Lo)	100	mm																																																																																																																																																																																																														
11.8	11.60	0.028	0.71	19.78	0.59	58	Relación Lo/D	2																																																																																																																																																																																																															
14.0	14.00	0.040	1.02	19.84	0.71	89	Área (Ao)	19.83	cm ²																																																																																																																																																																																																														
16.2	16.20	0.054	1.37	19.91	0.81	80	Volumen	196.35	cm ³																																																																																																																																																																																																														
18.9	18.90	0.067	1.70	19.97	0.95	93	CONTENIDO DE HUMEDAD																																																																																																																																																																																																																
21.3	21.30	0.079	2.01	20.04	1.06	104	Obtenida después del ensayo																																																																																																																																																																																																																
26.6	26.60	0.094	2.39	20.12	1.32	130	Espécimen húmedo + Tara	524.25	g																																																																																																																																																																																																														
29.2	29.20	0.105	2.67	20.17	1.45	142	Espécimen seco + Tara	495.25	g																																																																																																																																																																																																														
32.4	32.40	0.120	3.05	20.25	1.60	157	Masa de Tara	38.46	g																																																																																																																																																																																																														
30.7	30.70	0.133	3.38	20.32	1.51	148	Masa Espécimen húmedo	485.79	g																																																																																																																																																																																																														
28.6	28.58	0.145	3.68	20.39	1.40	137	Masa Espécimen seco	456.79	g																																																																																																																																																																																																														
							Contenido de Humedad	6.3	%																																																																																																																																																																																																														
<table border="1"> <thead> <tr> <th colspan="3">DENSIDAD DEL ESPÉCIMEN</th> </tr> <tr> <td></td> <td>Densidad Húmeda</td> <td>2.47 g/cm³</td> </tr> <tr> <td></td> <td>Densidad Seca</td> <td>2.33 g/cm³</td> </tr> </thead> <tbody> <tr> <td></td> <td colspan="2">RESISTENCIA A LA COMPRESIÓN INCONFINADA q_u</td> </tr> <tr> <td></td> <td>1.60 kg/cm²</td> <td>157 kPa</td> </tr> <tr> <td></td> <td colspan="2">Deformación en el instante de la falla, %:</td> </tr> <tr> <td></td> <td>3.06</td> <td></td> </tr> <tr> <td></td> <td colspan="2">CONSISTENCIA SEGÚN q_u</td> </tr> <tr> <td></td> <td colspan="2" rowspan="2">FIRME</td> </tr> </tbody> </table>								DENSIDAD DEL ESPÉCIMEN				Densidad Húmeda	2.47 g/cm ³		Densidad Seca	2.33 g/cm ³		RESISTENCIA A LA COMPRESIÓN INCONFINADA q _u			1.60 kg/cm ²	157 kPa		Deformación en el instante de la falla, %:			3.06			CONSISTENCIA SEGÚN q _u			FIRME																																																																																																																																																																																						
DENSIDAD DEL ESPÉCIMEN																																																																																																																																																																																																																							
	Densidad Húmeda	2.47 g/cm ³																																																																																																																																																																																																																					
	Densidad Seca	2.33 g/cm ³																																																																																																																																																																																																																					
	RESISTENCIA A LA COMPRESIÓN INCONFINADA q _u																																																																																																																																																																																																																						
	1.60 kg/cm ²	157 kPa																																																																																																																																																																																																																					
	Deformación en el instante de la falla, %:																																																																																																																																																																																																																						
	3.06																																																																																																																																																																																																																						
	CONSISTENCIA SEGÚN q _u																																																																																																																																																																																																																						
	FIRME																																																																																																																																																																																																																						
<table border="1"> <thead> <tr> <th colspan="3">ESQUEMA DE FALLA</th> </tr> </thead> <tbody> <tr> <td colspan="3">  </td> </tr> <tr> <td colspan="3"> Velocidad de Deformación: 0.5% x Min Deformación Max permitida (15%): 0.59 Pig </td> </tr> <tr> <td colspan="3">EQUIPO UTILIZADO: PRENSA CBR DIGITAL</td> </tr> </tbody> </table>								ESQUEMA DE FALLA						Velocidad de Deformación: 0.5% x Min Deformación Max permitida (15%): 0.59 Pig			EQUIPO UTILIZADO: PRENSA CBR DIGITAL																																																																																																																																																																																																						
ESQUEMA DE FALLA																																																																																																																																																																																																																							
																																																																																																																																																																																																																							
Velocidad de Deformación: 0.5% x Min Deformación Max permitida (15%): 0.59 Pig																																																																																																																																																																																																																							
EQUIPO UTILIZADO: PRENSA CBR DIGITAL																																																																																																																																																																																																																							

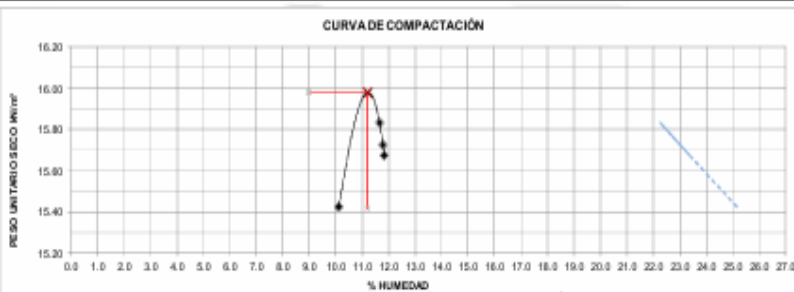


MONTAÑA


AQUINO GARCIA KEVIN JHOEL
TEC. LABORATORISTA DE SUELOS,
CONCRETO Y PAVIMENTOS


Ing. Samuel Juanito Falcon Pardave
Ingeniero Civil
Reg. CIP. N° 218968

Resultado de Proctor Modificado Patón.

 MONTAÑA		INFORME DE ENSAYO																			
		RELACIONES DE HUMEDAD - PESO UNITARIO SECO EN LOS SUELOS (ENSAYO MODIFICADO DE COMPACTACIÓN)																			
NOMBRE CLIENTE:		Bach. Vega Bazán, Merlyn Mercedes																			
OBRA/PROYECTO:		INFLUENCIA DE LA CENIZA DE CÁSCARA DE TARA (CAESALPINIA TINCTORIA) COMO ALTERNATIVA PARA EL MEJORAMIENTO DE LA CAPACIDAD PORTANTE DE LA SUBRASANTE DE SUELLO ARCILLOSO, JR. LOS CEDROS AMARILIS - HUÁNUCO - 2024																			
LOCALIZACIÓN:		AMARILIS - HUÁNUCO			FECHA DE ENSAYO	MAYO DEL 2025															
DESCRIPCIÓN DE LA MUESTRA		MUESTRA DE SUELLO PATRÓN			CALICATA No:	C-1															
REQUIERE CORRECCIÓN SOBRETAMAÑOS	FRACCIÓN	PORCENTAJE DE FRACCIÓN	HUMEDAD (%)	HUMEDAD CORREGIDA	GRAVEDAD ESPECÍFICA	GRAVEDAD ESPECÍFICA PONDERADA															
SI	GRUESA P _{TG} (%)	43.45	6.2	6.8	1.97	2.08															
	FINA P _{TG} (%)	56.55	7.3		2.17																
COMPACTACIÓN DE LAS MUESTRAS					MÉTODO DE ENSAYO:	A															
PRUEBA	Und	1	2	3	4																
MATERIAL RETENIDO EN EL TAMIZ 3/4"	g	6000	6000	6000	6000																
NUMERO DE GOLPES POR CAPA	No	58	58	58	58																
NUMERO DE MOLDE	No	4	4	4	4																
VOLUMEN MOLDE	cm ³	2050	2050	2050	2050																
MASA MUESTRA HUMEDA Y MOLDE	g	5815.2	5955.7	5986.1	5941																
MASA DEL MOLDE	g	2740	2740	2740	2740																
MASA MUESTRA HUMEDA	g	3075.2	3215.7	3246.1	3201																
HUMEDAD DE COMPACTACIÓN																					
NUMERO DE RECIPIENTE	No	7	13	15	18																
MASA MUESTRA HUMEDA Y MOLDE	g	532.8	551.0	555.0	549.2																
MASA MUESTRA SECA Y MOLDE	g	490.1	500.1	504.2	498.3																
MASA DEL MOLDE	g	68.0	68.0	68.0	68.0																
MASA DEL AGUA	g	42.7	50.9	50.8	50.9																
MASA DE LA MUESTRA SECA	g	422.1	432.1	436.2	430.3																
% de HUMEDAD	%	10.1	11.8	11.7	11.8																
DETERMINACIÓN DEL PESOS UNITARIOS DE LOS ESPECIMENES																					
DENSIDAD HÚMEDA	g/cm ³	1.500	1.569	1.583	1.562																
DENSIDAD SECA	g/cm ³	1.362	1.403	1.418	1.396																
PESO UNITARIO SECO	kN/m ³	13.36	13.76	13.91	13.69																
	lb/ft ³	85.04	87.61	88.54	87.18																
PESO UNITARIO SECO (CORREGIDO POR SOBRETAMAÑOS)	kN/m ³	15.42	15.72	15.83	15.67																
HUMEDAD DE SATURACIÓN																					
HUMEDAD DE SATURACIÓN	%	25.2	23.0	22.3	23.4																
																					
<table border="1"> <tr> <td colspan="2">PESO UNITARIO SECO MÁXIMO CORREGIDO</td> </tr> <tr> <td>15.98</td><td>kN/m³</td> </tr> <tr> <td>1830</td><td>kg/m³</td> </tr> <tr> <td colspan="2">HUMEDAD ÓPTIMA (%)</td> </tr> <tr> <td>11.2</td><td></td> </tr> <tr> <td colspan="2">PESO UNITARIO SECO MÁXIMO SIN CORREGIR</td> </tr> <tr> <td>14.11</td><td>kN/m³</td> </tr> <tr> <td>1439</td><td>kg/m³</td> </tr> </table>						PESO UNITARIO SECO MÁXIMO CORREGIDO		15.98	kN/m ³	1830	kg/m ³	HUMEDAD ÓPTIMA (%)		11.2		PESO UNITARIO SECO MÁXIMO SIN CORREGIR		14.11	kN/m ³	1439	kg/m ³
PESO UNITARIO SECO MÁXIMO CORREGIDO																					
15.98	kN/m ³																				
1830	kg/m ³																				
HUMEDAD ÓPTIMA (%)																					
11.2																					
PESO UNITARIO SECO MÁXIMO SIN CORREGIR																					
14.11	kN/m ³																				
1439	kg/m ³																				



MONTAÑA
 AQUINO GARCIA KEVIN JHOEL
 TEC. LABORATORISTA DE SUELOS,
 CONCRETO Y PAVIMENTOS


 Ing. Samuel Juanito Falcon Pardave
 Ingeniero Civil
 Reg. CIP. N° 218968

Réultado de CBR Patrón.

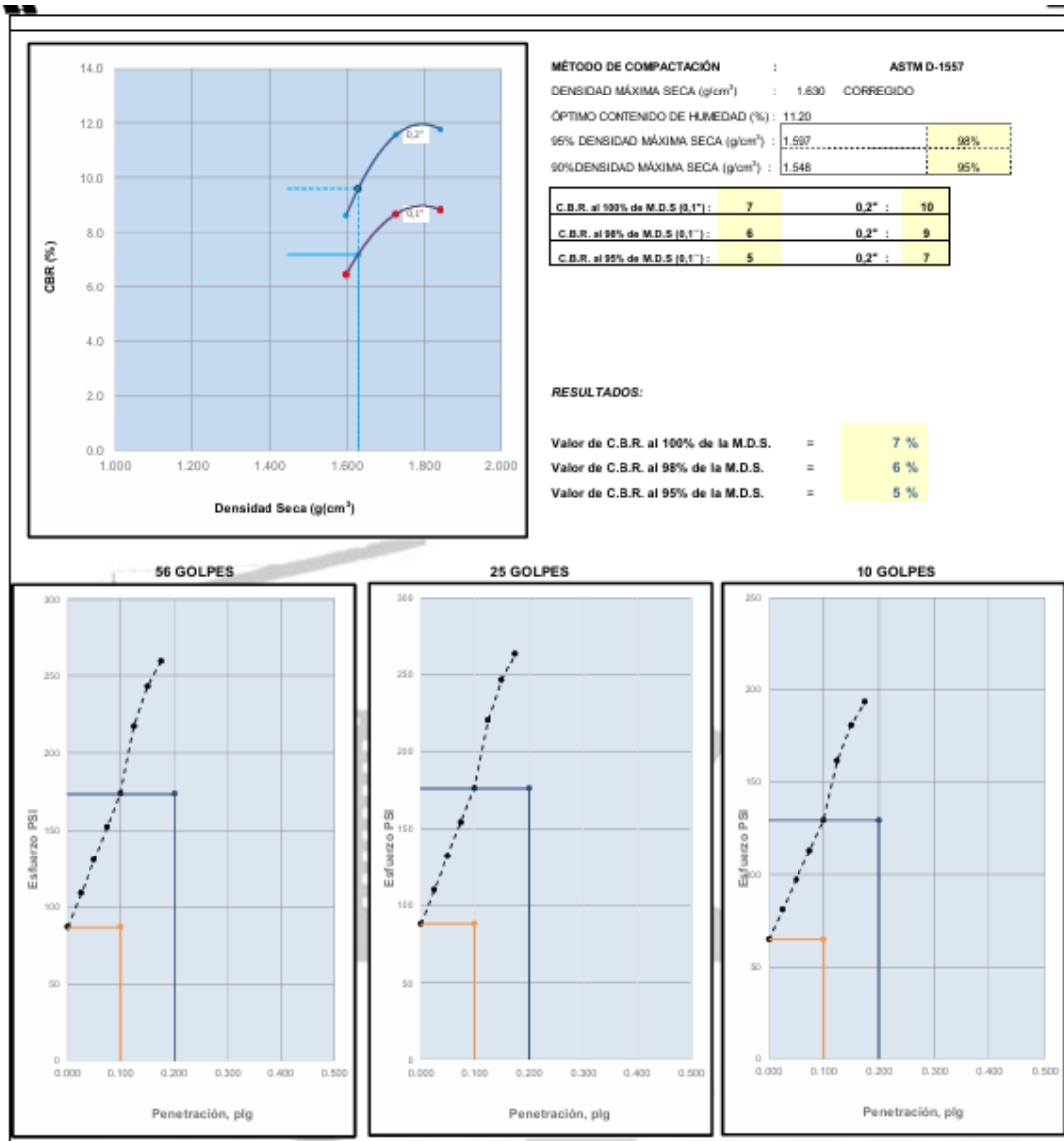
 MONTAÑA		MÉTODO DE ENSAYO DE CBR (RELACIÓN DE SOPORTE DE CALIFORNIA) DE SUELOS COMPACTADOS EN EL LABORATORIO									
ASTM D-1883											
NOMBRE CLIENTE:		Bach. Vega Bazán, Marilyn Mercedes									
OBRA/PROYECTO:		INFLUENCIA DE LA CENIZA DE CÁSCARA DE TARA (CAESALPINIA TINCTORIA) COMO ALTERNATIVA PARA EL MEJORAMIENTO DE LA CAPACIDAD PORTANTE DE LA SUBRASANTE DE SUELLO ARCILLOSO, JR. LOS CEDROS AMARILIS - HUÁNUCO - 2024								FECHA DE ENSAYO :	MAYO DEL 2025
LOCALIZACIÓN:		AMARILIS - HUÁNUCO								CALICATA No. :	C-1
DESCRIPCIÓN:		MUESTRA DE SUELLO PATRÓN								MUESTRA No. :	M-1
COMPACTACIÓN											
Molde N°		1		2		3					
Capa N°		5		5		5					
Golpes por Capa N°		56		25		16					
Condición de la muestra	NO SATURADO	SATURADO	NO SATURADO	SATURADO	NO SATURADO	SATURADO					
Peso de molde + Suelo húmedo (g)	13626.00		13600.00		12320.00						
Peso de molde (g)	9381.00		9897.00		9100.00						
Peso del Suelo húmedo (g)	3354.00		3733.00		3220.00						
Volumen del molde (cm^3)	2127.00		2114.00		2118.00						
Densidad húmeda (g/cm^3)	1.571		1.556		1.522						
Tara (N°)	1		2		3						
Peso suelo húmedo + tara (g)	620.80		622.45		721.80						
Peso suelo seco + tara (g)	587.30		618.90		663.78						
Peso tara (g)	9.14		16.38		16.16						
Peso de agua (g)	33.50		3.55		58.02						
Peso de suelo seco (g)	577.16		602.52		647.82						
Contenido de humedad (%)	5.87		0.59		8.96						
Densidad seca (g/cm^3)	1.576		1.556		1.597						
Densidad seca (g/cm^3) - Corregido	1.727		1.642		1.599						
EXPANSIÓN											
FECHA	HORA	TIEMPO	DIAL	EXPANSIÓN		DIAL	EXPANSIÓN		DIAL	EXPANSIÓN	
				mm	%		mm	%		mm	%
14/12/24	10:00	0	0	0.000	0	0	0.000	0	0	0.000	0
15/12/24	10:00	24.00	13	0.190	0.1	18	0.180	0.2	22	0.220	0.2
16/12/24	10:00	48.00	18	0.180	0.2	26	0.260	0.2	33	0.330	0.3
17/12/24	10:00	72.00	24	0.240	0.2	37	0.370	0.3	45	0.450	0.4
18/12/24	10:00	96.00	33	0.330	0.3	49	0.490	0.4	59	0.590	0.5
PENETRACIÓN											
PENETRACIÓN	CARGA ESTAND.	MOLDE N°	1		2		3				
			lecturas mm	Esfuerzo PSI Kgf	CBR % Corregido						
0.000	0.000	0	0.0	0.0	0	0.0	0.0	0	0.0	0.0	0.0
0.635	0.025	10	7.3	21.7	11	8.1	22.0	16	11.8	16.2	
1.270	0.050	33	24.3	43.4	37	27.2	44.1	41	30.1	32.3	
1.905	0.075	70	51.4	65.0	74	54.4	66.1	81	59.5	48.5	
2.540	0.100	70.458	113	83.0	86.7	8.7	121	88.9	88.2	8.8	151
3.175	0.125	134	98.5	108.4	138	99.9	110.2	164	120.5	80.8	
3.810	0.150	175	128.6	130.1	179	131.5	132.3	179	131.5	97.0	
4.445	0.175	202	148.4	151.8	206	151.4	154.3	212	155.8	113.2	
5.080	0.200	104.980	231	169.8	173.4	11.6	241	177.1	178.4	11.8	239
7.620	0.300	245	180.0	216.8	268	195.5	220.5	246	180.8	161.7	
10.160	0.400	273	200.8	242.3	291	213.8	248.4	261	191.8	180.7	
12.700	0.500	301	221.2	259.3	324	238.1	263.7	297	218.3	193.4	



MONTAÑA

AQUINO GARCIA KEVIN JHOEL
TEC. LABORATORISTA DE SUELOS,
CONCRETO Y PAVIMENTOS

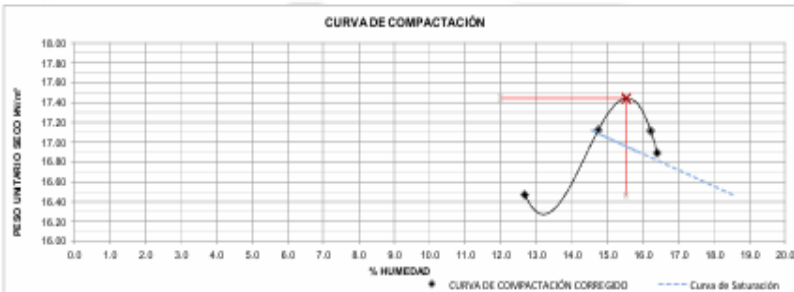

Ing. Samuel Juanito Falcon Pardave
Ingeniero Civil
Reg. CIP. N° 218968



AQUINO GARCIA KEVIN JHOEL
TEC. LABORATORISTA DE SUELOS,
CONCRETO Y PAVIMENTOS

Ing. Samuel Juanito Falcon Pardave
 Ingeniero Civil
 Reg. CIP. N° 218968

Resultado de Proctor Modificado con adición del 5% de ceniza de cáscara de tara.

 MONTAÑA		INFORME DE ENSAYO																			
RELACIONES DE HUMEDAD - PESO UNITARIO SECO EN LOS SUELOS (ENSAYO MODIFICADO DE COMPACTACIÓN)																					
NTP 339.141 / MTC E - 115 / ASTM D-1557																					
NOMBRE CLIENTE:	Bach. Vega Bazán, Merlyn Mercedes																				
OBRA/PROYECTO:	INFLUENCIA DE LA CENIZA DE CÁSCARA DE TARA (CAESALPINIA TINTOREA) COMO ALTERNATIVA PARA EL MEJORAMIENTO DE LA CAPACIDAD PORTANTE DE LA SUBRASANTE DE SUELLO ARCILLOSO, JR. LOS CEDROS AMARILIS - HUÁNUCO - 2024																				
LOCALIZACIÓN:	AMARILIS - HUÁNUCO			FECHA DE ENSAYO	MAYO DEL 2025																
DESCRIPCIÓN DE LA MUESTRA	PESO DEL 5% DE LA CENIZA DE CÁSCARA DE TARA RESPECTO AL PESO SECO DE LA MUESTRA			CALICATA No:	C-1																
REQUIERE CORRECCIÓN SOBRETAMAÑOS	FRACCIÓN	PORCENTAJE DE FRACCIÓN	HUMEDAD (%)	HUMEDAD CORREGIDA	GRAVEDAD ESPECÍFICA	GRAVEDAD ESPECÍFICA PONDERADA															
SI	GRIESA P_m (%)	43.45	8.2	8.8	1.79	2.29															
	FINA P_{re} (%)	56.55	7.3		2.91																
COMPACTACIÓN DE LAS MUESTRAS					MÉTODO DE ENSAYO:	A															
PRUEBA	Und	1	2	3	4																
MATERIAL RETENIDO EN EL TAMIZ 3/4"	g	8000	6000	6000	6000																
NUMERO DE GOLPES POR CAPA	No	58	58	58	58																
NUMERO DE MOLDE	No	4	4	4	4																
VOLUMEN MOLDE	cm ³	2020	2050	2050	2050																
MASA MUESTRA HUMEDA Y MOLDE	g	6391	6771	6821	6735																
MASA DEL MOLDE	g	2740	2740	2740	2740																
MASA MUESTRA HUMEDA	g	3651	4031	4081	3995																
HUMEDAD DE COMPACTACIÓN																					
NUMERO DE RECIPIENTE	No	2	5	8	9																
MASA MUESTRA HUMEDA Y MOLDE	g	581.9	682.9	691.6	691.9																
MASA MUESTRA SECA Y MOLDE	g	524.1	603.9	527.1	526.7																
MASA DEL MOLDE	g	68.0	68.0	68.0	68.0																
MASA DEL AGUA	g	57.8	79.0	74.4	75.2																
MASA DE LA MUESTRA SECA	g	496.1	535.9	499.1	499																
% de HUMEDAD	%	12.7	14.7	16.2	16.4																
DETERMINACIÓN DEL PESOS UNITARIOS DE LOS ESPECIMENES																					
DENSIDAD HÚMEDA	g/cm ³	1.807	1.988	1.991	1.949																
DENSIDAD SECA	g/cm ³	1.604	1.714	1.713	1.7																
PESO UNITARIO SECO	kN/m ³	15.73	18.81	16.80	16.42																
PESO UNITARIO SECO (CORREGIDO POR SOBRETAMAÑOS)	lb/ft ³	100.14	106.98	106.94	104.52																
	kN/m ³	16.47	17.12	17.11	16.89																
HUMEDAD DE SATURACIÓN																					
HUMEDAD DE SATURACIÓN	%	18.5	14.5	14.6	15.9																
																					
<table border="1"> <tr> <td colspan="2">PESO UNITARIO SECO MÁXIMO CORREGIDO</td> </tr> <tr> <td>17.44</td><td>kN/m³</td> </tr> <tr> <td>1780</td><td>kg/m³</td> </tr> <tr> <td colspan="2">HUMEDAD ÓPTIMA (%)</td> </tr> <tr> <td>15.5</td><td></td> </tr> <tr> <td colspan="2">PESO UNITARIO SECO MÁXIMO SIN CORREGIR</td> </tr> <tr> <td>17.35</td><td>kN/m³</td> </tr> <tr> <td>1769</td><td>kg/m³</td> </tr> </table>						PESO UNITARIO SECO MÁXIMO CORREGIDO		17.44	kN/m ³	1780	kg/m ³	HUMEDAD ÓPTIMA (%)		15.5		PESO UNITARIO SECO MÁXIMO SIN CORREGIR		17.35	kN/m ³	1769	kg/m ³
PESO UNITARIO SECO MÁXIMO CORREGIDO																					
17.44	kN/m ³																				
1780	kg/m ³																				
HUMEDAD ÓPTIMA (%)																					
15.5																					
PESO UNITARIO SECO MÁXIMO SIN CORREGIR																					
17.35	kN/m ³																				
1769	kg/m ³																				



AQUINO GARCIA KEVIN JHOEL
TEC. LABORATORISTA DE SUELOS,
CONCRETO Y PAVIMENTOS

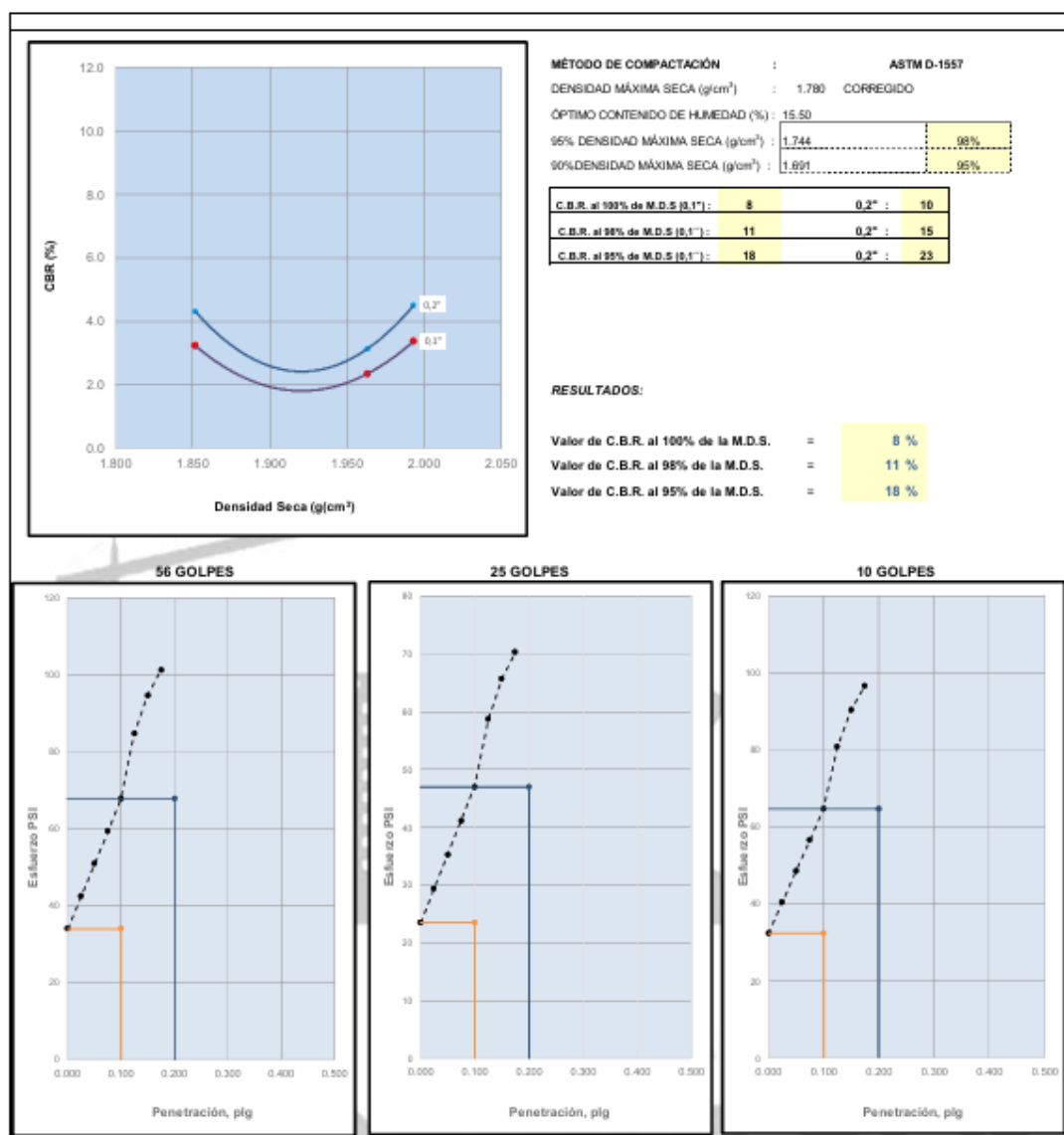
Ing. Samuel Juanito Falcon Pardave
Ingeniero Civil
Reg. CIP. N° 218968

Resultado de CBR con adición del 5% de ceniza de cáscara de tara.

		MÉTODO DE ENSAYO DE CBR (RELACIÓN DE SOPORTE DE CALIFORNIA) DE SUELOS COMPACTADOS EN EL LABORATORIO											
		ASTM D-1883											
NOMBRE CLIENTE:		Bach. Vega Bazán, Marilyn Mercedes											
OBRA/PROYECTO:		INFLUENCIA DE LA CENIZA DE CÁSCARA DE TARA (CAESALPINIA TINCTORIA) COMO ALTERNATIVA PARA EL MEJORAMIENTO DE LA CAPACIDAD PORTANTE DE LA SUBRASANTE DE SUELLO ARCILLOSO, JR. LOS CEDROS AMARILIS - HUÁNUCO								FECHA DE ENSAYO :	MAYO DEL 2025		
LOCALIZACIÓN:		AMARILIS - HUÁNUCO								CALICATA No. :	C-1		
DESCRIPCIÓN:		PESO DEL 5% DE LA CENIZA DE CÁSCARA DE TARA RESPECTO AL PESO SECO DE LA MUESTRA								MUESTRA No. :	M-1		
COMPACTACIÓN													
Molde N°		4			5					6			
Capas N°		5			5					5			
Golpes por Capa N°		56			25					18			
Condición de la muestra	NO SATURADO	SATURADO	NO SATURADO	SATURADO	NO SATURADO	SATURADO	NO SATURADO	SATURADO	NO SATURADO	SATURADO			
Peso de molde + Suelo húmedo (g)	13829.55		13854.55		13464.55								
Peso de molde (g)	8472.00		8767.00		8100.00								
Peso del Suelo húmedo (g)	5357.55		4827.55		4384.55								
Volumen del molde (cm^3)	2.127.00		2.114.00		2.118.00								
Densidad húmeda (g/cm^3)	2.378		2.284		2.063								
Tara (N°)	1		2		3								
Peso suelo húmedo + tara (g)	641.20		688.40		724.30								
Peso suelo seco + tara (g)	590.90		640.80		693.50								
Peso tara (g)	16.14		16.38		16.16								
Peso de agua (g)	90.70		47.60		54.80								
Peso de suelo seco (g)	574.35		624.42		653.34								
Contenido de humedad (%)	8.83		7.62		8.39								
Densidad seca (g/cm^3)	2.185		2.122		1.903								
Densidad seca (g/cm^3) - Corregido	1.963		1.963		1.852								
EXPANSIÓN													
FECHA	HORA	TIEMPO	DIAL	EXPANSIÓN		DIAL	EXPANSIÓN		DIAL	EXPANSIÓN			
				mm	%		mm	%		mm	%		
14/12/24	10:00	0	0	0.000	0	0	0.000	0	0	0.000	0		
15/12/24	10:00	24.00	12	0.120	0.1	17	0.170	0.1	20	0.200	0.2		
16/12/24	10:00	48.00	17	0.170	0.1	24	0.240	0.2	30	0.300	0.3		
17/12/24	10:00	72.00	22	0.220	0.2	35	0.350	0.3	42	0.420	0.4		
18/12/24	10:00	96.00	29	0.290	0.2	47	0.470	0.4	51	0.510	0.4		
PENETRACIÓN													
PENETRACIÓN		CARGA ESTAND.	MOLDE N°			4	MOLDE N°			5	MOLDE N°		
mm	puig.	kg/cm²	lecturas Kgf	Esfuerzo PSI (sin corrección)	Esfuerzo PSI (corregido)	CBR % Corregido	lecturas Kgf	Esfuerzo PSI (sin corrección)	Esfuerzo PSI (corregido)	CBR % Corregido	lecturas Kgf	Esfuerzo PSI (sin corrección)	Esfuerzo PSI (corregido)
0.000	0.000		0	0.0	0.0		0	0.0	0.0		0	0.0	0.0
0.635	0.025		10	7.3	8.5		12	8.8	5.9		13	9.6	8.1
1.270	0.050		27	19.8	16.9		30	22.0	11.8		29	21.3	16.2
1.905	0.075		39	28.7	25.4		42	30.9	17.8		41	30.1	24.3
2.540	0.100	72.458	48	35.3	33.8	3.4	62	45.6	23.5	2.4	63	46.3	32.3
3.175	0.125		61	44.8	42.3		66	49.5	29.4		71	52.2	40.4
3.810	0.150		78	57.3	50.7		75	55.1	35.3		84	61.7	48.5
4.445	0.175		83	61.0	59.2		81	59.5	41.2		92	67.6	56.6
5.080	0.200	104.980	94	69.1	67.6	4.5	94	69.1	47.0	3.1	107	78.6	64.7
7.620	0.300		110	80.8	84.5		113	83.0	58.8		121	88.9	80.8
10.160	0.400		127	93.3	94.5		128	94.1	65.7		137	100.7	90.3
12.700	0.500		141	103.8	101.1		149	109.5	70.3		148	108.8	98.7


AQUINO GARCIA KEVIN JHOEL
 TEC. LABORATORISTA DE SUELOS,
 CONCRETO Y PAVIMENTOS


Ing. Samuel Juanito Falcon Paredes
 Ingeniero Civil
 Reg. CIP. N° 218968

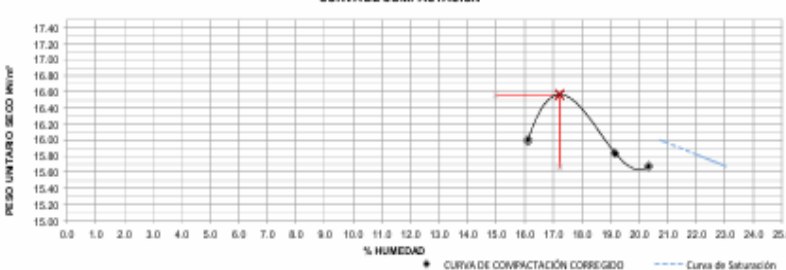


MONTAÑA

AQUINO GARCIA KEVIN JHOEL
TEC. LABORATORISTA DE SUELOS,
CONCRETO Y PAVIMENTOS

Ing. Samuel Juanito Falcon Pardave
Ingeniero Civil
Reg. C.I.P. N° 218968

Resultado de Proctor Modificado con adición del 10% de ceniza de cáscara de tara.

 MONTAÑA		INFORME DE ENSAYO																			
		RELACIONES DE HUMEDAD - PESO UNITARIO SECO EN LOS SUELOS (ENSAYO MODIFICADO DE COMPACTACIÓN)																			
NOMBRE CLIENTE:		Bach. Vega Bazán, Merlyn Mercedes																			
OBRA/PROYECTO:		INFLUENCIA DE LA CENIZA DE CÁSCARA DE TARA (CAESALPINIA TINTOREA) COMO ALTERNATIVA PARA EL MEJORAMIENTO DE LA CAPACIDAD PORTANTE DE LA SUBRASANTE DE SUELLO ARCILLOSO, JR. LOS CEDROS AMARILIS – HUÁNUCO - 2024																			
LOCALIZACIÓN:		AMARILIS - HUÁNUCO		FECHA DE ENSAYO	MAYO DEL 2025																
DESCRIPCIÓN DE LA MUESTRA		PESO DEL 10% DE LA CENIZA DE CÁSCARA DE TARA RESPECTO AL PESO SECO DE LA MUESTRA		CALICATA No:	C-1																
REQUIERE CORRECCIÓN SOBRETAMAÑOS	FRACCIÓN	PORCENTAJE DE FRACCIÓN	HUMEDAD (%)	HUMEDAD CORREGIDA	GRAVEDAD ESPECÍFICA	GRAVEDAD ESPECÍFICA PONDERADA															
SI	GRUESA P _{TG} (%)	43.45	8.2	6.8	2.16	1.93															
	FINA P _{TG} (%)	56.55	7.3		1.78																
COMPACTACIÓN DE LAS MUESTRAS					MÉTODO DE ENSAYO:	A															
PRUEBA	Und	1	2	3	4																
MATERIAL RETENIDO EN EL TAMIZ 3/4"	g	6000	6000	6000	6000																
NUMERO DE GOLPES POR CAÑA	No	58	58	58	58																
NUMERO DE MOLDE	No	4	4	4	4																
VOLUMEN MOLDE	cm ³	2050	2050	2050	2050																
MASA MUESTRA HUMEDA Y MOLDE	g	6005.7	6010.7	6027.1	6045																
MASA DEL MOLDE	g	2740	2740	2740	2740																
MASA MUESTRA HUMEDA	g	3265.7	3270.7	3287.1	3305																
HUMEDAD DE COMPACTACIÓN																					
NUMERO DE RECIPIENTE	No	1	4	6	10																
MASA MUESTRA HUMEDA Y MOLDE	g	522.1	548.0	551.9	549.2																
MASA MUESTRA SECA Y MOLDE	g	459.1	481.4	470.1	471.8																
MASA DEL MOLDE	g	68.0	68.0	68.0	68.0																
MASA DEL AGUA	g	63.0	66.7	61.8	77.4																
MASA DE LA MUESTRA SECA	g	391.1	419.4	402.1	404																
% de HUMEDAD	%	16.1	16.1	20.3	19.2																
DETERMINACIÓN DEL PESOS UNITARIOS DE LOS ESPECIMENES																					
DENSIDAD HÚMEDA	g/cm ³	1.593	1.595	1.603	1.612																
DENSIDAD SECA	g/cm ³	1.372	1.374	1.392	1.4																
PESO UNITARIO SECO	kN/m ³	13.45	13.47	13.07	13.27																
	lb/pie ³	85.65	85.77	83.18	84.47																
PESO UNITARIO SECO (CORREGIDO POR SOBRETAMAÑOS)	kN/m ³	15.99	16.00	15.67	15.84																
HUMEDAD DE SATURACIÓN																					
HUMEDAD DE SATURACIÓN	%	20.9	20.8	23.0	21.9																
CURVA DE COMPACTACIÓN																					
		<table border="1"> <tr> <td>PESO UNITARIO SECO MÁXIMO CORREGIDO</td> <td>16.57</td> <td>kN/m³</td> </tr> <tr> <td>1690</td> <td>kg/m³</td> <td></td> </tr> <tr> <td>HUMEDAD ÓPTIMA (%)</td> <td>17.2</td> <td></td> </tr> <tr> <td>PESO UNITARIO SECO MÁXIMO SIN CORREGIR</td> <td>14.18</td> <td>kN/m³</td> </tr> <tr> <td>1446</td> <td>kg/m³</td> <td></td> </tr> </table>					PESO UNITARIO SECO MÁXIMO CORREGIDO	16.57	kN/m ³	1690	kg/m ³		HUMEDAD ÓPTIMA (%)	17.2		PESO UNITARIO SECO MÁXIMO SIN CORREGIR	14.18	kN/m ³	1446	kg/m ³	
PESO UNITARIO SECO MÁXIMO CORREGIDO	16.57	kN/m ³																			
1690	kg/m ³																				
HUMEDAD ÓPTIMA (%)	17.2																				
PESO UNITARIO SECO MÁXIMO SIN CORREGIR	14.18	kN/m ³																			
1446	kg/m ³																				
		 Ing. Samuel Juanito Falcon Pardave Ingeniero Civil Reg. CIP. N° 218968																			
 MONTAÑA TEC. LABORATORISTA DE SUELOS, CONCRETO Y PAVIMENTOS																					

Resultado de CBR con adición del 10% de ceniza de cáscara de tara.



MÉTODO DE ENSAYO DE CBR (RELACIÓN DE SOPORTE DE CALIFORNIA) DE SUELOS COMPACTADOS EN EL LABORATORIO

ASTM D-1883

NOMBRE CLIENTE:	Bach. Vega Bazán, Marilyn Mercedes				
OBRA/PROYECTO:	INFLUENCIA DE LA CENIZA DE CÁSCARA DE TARA (CAESALPINIA TINCTORIA) COMO ALTERNATIVA PARA EL MEJORAMIENTO DE LA CAPACIDAD PORTANTE DE LA SUBRASANTE DE SUELO ARCILLOSO, JR. LOS CEDROS AMARILIS - HUÁNUCO - 2024	FECHA DE ENSAYO :	MAYO DEL 2025		
LOCALIZACIÓN:	AMARILIS - HUÁNUCO			CALICATA No.:	C-1
DESCRIPCIÓN:	PESO DEL 10% DE LA CENIZA DE CÁSCARA DE TARA RESPECTO AL PESO SECO DE LA MUESTRA			MUESTRA No.:	M-1

COMPACTACIÓN						
Molde N°	7	8	9			
Capas N°	5	5	5			
Gépes por Capa N°	56	25	16			
Condición de la muestra	NO SATURADO	SATURADO	NO SATURADO	SATURADO	NO SATURADO	SATURADO
Peso de molde + suelo húmedo (g)	13543.48		12608.48		12478.48	
Peso de molde (g)	8472.00		8767.00		8100.00	
Peso del Suelo húmedo (g)	5071.48		4841.48		4378.48	
Volumen del molde (cm³)	2127.00		2114.00		2116.00	
Densidad húmeda (g/cm³)	2.364		2.290		2.069	
Tara (N°)	1	2	3			
Peso suelo húmedo + tara (g)	648.61		696.35		732.55	
Peso suelo seco + tara (g)	597.13		642.74		671.27	
Peso tara (g)	98.18		98.37		98.24	
Peso de agua (g)	51.48		55.81		61.28	
Peso de suelo seco (g)	560.25		626.37		695.03	
Contenido de humedad (%)	8.95		8.88		9.26	
Densidad seca (g/cm³)	2.190		2.103		1.892	
Densidad seca (g/cm³) - Corregido	2.177		2.127		2.000	

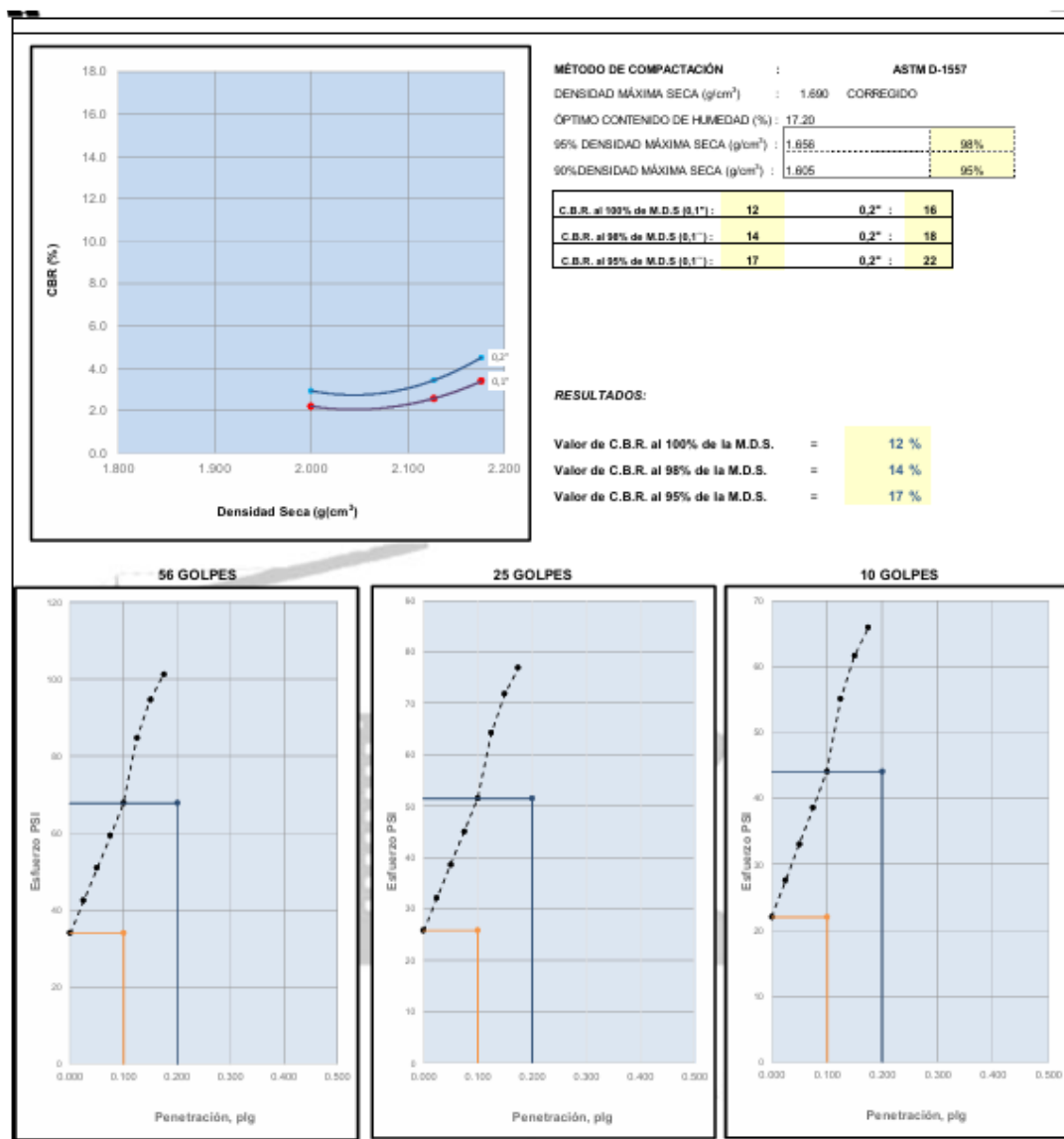
FECHA	HORA	TIEMPO	DIAL	EXPANSIÓN		DIAL	EXPANSIÓN		DIAL	EXPANSIÓN	
				mm	%		mm	%		mm	%
14/12/24	10:00	0	0	0.000	0	0	0.000	0	0	0.000	0
15/12/24	10:00	24.00	11	0.110	0.1	16	0.160	0.1	17	0.170	0.1
16/12/24	10:00	48.00	16	0.160	0.1	22	0.220	0.2	28	0.280	0.2
17/12/24	10:00	72.00	22	0.220	0.2	31	0.310	0.3	38	0.380	0.3
18/12/24	10:00	96.00	28	0.280	0.2	42	0.420	0.4	47	0.470	0.4

PENETRACIÓN			CARGA ESTAND.	MOLDE N°			7	MOLDE N°			8	MOLDE N°			9	
LECTURAS KgF	ESTUERZO PSI (sin corrección)	ESTUERZO PSI (corregido)		CBR %	LECTURAS KgF	ESTUERZO PSI (sin corrección)	ESTUERZO PSI (corregido)	CBR %	LECTURAS KgF	ESTUERZO PSI (sin corrección)	ESTUERZO PSI (corregido)	CBR %	LECTURAS KgF	ESTUERZO PSI (sin corrección)	ESTUERZO PSI (corregido)	
0.000	0.000	0.00	0	0.0	0	0.0	0	0.0	0	0.0	0.0	0.0	0	0.0	0.0	0.0
0.635	0.025	10	7.3	8.5	13	9.6	8.4	21	15.4	5.5						
1.270	0.050	27	19.8	16.9	25	18.4	12.9	33	24.3	11.0						
1.905	0.075	39	28.7	25.4	37	27.2	19.3	44	32.3	16.5						
2.540	0.100	72.458	48	35.3	33.8	3.4	45	33.1	25.7	2.6	55	40.4	22.0	2.2		
3.175	0.125	61	44.8	42.3	52	38.2	32.2	59	43.4	27.8						
3.810	0.150	78	57.3	50.7	64	47.0	38.6	72	52.9	33.1						
4.445	0.175	83	61.0	59.2	71	52.2	45.0	83	61.0	38.6						
5.080	0.200	104.980	94	69.1	67.8	4.5	80	58.8	51.4	3.4	85	62.5	44.1	2.9		
7.620	0.300	110	80.8	84.5	91	66.9	64.3	91	66.9	55.1						
10.160	0.400	127	93.3	94.5	102	75.0	71.9	101	74.2	61.6						
12.700	0.500	141	103.6	101.1	115	84.5	76.9	110	80.8	65.9						



AQUINO GARCIA KEVIN JHOEL
TEC. LABORATORISTA DE SUELOS,
CONCRETO Y PAVIMENTOS

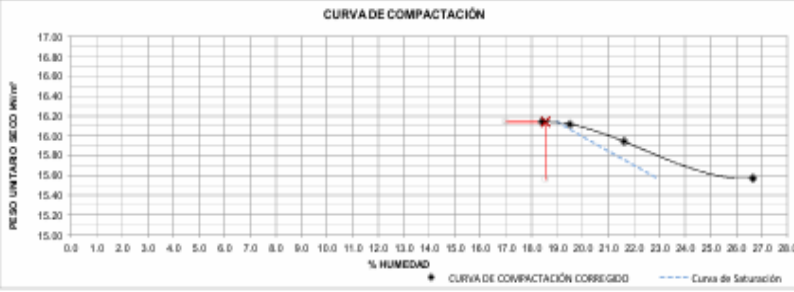
Ing. Samuel Juanito Falcon Pardave
Ingeniero Civil
Reg. CIP. N° 218968



AQUINO GARCIA KEVIN JHOEL
TEC. LABORATORISTA DE SUELOS,
CONCRETO Y PAVIMENTOS

Ing. Samuel Juanito Falcon Pardave
Ingeniero Civil
Reg. CIP. N° 218968

Resultado de Proctor Modificado con adición del 15% de ceniza de cáscara de tara

 MONTAÑA		INFORME DE ENSAYO																			
RELACIONES DE HUMEDAD - PESO UNITARIO SECO EN LOS SUELOS (ENSAZO MODIFICADO DE COMPACTACIÓN)																					
NTP 339.141 / MTC E - 115 / ASTM D-1557																					
NOMBRE CLIENTE:	Bach. Vega Bazán, Merlyn Mercedes																				
OBRA/PROYECTO:	INFLUENCIA DE LA CENIZA DE CÁSCARA DE TARA (CAESALPINIA TINTOREA) COMO ALTERNATIVA PARA EL MEJORAMIENTO DE LA CAPACIDAD PORTANTE DE LA SUBRASANTE DE SUELLO ARCILLOSO, JR. LOS CEDROS AMARILIS - HUÁNUCO - 2024																				
LOCALIZACIÓN:	AMARILIS - HUÁNUCO			FECHA DE ENSAYO	MAYO DEL 2025																
DESCRIPCIÓN DE LA MUESTRA	PESO DEL 15% DE LA CENIZA DE CÁSCARA DE TARA RESPECTO AL PESO SECO DE LA MUESTRA					CALICATA N°: C-1															
REQUIERE CORRECCIÓN SOBRETAMAÑOS	FRACCIÓN	PORCENTAJE DE FRACCIÓN	HUMEDAD (%)	HUMEDAD CORREGIDA	GRAVEDAD ESPECÍFICA	GRAVEDAD ESPECÍFICA PONDERADA															
SI	GRIESA P _{pe} (%)	43.45	8.2	6.8	1.789	2.28															
	FINA P _{pe} (%)	56.55	7.3		2.68																
COMPACTACIÓN DE LAS MUESTRAS					MÉTODO DE ENSAYO:	A															
PRUEBA	Und	1	2	3	4																
MATERIAL RETENIDO EN EL TAMIZ 3/4"	g	8000	6000	8000	6000																
NUMERO DE GOLPES POR CAPA	No	58	58	58	58																
NUMERO DE MOLDE	No	4	4	4	4																
VOLUMEN MOLDE	cm ³	2050	2050	2050	2050																
MASA MUESTRA HUMEDA Y MOLDE	g	6004.2	6028.9	6027.1	6035																
MASA DEL MOLDE	g	2240	2240	2240	2240																
MASA MUESTRA HUMEDA	g	3784.2	3788.9	3787.1	3795																
HUMEDAD DE COMPACTACIÓN																					
NUMERO DE RECIPIENTE	No	12	11	3	14																
MASA MUESTRA HUMEDA Y MOLDE	g	531.1	557.7	563.1	579.4																
MASA MUESTRA SECA Y MOLDE	g	459.1	477.8	475.1	471.8																
MASA DEL MOLDE	g	68.0	68.0	68.0	68.0																
MASA DEL AGUA	g	72.0	79.9	88.0	107.8																
MASA DE LA MUESTRA SECA	g	391.1	409.8	407.1	404																
% de HUMEDAD	%	18.4	19.5	21.6	26.6																
DETERMINACIÓN DEL PESOS UNITARIOS DE LOS ESPECIMENES																					
DENSIDAD HÚMEDA	g/cm ³	1.836	1.848	1.847	1.851																
DENSIDAD SECA	g/cm ³	1.551	1.547	1.519	1.5																
PESO UNITARIO SECO	kN/m ³	15.21	15.17	14.90	14.34																
	lb/ft ³	96.81	96.56	94.83	91.26																
PESO UNITARIO SECO (CORREGIDO POR SOBRETAMAÑOS)	kN/m ³	16.14	16.11	15.94	15.57																
HUMEDAD DE SATURACIÓN																					
HUMEDAD DE SATURACIÓN	%	19.0	19.2	20.3	22.9																
																					
<table border="1"> <tr> <td colspan="2">PESO UNITARIO SECO MÁXIMO CORREGIDO</td> </tr> <tr> <td>16.14</td><td>kN/m³</td> </tr> <tr> <td>1650</td><td>kg/m³</td> </tr> <tr> <td colspan="2">HUMEDAD ÓPTIMA (%)</td> </tr> <tr> <td>18.6</td><td></td> </tr> <tr> <td colspan="2">PESO UNITARIO SECO MÁXIMO SIN CORREGIR</td> </tr> <tr> <td>15.21</td><td>kN/m³</td> </tr> <tr> <td>1551</td><td>kg/m³</td> </tr> </table>						PESO UNITARIO SECO MÁXIMO CORREGIDO		16.14	kN/m ³	1650	kg/m ³	HUMEDAD ÓPTIMA (%)		18.6		PESO UNITARIO SECO MÁXIMO SIN CORREGIR		15.21	kN/m ³	1551	kg/m ³
PESO UNITARIO SECO MÁXIMO CORREGIDO																					
16.14	kN/m ³																				
1650	kg/m ³																				
HUMEDAD ÓPTIMA (%)																					
18.6																					
PESO UNITARIO SECO MÁXIMO SIN CORREGIR																					
15.21	kN/m ³																				
1551	kg/m ³																				


MONTAÑA
AQUINO GARCIA KEVIN JHOEL
 TEC. LABORATORISTA DE SUELOS,
 CONCRETO Y PAVIMENTOS


Ing. Samuel Juanito Falcon Pardave
 Ingeniero Civil
 Reg. CIP. N° 218968

Resultado de CBR con adición del 15% de ceniza de cáscara de tara

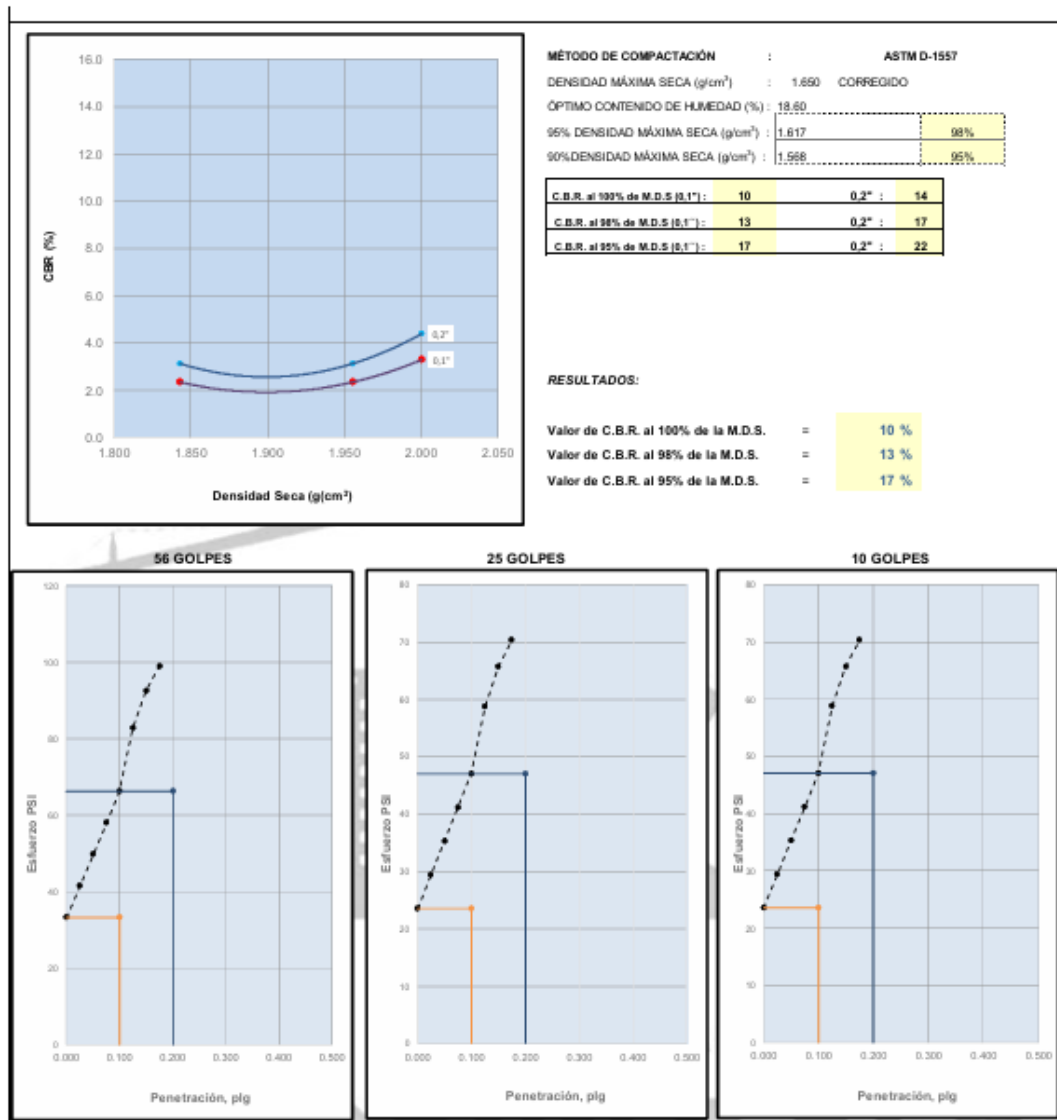
		MÉTODO DE ENSAYO DE CBR (RELACIÓN DE SOPORTE DE CALIFORNIA) DE SUELOS COMPACTADOS EN EL LABORATORIO									
		ASTM D-1883									
NOMBRE CLIENTE:	Bach. Vega Bazán, Merlín Mercedes										
OBRA/PROYECTO:	INFLUENCIA DE LA CENIZA DE CÁSCARA DE TARA (CAESALPINIA TINCTORIA) COMO ALTERNATIVA PARA EL MEJORAMIENTO DE LA CAPACIDAD PORTANTE DE LA SUBASANTE DE SUELDO ARCILLOSO, JR. LOS CEDROS								FECHA DE ENSAYO :	MAYO DEL 2025	
LOCALIZACIÓN:	AMARILIS - HUÁNUCO								CALICATA N°.:	C-1	
DESCRIPCIÓN:	PESO DEL 15% DE LA CENIZA DE CÁSCARA DE TARA RESPECTO AL PESO SECO DE LA MUESTRA								MUESTRA N°.:	M-1	
COMPACTACIÓN											
Molde N°	98			11			12				
Capas N°	5			5			5				
Golpes por Capa N°	55			25			10				
Condición de la muestra	NO SATURADO	SATURADO	NO SATURADO	SATURADO	NO SATURADO	SATURADO	NO SATURADO	SATURADO	NO SATURADO	SATURADO	
Peso de molde + Suelo húmedo (g)	13536.24		13601.24		12471.24						
Peso de molde (g)	3472.00		8767.00		8100.00						
Peso del Suelo húmedo (g)	9064.24		4834.24		4371.24						
Volúmen del molde (cm³)	2127.00		2154.00		2118.00						
Densidad húmeda (g/cm³)	2.381		2.287		2.096						
Tara (N°)	1		2		3						
Peso suelo húmedo + Tara (g)	641.25		685.35		722.51						
Peso suelo seco + Tara (g)	594.27		632.74		661.59						
Peso Tara (g)	16.18		16.37		16.24						
Peso de agua (g)	47.01		52.61		60.92						
Peso de suelo seco (g)	576.09		616.37		640.35						
Contenido de humedad (%)	8.13		8.54		9.44						
Densidad seca (g/cm³)	2.202		2.107		1.998						
Densidad seca (g/cm³) - Corregido	2.001		1.995		1.943						
EXPANSIÓN											
FECHA	HORA	TIEMPO	DIAL	EXPANSIÓN		DIAL	EXPANSIÓN		DIAL	EXPANSIÓN	
				mm	%		mm	%		mm	%
14/12/24	10:00	0	0	0.000	0	0	0.000	0	0	0.000	0
15/12/24	10:00	24.00	9	0.090	0.1	14	0.140	0.1	15	0.150	0.1
16/12/24	10:00	48.00	14	0.140	0.1	19	0.190	0.2	25	0.250	0.2
17/12/24	10:00	72.00	17	0.170	0.1	25	0.250	0.2	31	0.310	0.3
18/12/24	10:00	96.00	25	0.250	0.2	32	0.320	0.3	40	0.400	0.3
PENETRACIÓN											
PENETRACIÓN		CARGA ESTAND.	MOLDE N°		10	MOLDE N°		11	MOLDE N°		12
mm	puig.	kg/cm²	lecturas	Esfuerzo PSI (sin corrección)	Esfuerzo PSI (corregido)	lecturas	Esfuerzo PSI (sin corrección)	Esfuerzo PSI (corregido)	lecturas	Esfuerzo PSI (sin corrección)	Esfuerzo PSI (corregido)
0.000	0.000	0	0	0.0	0.0	0	0.0	0.0	0	0.0	0.0
0.635	0.025	10	7.3	8.3		13	9.6	5.9	21	15.4	5.9
1.270	0.050	27	19.8	16.5		25	18.4	11.8	33	24.3	11.8
1.905	0.075	39	28.7	24.8		37	27.2	17.6	44	32.3	17.6
2.540	0.100	72.458	55	40.4	33.1	54	39.7	23.5	53	38.9	23.5
3.175	0.125	61	44.8	41.3		52	38.2	29.4	59	43.4	29.4
3.810	0.150	78	57.3	49.6		64	47.0	35.3	72	52.9	35.3
4.445	0.175	83	61.0	57.9		71	52.2	41.2	83	61.0	41.2
5.080	0.200	104.980	100	73.5	66.1	4.4	86	83.2	47.0	3.1	85
7.620	0.300		110	80.8	82.7		91	86.9	58.8		91
10.160	0.400		127	93.3	92.4		102	75.0	65.7		101
12.700	0.500		141	103.6	98.9		115	84.5	70.3		110



MONTAÑA

AQUINO GARCIA KEVIN JHOEL
TEC. LABORATORISTA DE SUELOS,
CONCRETO Y PAVIMENTOS


Ing. Samuel Juanito Falcon Pardave
Ingeniero Civil
Reg. CIP. N° 218968



AQUINO GARCIA KEVIN JHOEL
TEC. LABORATORISTA DE SUELOS,
CONCRETO Y PAVIMENTOS

Ing. Samuel Juanito Falcon Pardave
Ingeniero Civil
Reg. CIP. N° 218968

Diseño de mezcla de la muestra cilíndrica

PROYECTO:	INFLUENCIA DE LA CENIZA DE CÁSCARA DE TARA (CAESALPINIA TINCTORIA) COMO ALTERNATIVA PARA EL MEJORAMIENTO DE LA CAPACIDAD PORTANTE DE LA SUBRASANTE DE SUELO ARCILLOSO, JR. LOS CEDROS AMARILIS – HUÁNUCO - 2024
SOLICITA:	Bach. Vega Bazán, Merlyn Mercedes
FECHA:	MAYO DEL 2025

DISEÑO DE MEZCLA DE LA MUESTRA CILÍNDRICA NO CONFINADA DE SUELOS COHESIVOS				
				10 cm
				5 cm
PESO SECO DE MUESTRA	1	0.442 kg		
PESO SECO DE MUESTRA	8	3.536 kg		
% DE AGUA PARA MUESTRA PATRÓN	20%	1	0.088 lt	
		8	0.707 lt	
		AGUA		
% DE AGUA PARA LAS MUESTRAS CON ADICIONANTES	5%	25%	1	0.1105 kg
			8	0.8840 kg
	10%	30%	1	0.1326 kg
			8	1.0608 kg
CENIZA DE CÁSCARA DE TARA	15%	35%	1	1.2376 kg
			8	1.2376 kg
	5%	0.0221 kg		
			1	0.0442 kg
	10%	0.0663 kg		
			8	0.1768 kg
	15%	0.3536 kg		
			8	0.5304 kg



AQUINO GARCIA KEVIN JHOEL
TEC. LABORATORISTA DE SUELOS,
CONCRETO Y PAVIMENTOS

Ing. Samuel Juanito Falcon Pardave
Ingeniero Civil
Reg. CIP. N° 218968